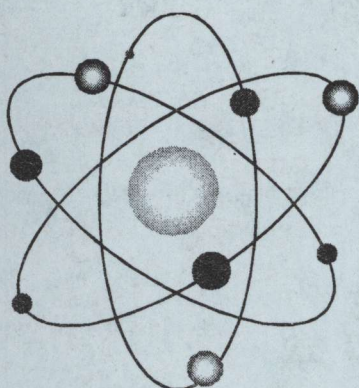


**КЫРГЫЗ РЕСПУБЛИКАСЫНЫН
ИЛИМДЕР УЛУТТУК
АКАДЕМИЯСЫНЫН**

КАБАРЛАРЫ



И З В Е С Т И Я

**НАЦИОНАЛЬНОЙ
АКАДЕМИИ НАУК
КЫРГЫЗСКОЙ РЕСПУБЛИКИ**

1999/ 3—4

[Handwritten signature]

Список
книг, выпущенных издательством «Илим» в 1999 г.

№ п.п.	Автор, название работы	Объем, п.л.
1	2	3

Президиум НАН КР

1.	Отчет о деятельности НАН КР за 1998 г.	8,5
2.	Годичное общее собрание НАН КР	4,0
3,4,5.	Национальная академия наук (справочник на кырг., русском и англ. яз.)	9,0
6,7,8.	Известия НАН КР, 1999, 1 – 4	34,0

Отделение общественных наук

1.	Кронгардт В.К. Кыргызстан в трудах немецких исследователей	6,5
2.	Койчуев Т.К. Постсоветская перестройка: теория, идеология, реалии	16,5
3.	Брошюры: Конституционно-правовой статус личности...; Влияние конституционно-правового статуса личности на укрепление гарантит прав...	3,2
4.	Формирование и использование основных фондов собственниками в условиях перехода к рыночной экономике	2,0
5.	Нусупов Ч. Кыргызы Евразии и тюркоязычные народы позднего средневековья	8,0
6.	Сапаралиев Д. Этнополитическая история Оша и его окрестностей	9,0
7.	Мукасов С. Традиции социально-философской мысли в духовной культуре кыргызского народа	14,0
8.	Текенова С. Межэтнические отношения в Кыргызстане: история и реальность	5,0
9.	Жусупакматов Л. Саймалы-Таш сүрөт жазма сырлары, Ч.2	16,75
10.	Жумалиев К., Ожукеева Т. Государственная политика в КР: политическая история социально-экономических реформ, проведенных по инициативе Президента А.Акаева в 1991–1998 гг. Ч.2	11,0
11.	Жумалиев К., Ожукеева Т. Акаев менен XXI кылымга карай	12,5
12.	Койчуева М. Формирование рыночной экономики СНГ в переходный период	5,0
13.	Кенешбеков К. История международных отношений Кыргызстана и Германии	7,5
14.	Программа по русскому языку и литературе для абитуриентов	3,0
15.	Бакиев К. Прокуратура Кыргызстана: проблемы и перспективы	12,75
16.	Экономика стран Центральной Азии: трудности становления и перспективы развития	13,5

**КЫРГЫЗ РЕСПУБЛИКАСЫНЫН
ИЛИМДЕР УЛУТТУК АКАДЕМИЯСЫНЫН**

CONTENTS

КАБАРЛАРЫ

И З В Е С Т И Я

**НАЦИОНАЛЬНОЙ АКАДЕМИИ НАУК
КЫРГЫЗСКОЙ РЕСПУБЛИКИ**

**1999
БИШКЕК**

**№ 3–4
“ИЛИМ”**

КЫРГЫЗ ДАУАСЫН АКАДЕМИЯСЫНIN АКАДЕМИЧЕСКИЙ ЖУРНАЛ

МАГАПАТ

Главный редактор
академик Ж.Ж.Жеенбаев

Редакционная коллегия:

академик Б.И.Иманакунов (зам.гл.редактора),
академик К.С.Сулайманкулов, академик Э.Э.Маковский,
академик А.А.Салиев,
ответственный секретарь Л.М.Стрельникова

Журнал основан в 1966 г.

Технический редактор Э.К.Гаврина
Компьютерная верстка А.С.Котиковой

Подписан к печати 20.12.99 г. Формат 60x84^{1/8}.
Печать офсетная.
Объем 15,0 п.л., 12,21 уч.-изд.л. Тираж 100 экз.

Издательство "Илим",
720001, Бишкек, проспект Чуй, 265 а



СОДЕРЖАНИЕ

	МАЗМУНУ	CONTENTS
Проблемы. Решение.		
С.Н.СКЛЯР, Ж.Ж.БАКИРОВ.	Модификация разностных схем для задач с пограничными слоями в рамках проекционного варианта интегро-интерполяционного метода 5	
Интегро-интерполяциялык методдун проекциалык вариантынын рамкасында чектеш катмар маселелер учун ар түрдүү схемасынын модификациясы		
Modification of difference schemes for boundary layer problems within the projection variant of the integro-interpolation		
В.П.ЖИВОГЛЯДОВ, С.Я.ЯМПОЛЬСКАЯ.	О создании виртуальных лабораторий для разработки и исследования компьютерных информационных систем 9	
Компьютердик информациялык системаларды иштеп чыгу жана изилдөө үчүн виртуалдык лабораторияларды түзүү жөнүндө		
On the creation of virtual laboratories for the development and research of computer information systems		
A.Т.ТАТЫБЕКОВ, В.И.НИКАНОРОВ, Ж.Ж.ЖЕЕНБАЕВ, Т.С.КЕНЕШОВ, Т.Дж.ДЖАНИБЕКОВ, В.Б.БОРТ, К.У.САБАЕВ, К.О.МУКАЛАЕВ.	Плазматронная теплогенераторная установка 17	
Плазматрондук жылуулук генератордук установка		
Plasmatron heat generating plant		
K.М.ЖУМАЛИЕВ, А.А.САГЫМБАЕВ, Д.А.САГЫНБАЕВ, А.А.КИМСАНОВ, Ш.М.САЙДАМАТОВ.		
Динамика изменения дифракционной эффективности голограмм в фотополимеризующихся носителях в процессе термохимической фиксации 21		
Термохимиялык фиксациянын процессинде дифференциалдык натыйжалардың өзгерүшүнүн динамиканы		
Dynamics of the change of diffraction efficiency of holograms in photopolymerizing carriers in the process of thermochemical fixation		
K.Т.САЛИЕВА, Б.И.ИМАНАКУНОВ, Т.А.ТОКТОМАТОВ.	Исследование комплексных соединений хлоридов марганца, кобальта и никеля с ацетамидом 26	
Марганец, кобальт, никелдин хлориддеринин ацетамид менен болгон комплекстүү кошумалары изилдөө		
Study of complex compounds of manganese, cobalt, and nickel chlorides with acetamide		
B.А.БАРЧАКЕЕВ, Т.И.СТРУЧАЛИНА, В.А.ПРОХОРОЕНКО, Х.ГОТТИЛИНГ.	Экологическое состояние почв, загрязненных нефтепродуктами 29	
Нефти продуктalary заттары менен булғанган жер кыртыштарынын экологиялык абалы		
Ecological condition of soils, contaminated with petroleum products		
A.М.КОРЖЕНКОВ.	Морфоструктуры и сейсмичность Кочкорской впадины и ее горного обрамления (Северный Тянь-Шань) 33	
Кочкор өрөөнүн жана анын тегерегиндеги тоолордун морфоструктуралары жана сейсмикасы (Тундук Тянь-Шань)		
Morphostructures and seismicity of the Kochkor depression and its mountain surrounding (the northern Tien Shan)		
M.А.МУРСАЛИЕВ	Древесно-кустарниковая растительность ущелья Жарлуу-Кайнды (хребет Кыргызский Ала-Тоо) 39	
Жарлуу Кайндын калпачтайтынын секгөктүү-бадал есүмдүктөрү (Кыргыз Ала-Тоо кыркалары). Tree and shrub vegetation of the Jarluu-Kaiyndy canyon (The Kytguz Ala-Too ridge).		
A.О.ТУРБАТОВА, Ю.С.ПОТОЦКАЯ.	Интродукция роз в Ботаническом саду им. Э.З.Гареева НАН КР 42	
КР Илимдер Улуттук Академиясынын Э.З.Гареев атындагы Ботаникалык бағындарынан интродукциясы		
Introduction of roses in the E.Z.Gareev Botanical Garden of the National Academy of Sciences of the Kyrgyz Republic		
Э.ДАВРАНОВ, В.Н.КАТАЕВСКИЙ, С.П.ЦОПОВ.	Население птиц берегов горных рек северного макро-склона Кыргызского Ала-Тоо 44	
Кыргыз Ала-Тоосунун тундук бетинде жайланышкан канаттуулардың жайланиши		
Bird population of the river banks of the Kyrgyz Ala-Too northern macroslope		
V.К.ЕРЁМЧЕНКО, Е.И.ЦАРИНЕНКО, А.М.ПАНФИЛОВ	Внутривидовые отношения гекконов Cyrtopodion russowi (Strauch) и таксономическое положение популяции Тянь-Шаня (Sauria: Gekkonidae) 48	
Тянь-Шанда популяциялоонун таксономикалык (Sauria : Gekkonidae) абалы жана геккондордун Cyrtopodion russowi (Strauch) ички түркүмдерүнүн катышы		
Intraspecific relations of geckoes Cyrtopodion russowi (Strauch) and the taxonomic position of the Tien Shan population of Sauria : Gekkonidae		
A.В.ХАРАДОВ.	Фауна и экология клещей-краснотелок (acariformes: trombiculidae, leeuvenhoekiidae) лесной мыши из Кыргызстана 55	
Кыргызстандагы токой чычкандарындагы кызыл денелердин (acariformes: trombiculidae, leeuvenhoekiidae) экологиясы жана фаунасы		
Fauna and ecology of the common field mouse of Kyrgyzstan		

Р.А. КУРМАШЕВ	Функциональное состояние головного мозга у лиц с различными типами центральных механизмов регуляции	59
	Борбордук механизминин жөнгө салыныши ар кандай адамдардын баш мээсинин функционалдык абалы	
	Functional state of brain in patients with different types of central regulation mechanisms	
А.К. ПАРШЕНОВ, Т.И. ПРУЦАКОВА.	Статистический анализ базы данных медицинского назначения.....	62
	Медициналык көрсөтмелөр үчүн түзүлгөн статистикалык базалардын анализи	
	Statistic analysis of a medical database	
	Эксперимент. Поиск.	
КУРМАНБЕТОВ, Ж.Ж.ЖЕЕНБАЕВ, Р.А.ТАШТАНОВ, Г.Ж.ДОРЖУЕВА.	Изучение некоторых характеристик двухструйного плазмотрона при вдувании окиси иттрия	65
	Эки ағымдуу плазмотронго иттрий окисин үйлөтүүнүн айрым мунэздөрүн изилдөө	
	Study of some characteristics of a two-jet plasmatron during sodium oxide injection	
К.Т.САЛИЕВА, Б.И.ИМАНАКУНОВ, Т.А.ТОКТОМАТОВ, Д.Т.АЛТЫБАЕВА.	Взаимодействие хлоридов кобальта и никеля с ацетамидом в диметилсульфоксиде.....	70
	Кобалт жана никелдин хлориддеринин ацетамид менен диметилсульфоксидде өз ара аракеттениши.	
	Interaction of cobalt and nickel chlorides with acetamide in dimethylsulphoxide	
М.П.КАМЧЫБЕКОВ.	Исследование динамических свойств дымовой трубы ТЭЦ-2 г.Бишкек	73
	Бишкек шаарындагы ЖЭЦ-2нин түтүн трубасынын динамикалык касиеттерин изилдөө	
	Investigation of dynamic properties of the smokestack of Power Plant-2, Bishkek.	
К.Е.КАЛИЕВА.	К вопросу совершенствования конструкции водозаборных сооружений для забора воды из поверхностных источников	76
	Жер үстүндөгү суулардан суу алуучу курулуштарынын конструкцияларын еркөндөтүү маселесине карата	
	Of the problem of the improvement of the construction of water intakes for drawing water from surface sources	
М.Н.АСЫЛБЕКОВ, Н.Д.ГРЕКОВА, Л.Ф.РУБЦОВА.	Баланс азота и содержание аминокислот в крови у овец разных пород	79
	Ар түрдүү түкүмдөгө койлордун канаңдагы аминокислоталардын өлчөмү жана азоттун балансы	
	Nitrogen balance and the content of amino acids in the blood of sheep of different breeds	
А.К.БЕКБОЛОТОВА, Г.А.ЗАХАРОВ.	Влияние производственного стресса на уровень артериального давления и его коррекция	82
	Өндүрүштүк стресстин жумушчулардын кан басымына тийгизген таасири жана анын коррекциясы	
	The influence of industrial stress on the level of arterial blood pressure and its correction	
	Точка зрения.	
А.А.КОЧЕРБАЕВА.	Движение рабочей силы в переходный период в Кыргызской Республике	85
	Кыргыз Республикасынын өткөөл мезгилиндеги жумушчу күчүнүн кыймылы	
	The movement of labour force in the transition period in the Kyrgyz Republic	
К.М.АЛИЕВА, А.И.ТИШИН, Б.И.ИМАНАКУНОВ.	Термодинамика и формирование синергетической парадигмы современного мировоззрения	87
	Термодинамика жана синергетикалык парадигманын түзүлүшү азыркы дүйнөлүк көз карашта	
	The thermodynamics and formation of a sinergetic paradigm of the modern world outlook	
Р.К.КРОНГАРДТ.	Численность и этнический состав населения г.Ош в конце XIX – начале XX в.	90
	XIX кылымдын аягы XX кылымдын башындагы Ош шаарынын калкынын саны жана этникалык составы	
	The size and the ethnic structure of the population of Osh at the end of the 19th and the beginning of the 20th century	
Ч.ЖУМАГУЛОВ.	Кыргызстандагы иесториан эстеликтери (Тарыхын обзор)	92
	Несторианские памятники Кыргызстана (Исторический обзор)	
	Nestorian monuments in Kyrgyzstan (a historical review)	
М.Т.КАКАЕВА.	Англис жана кыргыз тилдеринин фонологиялык системасынын типологиясы.....	97
	Типология фонологической системы кыргызского и английского языков	
	The typology of the phonological systematics of the Kyrgyz and English languages	
	Сообщения на международных форумах	
Э.О.КАРАБАЕВ.	Культура мира и дипломатия	99
	Дипломатия жана дүйнөлүк маданият.	
	The world culture and diplomacy	
Э.О.КАРАБАЕВ.	Выступление на круглом столе “Иран – Кыргызстан”. Тегеран, 1999	100
	Тегелек столдо сүйлөшүүлөр “Иран – Кыргызстан”. Тегеран, 1999	
	Speech at the round-table discussion “Iran – Kyrgyzstan”. Teheran, 1999.	
	Краткие сообщения	
	Хроника	
	Юбилей	
	Памяти.	

ПРОБЛЕМЫ

РЕШЕНИЕ

УДК 517. 951 (575.2) (04)

Модификация разностных схем для задач с пограничными слоями в рамках проекционного варианта интегро-интерполяционного метода

С.Н.СКЛЯР – канд. физ.-мат. наук, зав. лаб. вычислительных методов и алгоритмов Института физики и механики горных пород НАН КР.

Ж.Ж.БАКИРОВ – канд. физ.-мат. наук, зав. отделом Министерства финансов Кыргызской Республики.

В [1] приведено описание метода дискретизации, условно названного “проекционным вариантом интегро-интерполяционного метода” (ПВИИМ). Для одного класса сингулярно-возмущенных краевых задач при помощи ПВИИМ построено многопараметрическое семейство разностных схем, гарантирующих равномерную по малому параметру сходимость с первым порядком как для решения, так и для потока. Настоящая работа является продолжением [1], в ней демонстрируются возможности ПВИИМ по уточнению схем из вышеуказанного семейства. Для сокращения изложения будем использовать обозначения работы [1] и ссылаться на некоторые формулы из [1] следующим образом: (п.1), где п – номер формулы в [1].

Рассмотрим следующую краевую задачу:

Как и в [1] будем считать, что параметры, входящие в эти уравнения, удовлетворяют условиям:

$$\begin{cases} \varepsilon u''(x) + a(x)u'(x) = f(x), & x \in (0,1), \\ \zeta_0 u(0) - \eta_0 \varepsilon u'(0) = \varphi_0, \quad \zeta_1 u(1) + \eta_1 \varepsilon u'(1) = \varphi_1 \end{cases} \quad (1)$$

$$\varepsilon \in (0, \varepsilon_0]; \quad \zeta_0, \eta_0, \eta_1 \geq 0, \quad \zeta_1 > 0; \quad \zeta_0 + \eta_0 > 0, \quad (2)$$

Функции $a(x)$ и $f(x)$ принадлежат пространству $W_2^2(0,1)$ и

$$a(x) \geq \alpha > 0 \quad \text{при } x \in [0,1]. \quad (3)$$

Остановимся на построенной в [1] схеме (10.1), (11.1), (14.1) для решения задачи (1) (схема El-Mistikawy-Werle [2]) и покажем как, уточнив ее, можно построить схему второго порядка равномерной сходимости на произвольной сетке. Для этого потребуется информация об асимптотических свойствах решения задачи (1) более тонкая, чем оценка (5.1) работы [1]; эту информацию мы получим на основе уже имеющихся формул ПВИИМ. Положим в (8.1) и (9.1) $p=x_i$, $q=x$; исключая из полученных соотношений величины $u(x_i)$ и $u(x)$, приходим к следующему представлению для значений производной в точках $x \in [x_i, x_{i+1}]$:

$$u'(x) = \frac{f_{i+1/2}}{a_{i+1/2}} + \left[u'(x_i) - \frac{f_{i+1/2}}{a_{i+1/2}} \right] \exp \left[-a_{i+1/2}(x - x_i)/\varepsilon \right] + \Delta^{(0)}(x_i, x). \quad (4)$$

Выбирая $p=x$, $q=x_{i+1}$ в (8.1), (9.1) и исключая $u(x_{i+1})$ и $u(x)$ из этих соотношений, получим другое представление:

$$u'(x) = \frac{f_{i+1/2}}{a_{i+1/2}} + \left[u'(x_{i+1}) - \frac{f_{i+1/2}}{a_{i+1/2}} \right] \exp \left[a_{i+1/2}(x_{i+1} - x)/\varepsilon \right] + \Delta^{(1)}(x_i, x_{i+1}). \quad (5)$$

В (4) и (5), в соответствии с (14.1), рассматриваются следующие значения параметров:

$$a_{i+1/2} = [a(x_i) + a(x_{i+1})]/2, \quad f_{i+1/2} = [f(x_i) + f(x_{i+1})]/2, \quad (6)$$

а остаточные члены $\Delta^{(0)}$ и $\Delta^{(1)}$ могут быть оценены с учетом их зависимости от ε . Представления (4) и (5) позволяют после некоторых преобразований записать локальные ошибки аппроксимации в соотношениях (8.1) и (9.1) в виде:

$$\delta^{(0)}(x_i, x_{i+1}) = \frac{h_{i+1/2}^2}{4} v(R_{i+1/2}) [u'(x_i) Da_{i+1/2} - Df_{i+1/2}] + \bar{\delta}^{(0)}(x_i, x_{i+1}), \quad (7)$$

$$\delta^{(1)}(x_i, x_{i+1}) = -\frac{h_{i+1/2}^2}{4} v(R_{i+1/2}) [u'(x_{i+1}) Da_{i+1/2} - Df_{i+1/2}] + \bar{\delta}^{(1)}(x_i, x_{i+1}). \quad (8)$$

Здесь

$$Da_{i+1/2} \equiv [a(x_{i+1}) - a(x_i)]/h_{i+1/2},$$

$$v(R) \equiv (RcthR - 1)/R^2, \quad R_{i+1/2} \equiv a_{i+1/2} h_{i+1/2} / 2\varepsilon,$$

остальные обозначения введены в работе [1]. Новые ошибки аппроксимации $\bar{\delta}^{(0)}$ и $\bar{\delta}^{(1)}$ оцениваются следующим образом:

$$|\bar{\delta}^{(0)}(x_i, x_{i+1})| \leq Ch_{i+1/2}^2 [h_{i+1/2}^2 + \exp(-\alpha x_i/2\varepsilon) - \exp(-\alpha x_{i+1}/2\varepsilon)], \quad (9)$$

$$|\bar{\delta}^{(1)}(x_i, x_{i+1})| \leq Ch_{i+1/2}^3 [1 + \varepsilon^{-1} \exp(-\alpha x_{i+1}/2\varepsilon)]. \quad (10)$$

Анализируя формулы (7) и (8), можно предложить следующий вариант модификации разностной схемы (10.1), (11.1), (14.1). Добавим к соответствующему уравнению разностной схемы (10.1), (11.1), (14.1) все слагаемые из $\delta^{(0)}$ за исключением $\bar{\delta}^{(0)}$, точно также к другому уравнению присоединим слагаемые из $\delta^{(1)}$ за вычетом $\bar{\delta}^{(1)}$, в результате получим модифицированную схему:

$$\begin{cases} \zeta_0 \bar{u}_0 - \eta_0 \bar{\psi}_0 = \varphi_0 \\ \bar{\psi}_i - \varepsilon \rho_{i+1/2} [1 + R\mu(R) + R]_{i+1/2} D\bar{u}_{i+1/2} = -\rho_{i+1/2} h_{i+1/2} f_{i+1/2} \frac{1 + \mu(R_{i+1/2})}{2} + \\ + \frac{\rho_{i+1/2} h_{i+1/2}^2}{4} Df_{i+1/2} v(R_{i+1/2}), \\ -\bar{\psi}_{i+1} + \varepsilon \rho_{i+1/2} [1 + R\mu(R) - R]_{i+1/2} D\bar{u}_{i+1/2} = -\rho_{i+1/2} h_{i+1/2} f_{i+1/2} \frac{1 - \mu(R_{i+1/2})}{2} - \\ - \frac{\rho_{i+1/2} h_{i+1/2}^2}{4} Df_{i+1/2} v(R_{i+1/2}), \\ i = 0, 1, \dots, N-1, \\ \zeta_1 \bar{u}_N - \eta_1 \bar{\psi}_N = \varphi_1 \end{cases} \quad (11)$$

Здесь

$$\rho_{i+1/2} \equiv \left[1 + \frac{h_{i+1/2}^2}{4\varepsilon} v(R_{i+1/2}) Da_{i+1/2} \right]^{-1}. \quad (12)$$

Нетрудно проверить корректность выражения (12) при любых допустимых значениях параметров сетки и ?, а также доказать оценку ($A \equiv \max\{a(x)\}$):

$$\frac{1}{2} \leq \rho_{i+1/2} \leq \frac{A}{\alpha} \quad (i=0, 1, \dots, N-1). \quad (13)$$

Основные свойства построенной разностной схемы содержатся в следующем утверждении.

ТЕОРЕМА. Предположим, что для задачи (1) выполнены условия (2), (3) и $u(x)$ – ее решение. Тогда аппроксимирующая (1) задача (11) имеет единственное решение $\{\bar{u}, \bar{\psi}\}$ и для этих задач справедлива следующая оценка сходимости:

$$\|\bar{u} - u\|_{h,\infty} + \|\bar{\psi} - \varepsilon u\|_{h,\infty} \leq Ch^2. \quad (14)$$

Константа С здесь не зависит от ε и от параметров сетки, т.е. разностная схема (11) гарантирует равномерную по ε сходимость со вторым порядком как для решения, так и для потока.

ДОКАЗАТЕЛЬСТВО. Аналогично тому, как это было сделано в [1], можно проверить, что для задачи (11) выполнены условия сформулированной в [1] Леммы. Далее, обозначив $w_1 \equiv u_i - u(x_1)$, $\chi_1 \equiv \psi_1 - \psi(x_1)$, заметим, что пара $\{W, \chi\}$ удовлетворяет системе (10.1), в которой соответствующим образом заданы коэффициенты и правые части: $\varphi_0 = \varphi_1 = 0$, $F_i^{(0)} \equiv \rho_{i+1/2} \bar{\delta}^{(0)}(x_i, x_{i+1})$, $F_{i+1}^{(1)} \equiv \rho_{i+1/2} \bar{\delta}^{(1)}(x_i, x_{i+1})$, $i = 0, 1, \dots, N-1$.

Теперь оценки Леммы [1] и (13) приводят к неравенству:

$$\|W\|_{h,\infty} + \|\chi\|_{h,\infty} \leq C \sum_{i=0}^{N-1} (\bar{\delta}^{(0)}(x_i, x_{i+1}) + \bar{\delta}^{(1)}(x_i, x_{i+1})),$$

в котором С не зависит от ε и параметров сетки. Для доказательства теоремы остается оценить величины локальных ошибок аппроксимации. Используя неравенства (9) и (10), получим:

$$\sum_{i=0}^{N-1} |\bar{\delta}^{(0)}(x_i, x_{i+1})| \leq Ch^2 \sum_{i=0}^{N-1} [h_{i+1/2}^2 + \exp(-\alpha x_i/2\varepsilon) - \exp(-\alpha x_{i+1}/2\varepsilon)] \leq 2Ch^2,$$

$$\sum_{i=0}^{N-1} |\bar{\delta}^{(1)}(x_i, x_{i+1})| \leq Ch^2 \sum_{i=0}^{N-1} h_{i+1/2} [1 + \varepsilon^{-1} \exp(-\alpha x_{i+1}/2\varepsilon)] \leq Ch^2 \left[1 + \varepsilon^{-1} \int_0^1 \exp(-\alpha x/2\varepsilon) dx \right] \leq 2Ch^2.$$

Теорема полностью доказана.

Заметим, что без ущерба для оценки (14) схему (11) можно рассматривать с набором параметров

$$\sigma_{i+1/2} \equiv a(x_{i+1/2}), \quad f_{i+1/2} \equiv f(x_{i+1/2}). \quad (15)$$

Представим результаты численных экспериментов, позволяющие сравнить работу новых и ранее известных схем. Эксперименты состояли в вычислении порядков равномерной и классической сходимости в соответствии со следующим алгоритмом (см. также [3]). Пусть $v_\varepsilon(x)$ – решение исходной дифференциальной задачи, зависящее от параметра $\varepsilon \in (0, \varepsilon_0]$ и определенное на отрезке $[0, 1]$; $\bar{v}_\varepsilon \equiv \{v_{\varepsilon,i}\}_{i=0}^N$ – сеточная функция, аппроксимирующая значения $v_\varepsilon(x_i)$ в узлах равномерной сетки $x_i = ih$ ($i=0, 1, \dots, N=1/h$) и вычисленная для $h \in H = \{h_0/2^j\}_{j=0,1,\dots,m}$, $\varepsilon \in E = \{\varepsilon_0/2^j\}_{j=0,1,\dots,m}$. Обозначим:

$$\sigma(h, \varepsilon) \equiv \|v_\varepsilon - \bar{v}_\varepsilon\|_{h,\varepsilon}, \quad \Delta(h) \equiv \max\{\sigma(h, \varepsilon) | \varepsilon \in E\}$$

Экспериментальные порядки "р" – равномерной и "р₀" – классической сходимости определялись по формулам:

$$p = \frac{1}{\ln 2} \ln \left[\frac{1}{k} \sum_{j=0}^{k-1} \frac{\Delta(h_0/2^j)}{\Delta(h_0/2^{j+1})} \right], \quad (16)$$

$$p_0 = \frac{1}{\ln 2} \ln \left[\frac{1}{k} \sum_{j=0}^{k-1} \frac{\sigma(h_0/2^j, \varepsilon_0)}{\sigma(h_0/2^{j+1}, \varepsilon_0)} \right], \quad (17)$$

Для $h_0 = 1/8$, $\varepsilon_0 = 1/2$, $k = 6$, $m = 8$ рассматривалась задача

$$\begin{cases} \varepsilon u''(x) + \left[\frac{2\varepsilon}{1+x} + \frac{2}{(1+x)^2} \right] u'(x) = \frac{4}{(1+x)^4}, & x \in (0,1); \\ u(0) = -1, \quad u(1) = 1 \end{cases}$$

с известным решением $u(x)$, вычислялись величины (16) и (17) для $v_\varepsilon = u$ и $v_\varepsilon = \Psi \equiv u'$. Табл. 1 позволяет провести сравнительный анализ теоретически и экспериментально определенных порядков сходимости различных схем в случае вычисления функции $u(x)$; здесь тестируались известные по литературе схемы: с направленной разностью [4], Самарского [5], Ильина [6], El-Mistikawy-Werle [2], а также построенная в работе схема (11) с наборами параметров (6) и (15). Аналогичные эксперименты проведены и в случае вычисления потока Ψ , эти результаты отражены в табл. 2: функция $\Psi(x)$ определялась приближенно с использованием формул (11), (6) и (11), (15), а также при помощи (10,1), (11,1), (14,1), что делает этот способ вычисления производной, "примыкающим" к схеме El-Mistikawy-Werle. Все вышеуказанные методы для вычисления производной использовали приближенные значения решения, найденные при помощи соответствующей разностной схемы. Для сравнения производные вычислялись также способом, который мы условно называли "классическим", он состоит в использовании обычной центрально-разностной аппроксимации во внутренних узлах сетки и направленных разностей – в граничных узлах. В отличие от остальных вариантов здесь использовались значения точного решения в узлах сетки.

Таблица 1
Порядок сходимости при вычислении решения $u(x)$

Схема	Равномерная		Классическая	
	Эксперимен.	Теоретич.	Эксперимен.	Теоретич.
Направл.раз. [4]	0.07	0.00	0.94	1.00
Самарский [5]	0.12	0.00	1.91	2.00
Ильин [6]	1.25	1.00	1.98	2.00
El-Mist.-Werle [2]	1.90	2.00	2.00	2.00
(11), (6)	1.96	2.00	2.00	2.00
(11), (15)	2.90	2.00	3.98	2.00

Таблица 2
Порядок сходимости при вычислении потока $\Psi(x)$

Схема	Равномерная		Классическая	
	Эксперимен.	Теоретич.	Эксперимен.	Теоретич.
Классическая	0.14	?	0.94	1.00
(10, 11, 14.1)	1.29	1.00	2.00	2.00
(11), (6)	1.90	2.00	2.01	2.00
(11), (15)	2.71	2.00	3.99	2.00

Анализ таблиц позволяет сделать вывод о положительном эффекте выбора параметров по формулам (15) (средняя точка) в схеме (11).

Литература

- Скляр С.Н., Бакирев Ж.Ж. Проекционный метод построения разностных схем для задач с пограничными слоями // Изв. НАН КР. – 1997. – № 2–3. – С.36–47.
- El-Mistikawy T.M., Werle M. J. Numerical method for boundary layers with blowing – the exponential box scheme// AIAAJ. – 1978. – V.16. – P.749–751.
- Дулан Э., Миллер Дж., Шилдерс У. Равномерные численные методы решения задач с пограничным слоем. – М.: Мир, 1983. – 200 с.
- Роуч П. Вычислительная гидродинамика. – М.: Мир, 1980. – 616 с.
- Самарский А.А. Теория разностных схем. – М.: Наука, 1983. – 616 с.
- Ильин А.М. Разностная схема для дифференциального уравнения с малым параметром при старшей производной //Матем. заметки. – 1969. – Т.6. – Вып.2. – С.237–248.

УДК 002 (575.2) (04)

О создании виртуальных лабораторий для разработки и исследования компьютерных информационных систем

В.П. ЖИВОГЛЯДОВ – академик КР, профессор, декан Кыргызско-Американского факультета компьютерных технологий Internet.

С.А. ЯМПОЛЬСКАЯ – руководитель группы (ИИМОП, КГНУ).

Введение и постановка задачи

Последние годы знаменуются бурным развитием средств коммуникаций, сетевых технологий, компьютерных технологий взаимного общения людей и их проникновением в различные сферы производства, экономики, бизнеса, а особенно в информационные, научно-исследовательские и образовательные области человеческой деятельности [1–12]. Создание локальных, корпоративных компьютерных сетей и подключение их к глобальной сети Internet, а также организаций коммуникаций посредством технологий и протоколов Internet открывает новые возможности и принципы взаимодействия сетевых пользователей, а также использование их для создания виртуальных лабораторий. Комиссия Европейского Сообщества одобрила проект 5-й Европейской программы развития научных исследований и технологий на 1998–2002 гг. [1, 2], в котором говорится, в частности, о создании средств и технологий разработки программного обеспечения, систем и приложений, направленных на повышение эффективности проектных работ и инженерного труда, внедрение средств дружелюбного пользовательского интерфейса в процесс взаимодействия разработчиков и исследователей.

В настоящей статье рассматриваются вопросы методологии и практики построения **виртуальных лабораторий** для проведения коллективных научных исследований и разработок информационных компьютерных систем, проектирования и подготовки технической и другой документации. Целью создания таких лабораторий являются объединения творческих потенциалов разработчиков и исследователей, повышения эффективности, уменьшения затрат на разработку, создания благоприятных условий для разработчиков, позволяя проведение работ в офисах, филиалах, дома.

Что такое виртуальная лаборатория?

"Виртуальными лабораториями" иногда называют обычные WEB-сайты и WEB-сервера, принадлежащие либо учебным, образовательным и другим учреждениям, на которых в соответствии с учебными программами и курсами публикуются описания практических и лабораторных работ и методические указания к ним [13], графические и анимационные модели устройств, процессов и др., либо частные, содержащие личные разработки и

необходимые программные, например "Виртуальная лаборатория новой музыки, Virtual laboratory of new music" [4].

Поэтому вначале необходимо определиться с терминологией. Будем использовать следующие понятия.

WEB-проект – это совокупность связанных файлов, документов (текстовых, графических, табличных, звуковых и т.д.), находящаяся в памяти компьютера, на дискете, компакт-диске или другом носителе информации.

WEB-сайтом будем называть WEB-проект, опубликованный в Internet или Intranet, размещенный на каком-либо WEB-сервере.

Определим научную **виртуальную лабораторию** как информационную систему, созданную на базе продвинутых компьютерных и телекоммуникационных технологий и предназначенную для:

- проведения разного рода научных исследований без непосредственного личного физического контакта исполнителей, от обработки экспериментальных данных и моделирования систем до презентации и публикации результатов в компьютерной сети;
- коллективной разработки научно-исследовательских и научно-технических проектов с использованием территориально распределенных рабочих мест, объединения творческих потенциалов разработчиков и обеспечения эффективного управления проектами в условиях удаленного доступа и выполнения работ как в лабораториях, филиалах, так и дома;
- коллективной работы многих пользователей, с использованием общих информационных ресурсов и инструментальных систем в Internet/Intranet.

Виртуальная реальность в промышленности сегодня наиболее активно применяется для дизайна, оценки эргономичности объектов и создания имитационных тренажеров больших технических систем, в частности, автомобилей [11].

Назначение, функции и принципы структурного построения виртуальных лабораторий

Создание виртуальной лаборатории может преследовать различные цели. В сети Internet известны WEB-сервера, называемые также виртуаль-

ными лабораториями, или лабораториями виртуальной реальности, открытые для широкого доступа или закрытые, использующиеся только узким кругом сотрудников, той или иной фирмы или компании. Некоторые крупнейшие фирмы по разработке тренажерных систем, того или иного оборудования [10, 11] создают специализированные виртуальные лаборатории, предназначенные для разработки сложных проектов.

Обобщая и развивая идеи создания коллективов исследователей или разработчиков проектов, находящихся в удаленных точках друг от друга [3, 10, 15], сформулируем следующие признаки и принципы функционирования виртуальных лабораторий. Виртуальная лаборатория должна обеспечивать:

- создание виртуальной рабочей группы (ВРГ) заинтересованных лиц для работы над каким-либо проектом,
- объединение пространственно разобщенных исследователей в некоторое виртуальное сообщество с предоставлением открытого или авторизованного доступа к общим информационным ресурсам,
- доступ к различным источникам информации, виртуальным библиотекам, архивам документов,
- доступ к различным инструментальным средствам компьютерного моделирования, анализа, CASE-средствам,
- предоставление возможности всем членам виртуальной рабочей группы работать с архивами коллективных документов и проектами не только в режиме чтения, но и в режиме редактирования, обновления,
- требуемый уровень информационной безопасности, секретности разрабатываемых проектов и проводимых исследований.

Создание виртуальной лаборатории для научно-исследовательских и образовательных целей с учетом вышеперечисленных условий, осуществимо на базе:

- современных компьютерных сетей,
- современных технологий, таких как Internet-технологии и WEB/Database технологии,
- современной методологии построения компьютерных информационных систем и использования CASE-средств [6].

Рассмотрим подробнее эти аспекты.

Виртуальные лаборатории на базе Internet/Intranet технологий

Виртуальная лаборатория на базе компьютерных сетей наиболее просто и доступно реализуется при использовании Internet технологий. Термином Internet-технологии, как правило, обозначают все технологии взаимодействия компьютеров в сети Internet на базе IP-протоколов. Понятие Intranet (или Internet/Intranet) применяют в случае использования принципов и технологий Internet для организации внутренних локальных сетей, с обеспечением доступа к ресурсам сети Internet или без него. Создание корпоративных сетей, которые объеди-

няют локальные сети, пространственно удаленные друг от друга и взаимодействующие в пространстве Internet, привело к появлению термина Extranet [10,12], который определяет некоторую глобальную корпоративную сеть, обладающую всеми свойствами локальных сетей в отношении доступа к информации.

Такие виртуальные лаборатории создаются на базе существующих или проектируемых локальных сетей, объединяя разработчиков, которые подключены к локальной сети (территориально находятся в пределах одного офиса). При этом используются специальные технические и программные средства конфигурирования устройств, которые позволяют на основе Internet/Intranet технологий выделить компьютеры общей локальной сети в некоторую виртуальную локальную вычислительную сеть (Virtual Local area Network-VLAN) со своим собственным пространством виртуальных адресов.

VLAN – это сеть, использующая программную сетевую коммутацию и являющаяся физически недоступной для любых других, не входящих в нее компьютеров. В любой локальной сети можно выделить одну или более виртуальных сетей. В каждой виртуальной сети можно определить границы и полномочия авторизированного доступа как к общим информационным ресурсам VLAN, так и к распределенным индивидуальным директориям и отдельным файлам.

Индивидуальные информационные ресурсы пользователей закрыты для общего доступа и их использование также определяется иерархической системой доступа. С индивидуальными информационными ресурсами может работать как пользователь, собственник этих ресурсов, так и его коллеги, которым пользователь – собственник дает разрешение на доступ к этим ресурсам, как к директориям, так и к отдельным файлам. Преимущество таких виртуальных лабораторий заключается в полной закрытости всех информационных ресурсов от их несанкционированного использования как от пользователей всей локальной сети, так и от внешних пользователей в случае, если локальная сеть подключена во внешнюю сеть Internet. Надежность и конфиденциальность для VLAN обеспечивается физической недоступностью из вне к ресурсам VLAN и соответствующим программным системным обеспечением.

Виртуальные лаборатории на базе Extranet

Основным свойством использования Extranet-технологии для создания виртуальных лабораторий является то, что в виртуальную рабочую группу (ВРГ) можно объединять пользователей, вне зависимости от их нахождения в сети Internet. Информация передается через каналы, узлы и маршрутизаторы не в открытом виде, а с использованием так называемого туннеля – механизма, помещающего пакеты данных локальной сети внутрь IP-пакетов, которые передаются через Internet. Для обеспечения информационной безопасности передаваемые IP-пакеты шифруются с применением различных технологий кодирования (например, кодирование с

открытым симметричным ключом). Таким образом, создается виртуальная сеть, которая соединяет клиента с корпоративной сетью или несколько сетей между собой, а образовавшееся соединение, с точки зрения доступа пользователя к тем или иным ресурсам, ничем не отличается от локальной сети или выделенного канала связи. Технология эта получила название Virtual Private Network (VPN) [12,15]. Идея создания виртуальных лабораторий на базе таких технологий особенно привлекательна, поскольку дает возможность объединить разработчиков, находящихся в офисе, дома, на других континентах и обеспечить им надежное и прямое взаимодействие.

Использование Web-технологии и Web/Database-технологии при создании виртуальной лаборатории

В виртуальной лаборатории должны поддерживаться и современная система управления базами данных, которая смогла бы обеспечивать такие функциональные возможности, как поддержка распределенных транзакций, тиражирование данных, работа с хранилищами данных, взаимодействие с Internet и др. Какие бы не были выбраны для этих целей операционная система и программное обеспечение для работы с базами данных, в совокупности они должны обеспечить взаимодействие таких компонентов, как:

- Web-клиент, которым является Web-браузер, такой как Netscape Navigator или Microsoft Internet Explorer,
- Web-сервер – это любой основанный на HTML (Hyper Text Make up language) сервер, например FastTrack или Enterprise Server компании Netscape, Internet Information Server компании Microsoft, или UNIX-сервер,
- программное обеспечение (ПО) промежуточного уровня (middleware), которое отвечает за обеспечение прикладных сервисов и управление коммуникациями между Web-сервером и сервером баз данных; вызывая внешние программы, или "сценарии", которые действуют в качестве "транспортного механизма"; в качестве такого ПО может быть использован CGI (Common Gateway Interface),
- сервер баз данных, который управляет информацией, хранящейся в базе данных.

Для оптимальной работы сервера баз данных в рассматриваемой системе взаимодействий он должен включать в себя различные функции, такие как: координирование распределенных транзакций (Distributed Transaction Coordinator), тиражирование данных, возможность взаимодействия с Internet, работу с хранилищами данных (data warehousing). К таким серверам можно отнести Microsoft SQL Server, который при работе с хранилищами данных обеспечивает поддержку симметричной многопроцессорной обработки (SMP), имеет встроенные механизмы тиражирования, распределенное управление на базе механизмов OLE (Object Linking and Embedding), обеспечивает интеграцию с электронной почтой и Internet, а

также параллельное выполнение операций, оптимизацию запросов, механизмы высокопроизводительной сортировки и др.

Использование Web/Database-технологии позволит сотрудникам виртуальной лаборатории осуществлять (в пределах выделенных привилегий – административных, индивидуальных или групповых) менеджмент базы знаний, базы проектов, а именно:

- осуществлять управление информационным наполнением сервера нескольким сотрудникам одновременно, сохраняя при этом единство оформления и стиля для всей виртуальной лаборатории,
- осуществлять управление публикацией, что позволит автоматизировать процесс периодической публикации или рассылки по списку документов и проектов,
- использовать механизмы поиска требуемой информации, которые позволяют искать информацию вне зависимости от способа и места ее хранения: на Web-сервере, в файловой системе, в базе данных или в папке почтового сервера,
- использовать персонализацию информации, что дает возможность пользователю виртуальной лаборатории просматривать или получать только тот материал, который ему требуется,
- использовать Web-вещание, которое позволяет за короткое время строить персонализированные каналы, которые служат для периодического обновления информации на компьютере пользователя,
- проводить администраторам мониторинг и анализ как данных, так и посещаемости виртуальной лаборатории.

О принципах структурного построения виртуальных лабораторий для организации коллективной работы над исследовательскими или проектными разработками

При проведении каких-либо совместных научно-исследовательских по определенной теме или проектных работ по разработке некоторой системы весь объем работ, как правило, можно разбить на несколько частей, а их выполнение – на несколько этапов. Выполнение этапов сопровождается созданием соответствующей документации. Определив каждый отдельный документ и любую конечную часть разработки словом "проект", в дальнейшем будем использовать его как некоторую единицу для коллективной обработки, хранения, обновления и т.д. Таким образом, каждая разработка будет состоять из конечного набора проектов, различные версии которых являются основными составляющими информационной базы виртуальной лаборатории.

Рассмотрим структурную схему (рис.1) виртуальной лаборатории, в которой реализованы основные функциональные возможности для создания виртуальной рабочей группы и организации коллективной работы над исследовательскими или

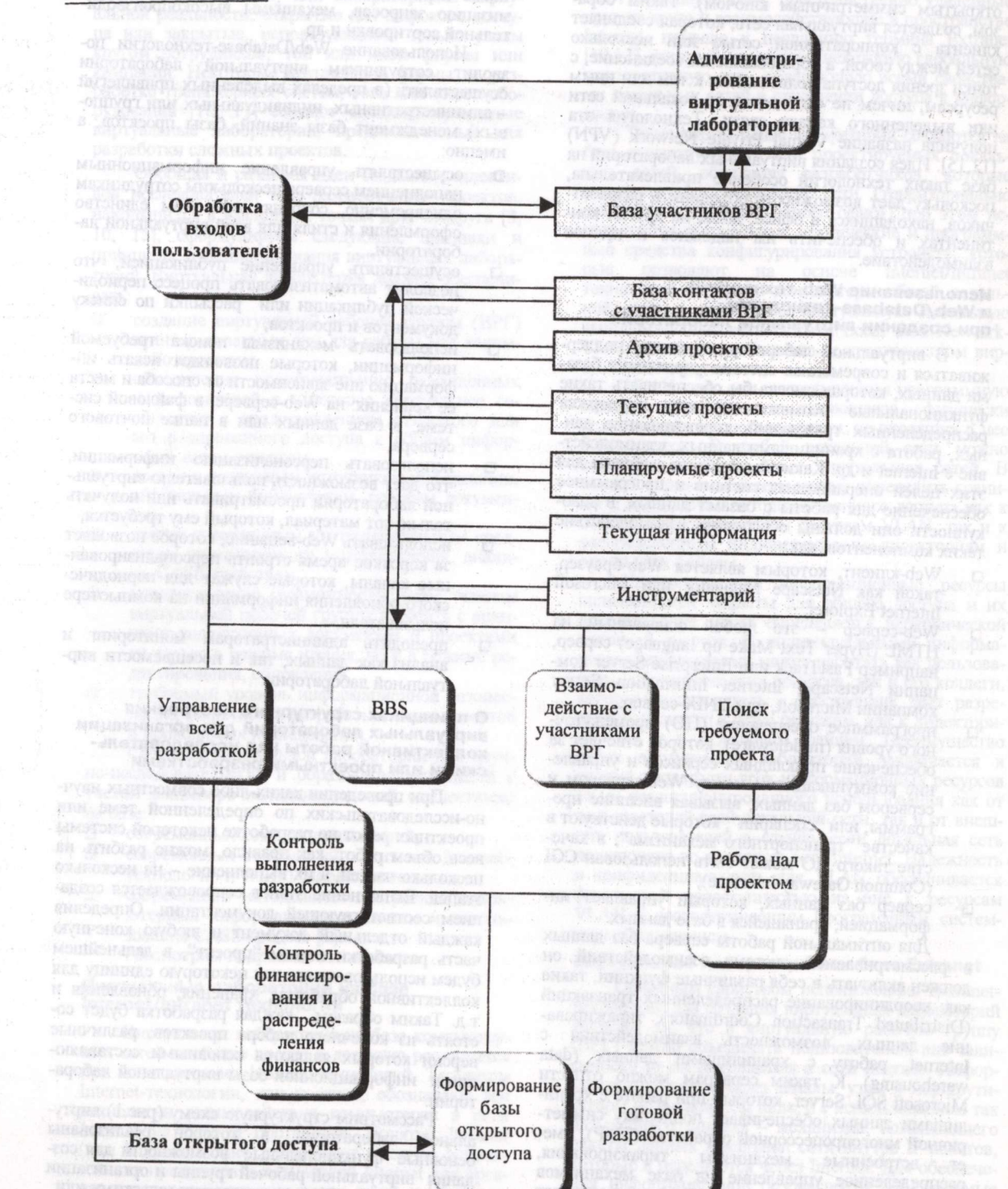


Рис.1. Функциональная схема виртуальной лаборатории

проектными разработками. Виртуальную лабораторию можно представить в виде информационного сервера с несколькими базами данных и набором инструментальных программных средств для обработки проектов.

Виртуальная лаборатория может иметь централизованный характер, когда все информационные ресурсы и инструментальные средства базируются на одном сервере, и распределенный (например, по DNA-технологии), когда центральная часть и инструментальные средства базируются на некотором сервере, а информационные ресурсы общего доступа могут находиться на любом компьютере (возможно, на обычной рабочей станции) виртуальной сети. При распределенном характере виртуальной лаборатории участники ВРГ, получившие доступ к ресурсам лаборатории, могут быть не посвящены в вопрос о конкретном местонахождении в сети запрошенного информационного ресурса, но доступ к нему может быть только при наличии авторизации на виртуальном сервере. Осуществляется это путем администрирования Web-сайта виртуальной лаборатории и не влияет на функциональную схему.

Web-сайт может иметь два вида информационных ресурсов: открытого и закрытого типа. Ресурсы, предлагаемые для открытого доступа, могут публиковаться в локальных сетях, в Internet, в рекламных целях и для свободного обмена мнениями со всеми заинтересованными лицами, или же для привлечения дополнительных (интеллектуальных, финансовых и др.) ресурсов или средств.

Закрытые ресурсы предназначены исключительно для пользователей – участников ВРГ; доступ к ним ограничивается списком, который формируется как база пользователей с определением привилегий для каждого пользователя или группы пользователей. Например, вопросы финансирования проектов или распределения финанс на этапах проектирования, по выполняемым работам или участникам разработки могут обсуждаться несколькими ведущими специалистами, другие участники не посвящаются в эти вопросы. Следовательно, требуется создание статуса некоторой привилегированной рабочей группы, а также статуса руководителя проекта, который осуществляет управление проектом, контроль выполнения тех или иных этапов и др. Список участников и их уровни доступа определяет руководитель проекта.

В каждый текущий момент разработки можно выделить проекты предыдущего этапа, текущие проекты, планируемые для разработки. Для каждого вида требуется создать соответствующие хранилища ("Архив проектов", "Текущие проекты", "Планируемые проекты"). Текущие проекты после завершения перемещаются в "Архив проектов".

Доступ к проектам "Архива", которые завершены и не требуют изменений, может быть организован в режиме чтения. Хранилище для планируемых проектов представляет собой базу, куда помещаются предполагаемые для выполнения

проекты, которые либо перемещаются в хранилище текущих проектов по мере надобности, либо уничтожаются, если в их разработке отпада необходимость, либо сохраняются для будущих разработок или исследований, если выходят за рамки текущей разработки. В схеме виртуальной лаборатории предусматриваются блоки, которые необходимы для управления отдельными проектами и всей разработкой в целом ("Управление всей разработкой", "Контроль выполнения разработки", "Контроль финансирования и распределения финанс"). Управление проектами возлагается на руководителя разработки, который обеспечивает выполнение в полном объеме и установленные сроки. Включение в схему блоков "BBS" и "Взаимодействие пользователей" обеспечит участникам ВРГ непосредственное общение, обмен мнениями и телеконференцию в режиме Online.

В процессе работы над проектами может возникнуть необходимость создания материалов по проекту для опубликования в открытом доступе, если разработки выполняются по международным или открытым темам. Для подготовки таких материалов предполагается использовать соответствующую базу, куда помещаются все материалы, к которым открывается доступ пользователям либо локальных сетей или Internet.

Системное администрирование виртуальной лаборатории (блок "Администрирование виртуальной лаборатории") заключается в конфигурировании виртуальной сети (Intranet или Extranet) для виртуальной лаборатории, в определении расположения информационных ресурсов и конфигурирования их взаимодействия, обеспечении авторизованного доступа ко всем необходимым ресурсам, создании надежных и постоянных коммуникаций, обеспечении безопасности виртуальной лаборатории.

Методология создания информационных систем на базе корпоративных компьютерных сетей

В работе [9] обсуждалась проблема создания информационных систем на основе методологии жизненного цикла и спиральных моделей. Был развит Системный структурный подход с прототипированием (ССПП). Рассмотрим применение такого подхода к созданию информационных систем на базе корпоративных сетей и технологии Internet/Intranet. При разработке сетей можно выделить и конкретизировать отдельные этапы жизненного цикла, которые являются специфическими сетевых систем. Спиральная модель, охватывающая основные этапы проектирования корпоративной сети, на базе Internet/Intranet включает ряд этапов.

Этап 1. Анализ (задач, рынка, технологий, финансовых возможностей), который включает в себя работы по проведению технического и экономического анализа:

- решаемых задач, глобальных и локальных, каждого подразделения (лабораторий, кафедр, административных подразделений и др.).

Этап 2. Высокоуровневый структурный синтез локальной компьютерной сети позволит разработать структурное взаимодействие локальных и глобальных задач, создать схему информационных потоков (DFD), оценить их мощность, направленность, периодичность, потребность в информации различных пользователей и подразделений. В результате выполнения этого этапа формируются технические требования к телекоммуникационным средствам и вычислительной технике.

Этап 3. Разработка прототипов (технических и системных конфигураторов сети) предполагает:

- создание технических конфигураторов всей корпоративной сети, выделение отдельных сегментов сети, определение удаленных точек доступа,
- создание прототипов отдельных подсистем,
- выбор средств телекоммуникационного доступа, средств вычислительной техники, системных и технологических решений для сетевой поддержки и обеспечения жизнедеятельности корпоративной сети,
- разработку системы безопасности всей корпоративной сети.

Этап 4. Испытание прототипов позволит оценить достоинства и недостатки пройденных этапов и провести корректировку, как структурных моделей, так и разработанных на их основе технических и системных конфигураторов для отдельных сегментов и для всей системы в целом.

Этап 5. Выбор провайдера и апробация каналов связи включает в себя работы по поиску наиболее приемлемых условий со стороны провайдеров Internet по техническим и экономическим характеристикам, аprobирование (по возможности) или сопоставление различных каналов доступа к ресурсам сети Internet.

Этапы 1-5 спирально повторяются для выработки финального прототипа, результаты которого закрепляются в технорабочем проекте на создание корпоративной сети на базе технологий Internet/Intranet.

Этап 6. Технорабочее проектирование.

Этап 7. Приобретение ТКО, СВТ, программного обеспечения (ПО), поставка ТКО и СВТ, установка, монтаж, подключение.

Этап 8. Генерация, установка ПО, создание системы администрирования.

Этап 9. Эксплуатация, сопровождение корпоративной сети, создание и ведение различных баз данных, в том числе базы данных пользователей, информационных серверов и виртуальных лабораторий.

Информационная безопасность и защита виртуальной лаборатории от несанкционированного доступа

Проблема информационной безопасности многоуровневая. Она включает:

- защиту конкретной информации от несанкционированного доступа, от искажения, от уничтожения,
- защиту субъектов от распространения ложной, тенденциозной информации,

- защиту информационного пространства,
- защиту каналов связи, информационных и телекоммуникационных систем, обеспечение надежности их функционирования.

Безопасность информационных систем обеспечивается организационными мероприятиями и программно-техническими средствами.

Пользователи системы разбиваются на группы по уровням доступа. Уровень требуемой защиты информационных ресурсов зависит от специфики деятельности и ценности информации. Методы защиты и обеспечения достоверности информации также разные: технические (аппаратные), программные, алгоритмические, правовые. Для каждого вида данных определяется степень конфиденциальности. Исходя из данных, входящих в документы, определяется степень конфиденциальности документа. Рекомендуется снабжать документы ярлыком, где указывается степень конфиденциальности и уровень доступа лиц, создавших этот документ.

Разрабатывается структурная схема информационной системы, на которой указываются точки входа пользователями различного уровня доступа и места нахождения информационных ресурсов, различной степени конфиденциальности. Структурная схема должна давать ясное представление о территориальном расположении локальных сетей, об используемых телефонных каналах связи и возможных точках утечки информации.

Обеспечение защиты данных на программном уровне может быть реализовано организацией многоуровневой системы разграничения прав и доступа к различной информации. Производится идентификация каждого входящего в систему, проверяется его пароль, определяется право доступа к информации. Назначение входных имен и паролей возлагается на администратора виртуальной лаборатории, ответственного за информационную безопасность. При необходимости ограничение доступа реализуется путем использования шифров. Необходимый уровень информационной безопасности виртуальной лаборатории на базе Web-сайта может быть обеспечен системными средствами в компьютерной сети, функционирующей под управлением операционных систем Windows NT и UNIX.

Новая система Windows 2000 поддерживает несколько технологий аутентификации для различных целей [14]. Основным методом идентификации в Windows 2000 является Kerberos 5 — эта стандартизованная система с симметричными ключами позволяет эффективно распространять ключи защищенным образом через специальный центр распространения ключей (Key Distribution Center). Клиентами, которые могут использовать Kerberos, являются Windows 2000 Professional и Windows 2000 Server. Windows NT клиенты используют протокол защиты Windows NT LAN Manager (NTLM). Связь систем Windows 2000 с сервером Windows NT 4.0 будет осуществляться с использованием NTLM вместо Kerberos. NTLM является также протоколом защиты для удаленного доступа в сеть. Для поддержки смарт-карт (с помощью Microsoft Certificate Server) в систему Kerberos

встроены расширения PKI, для работы в Internet Windows 2000 поддерживает Secure Sockets Layer 3 (SSL 3) и Transport Layer Security (TLS). Microsoft Certificate Server – это сервер сертификатов для создания и управления цифровыми сертификатами, а для взаимодействия с другими сертификационными центрами Windows 2000 имеет встроенную поддержку IPSec.

Создание виртуальных исследовательских и учебных лабораторий на КАФ-ИНТЕРНЕТ

В настоящее время в КГНУ на Кыргызско-Американском факультете компьютерных технологий и Интернет ИИМОП созданы компьютерные мультимедиа лаборатории для проведения занятий и исследований, организован доступ к внешним (Internet) и внутренним (Intranet) информационным ресурсам, ведутся работы по организации виртуальной лаборатории для проведения исследовательских и проектных работ по созданию компьютерных информационных систем и WEB-проектов. Корпоративная компьютерная сеть Института интеграции международных образовательных программ (ИИМОП) создана по технологии Internet/Intranet [8] и представляет собой ряд связанных между собой локальных сетей, WEB-сайтов и серверов. При этом используется раздельный доступ к ресурсам всей корпоративной сети (файловым архивам локальных серверов) и к ресурсам глобальной сети Internet. Виртуальная лаборатория факультета предназначена для ведения научно-исследовательской и проектной деятельности ограниченного круга авторизованных пользователей. Доступ к ресурсам виртуальной лаборатории для пользователей-сотрудников лаборатории возможен не только с компьютеров корпоративной сети, но и по коммутируемым каналам (Dial-up), подключенным к серверу доступа КАФ-Интернет. С учетом специфики работы факультета и условий трудовой деятельности сотрудников в виртуальной лаборатории реализованы следующие функциональные возможности:

- обеспечение доступа к внутренним, региональным информационным ресурсам и к информационным ресурсам Internet,
- организация и проведение коллективной научно-исследовательской и проектной деятельности,
- проведение научно-организационной деятельности, повышение квалификации сотрудников лаборатории,
- организация подготовки и публикации разного рода документов (статей, программ, обзоров, проектных документов, учебных и методических материалов как на корпоративных, так и на внешних WEB-серверах КАФ-Интернет, BBS, обмена по электронной почте как внутри виртуальной лаборатории, так и в глобальной сети Internet).

При организации виртуальной лаборатории предусмотрено администрирование лаборатории для организации и управления ее деятельностью и для строгого авторизованного доступа к информа-

ционным ресурсам различного рода. Предусматривается администрирование групп пользователей и индивидуальных пользователей с делегированием прав и приоритетов при доступе к тем или иным информационным ресурсам и инструментальным системам, пакетам программ и CASE-средствам, а также к возможностям корректирования или создания новых WEB-проектов и других проектов (документов), публикации на WEB-серверах факультета. Помимо администрирования WEB-сайта в виртуальной лаборатории введена функция управления разработками (проектами), права доступа к которой делегируются привилегированной группе пользователей (руководителям разработок).

Функциональная структура виртуальной лаборатории представлена на рис.2. Лаборатория содержит информационные ресурсы открытого и закрытого доступа. Ресурсы открытого доступа подразделяются на информационные ресурсы, публикуемые в Internet, на WEB-сервере "Kyrgyzstan Online", на WEB-сервере "International Educational Programs Integration Institute", в открытой части "КАФ-Internet Information server" и доступные для любых пользователей сети Internet, и внутренние, корпоративные, публикуемые в закрытой, авторизованной части "КАФ-Internet Information server (IS KAF)", используемые для обеспечения образовательной и научно-исследовательской деятельности факультета и института, для дистанционного обучения и повышения квалификации и др. Информационные ресурсы, файловые архивы и инструментальные системы виртуальной лаборатории закрытого доступа предназначены только для пользователей (сотрудников) виртуальной лаборатории. По завершению разработки (статья, документ, WEB-проект, научно-исследовательский проект, и др.) могут подготавливаться для публикации или презентации, вноситься в соответствующие архивы и быть опубликованы или представлены для корпоративного (ведомственного) или широкого использования в необходимом объеме и виде.

В структуре виртуальной лаборатории предусматривается организация обмена информацией в виде электронной почты, ICQ, телеконференций (видеоконференций), BBS (Bulletin Board System) как с внешними пользователями, в том числе и пользователями Internet, так и с пользователями виртуальной лаборатории. В последнем случае доступ к электронной почте, телеконференциям и BBS строго авторизован и возможен только для пользователей виртуальной лаборатории.

Выводы

В настоящее время, когда жизненный цикл многих информационных систем и проектов резко сократился [9], вопрос об эффективности и уменьшении сроков разработки является наиболее актуальным. При использовании виртуальных лабораторий возможно формирование высокопроизводительного квалифицированного коллектива разработчиков, обеспечение тесного взаимодействия между ними и применение методов совместной обработки проектов и документов. Создание виртуальных лабораторий в Internet/Intranet стало

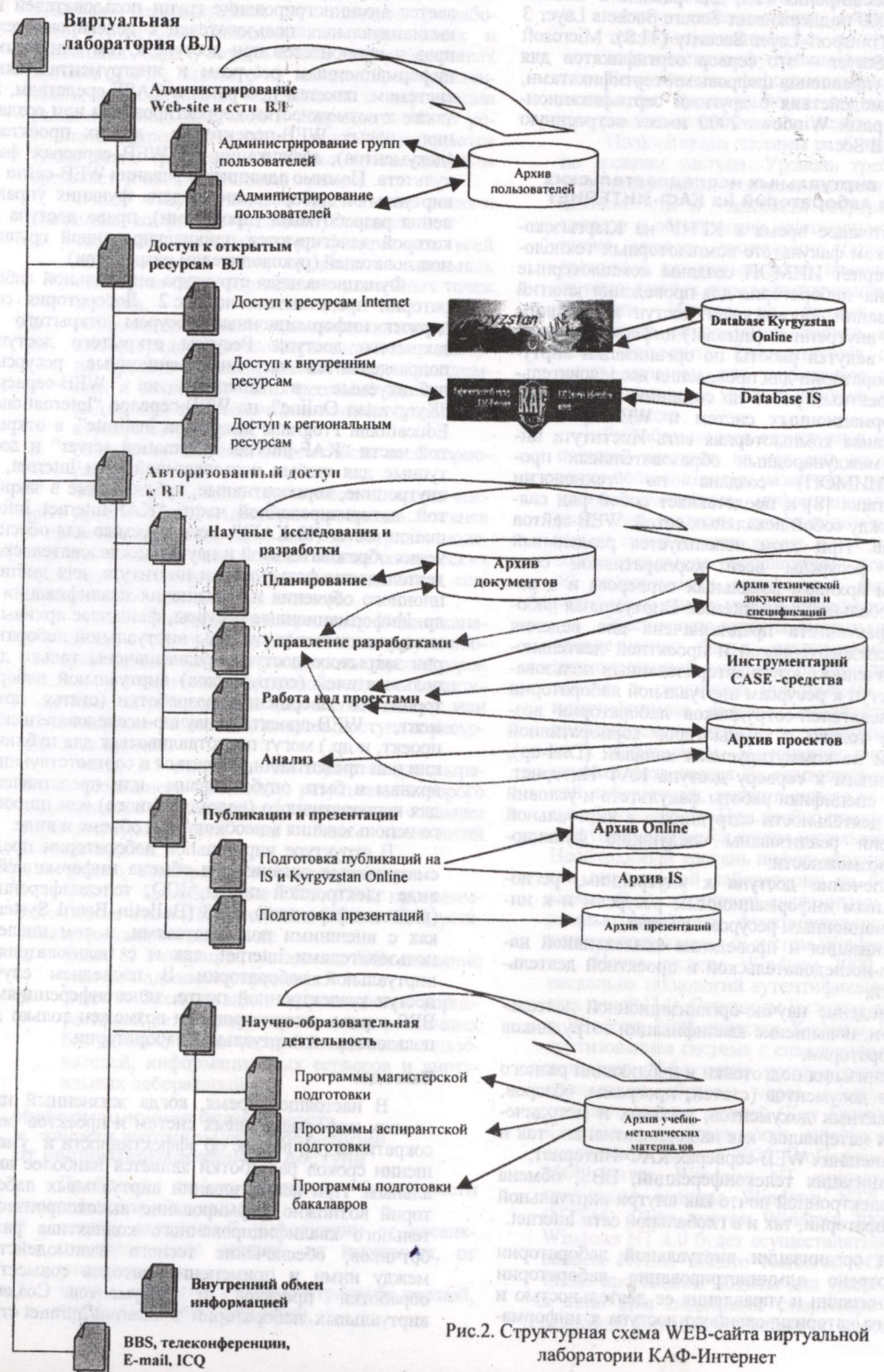


Рис.2. Структурная схема WEB-сайта виртуальной лаборатории КАФ-Интернет

реальностью. Это достигается посредством применения современных WEB-технологий, WEB/DATABASE-технологий создания виртуальных сетей на базе высокопродуктивных технических и программных средств.

Литература и источники в Internet

1. FIFTH FRAMEWORK PROGRAMME for Research and Technological Development (1998-2002) Creating a user-friendly information society
<http://www.cordis.lu/fifth/src/533en5.htm>
2. 5-я Европейская Программа развития научных исследований и технологий на 1998-2002 годы
<http://park.kiev.ua/gis/5th-prg.html>
3. <http://geo.ifaran.ru/present/gin/sld001.htm>
4. <http://www.glasnet.ru/~popoff/>
5. Valery P. Zhivoglyadov, Svetlana A. Yampolskaya and Vitaly A. Kuznetsov Research and Academic Computernet of the International University of Kyrgyzstan and its Applications. International Conference of Informatics and Control, Proceedings, ICI&C '97, St. Petersburg, Russia, 1997, Volume 1 of 3, pages 251-258.

УДК 537.523.5 (575.2) (04)

Плазматронная теплогенераторная установка

А.Т. ТАТЫБЕКОВ – канд. техн. наук, зав. лаб. плазменных технологий ИФ НАН КР, специалист по плазменным технологиям, автор более 30 научных трудов, 3 изобретений.

В.И.НИКАНОРОВ – науч. сотр. ИФ НАН КР, преп. КГУ, специалист по теплоэнергетике, автор 70 статей и 7 изобретений.

Ж.Ж.ЖЕЕНБАЕВ – акад., док. физ.-мат. наук, профессор, ведущий специалист в области плазменных технологий, автор 4 монографий, 200 научных статей, 20 изобретений.

Т.С.КЕНЕШОВ – зав. каф. градостроительства КГ УСТА, канд. архитектуры, доц., автор более 20 статей, 50 проектов строительства.

Т.Дж.ДЖАНИБЕКОВ – мл. науч. сотр. ИФ НАН КР, специалист в области плазменных технологий, автор 12 научных статей, 1 патента КР.

В.Б.БОРТ – мл. науч. сотр. ИФ НАН КР, автор 12 научных статей.

К.У.САБАЕВ – ст. науч. сотр., канд. техн. наук ИФ НАН КР, специалист в области плазменных технологий, автор 15 статей, 3 изобретений.

К.О.МУКАЛАЕВ – науч. сотр. ИФ НАН КР, специалист в области плазменных технологий, автор 15 научных статей.

Интерес к плазменным установкам как источникам мощных тепловых потоков в относительно малом объеме возник сравнительно давно в результате их широкого применения в промышленности [1]. Ранее нами проведены исследования по использованию электрической энергии для отопления электродными котлами [2, 3]. Были предприняты попытки использования в этих целях непосредственно плазменного факела. Такая необычная задача была поставлена как альтернатива известным способам и устройствам, на которых основаны электронагреватели. С этой целью

6. Вендеров А.М. CASE-технологии. Современные методы и средства проектирования информационных систем
7. Габбасов Ю.Ф. Internet 2000: Эффективные технологии работы в Сети, BHV. – Санкт-Петербург, 1999. – С.440.
8. Жигоглядов В.П., Ямпольская С.А. Введение в Internet. Бишкек: Изд-во ИИМОП КГНУ, 1998. – С.109
9. Жигоглядов В.П., Ямпольская С.А. Методология и опыт создания компьютерных сетей для исследовательских и образовательных целей //Вестник КГНУ, Юбилейный выпуск, 1998 – С.76-85.
10. Кондратьев И. Технология – виртуальная, результат – реальный, Computerworld Россия
11. Леонов Сергей. Реальная виртуальность http://www.cterra.com/237/tema_pomera/chapter3.html
12. Мурзян А. VPN: будущее начинается сегодня <http://www.cterra.com/250/internet/index.html>
13. Образовательный сервер Optika <http://phdep.ifmo.ru/>
14. Стив Штайник. Windows 2000: ответы на вопросы // LAN/ЖУРНАЛ СЕТЕВЫХ РЕШЕНИЙ, №10, 1999.
15. Хэррелд Хитер Конструкторов объединяет виртуальную сеть /Federal Computer Week, США <http://koi.www.osp.ru/cw/1997/35/102.htm>

В тепловой схеме ПТГУ были использованы все потоки тепла, отводимого от составных частей плазматрона. Теплоносителем является вода. При разработке тепловой схемы ставилась задача скомпоновать ее так, чтобы при различных схемах включения, температурный режим охлаждающей воды не выходил за пределы допустимых температур и при объединении потоков тепла можно было получить поток горячей воды с температурой, приемлемой для теплоснабжения.

Для получения плазмы в плазматрон подается сжатый воздух при давлении 2–3 кг/см². Из плазматрона выходит газовый поток с температурой выше 120°C.

Использование тепла этого газового потока осуществляется в теплообменнике, в который подается вода, предварительно нагретая в других частях установки. При разработке тепловой схемы были апробированы различные схемы включения потоков предварительно нагретой воды.

Теплообменник выбран поверхностного типа, трубчатый с перекрестной схемой включения теплоносителей. Для уменьшения потерь тепла в окружающую среду теплообменник размещен в охлаждаемом кожухе, который является частью теплообменника.

Для получения малых габаритов теплообменника были выбраны максимально возможные скорости потока газа, выходящего из плазматрона, и нагреваемой воды. Кожух теплообменника, используемый как опора плазматрона, взят цилиндрического типа для совмещения с плазматроном и насадкой к нему, которые имеют цилиндрическую форму и размещены вертикально. Для исследований выбран вариант с направлением выходящего потока газов вниз.

Теплообменник выполнен из двух частей – противоточной и прямоточной. Входы и выходы труб (для подачи и отвода воды) были размещены с нижнего торца, где расположена также выход охлажденной газовоздушной смеси из теплообменника. Этот поток газов имеет температуру выше, чем температура окружающего воздуха, и является потоком уходящих газов из ПТГУ.

В одном из вариантов ПТГУ уходящие газы были использованы для подогрева воды в отдельно расположеннем баке, в котором было реализовано барботирование газового потока через слой воды. При этом газы подавались через трубу, конец которой был заглублен в воде на 150 мм. После барботирования газы выходят с температурой порядка 35°C.

В плазматроне при горении плазмы образуется ионизированный газ, создающий электропроводящий высокотемпературный поток, который удерживается за счет подвода электроэнергии. При этом происходит окисление молекул азота, кислорода и других газовых компонентов, находящихся в исходном воздухе или возникающих вследствие химических реакций в плазменном состоянии.

После охлаждения потока газов в теплообменнике наблюдается рекомбинация ионов с превращением в молекулярное состояние. Однако этот процесс необратим и газовый поток на выходе может быть загрязнен компонентами, которые следует отнести к категории загрязнителей – озон, окислы азота, окислы серы, диоксид углерода, углеводороды.

Озон является основным вредным компонентом, образующимся в плазменном ионизированном воздухе, является высоконапряженным окислителем и относится к вредным веществам 1-го класса опасности. Предельно допустимая концентрация (ПДК) в России и Кыргызстане – 0,16 мг/м³ [5]. При испытаниях плазматрона генератора расход воздуха составлял 1,5 г/с или 1,16 дм³/с, содержание озона в уходящих газах – 0,024 л/с, что равняется по концентрации 2% в потоке уходящих газов. Выход этих газов в помещение с ограниченным объемом приводит к гораздо большему загрязнению воздуха в рабочей зоне нежели величина ПДК.

Окислы азота образуются в плазме при температуре выше 2000°C в виде окиси, двукиси и четырехокиси и вредно действуют на организм человека.

Их относят к классу высоконапряженных вредных веществ (2-й класс опасности), действующих разрушительно на психику человека и вызывающих отрицательные физиологические последствия. ПДК – 5 мг/м³ [6,7].

Окислы серы могут образовываться в плазменном потоке за счет возможного присутствия серных и сернокислых соединений на поверхности металла внутри плазматрона и за счет внесения этих окислов с входящим воздухом. Они относятся к вредным веществам 3-го класса опасности, ПДК – 0,5 мг/м³ [6].

Диоксид углерода может вноситься с исходным воздухом и образовываться в плазматроне за счет возможного присутствия углеродных соединений на поверхности металла. Этот загрязнитель отнесен к 4-му классу опасности и ПДК для него – 20 мг/м³ [6]. Аналогичен и путь поступления углеводородов, которые также отнесены к 4-му классу опасности, с ПДК – 300 мг/м³.

При испытаниях все перечисленные вредные загрязнители определены экспериментально газоанализатором типа УГ-2, согласно известной методике [7].

Концентрации загрязнителей в уходящих газах

Показатель	Окислы азота	Окислы серы	Диоксид углерода	Углеводороды
ПДК, мг/м ³	5	10	20	300
Измеренная концентрация, мг/м ³	4,2	5,8	7	9

Эти данные показывают, что все другие загрязнители, кроме озона, находятся в уходящих газах в малом количестве и их концентрации не превышают нормируемых значений.

При испытаниях плазматрона теплогенератора с барботированием газов в слое воды концентрации загрязнителей в уходящих газах были примерно на порядок меньше и находились на уровне чувствительности индикаторных трубок газоанализатора УГ-2. Очевидно, что при барботировании большая часть загрязнителей абсорбируется в воде или даже образует слабые водные растворы. Особый эффект был отмечен по содержанию озона в уходящих газах – отсутствию специфического запаха в воздухе помещения, где проводились испытания. Предполагается, что озон растворяется в воде, образуя озонированную

воду. Оценка состава воды после испытаний показывала уменьшение величины pH от 7 (исходная вода) до 5,5 (вода с кислой реакцией).

При этих испытаниях не ставилась задача по исследованию получаемой озонированной воды, возможного действия на металл установки и другие вещества, а также возможного применения в технике.

Тепловые испытания теплогенератора проведены с целью определения возможности его использования для теплоснабжения в малых замкнутых системах отопления. Десять серий испытаний выполнены с различными режимами. Изменили электрическую мощность, температуру и расход нагреваемой воды. По результатам испытаний рассчитан коэффициент полезного действия по преобразованию электрической энергии в тепло. Он определен по методу "обратного баланса", который является наиболее точным и заключается в оценке потерь энергии в процессе преобразования [8].

Коэффициент полезного действия теплогенератора определялся по формуле:

$$\eta = 100 - \sum q_i \%, \quad (1)$$

где $\sum q_i$ – сумма всех относительных потерь тепла в ПТГУ.

Относительная величина потерь тепла составила:

$$q_i = 100 * Q_i / N_i \%, \quad (2)$$

где Q_i и N_i – абсолютная величина потерь тепла и электрическая мощность ПТГУ, кВт.

Из всех возможных потерь тепла наиболее существенными являются потери тепла в окружающую среду от поверхности теплогенераторной установки и потери с выходящим из ПТГУ газовым потоком. Последний состоит из неиспользованного для плазмообразования воздуха, части рекомбинированного из ионного состояния молекуларного воздуха и образованных вредных компонентов. Поскольку величина последних в выходящем потоке относительно мала (на уровне ПДК), то для тепловых расчетов был принят технический состав воздуха, имеющий по объему 79% азота и 21% кислорода.

Потери тепла в окружающую среду от поверхности ПТГУ определены по формуле:

$$q = a * S * 100 * (T_p - T_o) / N \%, \quad (3)$$

где a – коэффициент теплоотдачи от поверхности теплогенераторной установки в окружающий воздух при естественной конвекции, принятый согласно [8] величиной 10 Вт/м² * град.

S – наружная поверхность установки, м²,

T_p , T_o – температуры соответственно теплоизолированной поверхности теплогенератора и наружного воздуха, °C.

Потери тепла с выходящими газами рассчитываются по формуле:

$$q = M * C_p * (T_u - T_o) * N \% , \quad (4)$$

где M – расход воздуха, поступающего в плазматрон, г/с;

C_p , T_u – соответственно изобарная массовая теплоемкость воздуха кДж/кг*град и температура потока, выбрасываемого из ПТГУ, в °C.

Лабораторные тепловые испытания ПТГУ выполнены в большом диапазоне изменения режимов. Всего более 10 серий измерений. При каждом измерении определены данные для расчета подводимой электрической мощности, температуры и расхода нагреваемой воды, температуры, расхода и состава выходящего воздуха из установки и величины, участвующие в формулах (1)–(4) для определения КПД [9].

Электрическая мощность теплогенератора изменилась от 75 до 85 кВт. Причем 54% этой мощности выделялось на балластном сопротивлении и 46% – на плазматроне. Для нагрева использовалась вода из городского водопровода с температурой 11–18°C. Она подавалась в таком количестве, чтобы можно было в широких пределах изменять ее температуру на выходе. Температура выходящей нагретой воды после балластного сопротивления (и других частей плазматрона) изменилась от 30 до 98°C. Вода подавалась на змеевиковый теплообменник, где ее температура повышалась от 46 до 102°C. Затем вода подавалась для теплоснабжения.

Испытания проведены при температуре окружающего воздуха 14–15°C. Утечек воздуха на тракте плазматрона не было. Температура уходящих газов после ПТГУ без устройства для барботирования изменилась от 55 до 100°C. В варианте теплогенератора с барботированием выходящего газового потока температура уходящих газов была постоянна и составила около 35°C. При этих параметрах потери тепла с выходящими газами составляли от 0,05 до 0,1 %.

Все поверхности теплогенераторной установки, которые при работе могли иметь температуру выше температуры окружающего воздуха на 15–20°C, были теплоизолированы пластины из пенопласта и матами из минеральной ваты. Температура на поверхности теплоизолированных частей теплогенератора при испытаниях не превышала 44°C. Суммарная наружная поверхность установки составляла 2,45 м². Вынужденного обдувания воздухом при испытаниях не было. При этих условиях потери тепла за счет наружного охлаждения определялись по формуле (3) и составили 0,3–0,55 %.

В результате испытаний и обработки данных была получена величина КПД = 99,63–99,35% в зависимости от режима нагрева воды и мощности. Рекомендованное значение составило 99,5%. Такая величина КПД сравнима с КПД электродных котлов. Однако испытываемый плазматрона теплогенератор имеет весьма малое время выхода на режим, которое составляет не более 5 мин. После запуска теплогенератора в работу через 5 мин уже выходит горячая вода с температурой согласно установленному режиму. Это является значительным преимуществом, поскольку сокращает время, необходимое для прогрева системы теплоснабжения после ее останова. Известно, что при использовании электрокотлов выход на расчетную температуру в системе теплоснабжения затягивается на 3 часа и более в зависимости от протяженности и мощности теплосистемы. Кроме того, испытываемая ПТГУ имеет возможность работать по измененной электрической схеме, когда балластное сопротивление включено постоянно в качестве электрокотла, а плазматрон может включаться периодически для повышения

ния тепловой мощности и температуры нагреваемой воды в зависимости от графика теплоснабжения.

Аппаратура электропитания плазмотрона на постоянном токе может работать с нагрузкой порядка 100 кВт, что соответствует номинальной электрической мощности выпускаемых силовых масляных трансформаторов.

Такая схема электропитания экономичней по капиталовложениям и эксплуатационным расходам за счет снижения относительных потерь на холостой ход. Кроме того, наличие выпрямительного устройства для питания плазмотрона постоянным током требует режима работы без заземления, т. е. с изолированными от земли проводами. Известно [10], что такие схемы электропитания являются наиболее электробезопасными в нормальном режиме работы и позволяют получить малые напряжения прикосновения. Для повышения степени электробезопасности в режиме короткого замыкания (КЗ) на заземленный корпус ППГУ предусмотрено устройство защитного отключения (УЗО) с импульсами по току КЗ и по напряжению нулевой последовательности. Последнее УЗО позволяет защищать выпрямительный агрегат от несимметричных режимов на отдельных фазах выпрямителя.

По расчетным оценкам возможно выполнение плазмотронного теплогенератора с одно- или трехфазным электропитанием и мощностью 10–20 кВт, который из-за высокой мобильности является весьма перспективным для теплоснабжения малых туристическо-гостиничных комплексов.

Разработанный и испытанный лабораторный образец плазмотронной теплогенераторной установки позволяет получать тепло из электроэнергии с использованием водяного теплоносителя, пригодного по параметрам к подаче в существующие системы теплоснабжения.

Температура нагреваемой воды достаточна для систем теплоснабжения, ограниченных по потреблению, какими являются существующие в городском хозяйстве г. Бишкек системы с котельными, в которых установлены паровые водогрейные котлы на газовом или твердом топливе. Разработанная ППГУ позволяет регулировать температуры нагреваемой воды в широких пределах (от 45 до 102°C) при расходе этой воды, определяемом тепловой мощностью установки. Последняя может быть от 10–20 до 100–200 кВт, что позволяет применить такие ППГУ даже

для индивидуального теплоснабжения. При этом возможно использование таких ППГУ в минимально – летнем и максимально – зимнем режимах с включением плазмотрона только в периоды максимального нагрева воды.

Коэффициент полезного действия испытанного образца ППГУ достаточно высок (более 99,5%) и сравним только с электродными водогрейными котлами, однако в отличие от них ППГУ имеет малое время выхода на тепловой режим.

Дополнительно к перечисленным преимуществам разработанной ППГУ позволяет получать озонированную воду с температурой до 60–70°C, подаваемой в устройство для барботирования. Наличие такого устройства позволяет значительно снизить содержание вредных газовых компонентов (озона, окислов азота, диоксида углерода, окислов серы, углеводородов) в уходящих газах, выбрасываемых в атмосферный воздух. Содержание этих вредных газов может находиться на уровне 0,1 от ПДК.

Литература

- Жеенбаев Ж., Энгельшт В.С. Ламинарный плазмотрон. – Фрунзе: Илим, 1975.
- Отчет о научно-исследовательской работе "Исследование характеристик и разработка систем электрического отопления малой мощности." / Ин-т физики НАН КР, 1992.
- Электродный нагреватель. Патент № 77, 1994 / Кыргызстан.
- Моссэ А.Л. Унифицированный ряд плазмотронов для плазменных нагревательных устройств / Препринт № 6. – Минск, 1988.
- Протасов В.Ф., Молчанов А.В. Экология, здоровье и природопользование в России / Под ред. В.Ф.Протасова. – М.: Финансы и статистика, 1995. – 528 с.
- Вредные химические вещества. Неорганические соединения 5–8 групп. Справочное изд./ Бандман А.Л., Волкова Н.В. и др. / Под ред. В.А.Филюва. – Л.: Химия, 1989. – 592 с.
- Муравьева С.И., Казнина Н.И., Прохорова Е.К. Справочник по контролю вредных веществ в воздухе / Справоч. изд. – М.: Химия, 1988. – 320 с.
- Теплотехнический справочник. Изд. 2-е /Под ред. В. Н. Юренева и П. Д. Лебедева. – Т. 1. – М.: Энергия, 1975. – 744 с.
- Кутателадзе С.С. Основы теории теплообмена. – М.: Машиз, 1957. – 382 с.
- Правила устройства электроустановок. ПУЭ – 86. – М.: Энергоатомиздат, 1986. – 863 с.

УДК 681.327.68:778.38

Динамика изменения дифракционной эффективности голограмм в фотополимеризующихся носителях в процессе термохимической фиксации

К.М.ЖУМАЛИЕВ – академик НАН КР, докт. техн. наук, проф.
А.А.САГЫМБАЕВ – канд. техн. наук, вед. спец. ИФ НАН КР.
Д.А.САГЫНБАЕВ – канд. физ.-мат. наук ИФ НАН КР.
А.А.КИМСАНОВ – аспирант ИФ НАН КР.
Ш.М.САЙДАМАТОВ – аспирант ИФ НАН КР.

В последнее время наблюдается повышенный интерес к фотополимеризующимся регистрирующим средам для голографических и оптических видов записи информации с высокой плотностью [1–5]. Фотополимеризующиеся среды привлекают внимание исследователей как самопроявляющаяся среда с сухой обработкой.

Фотополимеризующиеся среды представляют собой твердые слои, состоящие из соединений мономера, полимера, инициатора фотополимеризации и связывающего вещества [1–7]. Светочувствительность материалов этого типа обусловлена радикальными реакциями фотополимеризации мономеров [6, 7]. Запись фазовых голограмм в основном является следствием фотоиндуцированного изменения плотности вещества в областях интерференционных максимумов, в результате чего происходит изменение показателя преломления. Высокий квантовый выход фотополимеризации мономеров обуславливает достаточно высокую светочувствительность этих материалов.

Во время экспонирования инициаторы фотополимеризации поглощают свет, в результате чего разрываются ковалентные связи и появляются радикалы, к которым, дифундируя, присоединяются мономеры. Эти цепные реакции будут продолжаться до тех пор, пока радикалы не рекомбинируются или же пока мономеры полностью не полимеризуются. Процесс диффузии мономеров начинается немедленно после экспонирования и завершить его можно интенсивной экспозицией регистрирующего материала некогерентным ультрафиолетовым светом. В результате происходит фотоиндуцированное изменение оптической плотности регистрирующей среды в областях интерференционных максимумов. Полученное распределение показателя преломления образует фазовую голограмму.

Важная роль во всех этих процессах отводится диффузии мономеров из темных в светлые места, которая зависит от температуры и реологического качества регистрирующей среды.

В ранее проведенных исследованиях [8–13] по голографическим записывающим характеристикам фотополимеризующихся сред фирмы Du Pont оказалась слабо рассмотренной проблема по термической обработке экспонированного слоя, т.е. процесс термохимической фиксации.

В настоящей работе представлены результаты теоретического анализа нагрева регистрирующих сред и исследования зависимости дифракционной эффективности записанных голограмм в фотополимеризующихся средах фирмы Du Pont от способа и режимов термохимической фиксации.

Для термохимической фиксации объемных голограмм и интерферограмм, записанных в фотополимеризующихся носителях, используется тепловое излучение электросушильной печи, т.е. экспонированную регистрирующую среду помещают в печи с высокой температурой. Кроме теплового излучения печи можно использовать излучение инфракрасной лампы и лампы накаливания. Все эти источники излучения применяются при термохимической фиксации голограмм.

При локальной термохимической фиксации Фурье-голограмм используются излучения ИК- лазеров и сфокусированное некогерентное излучение лампы накаливания. При термохимической фиксации некогерентным оптическим излучением лампы накаливания необходимо выбрать оптимальную плотность мощности нагрева лампы и длительность времени нагрева. В связи с этим более подробно остановимся на теоретическом и экспериментальном вопросах нагрева фотополимеризующихся носителей. При термохимической фиксации сфокусированное некогерентное оптическое излучение лампы накаливания целесообразно использовать в тех задачах, в которых достаточно записывать голограммы диаметром от 0,8–20 мм, т.е. для записи Фурье-голограмм. Для записи голограмм диаметром меньше 0,8 мм необходимо разработать специальную коллимирующую и фокусирующую оптику для фокусировки излучения источника света на поверхность фотополимеризующейся среды. Для записи голограмм диаметром больше 20 мм необходимо использовать лампы накаливания большой мощности.

Требованиям, предъявляемым к способам нагрева ФПН для систем памяти с высокой плотностью записи информации, наиболее полно отвечает нагрев инфракрасным (ИК) лазерным излучением. В этом случае достигается эффективное использование полной поверхности ФПН.

В работе [14] впервые было использовано излучение CO₂-лазера ($\lambda=10,6$ мкм) для проявления голограмм, записанных на фототермопластических носителях, как на стеклянной подложке, так и на гибкой основе. Записывались голограммы диаметром 1 мм, затем вокруг голограмм располагалась зона без записи, за которой следовала кольцеобразная область, заполненная "морозной" деформацией. Полученный результат объясняется неравномерностью распределения интенсивности излучения по сечению ИК-лазерного пучка, а также сильной зависимостью дифракционной эффективности голограмм от температуры нагрева.

Регистрация информации в ФПН при нагреве излучением ИК-лазера имеет свои особенности: возможность обеспечения больших скоростей нагрева и охлаждения, больших градиентов температуры при локальности зоны нагрева [15]. Отсюда возникают следующие задачи: во-первых, вследствие возможности нагрева ФПН с высокой плотностью энергии лазерного излучения необходимо с большой точностью дозировать энергию нагрева. Следовательно, нужно получить выражение, связывающее распределение температурного поля по глубине регистрирующей среды с энергией лазерного излучения, достаточной для оптимального нагрева, оптическими и теплофизическими параметрами фотополимеризующегося носителя. Во-вторых, поскольку радиальное распределение луча ИК-лазеров имеет Гауссовое распределение, то для записи голограмм с требуемым качеством нужно найти такие режимы записи голограмм, которые обеспечивали бы необходимую надежность записи. В связи с вышесказанным одной из главных задач регистрации информации в ФПН при термохимической фиксации излучением ИК-лазера является определение зависимости температуры поверхности ФПН от параметров нагревающего лазера, оптических, а также теплофизических параметров ФПН. Кроме того, необходимо исследовать особенности развития температурных полей в зоне нагрева ФПН при различных длительностях импульса нагрева.

Процесс передачи тепла к нагреваемому телу в печах с высокой температурой в основном передается излучением. Тепловой поток, получаемый поверхностью тела от нагретых стен и свода печи, прямо пропорционален разности четвертых степеней абсолютных температур поверхностей, участвующих в теплообмене:

$$q_1 = \sigma c \left(T_u^4 - T_n^4 \right), \quad (1)$$

где σ – постоянная Стефана-Больцмана; c – постоянный коэффициент, зависящий от способности поверхности тела поглощать лучистую энергию и от взаимного расположения облучаемого и излучающего тел; индекс u – обозначает, что данная величина соответствует поверхности тела, а индекс n – поверхности излучения.

Для некоторых фоточувствительных материалов толщина регистрирующего слоя очень мала по сравнению с толщиной подложки ($h_1 \ll h_2$) (т.е. теплоемкость регистрирующего слоя мала по сравнению с теплоемкостью подложки), поэтому, считая, что температура на поверхности подложки равна температуре регистрирующего слоя, можно пренебречь существованием регистрирующего слоя в теплофизических задачах и перейти к рассмотрению однослойной структуры, поместив начало координат в середину толщины подложки.

При этом дифференциальное уравнение теплопроводности примет вид:

$$\frac{dT_2(x,t)}{dt} = a_2 \frac{d^2 T_2(x,t)}{dx^2}, \quad t > 0, -h_2/2 \leq x \leq h_2/2. \quad (2)$$

Начальные и граничные условия для симметричной задачи имеют вид:

$$T_2(x,0) = T_0; \quad \frac{dT_2(h_2/2,t)}{dx} + \frac{q_c}{k_2} = 0; \quad (3)$$

$$\frac{dT_2(0,t)}{dx} = 0. \quad (4)$$

Здесь индекс 2 относится к подложке; a – температуропроводность среды; h_2 – толщина подложки; t – время.

Для решения краевой задачи теплопроводности используется преобразование Лапласа по времени. После необходимых преобразований и перехода в область оригиналов получим выражение, описывающее значение температуры на поверхности регистрирующего слоя:

$$T_1(t) = 2 \frac{q_c a_2}{k_2 h_2} t + T_0. \quad (4)$$

При термохимической фиксации записанных голограмм излучением ИК-лампы тепловой поток падает только с одной стороны ФПН. Для того, чтобы определить значение температуры по глубине регистрирующего слоя, в теплофизической задаче должна учитываться толщина регистрирующего слоя.

При этом уравнение теплопроводности примет вид:

$$\frac{dT_1(x,t)}{dt} = a_1 \frac{d^2 T_1(x,t)}{dx^2}, \quad 0 \leq x \leq h_1; \\ \frac{dT_2(x,t)}{dt} = a_2 \frac{d^2 T_2(x,t)}{dx^2}, \quad x \geq h_1. \quad (5)$$

Начальные и граничные условия будут иметь следующий вид:

$$T_1(x,0) = T_2(x,0) = T_0; \\ T_1(h_1,0) = T_2(h_1,0); \\ \frac{dT_1(0,t)}{dx} = -\frac{q_c}{k_1}; \\ k_1 \frac{dT_1(h_1,t)}{dx} = k_2 \frac{dT_2(h_1,t)}{dx}; \\ T_2(\infty,t) = T_0. \quad (6)$$

Здесь индексы 1 и 2 относятся к регистрирующей среде и подложке соответственно.

После применения преобразования Лапласа последнее уравнение для образа температуры принимает вид:

$$T_1(x,p) = (v-1) \frac{q_c}{k_1 p} \frac{\sqrt{a_1}}{P} \frac{ch\left(\sqrt{\frac{p}{a_1}} x\right) e^{-\sqrt{\frac{p}{a_1}} h_1} - ch\left(\sqrt{\frac{p}{a_1}} h_1\right) e^{-\sqrt{\frac{p}{a_1}} x}}{ch\left(\sqrt{\frac{p}{a_1}} h_1\right) + vsh\left(\sqrt{\frac{p}{a_1}} h_1\right)} + \frac{q_c}{k_1 p} \frac{\sqrt{a_1}}{P} e^{-\sqrt{\frac{p}{a_1}} h_1} + \frac{T_0}{P}, \quad (7)$$

$$\text{где } v = \frac{k_1}{k_2} \sqrt{\frac{a_2}{a_1}}.$$

Используя условия тонкости пленки ($h_1 \ll \sqrt{a_1 t}$) в (7), разложим гиперболические тригонометрические функции в ряд и, ограничиваясь первым членом разложения после перехода в область оригиналов, получим выражение, определяющее температуру регистрирующего слоя:

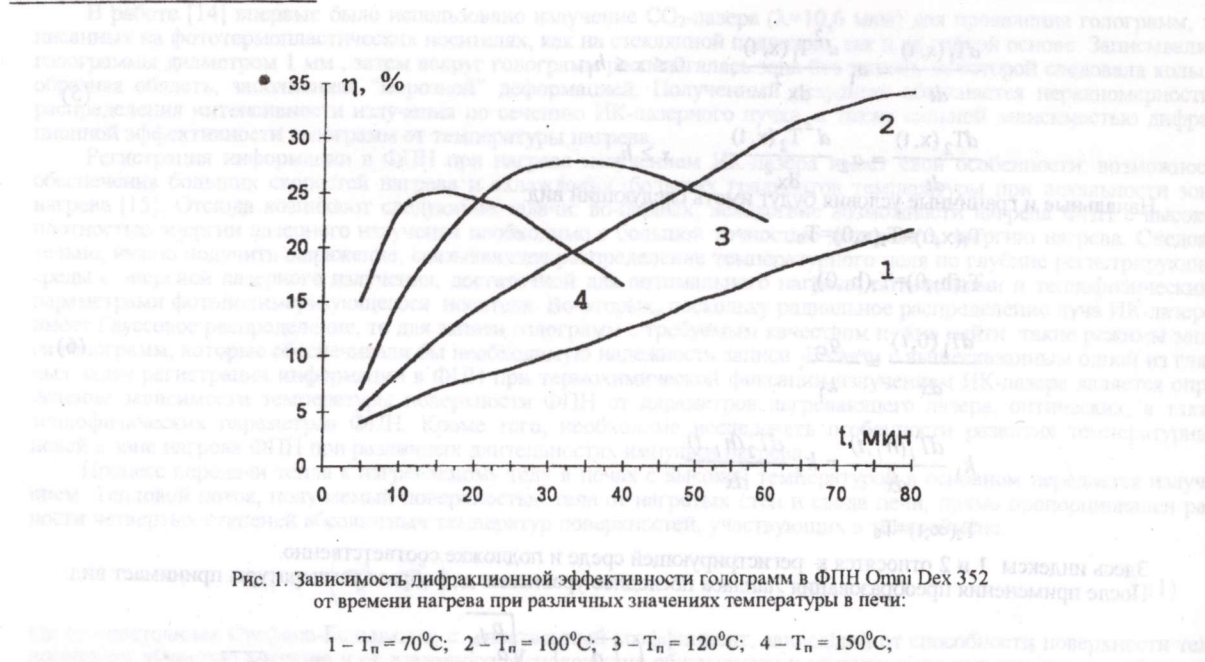
$$T_1(x,t) = \frac{v^2 - 1}{k_1} q_c \sqrt{a_1} \cdot \left[\frac{e U^2 t}{U} erfc(U\sqrt{t}) + \frac{2v}{1+v} \sqrt{\frac{t}{\pi}} - \frac{1}{U} \right] + \frac{2q_c \sqrt{a_1}}{k_1} \sqrt{\frac{t}{\pi}} e^{-\frac{x^2}{4a_1 t}} - \frac{q_c x}{k_1} erfc\left(\frac{x}{2\sqrt{a_1 t}}\right), \quad (8)$$

$$\text{где } U = \frac{\sqrt{a_1}}{vh_1}.$$

Полученное выражение определяет пороговую мощность излучения лампы или длительность облучения, необходимую для оптимальной обработки регистрирующего слоя и получения голограмм с максимальной дифракционной эффективностью в фотополимеризующихся носителях.

При термохимической фиксации записанных голограмм в ФПН использованы различные типы тепловых источников.

Объемные голограммы и интерферограммы фиксировали в электросушильной печи с высокой температурой (в диапазоне температуры от 60 до 200°C) и излучением ИК-лампы типа ИКЗ-250. Установлена зависимость дифракционной эффективности от времени нагрева при различных плотностях теплового потока. Из кривых зависимости дифракционной эффективности от времени нагрева при различных плотностях теплового потока для фотополимеризующегося слоя Omni Dex 352 видно, что максимальная дифракционная эффективность при записи Фурье-голограмм достигает 33% и оптимальное время термохимической фиксации составляет 1–1,5 часа (рис. 1). С увеличением плотности теплового потока уменьшается время термохимической фиксации, при которой дифракционная эффективность достигает максимума. Для каждой температуры в печи имеется оптимальное время обработки, при которой дифракционная эффективность достигает максимума.



С помощью инфракрасной лампы ИКЗ-250 обрабатывали площадь диаметром 150–200 мм. Из кривых зависимости дифракционной эффективности голограмм от времени нагрева при различных плотностях мощности инфракрасной лампы ИКЗ-250 в фотополимеризующейся среде Omni Dex 352 видно, что с увеличением температуры воздействия уменьшается время термохимической фиксации, при этом максимумы дифракционной эффективности значительно падают и смешаются в сторону уменьшения координаты по времени (рис. 2). Энергия термохимической фиксации при этом составляет $\sim 14 \text{ Дж/см}^2$ и максимумы дифракционной эффективности лежат в пределах ~ 13 – 14% .

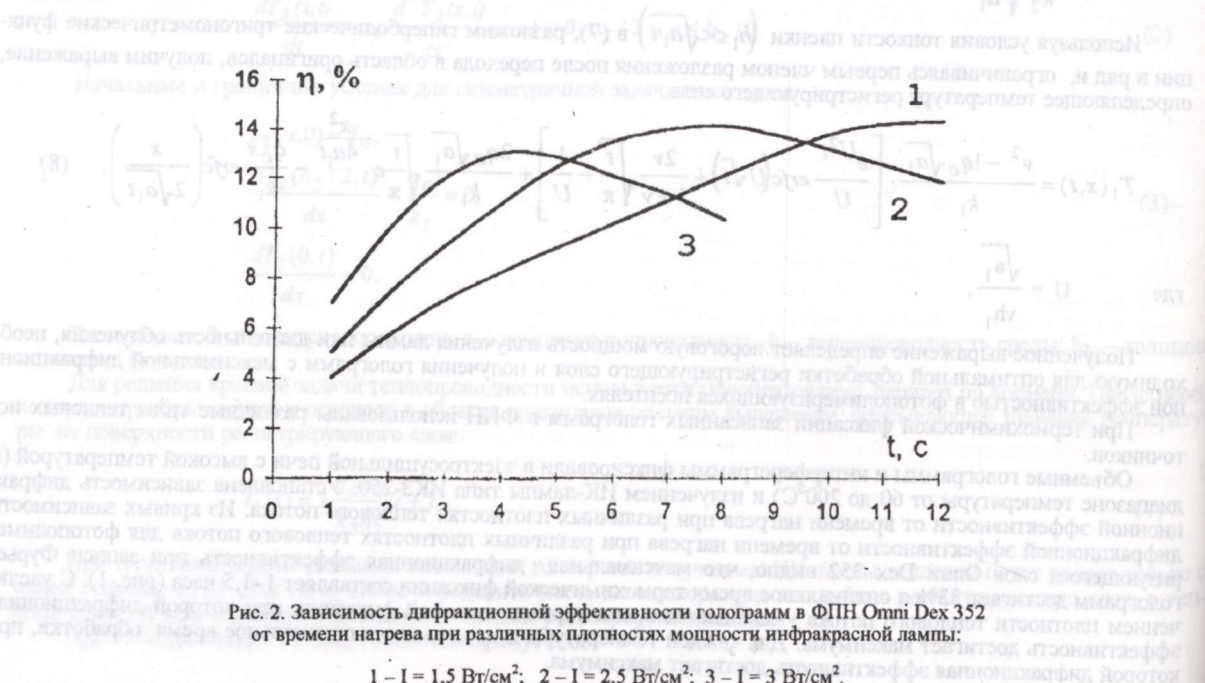


Рис. 2. Зависимость дифракционной эффективности голограмм в ФПН Omni Dex 352 от времени нагрева при различных плотностях мощности инфракрасной лампы:

При локальной термохимической фиксации Фурье-голограмм в ФПН использовали сфокусированное излучение лампы накаливания и излучение ИК-лазера. Характер изменения дифракционной эффективности от времени нагрева при различных плотностях мощности лампы накаливания такой же, как и у предыдущих источников тепла (рис. 3). При обработке излучением лампы накаливания энергия термохимической фиксации составляет $\sim 15 \text{ Дж/см}^2$ и максимумы дифракционной эффективности лежат в пределах ~ 11 – 12% , при использовании CO_2 -лазера нужен рассеиватель для предохранения регистрирующей среды от теплового повреждения, энергия требовалась такая же, а дифракционная эффективность лежала в пределах ~ 5 – 8% для фотополимеризующейся среды Omni Dex 352.

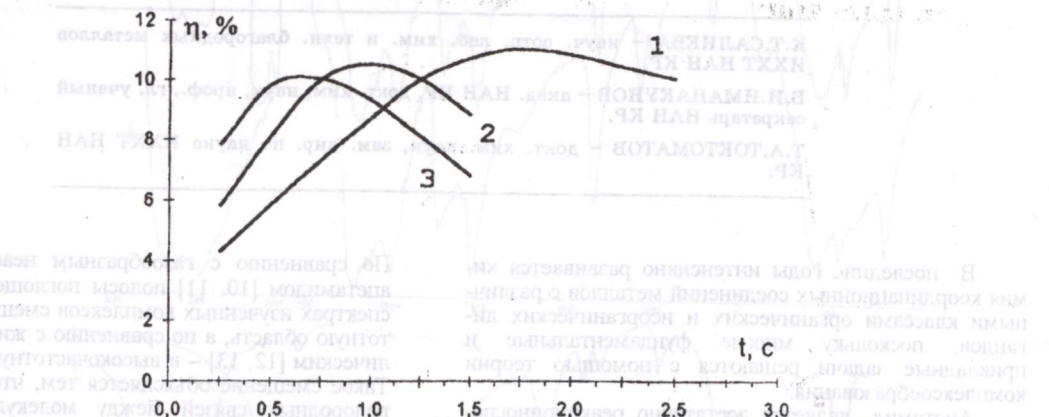


Рис. 3. Зависимость дифракционной эффективности голограмм в ФПН Omni Dex 352 от времени нагрева при различных плотностях мощности лампы накаливания:

В ходе исследования теоретически получено выражение, описывающее развитие температурного поля в регистрирующей среде, и экспериментально установлены зависимости дифракционной эффективности от времени термохимической фиксации при различных плотностях теплового потока, определены оптимальные параметры термохимической фиксации при каждом источнике тепла для фотополимеризующейся среды Omni Dex 352. На основе экспериментальных исследований предложены способы и режимы термохимической фиксации объемных голограмм и интерферограмм с большой площадью регистрации, излучением инфракрасной зеркальной лампы типа ИКЗ-250 и Фурье-голограмм излучениями сфокусированной лампы накаливания и CO_2 -лазера прошедшее через рассеиватель.

Литература

1. Smothers W.K., Monroe B.M., Weber A.M. and Keys D.E. Photopolymers for holography // Practical Holography IV, S.A. Benton, ed., Proc.Soc.Photo-Opt. Instrum. Eng. 1990, 1212. – P. 20–29.
2. Weber A.M., Smothers W.K., Trout T.J. and Miskish D.L. Hologram recoding in DuPont's new photopolymer materials // Practical Holography IV, S.A.Benton, ed., Proc.Soc. Photo-Opt. Instrum. Eng. 1990, 1212. – P.30–39.
3. Hay W.C. and Guenter B.D. Characterization of Polaroid's DMP-128 holographic photopolymer // Holographic Optics: Design and Applications, I.Cindrich, ed., Proc. Soc.Photo-Opt. Eng. 1988, 883. – P.102–105.
4. Calixto S. Dry polymer for holographic recording // Appl. Opt. 26, 1987. – P. 3904–3910.
5. Syms R.A. Practical Volume Holography. – Clarendon, Oxford, 1990. – P.151.
6. Booth B.L. Photopolymer material for holography // Appl. Opt. 11, 1972. – P. 2994–2995.
7. Booth B.L. Photopolymer material for holography // Appl. Opt. 14, 1975. – P.593–601.
8. Жумалиев К.М., Сагымбаев А.А., Джаманкызы Н.К., Сагынбаев Д.А. Особенности регистрации голограмм в фотополимеризующейся среде Omni Dex 352 // Квантовая электроника. – 1996. – Т.23. – №2. – С.185–187.
9. Акаев А.А., Жумалиев К.М., Сагымбаев Н.К., Сагынбаев Д.А. Голографическое самоусиление фазовых голограмм в фотополимеризующейся среде Omni Dex 352 // Наука и новые технологии. – 1995. – №1. – С.5–9.
10. Акаев А.А., Жумалиев К.М., Сагымбаев А.А., Сагынбаев Д.А. Особенности образования голограмм в фотополимеризующейся среде // Оптический журнал. – №4. – 1998. – С.37–42.
11. Акаев А.А., Жумалиев К.М., Сагымбаев А.А., Сагынбаев Д.А. Динамика образования голограмм в фотополимеризующейся среде // Изв. НАН КР, 1998. – №1–2. – С.22–29.
12. Rhee U.S., Caulfield H.J., Shamer J., Vikram C.S., and Mirsalehi M.M. Characterization of DuPont photopolymer for angularly multiplexing page-oriented holographic memories // Opt. Eng. 32, 1995. – P.1839–1847.
13. Rhee U.S., Caulfield H.J., Vikram C.S., and Shamer J. Dynamics of hologram recoding in DuPont photopolymer // Appl. Opt. 34, 1995. – P. 846–853.
14. Lo P.S., Lohnson L.H., Honebrink R.W. //Proc.SPIE-1977. – V.123. – P.32–36.
15. Борисов М., Рымца В.П. Роль инъекции в процессе накопления заряда в полимерных диэлектриках // Изв. вузов. Физика. – 1986. – Т.29. – №1. – С.3–8.

жидкостного спектрометрии ИКФ в квазистатическом режиме изучены комплексы марганца(II), кобальта(II) и никеля(II) с ацетамидом. Ацетамид является модельным лигандом, имеющим изотропную координационную группу и молекулу, состоящую из двух координированных атомов азота. Ацетамидом координированы марганец(II), кобальт(II) и никель(II). В работе исследованы ИК-спектры поглощения комплексов марганца(II), кобальта(II) и никеля(II) с ацетамидом.

Исследование комплексных соединений хлоридов марганца, кобальта и никеля с ацетамидом

К.Т.САЛИЕВА – науч. сотр. лаб. хим. и техн. благородных металлов ИХХТ НАН КР.

Б.И.ИМАНАКУНОВ – акад. НАН КР, докт. хим. наук, проф., гл. ученый секретарь НАН КР.

Т.А.ТОКТОМАТОВ – докт. хим. наук, зам. дир. по науке ИХХТ НАН КР.

В последние годы интенсивно развивается химия координационных соединений металлов с различными классами органических и неорганических лигандов, поскольку многие фундаментальные и прикладные задачи решаются с помощью теории комплексообразования.

Ацетамид является достаточно реакционноспособным лигандом. Наличие в его молекуле двух активных центров – атома кислорода карбонильной группы и атома азота аминогруппы, обладающих неподеленными парами электронов, кроме того, большая полярность молекул позволяет ацетамиду образовывать координационные связи с металлом-комплексообразователем. Как известно, молекулы ацетамида с ионами переходных металлов координируются через атом кислорода [1–4], а с ионами платиновых металлов – через атомы азота и одновременно через атомы азота и кислорода как мостикиевые лиганды [5, 6].

ИК-спектры комплексов $MnCl_2 \cdot 2CH_3CONH_2$, $MnCl_2 \cdot 4CH_3CONH_2$, $CoCl_2 \cdot 4CH_3CONH_2$ и $NiCl_2 \cdot CH_3CONH_2$ синтезированы [7, 8] изотермическим методом растворимости в этиловом спирте при 25°C. ИК-спектры поглощения полученных соединений записывали на спектрометре Specord в области частот 400–4000 cm^{-1} в виде таблетки с бромистым калием, а также в виде суспензии в вазелиновом масле. Длинноволновую область ИК-спектра от 200 до 500 cm^{-1} снимали на фурье-спектрометре Bruker-JFS-113 В. Образцы комплексных соединений при этом наносили в виде суспензии в вазелиновом масле на стекло из CsJ.

Найденные колебательные частоты, их отнесение, полученные спектры поглощения комплексов приведены в таблице и на рис. 1, 2.

В ИК-спектрах изученных комплексов в области 400–4000 cm^{-1} найдены все частоты, характерные для свободного ацетамида, несколько измененного из-за взаимодействия с комплексообразователем и под влиянием кристаллических сил. Поэтому отнесение частот можно сделать исходя из сравнения колебательных спектров свободного и координированного ацетамида на основе модели с одной молекулой координированного ацетамида [9].

Интенсивные полосы в области 3400–3185 cm^{-1} относятся к валентным колебаниям связей $\nu(NH_2)$.

По сравнению с газообразным неассоциированным ацетамидом [10, 11] полосы поглощения $\nu(NH_2)$ в спектрах изученных комплексов смешены в низкочастотную область, а по сравнению с жидким и кристаллическим [12, 13] – в высокочастотную на 40–80 cm^{-1} . Такое смещение объясняется тем, что возникновение водородных связей между молекулами ацетамида понижает $\nu(NH_2)$ значительно, чем координирование ацетамида металлами через атом кислорода.

Основные колебательные частоты в ИК-спектрах комплексов (200–4000 cm^{-1})

Отнесение	$MnCl_2 \cdot 2L^*$	$MnCl_2 \cdot 4L$	$CoCl_2 \cdot 4L$	$NiCl_2 \cdot 4L$
a - (NH_2)	3400 3325	3370 3320	3400 3320	3325 3260
S - (NH_2)	3200 3185	3260 3205	3270 3205	3185
(CO)	1660 1645 1625	1660 1640 1650	1666 1650	1663
(NH_2)	1578	1580	1576	1575
(CN)	1405	1405	1408	1405
(NH_2) , (CC), (CN)	880 770	880 770	892 750	885
(NCO; CCO) (CO)	580 525	580 525	592 525	585 525
(CC) (CON)	475	475	484	485
$\delta(CS),$ конц. (MCl)	330 320	335		320
конц. (MCl)	275	275		280
мост (MCl), t (CH_3)	240	240		240
мост (MCl), (MO)	210	220		220

* $L = 2CH_3CONH_2$

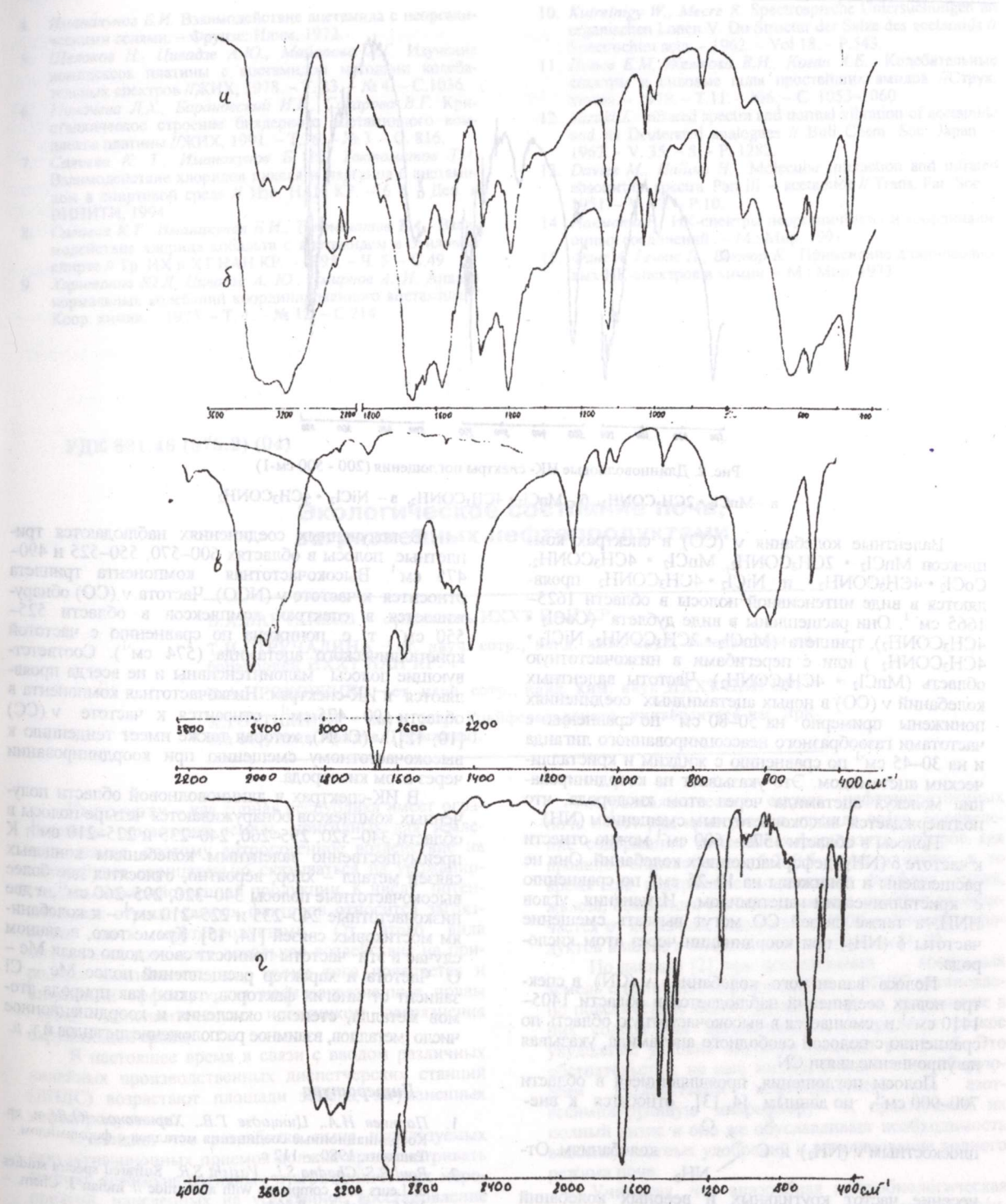


Рис. 1. ИК-спектры поглощения (400–4000 cm^{-1})
а – $MnCl_2 \cdot 4CH_3CONH_2$, б – $MnCl_2 \cdot 2CH_3CONH_2$, в – $CoCl_2 \cdot 4CH_3CONH_2$, г – $NiCl_2 \cdot 4CH_3CONH_2$

УДК 541.42 + 541.65 (04) (575.2) (04)

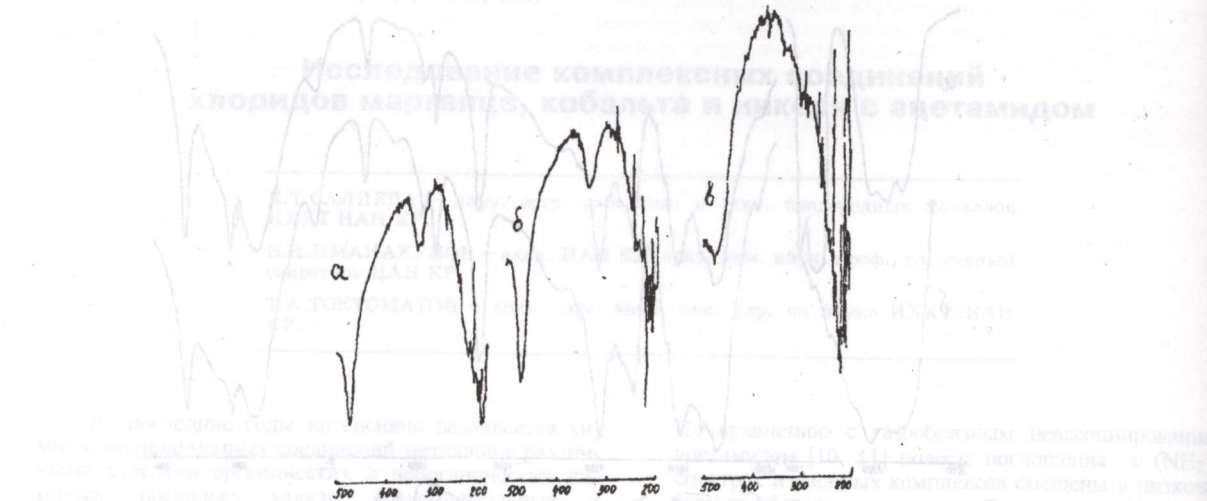


Рис. 2. Длинноволновые ИК-спектры поглощения (200 - 500 см⁻¹)

а – $\text{MnCl}_2 \cdot 2\text{CH}_3\text{CONH}_2$, б – $\text{MnCl}_2 \cdot 4\text{CH}_3\text{CONH}_2$, в – $\text{NiCl}_2 \cdot 4\text{CH}_3\text{CONH}_2$

Валентные колебания $\nu(\text{CO})$ в спектрах комплексов $\text{MnCl}_2 \cdot 2\text{CH}_3\text{CONH}_2$, $\text{MnCl}_2 \cdot 4\text{CH}_3\text{CONH}_2$, $\text{CoCl}_2 \cdot 4\text{CH}_3\text{CONH}_2$ и $\text{NiCl}_2 \cdot 4\text{CH}_3\text{CONH}_2$ проявляются в виде интенсивной полосы в области 1625–1665 cm^{-1} . Они расщеплены в виде дублета ($\text{CoCl}_2 \cdot 4\text{CH}_3\text{CONH}_2$), триплета ($\text{MnCl}_2 \cdot 2\text{CH}_3\text{CONH}_2$, $\text{NiCl}_2 \cdot 4\text{CH}_3\text{CONH}_2$) или с перегибами в низкочастотную область ($\text{MnCl}_2 \cdot 4\text{CH}_3\text{CONH}_2$). Частоты валентных колебаний $\nu(\text{CO})$ в новых ацетамидных соединениях понижены примерно на 50–80 cm^{-1} по сравнению с частотами газообразного неассоциированного лиганда и на 30–45 cm^{-1} по сравнению с жидким и кристаллическим ацетамидом. Это указывает на координирование молекул ацетамида через атом кислорода, что подтверждается высокочастотным смещением (NH).

Полосы в области 1575–1600 cm^{-1} можно отнести к частоте $\delta(\text{NH}_2)$ деформационных колебаний. Они не расщеплены и понижены на 10–25 cm^{-1} по сравнению с кристаллическим ацетамидом. Изменения углов HNH , а также связей CO могут вызвать смещение частоты $\delta(\text{NH}_2)$ при координации через атом кислорода.

Полоса валентного колебания $\nu(\text{CN})$ в спектре новых соединений наблюдается в области 1405–1410 cm^{-1} и смещается в высокочастотную область по сравнению с полосой свободного ацетамида, указывая на упрочнение связи CN .

Полосы поглощения, проявляющиеся в области 700–900 cm^{-1} , по данным [4, 13], относятся к вне-

плоскостным $\nu(\text{NH}_2)$ и $\text{C}\equiv\text{O}$ колебаниям. От-

несение частот крутых и веерных колебаний аминогруппы часто затруднительно, так как валентные колебания $\nu(\text{CC})$ и $\nu(\text{CN})$ лежат в той же области, т. е. в области 814–875 cm^{-1} [10, 12].

В полученных соединениях наблюдаются триплетные полосы в областях 600–570, 550–525 и 490–475 cm^{-1} . Высокочастотная компонента триплета относится к частоте $\nu(\text{NCO})$. Частота $\nu(\text{CO})$ обнаруживается в спектрах комплексов в области 525–550 cm^{-1} , т. е. понижена по сравнению с частотой кристаллического ацетамида (574 cm^{-1}). Соответствующие полосы малоинтенсивны и не всегда проявляются в ИК-спектрах. Низкочастотная компонента в области 490–475 cm^{-1} относится к частоте $\nu(\text{CC})$ [10, 12], $\nu(\text{CON})$, которая также имеет тенденцию к высокочастотному смещению при координировании через атом кислорода.

В ИК-спектрах в длинноволновой области полученных комплексов обнаруживаются четыре полосы в области 340–320, 295–260, 240–235 и 225–210 cm^{-1} . К преимущественно валентным колебаниям концевых связей металл – хлор, вероятно, относятся две более высокочастотные полосы 340–320, 295–260 cm^{-1} , а две низкочастотные 240–235 и 225–210 cm^{-1} – к колебаниям мостиковых связей [14, 15]. Кроме того, в данном случае в эти частоты приносят свою долю связи $\text{Me}-\text{O}$. Частота и характер расщеплений полос $\text{Me}-\text{Cl}$ зависит от многих факторов, таких как природа атомов металла, степень окисления и координационное число металлов, взаимное расположение лигандов и т. д.

Литература

- Партиев Н.А., Цинцадзе Г.В., Харитонов Ю.Я. и др. Координационные соединения металлов с формамидом. – Ташкент, 1980. – 112 с.
- Paul R.S., Chadha S.L., Vasisht S.R. Sulfated spectra studies of Leurs acid complexes with acetamide // Indian J. Chem. – 1965. – Vol. 3. – P.364.
- Цивадзе А.Ю., Харитонов Ю.Я., Смирнов А.И. и др. Изучение комплексов некоторых переходных металлов с ацетамидом методами колебательной спектроскопии // ЖИХ, 1974. – Т.19. – С. 3321.
- Иманакунов Б.И. Взаимодействие ацетамида с неорганическими солями. – Фрунзе: Илим, 1972.
- Щелоков Н., Цивадзе А.Ю., Майорова Л.Г. Изучение комплексов платины с ацетамидом методами колебательных спектров // ЖИХ, 1978. – Т. 23. – № 4. – С.1036.
- Миначева Л.Х., Барановский И.Б., Сахарова В.Г. Кристаллическое строение биглерного ацетамидного комплекса платины // ЖИХ, 1991. – Т.36. – № 3. – С. 816.
- Салиева К.Т., Иманакунов Б.И., Токтоматов Т.А. Взаимодействие хлоридов никеля и марганца с ацетамидом в спиртовой среде // Изв. НАН КР. – 6 с. / Деп. в ВИНТИ, 1994.
- Салиева К.Т., Иманакунов Б.И., Токтоматов Т.А. Взаимодействие хлорида кобальта с ацетамидом в этиловом спирте // Тр. ИХ и ХТ НАН КР. – 1995. – Ч. 5. – С.49.
- Харитонов Ю.Я., Цивадзе А.Ю., Смирнов А.И. Анализ нормальных колебаний координированного ацетамида // Коор. химия. – 1975. – Т. 1. – № 12. – С.214.
- Kutrelnig W., Mecre R. Spectroscopische Untersuchungen an organischen Lonen V. Du Structur der Salze des acetamids // Spectrochim acta. – 1962. – Vol 18. – P.543.
- Попов Е.М., Желтова В.И., Коган А.Е. Колебательные спектры и силовые поля простейших амидов // Струк. химия. – 1970. – Т.11. – №6. – С. 1053–1060.
- Suzuki J. Infrared spectra and normal vibration of acetamide and its Deuterated analogues // Bull Chem. Soc. Japan. – 1962. – V. 35. – 8. – P. 1282.
- Davies M., Hallam H. Molecular interaction and infrared absorption spectra. Part III. – acetamide // Trans. Far. Soc. – 1951. – V. 47. – P.10.
- Накамото Р. ИК-спектры неорганических и координационных соединений. – М.: Мир, 1991.
- Финг А., Гейтс П., Реклер К. Применение длинноволновых ИК-спектров в химии. – М.: Мир, 1973.

УДК 631.46 (575.2) (04)

Экологическое состояние почв, загрязненных нефтепродуктами

Б.А.БАРЧАКЕЕВ – соискатель ИХХТ НАН КР.

Т.И.СТРУЧАЛИНА – ст. науч. сотр., канд. хим. наук, заведующая лабораторией ИХХТ НАН КР.

В.А.ПРОХОРЕНКО – ст. науч. сотр., канд. хим. наук, ИХХТ НАН КР.

Х.ГОТШЛИНГ – науч. сотр. Грайфсвальдского университета им. Эрнста Моритца Арнданта (Германия).

Кыргызстан – как горная республика имеет ограниченные территории земель, пригодных для землепользования, поэтому антропогенное воздействие на почву будет отрицательно сказываться на урожайности сельскохозяйственной продукции. К числу потенциальных отрицательных факторов относится загрязнение почв нефтепродуктами. От этого вида загрязнения возникает локальное воздействие на природные компоненты, но, кроме того, появляется и вторичный эффект, когда нефтезагрязненные почвы служат дополнительным источником загрязнения окружающей среды.

В настоящее время в связи с вводом различных производственных диспетчерских станций (ЛПДС) возрастают площади земель, загрязненных нефтепродуктами.

Очевидно, что разработка ныне используемых рекультивационных приемов должна предусматривать систему агромелиоративных и агротехнических мероприятий, нацеленных на ускоренное восстановление плодородия загрязненных земель и позволяющих без отчуждения сельскохозяйственных угодий использовать их с наибольшей ресурсосберегающей и природоохранной эффективностью.

Агроэкологическая оценка нефтезагрязненных почв имеет ряд критериев и, прежде всего, определение содержания подвижных форм азота, которое, как правило, снижается до 0,2–0,5 мг/кг в почве, в то время как содержание подвижного фосфора, калия, железа, обменного кальция и магния заметно не отличается от контроля. Содержание 1000 мг/кг нефтепродуктов в почве считается низким уровнем [1, 2].

По данным [2], при исследовании локальных земель с наличием нефтепроводов и ЛПДС установлено повсеместное подщелачивание почв, увеличение в них содержания органического углерода и резкое ухудшение условий азотного питания растений. Это обстоятельство, на наш взгляд, связано с ингибирующим воздействием нефтепродуктов на азот-assимилирующую микрофлору и практически их полный лизис и оно же обуславливает необходимость внесения азотных удобрений и регулирование водного режима почв.

Учитывая, что анаэробная микробиологическая конверсия органических отходов метаногенным консорциумом микроорганизмов достаточно широко применяется для очистки различных оргстоков, представляло интерес использование приемов технической

биоэнергетики как одного из способов восстановления агрозоологического состояния почв.

Для создания комплексной технологии восстановления нефтезагрязненных земель необходимо прежде всего исследовать остаточное содержание нефтепродуктов после испарения летучих фракций в атмосферу.

С этой целью было отобрано 14 образцов почв Иссык-Кульского региона с различным содержанием

гуминовых веществ. Исследован их физико-химический состав (табл. 1).

Из данных табл. 1 видно, что аналитическая влага находится в пределах 1,8–7,36%, содержание гуминовых веществ и оптическая плотность взаимосвязаны, и количество гуминовых кислот для выбранных образцов составляет 0,5–0,06%.

Механический состав исследуемых образцов почв (табл. 2) не идентичен, но наибольший процент приходится на фракции 1–0,25; 0,25–0,05; 0,05–0,01.

Таблица 1

Физико-химическая характеристика исследуемых почв

Номер образца почв	Влага аналитическая, %	Показатели		Оптическая плотность раствора водной вытяжки	Обменная емкость, мг-экв/л
		Гуминовые кислоты, %	аналитическая проба	абсолютно сухое вещество	
1	4,17	2,23	2,33	0,39	37,8
2	4,15	1,25	1,30	0,20	23,9
3	4,91	4,07	4,28	0,92	41,7
4	4,90	2,09	2,20	0,40	28,3
5	2,80	0,0	0,0	0,0	Не определяли
6	4,18	2,40	2,50	0,47	33,7
7	3,75	2,46	2,56	0,52	25,0
8	5,40	3,95	4,18	0,89	38,7
9	4,56	2,36	2,47	0,50	43,8
10	1,86	0,35	0,36	0,03	72,9
11	4,17	0,0	0,0	0,0	10,7
12	4,92	1,99	2,09	0,36	34,2
13	4,34	4,65	4,86	0,95	32,0
14	7,36	4,68	5,06	1,02	41,3

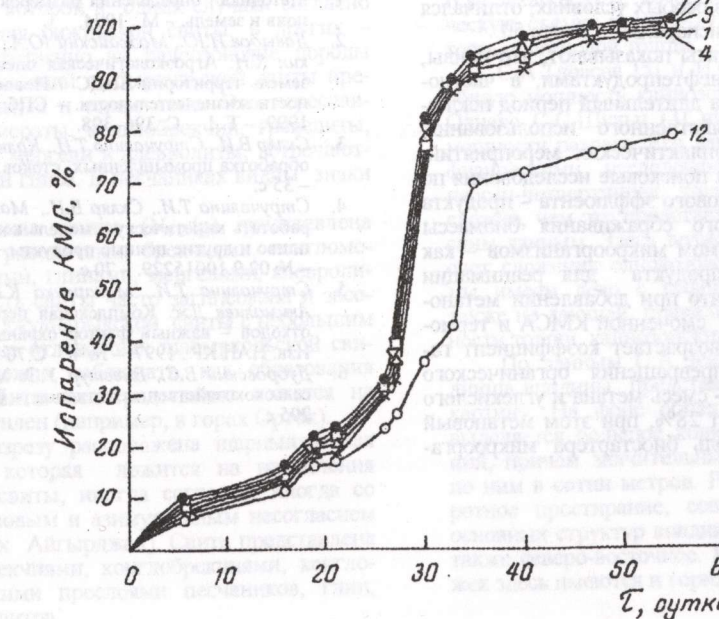
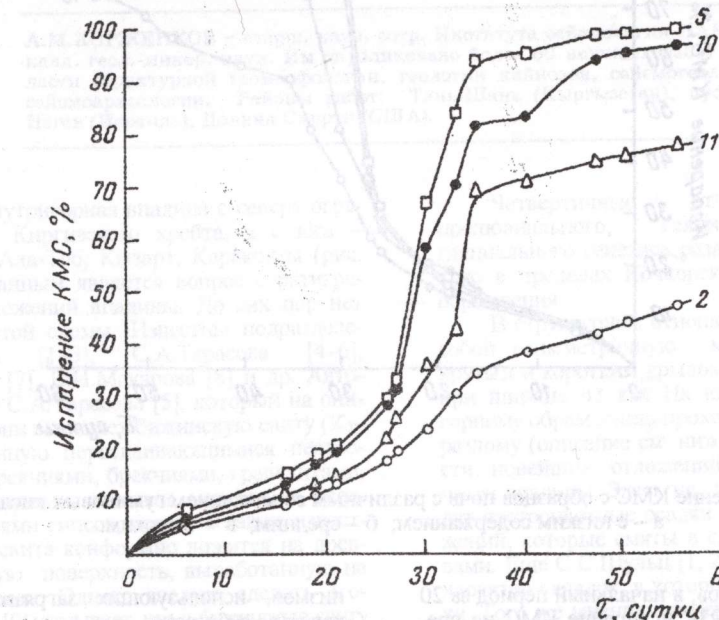
Таблица 2

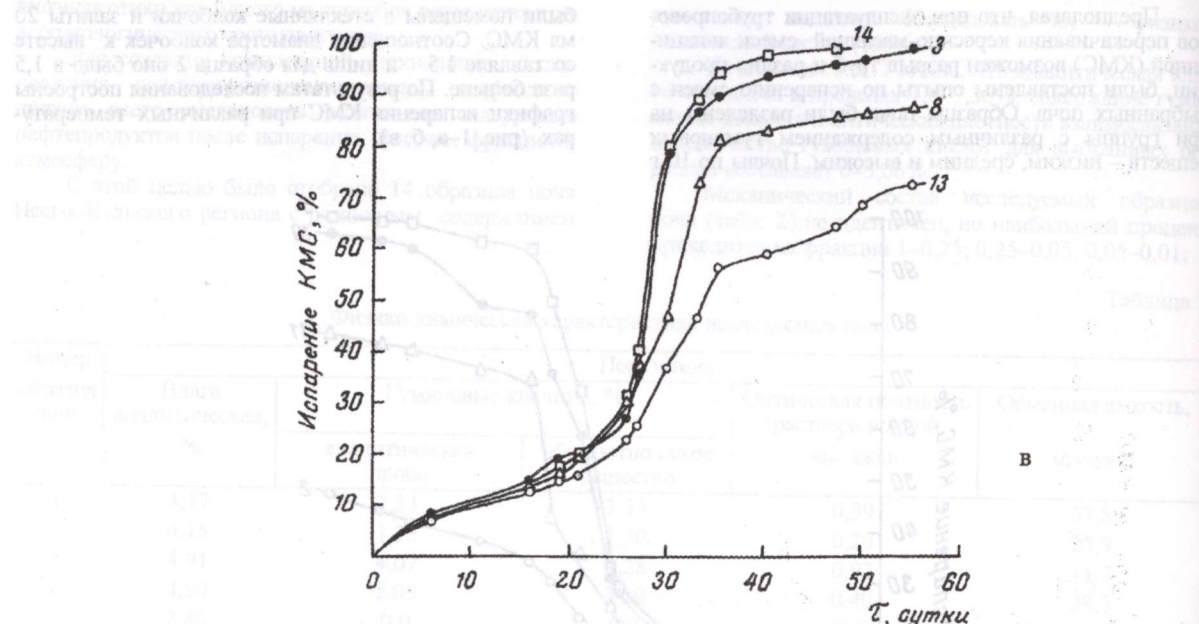
Механический состав исследуемых образцов почв

Номер образца почв	Размер фракций, мл					
	1–0,25	0,25–0,05	0,05–0,01	0,01–0,005	0,005–0,001	<0,001
1	7,93	11,67	45,80	13,62	12,62	8,36
2	4,42	14,34	52,10	12,32	10,04	6,78
3	22,60	27,70	31,00	10,10	4,10	4,50
4	8,70	31,20	43,10	8,00	5,20	3,80
5	4,00	29,00	50,30	9,80	5,10	1,80
6	25,20	31,35	33,17	6,21	1,51	2,56
7	20,35	41,05	23,01	7,91	4,70	2,98
8	58,30	25,00	10,30	2,70	0,00	3,70
9	16,26	22,99	42,79	6,47	2,80	8,69
10	4,78	18,88	34,14	19,37	21,34	1,49
11	15,90	54,00	18,50	0,50	0,10	11,00
12	14,10	14,00	39,60	10,80	11,30	10,20
13	8,00	43,20	33,00	6,90	3,30	5,60
14	13,29	17,53	52,34	7,05	1,94	7,85

Предполагая, что при эксплуатации трубопроводов перекачивания керосино-масляной смеси авиационной (КМС) возможен разрыв труб и разлив продукции, были поставлены опыты по испарению смеси с выбранных почв. Образцы почв были разделены на три группы с различным содержанием гуминовых веществ – низким, средним и высоким. Почвы по 10 г

были помещены в стеклянные колбочки и залиты 20 мл КМС. Соотношение диаметра колбочек к высоте составляло 1:5 и лишь для образца 2 оно было в 1,5 раза больше. По результатам исследования построены графики испарения КМС при различных температурах (рис. 1-а, б, в).





Испарение КМС с образцов почв с различным содержанием гуминовых кислот
а – с низким содержанием; б – средним; в – высоким.

Как видно из рисунков, в начальный период за 20 суток при температуре 293К испарение КМС не превышало 25%, дальнейшее термостатирование при 308К способствовало более быстрому испарению и практически приближалось к 100%-му через 30 суток. Образец 2, находящийся в особых условиях, отличался более низким процентом испарения – менее 50.

Полученные результаты показывают, что почвы, локально загрязненные нефтепродуктами, в частности КМС, практически на длительный период используются для сельскохозяйственного использования, если не проводить профилактические мероприятия. Поэтому были проведены поисковые исследования по изучению действия метанового эффилюента – продукта жидкотвердого анаэробного сбраживания биомассы метаногенным консорциумом микроорганизмов – как химико-биологического продукта для реанимации почв. Было определено, что при добавлении метанового эффилюента к почве, смоченной КМС и термостатированной при 308К возрастает коэффициент газификации за счет превращения органического вещества КМС в биогаз – смесь метана и углекислого газа. За 78 ч он достигает 28%, при этом метановый эффилюент выполняет роль биостартера микроорга-

низмов, использующих загрязняющие продукты в качестве субстрата.

Литература

- Методика определения размеров ущерба от деградации почв и земель. – М., 1994.
- Давыдов И.Ю., Можайский Ю.А., Евтухиши В.Ф., Евсентьев К.Н. Агрозоологическая оценка нефтезагрязненных земель территории ЛПДС // Новое в экологии и безопасности жизнедеятельности. – СПб: Балт. гос. техн. ун-т. – 1999. – Т. 1. – С. 396–398.
- Скляр В.И., Стручалина Т.И., Калюжный С.В. Анаэробная обработка промышленных стоков. – Фрунзе: Илим, 1990. – 35 с.
- Стручалина Т.И., Скляр В.И., Макаренко К.В. и др. Разработана кинетическую модель конверсии биомассы в топливо и другие ценные продукты. – Отчет. – М.: ВНТИЦ. – № 02.9.10015229. – 70 с.
- Стручалина Т.И., Макаренко К.В., Жоробекова Ш.Ж. Акималиев Дж. Комплексная переработка органических отходов – важный фактор охраны окружающей среды. – Изв. НАН КР. 1997. – № 4. – С. 70–76.
- Дубровский В.С., Виестур У.Э. Метановое сбраживание сельскохозяйственных отходов. – Рига: Зиннатне. – 1988. – 205 с.

УДК 550.34 (235.21) (575.2) (04)

Морфоструктуры и сейсмичность Кочкорской впадины и ее горного обрамления (Северный Тянь-Шань)

А.М.КОРЖЕНКОВ – старш. науч. сотр. Института сейсмологии НАН КР, канд. геол.-минер. наук. Им опубликовано более 50 научных работ в области структурной геоморфологии, геологии кайнозоя, сейсмогеологии, сейсмоархеологии. Районы работ: Тянь-Шань (Киргизстан), пустыня Негев (Израиль), Долина Смерти (США).

Кочкорская внутригорная впадина с севера ограничена поднятием Киргизского хребта, а с юга – хребтами Терскей-Ала-Тоо, Кызарт, Каракокты (рис. 1, 2). Очень запутанным является вопрос стратиграфии новейших отложений впадины. До сих пор нет единой общепринятой схемы. Известны подразделения С.С.Шульца [1–3], С.А.Тарасова [4–6], Л.И.Турбина и др. [7], В.И.Макарова [8] и др. Автором принята схема С.А.Тарасова [5], который на описываемой территории выделяет бижинскую свиту (K_2-N_{1bg}), представленную переслаивающимися пестроцветными конглобекциями, брекчиями, гравелитами, песчаниками, суглинками, глинами, мергелями, алевролитами с прослоями гипса, солей, а также известняков. Бижинская свита конформно ложится на древнюю денудационную поверхность, выработанную на палеозойских породах. Однако следует сделать оговорку: А.Б.Фортуне [9] указывает, что в бижинскую свиту С.А.Тарасов включил практически весь красноцветный комплекс С.С.Шульца [2].

Выше по разрезу следует шабыркольская свита (N_{1sb}), отложения которой в одних случаях согласно сменяют накопления бижинской свиты, в других – ложатся непосредственно на палеозойские породы [5]. В окраске отложений шабыркольской свиты преобладают зеленоватые и серые тона. Это переслаивающиеся конгломераты, конглобекции, гравелиты, песчаники, глины, мергели и алевролиты, встречаются также прослойки гипса. В песчаниках видны знаки рапаки.

Джуанарыкская свита (N_{1-2dg}) представлена пестроцветными гравелитами, брекчиями, конгломератами, песчаниками, глинами, мергелями, алевролитами. Верхняя часть свиты часто загипсована и засолена. Накопления джуанарыкской свиты с небольшим разрывом лежат на отложениях шабыркольской свиты, но иногда можно наблюдать, как образования джуанарыкской свиты непосредственно ложатся на доорогенный пенеплен (например, в горах Орток).

Выше по разрезу расположена шарылдакская свита (N_2-Q_{1st}), которая ложится на накопления джуанарыкской свиты, иногда согласно, иногда со значительным угловым и азимутальным несогласием (например, в горах Айгырджал). Свита представлена сероцветными брекчиями, конглобекциями, конгломератами с редкими прослойками песчаников, глин, суглинков и гравелитов.

Четвертичные отложения аллювиального, пролювиального, гляциального и флювиогляциального генезиса развиты практически повсеместно в пределах Кочкорской впадины и ее горного обрамления.

В структурном отношении впадина представляет собой асимметричную мегасинклиналь с южным крутым и коротким крылом. Длина структуры 100 км, при ширине 43 км. На юге переход от впадины к горному обрамлению проходит по Южно-Кочкорскому разлому (описание см. ниже). Максимальные мощности новейших отложений отмечаются для южной части впадины. Здесь на дневную поверхность выходят пестроцветные осадки палеоген-неогеновых отложений, которые смыты в складки и нарушены разрывами. Еще С.С.Шульц [1, 2] указывал на опрокинутый характер складок, в которые смыты неогеновые осадки. Того же мнения придерживаются С.А.Тарасов [5], И.Садыбакасов [10] и А.М.Корженков [11]. В то же время геологи-съемщики Киргизского геологического управления – К.Д.Помазков и др. [12], И.Л.Захаров и В.М.Захаров [13], которые проводили здесь геологическую съемку в 1953–1955 гг., отрицали опрокинутость неогеновой толщи.

С.А.Тарасов [5] и И.Садыбакасов [10] приводят общую мощность кайнозойской молasses в 3–3,5 км. Однако С.С.Шульц [3] пишет о двухкилометровой мощности разреза. Его данные подтверждаются геофизическими исследованиями [14]. По-видимому, неоген-четвертичная толща построена еще более сложно, чем это представлялось ранее по геологическим данным. Здесь возможно сдваивание разреза за счет сложения одновозрастных пластин-чешуй, либо мы имеем дело с гофрированной складчатостью, также не дающей правильного представления о мощности толщи кайнозойских осадков.

По данным С.А.Чекиной и др. [14], структура днища впадины представляет собой весьма сложную картину. На фоне общего синклинального прогиба выделяется большое количество разрывных нарушений, причем значительных, с амплитудой смещения по ним в сотни метров. Разрывы имеют как субширотное простиранье, совпадающее с простиранием основных структур впадины, так и северо-западное, а также северо-восточное. Кроме вертикальных подвижек здесь имеются и горизонтальные сдвиги.

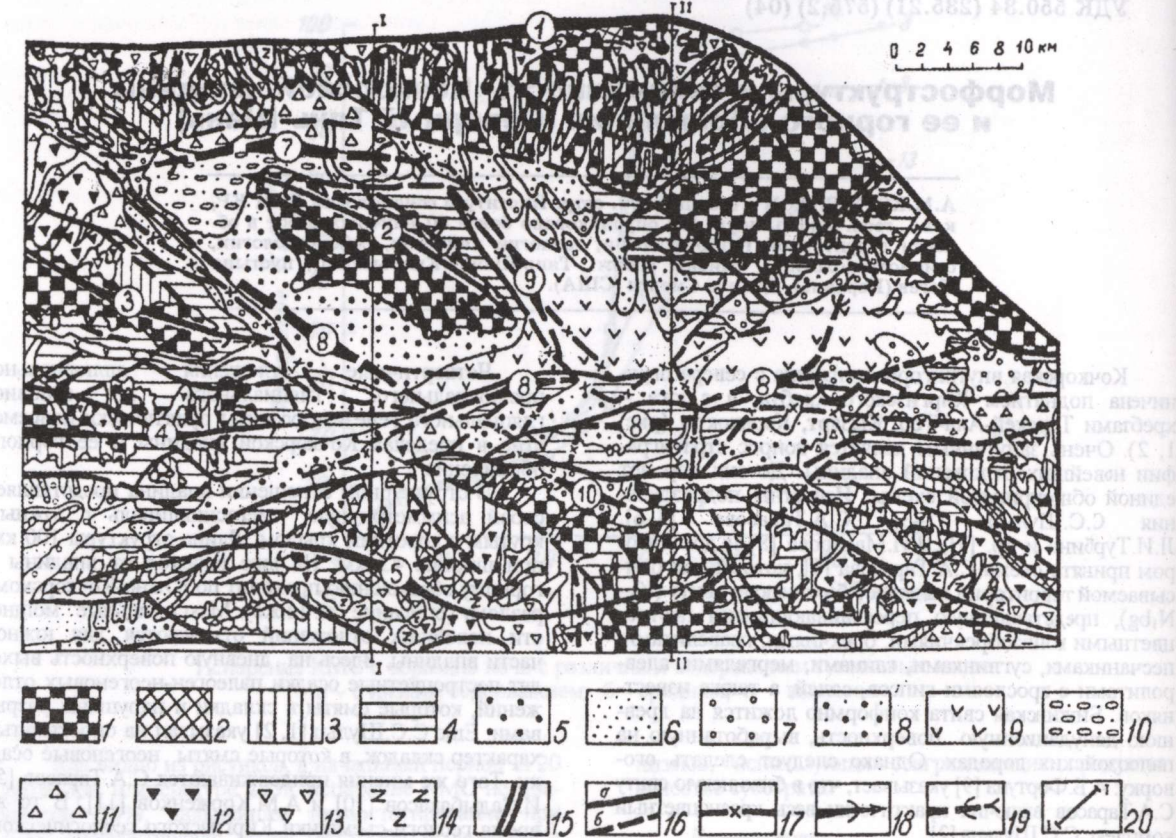


Рис. 1. Структурно-геоморфологическая карта Кочкорской впадины и ее горного обрамления.
Составил А.М.Корженков в 1986 г., по собственным материалам, а также по данным [12–14].

Денудационный (деструктивный) рельеф: 1 – доорогенная древняя денудационная поверхность, 2 – олигоцен-миоценовые эрозионно-денудационные поверхности выравнивания и крутые склоны эрозионных миоценовых долин (верхний ярус рельефа), 3 – крутые эрозионные склоны плиоцен-раннечетвертичных долин и фрагменты плиоценовой и нижнечетвертичной эрозионно-денудационных поверхностей выравнивания (средний ярус рельефа), 4 – крутые склоны V-образных долин современной гидросети с фрагментами эрозионных террас среднечетвертичного голоценового возраста (нижний ярус рельефа).

Аккумулятивный рельеф: 5 – раннечетвертичные аллювиально-пролювиальные террасы, 6 – среднечетвертичные аллювиально-пролювиальные террасы, 7 – позднечетвертичные аллювиально-пролювиальные террасы, 8 – позднечетвертичные голоценовые аллювиально-пролювиальные террасы, 9 – голоценовые аллювиально-пролювиальные террасы и поймы рек, 10 – среднечетвертичные флювио-гляциальные конусы, 11 – среднечетвертичные морены, 12 – позднечетвертичные морены, 13 – голоценовые морены, 14 – ледниковые и фирновые поля.

Новейшие структурные формы, выраженные в рельефе: 15 – краевые разломы, 16 – прочие разрывы (а – установленные, б – предполагаемые), 17 – разрывы, выявленные геофизическими методами под кайнозойскими отложениями, 18 – оси антиклиналей, 19 – оси синклиналей.

Другие обозначения: 20 – линии геолого-геоморфологических профилей.

Перечень новейших структур (номера в кружочках на карте): 1 – Киргизская мегантиклиналь, 2 – Ортокская антиклиналь, 3 – Карамойнокская мегантиклиналь, 4 – Сандыкская мегантиклиналь, 5 – Кызарт-Каракатинская мегантиклиналь, 6 – Терская мегантиклиналь, 7 – Ортокская синклиналь, 8 – Кочкорская мегасинклиналь, 9 – Шамсинская синклиналь, 10 – Чолойская синклиналь.

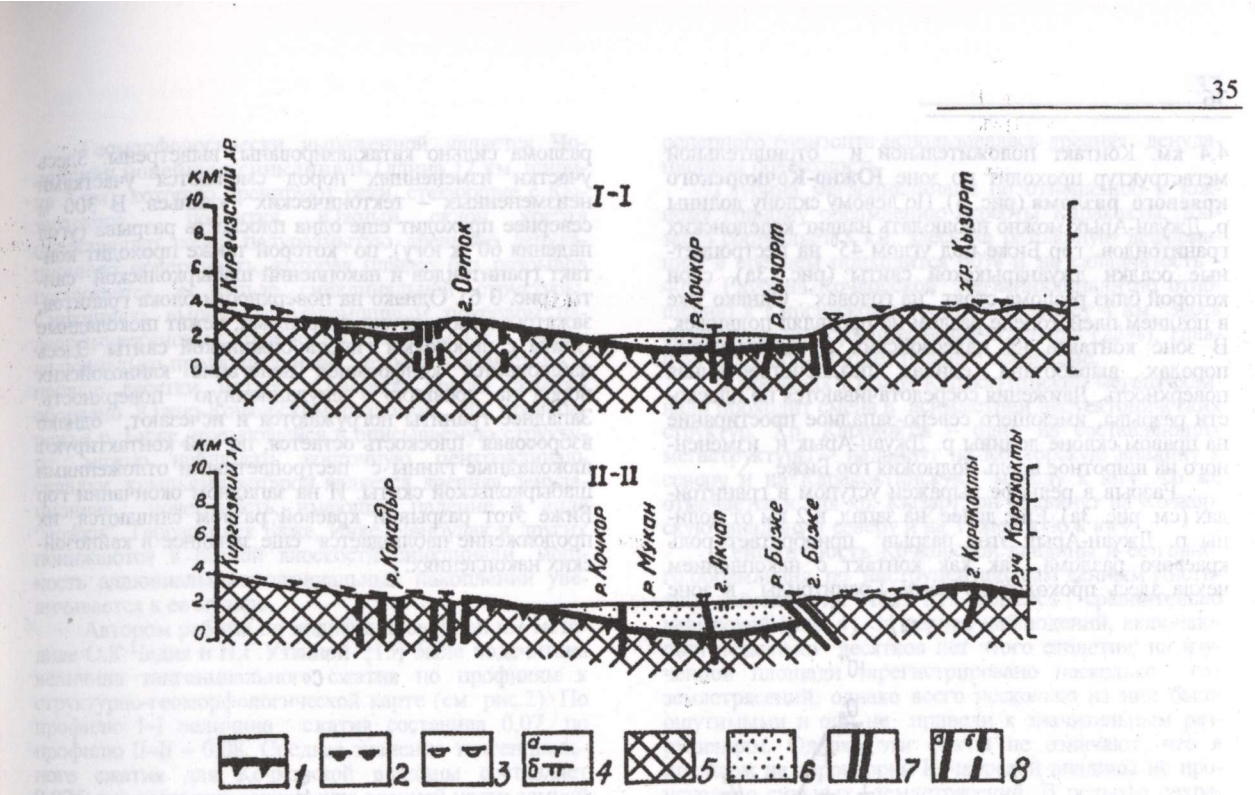


Рис. 2. Профили к структурно-геоморфологической карте Кочкорской впадины.
Составил А.М.Корженков в 1986 г.

1 – доорогенный пенеплен, 2 – миоценовая поверхность выравнивания, 3 – плиоценовая поверхность выравнивания, 4 – среднечетвертичные террасы (а – Q_2^1 , б – Q_2^2), 5 – палеозойские образования, 6 – кайнозойские накопления покрова, 7 – краевые разломы, 8 – прочие разрывы (а – установленные, б – предполагаемые).

Киргизский хребет, обрамляющий Кочкорскую впадину с севера, имеет длину 350 км, ширину 25 км и абсолютные отметки, достигающие 4,9 км. Его южный склон представляет собой древнюю денудационную поверхность, также нарушенную разрывами. Но здесь амплитуды смещения по ним небольшие – десятки метров. Исключение представляет Ортокская брахиантеклиналь, нарушающая пологое южное крыло описываемой мегаструктуры. По разрывам, осложняющим Ортокскую складку с севера и северо-востока, амплитуда смещения достигает 1 км.

И.Садыбакасов [10] указывал на распространение на южном склоне Киргизского хребта сбросовых нарушений. Это неудивительно, так как Киргизский хребет надвинут к северу на Чуйскую впадину. Соответственно в тыловой части надвига возможны сбросы. Угол падения древней денудационной поверхности около 10° . Сходную асимметрию имеет брахиантеклиналь Орток, ее юго-западное крыло пологое и длинное, несущее на себе доорогенный пенеплен, с углом падения около 10° . Северо-восточное крыло крутое, оборванное разрывами субширотного и северо-западного простирания. Длина антиклинальной структуры – 25 км, ширина – до 10 км (средняя ширина 8 км), абсолютные высоты достигают 3,3 км.

С юга Кочкорская мегасинклиналь граничит с мегантиклинальной структурой гор Каракаты и Кызарт. Общая длина мегаскладки – 70 км, средняя ширина – 19 км, абсолютные высоты достигают

4,4 км. Контакт положительной и отрицательной мегаструктур проходит по зоне Южно-Кочкорского краевого разлома (рис. 3). По левому склону долины р. Джан-Арык можно наблюдать надвиг каледонских гранитоидов гор Биже под углом 45° на пестроцветные осадки джуанарыкской свиты (рис. 3а), слои которой близ разлома стоят "на головах". Однако уже в позднем плейстоцене разлом не проявлял подвижек. В зоне контакта на палеозойских и кайнозойских породах выработана единая позднечетвертичная поверхность. Движения сосредотачиваются по плоскости разлома, имеющей северо-западное простирание на правом склоне долины р. Джан-Арык и измененного на широтное вдоль подножия гор Биже.

Разрыв в рельфе выражен уступом в гранитоидах (см. рис. 3а). Еще далее на запад, в 2 км от долины р. Джан-Арык этот разрыв приобретает роль краевого разлома, так как контакт с накоплением чехла здесь проходит по нему. Гранитоиды в зоне

а)

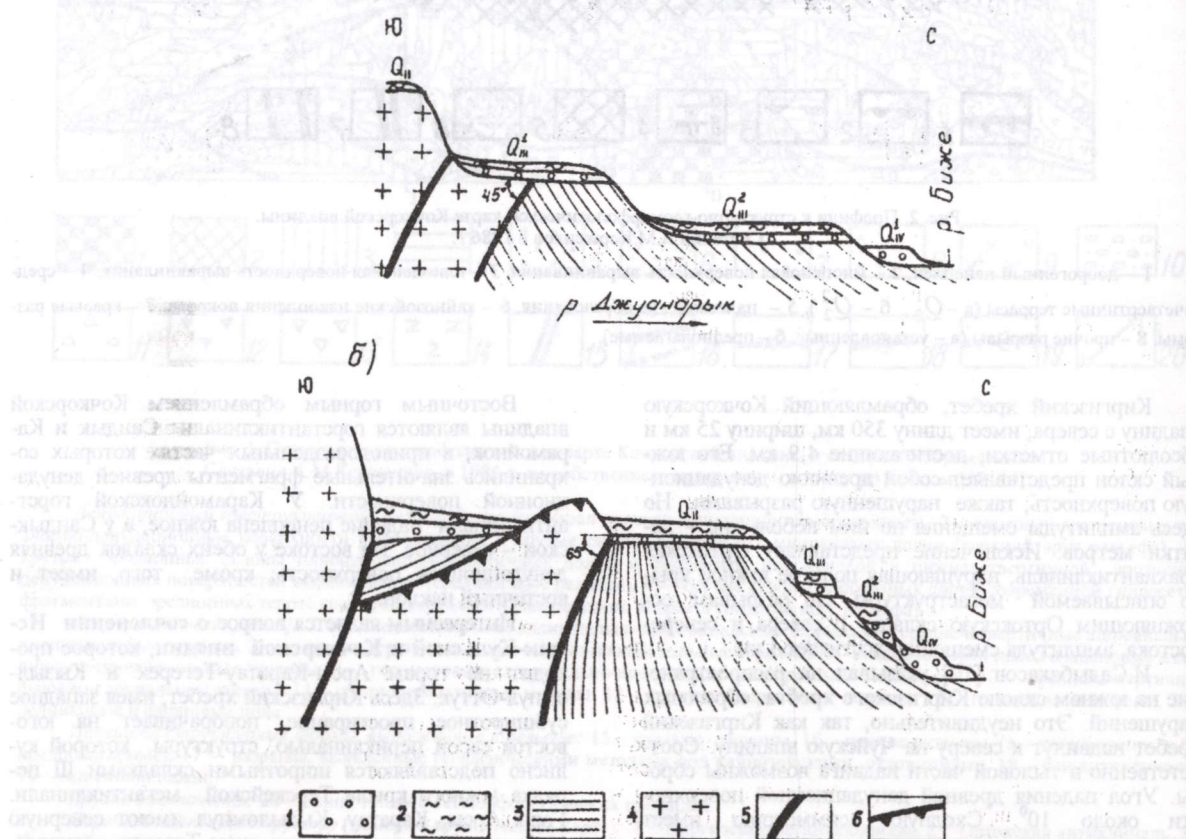


Рис. 3. Зоны Южно-Кочкорского краевого разлома: а – левобережье р. Джан-Арык, б – в 5 км западнее.

Составил А.М. Корженков в 1987 г.

1 – четвертичные аллювиальные отложения, 2 – четвертичные покровные лессовидные суглинки, 3 – палеоген-неогеновые образования, 4 – палеозойские породы, 5 – разрывы, 6 – доорогенный пенепел.

разлома сильно катаклизированы, выветрены. Здесь участки измененных пород сменяются участками неизмененных – тектонических клиньев. В 300 м севернее проходит еще одна плоскость разрыва (угол падения 60° к югу), по которой также проходит контакт гранитоидов и накоплений шабыркольской свиты (рис. 3 б). Однако на поверхности блока гранитов, зажатого между двумя разрывами, лежат шоколадные глины с прослойями гипсов бижинской свиты. Здесь наблюдается конформное налегание кайнозойских пород на древнюю денудационную поверхность. Западнее граниты погружаются и исчезают, однако взбросовая плоскость остается, по ней контактируют шоколадные глины с пестроцветными отложениями шабыркольской свиты. И на западном окончании гор Биже этот разрыв и краевой разлом сливаются, их продолжение наблюдается еще западнее в кайнозойских накоплениях.

Геоморфологически выраженной является Чо-лойская новейшая синклиналь (длина 12 км, ширина 3 км), которую дренируют реки, стекающие с Кызартского поднятия. Южный склон хребта представляет собой полуразмытую древнюю денудационную поверхность, которая плавно без разрывов погружается к мульде синклинальной структуры. Синклиналь выполнена маломощным покровом палеоген-неогеновых отложений, перекрытыми сверху аллювиально-пролювиальным чехлом мощностью в первые десятки метров. Северное крыло складки оборван Южно-Кочкорским разломом. На правобережье р. Биже, врезающейся в описываемую структуру, можно наблюдать восточную центроклиналь складки, крылья которых являются древняя денудационная поверхность, имеющая падение в виде "ложки". Террасы рек Биже, Ичке, Чонбулак и других поникаются к осевой плоскости синклинали, мощность аллювиально-пролювиальных накоплений увеличивается к ее мульде.

Автором работы по модифицированной им методике О.К. Чедия и Н.Г. Уткиной [15] была подсчитана величина тангенциального сжатия по профилям к структурно-геоморфологической карте (см. рис. 2). По профилю I-I величина сжатия составила 0,07, по профилю II-II – 0,08. Среднее значение тангенциального сжатия для Кочкорской впадины составляет 0,075, т.е. величина сокращения верхней части земной коры равна 3,2 км за весь новейший этап. В качестве

реперного горизонта использовалась древняя денудационная поверхность. Глубина мегасинклинали по отношению к южному горному обрамлению (хребты Каракокты, Кызарт) составляет 3 км, здесь на разрывную деформацию в среднем приходится 60% и на складчатость – 40%. Глубина Кочкорской мегасинклинали по отношению к Киргизскому хребту составляет 4 км. Здесь разрывная деформация незначительная (22%), главную роль приобретает плавное изгибание.

В пределах Кызарт-Каракаттинской мегантклинали проходит смена в асимметрии неотектонических структур. Хр. Каракокты – один из составляющих мегаструктур – надвинут на Кочкорскую впадину к северу и на Каракоктинскую мульду к югу. То же отмечается и для хр. Кызарт, он надвинут на Кочкорскую впадину к северу и на Тюлекскую к югу.

Сейсмичность Кочкорской впадины и ее горного обрамления, по инструментальным данным Института сейсмологии НАН КР, является сравнительно невысокой (рис. 4). За период наблюдений, включаяй несколько десятков лет этого столетия, на изученной площади зарегистрировано несколько сот землетрясений, однако всего несколько из них были ощущимы и они не привели к значительным разрушениям. Однако эти факты не означают, что в прошлом на территории Кочкорской впадины не происходило сильных землетрясений. В рельфе сохранились их следы – палеосейсмодислокации.

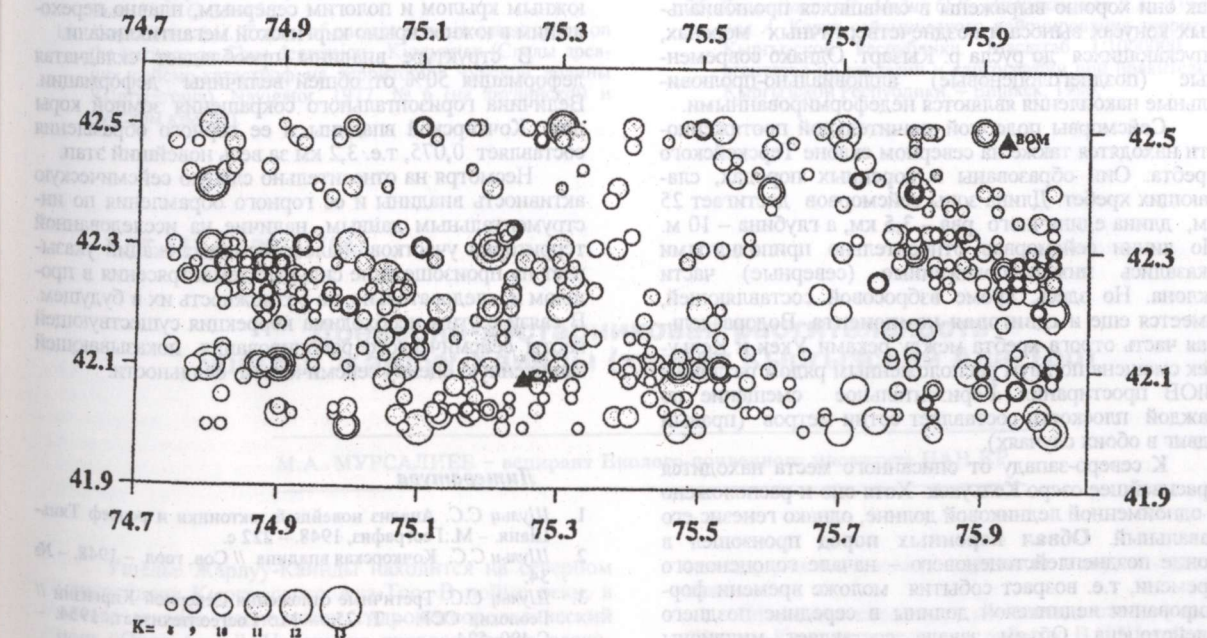


Рис. 4. Карта эпицентров землетрясений Кочкорской впадины и ее горного обрамления, по данным Института сейсмологии НАН КР. Карта была любезно подготовлена С. Молдабековой в 1998 г.

Сейсмические станции: KZA – Кызарт, BOM – Бoom. К – энергетический класс землетрясения по Т.Раутман 8, 9, 10, 11, 12, 13; М – магнитуда землетрясения по шкале Меркалли-Рихтера 2,2, 2,8, 3,3, 4,9, 4,4, 5,0.

Наиболее эффективные из них – сейсмоуступы, главным из которых является Акчапский (адырный) надвиг – наиболее активная тектоническая линия впадины в четвертичное время. Здесь, в аллахтонной части разлома (южное крыло) в подвешенном состоянии оказались средние, позднечетвертичные и голоценовые террасовые отложения, причем первые взбросены на высоту до сотни метров, вторые – на высоту в десятки метров, а голоценовые – на первые метры. Описанную деформацию можно наблюдать вдоль линии надвига к западу и к востоку от русла р. Джуан-Арык.

Сейсмические уступы (эскарпы) ВСВ простираются высотой в первые метры и длиной до 2,5 км находятся на северном склоне хребта Сандык, в районе восточного его погружения – подосадочные накопления Кочкорской впадины. Длина зоны сейсмоуступов достигает 10 км, они образованы в коренных породах хребта. Эскарпы – до четырех линий, расположенных друг над другом по склону, – хорошо видны как на аэрофотоснимках, так и на дневной поверхности. Они нарушают довольно ровную древнюю денудационную поверхность, полого падающую к северу.

Сейсморвы значительной протяженности (длина зоны до 20 км) ВСВ простираются можно наблюдать по правому склону долины р. Кызарт, в верхнем и среднем ее течении. Длина единичного рва достигает 2 км, а глубина – первых метров, по нему относительно приподнятой оказалась нижерасположенная часть склона. Возраст сейсмолов – верхний голоцен, так как они хорошо выражены в слившихся пролювиальных конусах выноса и позднечетвертичных моренах, спускающихся до русла р. Кызарт. Однако современные (позднеголоценовые) аллювиально-пролювиальные накопления являются недеформированными.

Сейсморвы подобной значительной протяженности находятся также на северном склоне Терсского хребта. Они образованы в коренных породах, слагающих хребет. Длина зоны сейсмолов достигает 25 км, длина единичного рва – 3,5 км, а глубина – 10 м. По линии сейсмолов относительно приподнятными оказались нижерасположенные (северные) части склона. Но здесь, кроме взбросовой составляющей, имеется еще и сдвиговая компонента. Водораздельная часть отрога хребта между реками Укек и Кельукек смещена по двум расположенным рядом разломам ВЮВ простирации. Горизонтальное смещение по каждой плоскости составляет сотни метров (правый сдвиг в обоих случаях).

К северо-западу от описанного места находится красивейшее озеро Кельукек. Хотя оно и расположено в одноименной ледниковой долине, однако генезис его завальный. Обвал коренных пород произошел в конце позднеплейстоценового – начале голоценового времени, т.е. возраст события моложе времени формирования ледниковой долины в середине позднего плеистоцена. Объем завала составляет миллионы кубических метров, велика и площадь озера, образовавшегося позади естественной дамбы, 2 км². Нахождение завала поблизости от сейсмолов со сдвиговой составляющей указывает на его сейсмический генезис.

Описанные выше дислокации сейсмотектонического (уступы, рвы) и сейсмогравитационного (обвал)

генезиса являются непосредственным свидетельством плеистоцентовых (эпицентальных) областей палеоземлетрясений. Подобные сейсмогенные структуры – свидетельства древних катастроф – обнаружены нами также к северу [16, 17], югу [18], западу [19, 20] и к востоку [11] от Кочкорской впадины. Эти следы древних катастрофических землетрясений аналогичны сейсмодислокациям, образовавшимися поблизости во время исторических и современных сильных землетрясений интенсивностью 9 баллов и более [21–24]. Таким образом, сравнительно низкая сейсмическая активность Кочкорской впадины и ее горного обрамления никоим образом не должна вводить в заблуждение. Следы разрушительных землетрясений прошлого однозначно указывают на их возникновение на данной территории и в будущем. Однако на последней Карте сейсмического районирования Киргизской Республики [25] территория Кочкорской впадины и ее горного обрамления попала в зону с максимальным 8-балльным эффектом.

В свете изложенных в настоящей работе данных необходима коррекция вышеупомянутой карты, являющейся нормативным документом для всех строительных организаций республики. Следует также провести инвентаризацию уже построенных в Кочкорской впадине строений и мероприятия по усилению зданий старой застройки.

Таким образом, Кочкорская внутргорная впадина является асимметричной мегасинклинальной структурой с коротким и оборванным разломами южным крылом и пологим северным, плавно переходящим в южное крыло киргизской мегасинклинали.

В структуре впадины преобладает складчатая деформация 50% от общей величины деформации. Величина горизонтального сокращения земной коры для Кочкорской впадины и ее горного обрамления составляет 0,075, т.е. 3,2 км за весь новейший этап.

Несмотря на относительно слабую сейсмическую активность впадины и ее горного обрамления по инструментальным данным, наличие на исследованной территории участков палеосейсмодислокаций указывает на произошедшие сильные землетрясения в прошлом и, следовательно, на возможность их в будущем. В связи с этим необходима коррекция существующей карты сейсмического районирования, показывающей заниженную оценку сейсмической балльности.

Литература

- Шульц С.С. Анализ новейшей тектоники и рельеф Тянь-Шаня. – М.: География, 1948. – 222 с.
- Шульц С.С. Кочкорская впадина // Сов. геол. – 1948. – № 34.
- Шульц С.С. Третичные отложения Северной Киргизии // Геология ССР. – Т. 25. – М.: Госгеолтехиздат, 1954. – С. 490–524.
- Тарасов С.А. Стратиграфия палеоген-неогеновых отложений Кочкорской впадины (Киргизия) на основе изучения ископаемых позвоночных: Автореф. дис. канд. геол.-минерал. наук. – Фрунзе, 1968.
- Тарасов С.А. К вопросу о стратиграфии палеоген-неогеновых отложений Кочкорской впадины // Материалы по геологии кайнозоя и новейшей тектонике Тянь-Шаня. – Фрунзе: Илим, 1970. – С. 52–68.
- Тарасов С.А. О стратиграфической номенклатуре палеоген-неогеновых отложений Северо-Восточной Киргизии // Материалы по новейшему этапу геологического развития Тянь-Шаня. – Фрунзе: Илим, 1971. – С. 4–9.
- Турбина Л.И., Александрова Н.В., Конюхов А.Г. Палеоген и неоген Северо-Восточной Киргизии // Геология ССР. – Т. XXV. Киргизская ССР. Геологическое описание. – Кн. 1. – М.: Недра, 1972.
- Макаров В.И. Новейшая тектоническая структура Центрального Тянь-Шаня. – М.: Наука, 1977. – 172 с.
- Фортунат А.Б. Результаты палинологических исследований бикинской свиты в Кочкорской впадине // Северный Тянь-Шань в кайнозое. – Фрунзе: Илим, 1979. – С. 31–34.
- Садыбакасов И. Неотектоника Центральной части Тянь-Шаня. – Фрунзе: Илим, 1972. – 118 с.
- Корженков А.М. Общие особенности новейших структурных форм Северо-Восточного Тянь-Шаня: Дисс. канд. геол.-минерал. наук. – Фрунзе, 1988. – 261 с.
- Помазков Л.Д., Жуков Ю.В., Захаров И.Л. Отчет Кочкорской поисковой партии по работам 1953 г. – Фрунзе, 1953.
- Захаров И.П., Захарова В.М. Геологическая карта ССР масштаба 1:200000. Серия Северо-Тяньшанская. Лист К-43-XVI. – М.: Госгеолтехиздат, 1962.
- Чекина С.А., Сабитов А.К., Макеев В.П., Белева Г.А. Отчет о результатах опережающих геофизических исследований в помощь комплексным гидрогеологическим съемкам в Кочкорском, Джумгальском и Атбашинском артезианских бассейнах в 1975–1981 гг. – Ст. Шопоков, 1981.
- Чедия О.К., Уткина Н.Г. Принцип определения величины регионального тангенциального сжатия в новейших эпиллатеральных орогенах // Изв. Кирг. ГО, 1976. – Вып. 13. – С. 39–47.
- Корженков А.М. Traces of ancient seismic catastrophes on the territory of Chue depression, Kyrgyzstan (Следы древних сейсмо-катастроф на территории Чуйской долины Киргизстана). Navigator. 1977, № 6 (на английском и русском языках).
- Корженков А.М. Traces of ancient seismic catastrophes on the territory of Chue depression, Kyrgyzstan (Следы древних сейсмо-катастроф на территории Чуйской долины Киргизстана). Navigator. 1977, № 6 (на английском и русском языках).
- Корженков А.М. Землетрясение в Токмакском уезде в 1885 г. – Изв. Импер. Русск. геогр. об-ва, 1896. – Т. 22. – Вып. 2. – С. 150–164.
- Богданович К.И., Карк И.М., Корольков Б.Я., Мушкетов Д.И. Землетрясение в северных цепях Тянь-Шаня 22 декабря 1910 г. (4 января 1911 г.) – Тр. Геолкома, Нов. Серия, 1914. – Вып. 89. – 256 с.
- Корженков А.М., Омурзаков М. Формы рельефа, образовавшиеся при сильном Суусамырском землетрясении 1992 г. в Северном Тянь-Шане // Геоморфологический риск. – Иркутск: Изд. ИЗК СО РАН, 1993. – С. 105–106.
- Ghose S., Mellors R.J., Korjenkov A.M., Hamburger M.W., Pavlis T.L., Pavlis G.L., Omurzaliev M. and Mamyray E., Muraliev A.R., 1996. The MS = 7.3, 1992 Suusamyr, Kyrgyzstan earthquake in the Tien-Shan: 2 Aftershock Focal Mechanism and surface deformation. Bull Seism. Soc Amer. Vol. 87, № 1. – P. 23–38.
- Джанузаков К., Чедия О.К., Абдрахматов К.Е., Турдукулов А. Кarta сейсмического районирования территории Киргизской Республики. Масштаб 1:1000000. Гос. агентство по геодезии и картографии при правительстве Киргизской Республики. – Бишкек, 1996.

М.А. МУРСАЛИЕВ – аспирант Биологического института НАН КР.

Ущелье Жарлуу-Кайнды находится на северном склоне Киргизского АлаТоо. В пойме реки, в начале ущелья расположен гидрометеорологический пост «Орто-Арык». На склоне правого берега раскинулся дачный кооператив. Выше гидрометеорологического поста на склоне левого берега находится пионерский лагерь «ККЗ».

Протяженность реки, начиная от гидрометеоропоста до гребня Киргизского АлаТоо, составляет 25 км. Площадь водосбора бассейна – 185 км². Начинаясь пологими склонами в предгорьях в нижнем и среднем

поясах, ущелье местами переходит в почти отвесные скалы.

Отдельные сведения о растительности по ущелью Жарлуу-Кайнды имеются в работах В.С. Шараевой, Л.П. Лебедевой [2].

В 1949–1950 гг. и 1961–1962 гг. под руководством профессора И.В. Выходцева в ущелье Жарлуу-Кайнды, в урочище Мокрая Буурлю работала геоботаническая экспедиция. В ее задачу входило исследование пыреино-разнотравной степи и высокотравного лугового сообщества, определение ботанического

состава, изучение фенологии растений, динамики травостоя и массы, отставности и продуктивности исследованных пастбищ. Опубликованных данных экспедиция не имеет [1,2].

Древесно-кустарниковая растительность ущелья Жарлуу-Каинды прежде не исследовалась. Придерживаясь "вертикальных профилей природных условий Киргизии" И.В.Выходцева [5], в ущелье Жарлуу-Каинды выделены следующие пояса и подпояса древесно-кустарниковой растительности, с небольшими корректировками абсолютных высот для данного ущелья.

A. Кустарниковый пояс находится в пределах 1050–1500 м над ур.м. В нем нами выделены 3 формации: 1. Rosa beggeriana Schrenk.- Ephedra equisetina Bge. 2. Salix wilgelmiana M.B.- Berberis heteropoda Schrenk. 3. Spiraea hypericifolia L.- Atraphaxis virgata Krass.- Artemisia serotina Bge.

I. Шиповнико-эфедровая формация состоит из следующих ассоциаций: 1. Rosa beggeriana Schrenk.- Kochia prostrata(L.)Schrad. 2. Caragana camilli-schneiderii Kom.- Ceratoites Latens (J. F. Gmel.) Reveal et Holmgren.- Artemisia serotina Bge. 3. Ephedra equisetina Bge.- Artemisia serotina Bge.- Lagochilus platycalyx Schrenk.

II. Ивово-барбарисовая формация включает такие ассоциации: 1. Salix wilgelmiana M.B.- Hippophae rhamnoides L. 2. S. wilgelmiana M.B.- Spiraea hypericifolia L.- Astragalus nikitinae B. Fedtsch. 3. Berberis heteropoda Schrenk.- Caragana camilli-schneiderii Kom.- Atraphaxis virgata(Rgl.)Krassn. 4. B. heteropoda Schrenk.- Ephedra equisetina Bge.- Artemisia serotina Bge.

III. Спирея-курчавко-полынная формация состоит из следующих ассоциаций: 1. Spiraea hypericifolia L.- Salix wilgelmiana M.B. 2. Atraphaxis virgata Krassn.- Artemisia serotina Bge. 3. Artemisia serotina Bge.- Ziziphora clinopodioides Lam.

Ботанический состав перечисленных выше формаций (перечисление здесь и далее по жизненным формам строго в порядке очередности: деревья, кустарники, кустарнички, полукустарники и полукустарнички) состоит из Populus afghanica (Aitch. Et Hemsl.) Scheid., Crategus songorica C.Koch., Armeniaca vulgaris Lam., Elaeagnus angustifolia L., Acer semenovii Rgl.et Herd., Salix wilgelmiana M.B., Berberis heteropoda Schrenk., Spiraea hypericifolia L., Ephedra equisetina Bge., Atraphaxis virgata Krassn., Rosa beggeriana Schrenk., R.laxa Retz., Caragana camilli-schneiderii Kom., Tamarix hispida Willd., Myricaria bracteata Royle, Hippophae rhamnoides L., Clematis orientalis L., Rubus caesius L., Ceratoites Latens (J. F. Gmel.) Reveal et Holmgren, Astragalus fedtschenkoanus Lipsky, A. nikitinae B. Fedtsch., Kochia prostrata(L.)Schrad., Lagochilus platycalyx Schrenk., Ziziphora clinopodioides Lam., Artemisia serotina Bge., A. heptapotamica Poljak., A. sublessingiana Krasch.ex Poljak., A. Heptapotamica Poljak.

Б. Арчово-кустарниковый подпояс находится в пределах 1500–2300 м. над ур.м. В этом поясе нами выделены пять формаций: 1. Juniperus sabina L.- Spiraea Lasiocarpa Kar. et Kir. 2. Atraphaxis pyrifolia Bge.- Ziziphora clinopodioides Lam. 3. Cotoneaster melanocarpus Fisch.ex Blytt.-Ribes janczewskii Pojark. 4. Salix wilgelmiana M.B.- Hippophae rhamnoides L.

Artemisia serotina Bge. 5. Juniperus sabina L.- Rosa fedtschenkoana Rgl.

I. Арчово-спирейная формация состоит из следующих ассоциаций: 1. Juniperus sabina L.- Atraphaxis virgata Krassn. 2. Juniperus sabina L.- Salix wilgelmiana M.B. 3. Spiraea Lasiocarpa Kar. et Kir.- Hippophae rhamnoides L. 4. Rosa fedtschenkoana Rgl.-Abelia corymbosa Rgl. et Schmalh. 5. Artemisia sublessingiana Krasch.ex Poljak.

II. Курчавко-зизифоровая формация включает следующие ассоциации: 1. Juniperus sabina L.- Ceratoites Latens (J. F. Gmel.) Reveal et Holmgren. 2. Atraphaxis pyrifolia Bge - Cotoneaster multiflora Bge. 3. Ziziphora clinopodioides Lam.- Thymus marschallianus Willd. 4. Rosa beggeriana Schrenk.- Rosa laxa Retz.-Artemisia serotina Bge. 5. Spiraea hypericifolia L.- Rosa fedtschenkoana Rgl. 6. Artemisia serotina Bge.-Atraphaxis pyrifolia Bge- Ziziphora clinopodioides Lam.

III. Кизильниково-смородиновая формация состоит из следующих ассоциаций: 1. Juniperus sabina L.- Rosa fedtschenkoana Rgl. 2. Cotoneaster melanocarpus Fisch.ex Blytt. 3. Berberis heteropoda Schrenk.- Caragana camilli-schneiderii Kom. 4.Ribes janczewskii Pojark.-Rosa beggeriana Schrenk. 5. Salix wilgelmiana M.B.- Hippophae rhamnoides L. 6. Cotoneaster multiflora Bge.-Atraphaxis virgata Bge. 7. Rubus idaeus L.

IV. Ивово-облепихово-полынная формация представлена такими ассоциациями: 1. Salix wilgelmiana M.B.- Astragalus nikitinae B. Fedtsch. 2. Juniperus sibirica Burgsd.- Cotoneaster melanocarpus Fisch.ex Blytt. 3. Spiraea hypericifolia L.- Thymus marschallianus Willd. 4. Juniperus sabina L.- Ceratoites Latens (J. F. Gmel.) Reveal et Holmgren. 5. Rosa albertii Rgl.- Juniperus sabina L. 6. Hippophae rhamnoides L.- Salix wilgelmiana M.B. 6. Ephedra equisetina Bge.-Artemisia serotina Bge. 7. Hippophae rhamnoides L.- Lagochilus platycalyx Schrenk. 8. Rubus idaeus L.

Формация арчи казацкой и розы Федченко [V] состоит из восьми ассоциаций: 1. Juniperus sabina L.- Spiraea Lasiocarpa Kar. et Kir. 2. Rosa fedtschenkoana Rgl.- Cotoneaster melanocarpus Fisch.ex Blytt. 3. Berberis heteropoda Schrenk.- Thymus marschallianus Willd. 4. Rubus caesius L.- Lagophilus platycalyx Schrenk. 5. Caragana camilli-schneiderii Kom.- Artemisia serotina Bge. 6. Juniperus sabina L.- Ceratoites Latens (J. F. Gmel.) Reveal et Holmgren. 7. Rosa fedtschenkoana Rgl.-Astragalus nikitinae B. Fedtsch.- Artemisia serotina Bge. 8. Kochia prostrata(L.)Schrad.- Ziziphora clinopodioides Lam.

Ботанический состав пяти формаций арчово-кустарникового пояса представляют следующие виды: Populus talassica Kom., P. afghanica (Aitch. Et Hemsl.) Scheid., Betula tianschnica Rupr., Crataegus songorica C.Koch., Armeniaca vulgaris Lam., Elagagnus angustifolia L., Acer semenovii Rgl.et Herd., Salix iliensis Rgl., S. tianschanica Rgl., S. wilgelmiana M.B., Juniperus sabina L., Ephedra equisetina Bge., Atraphaxis pyrifolia Bge., A. virgata Krassn., Clematis orientalis L., Berberis heteropoda Schrenk., Ribes janczewskii Pojark., Spiraea Lasiocarpa Kar. et Kir., S. hypericifolia L., Cotoneaster melanocarpus Fisch.ex Blytt., Cotoneaster multiflorus Bge., Rubus idaeus L., R. caesius L., Rosa beggeriana Schrenk., R. laxa Retz., R. fedtschenkoana Rgl., Caragana camilli-schneiderii Kom., Euonymus semenovii Rgl.et Herd., Rhamnus cathartica L., Myricaria bracteata Royle, Hippophae rhamnoides L., Abelia corymbosa Rgl. et Schmalh., Lonicera simulatrix Pojark., Ceratoites Latens

(J. F. Gmel.) Reveal et Holmgren., Astragalus intermedium Kar. et Kir., A. fedtschenkoanus Lipsky, A. nikitinae B. Fedtsch., Kochia prostrata(L.)Schrad., Lagochilus platycalyx Schrenk., Ziziphora clinopodioides Lam., Thymus marschallianus Willd., Th.serawshanicus Klok., Artemisia serotina Bge., A. heptapotamica Poljak., A. sublessingiana Krasch. ex Poljak.

B. Арчевый пояс находится на высоте 2300–2900 м. над ур.м. и характеризуется обилием древесной арчи: Juniperus semiglobosa Rgl.

В нем выделены три формации: 1. Juniperus sibirica Burgsd., 2. Salix wilgelmiana M.B.- Spiraea hypericifolia L.- R. albertii Rgl. 3. Berberis heteropoda Schrenk.- Rubus calius L.

Арчевая формация состоит из таких ассоциаций, как: 1. Juniperus seravschanica Kom. 2. Juniperus sibirica Burgsd., 3. Juniperus sabina L. 4. Rosa albertii Rgl.- R. fedtschenkoana Rgl. 5. Dracocephalum integrifolium Bge.- Ziziphora clinopodioides Lam.- Thymus marschallianus Willd. 6. Cotoneaster melanocarpus Fisch.ex Blytt.- Lonicera stenantha Pojark. 7. Kochia prostrata(L.)Schrad.- Artemisia santolinifolia (Turcz.ex Pamp.) Krasch.

Ивово-спиреино-шиповниковая формация представлена восемью ассоциациями: 1. Salix wilgelmiana M.B.- Astragalus nikitinae B. Fedtsch. 2. Juniperus sibirica Burgsd.- Cotoneaster melanocarpus Fisch.ex Blytt. 3. Spiraea hypericifolia L.- Thymus marschallianus Willd. 4. Juniperus sabina L.- Ceratoites Latens (J. F. Gmel.) Reveal et Holmgren. 5. Rosa albertii Rgl.- Juniperus sabina L. 6. Berberis integerima Bge.- Artemisia santolinifolia (Turcz.ex Pamp.) Krasch. 7. Juniperus sibirica Burgsd.- Lonicera stenantha Pojark. 8. Berberis heteropoda Schrenk.- Spiraea Lasiocarpa Kar. et Kir.

В барбарисово-ежевичную формуацию входят девять ассоциаций: 1. Sorbus tianschanica Rupr.- Berberis heteropoda Schrenk. 2. Juniperus sibirica Burgsd.- Berberis integerima Bge. 3. Berberis heteropoda Schrenk.- Juniperus sabina L. 4. Rosa albertii Rgl.- Cotoneaster melanocarpus Fisch.ex Blytt. 5. Ceratoites Latens (J. F. Gmel.) Reveal et Holmgren.- Astragalus intermedium Kar. et Kir. 6. Spiraea hypericifolia L.- Lonicera stenantha Pojark. 7. Rubus caesius L.- Salix wilgelmiana M.B. 8. Ziziphora clinopodioides Lam.- Thymus marschallianus Willd. 9. Artemisia santolinifolia (Turcz.ex Pamp.) Krasch.

Ботанический состав трех формаций арчового подпояса составляет: Juniperus semiglobosa Rgl., Populus talassica Kom., P. afghanica (Aitch. Et Hemsl.) Scheid., Sorbus tianschanica Rupr., Juniperus sibirica Burgsd., Juniperus sabina L., Ephedra equisetina Bge., Salix iliensis Rgl., S. tianschanica Rgl., S. wilgelmiana M.B., Atragene sibirica L., Berberis heteropoda Schrenk., B. integerima Bge., Ribes meyeri Maxim., R. janczewskii Pojark., Spiraea Lasiocarpa Kar. et Kir., S. hypericifolia L., Cotoneaster melanocarpus Fisch.ex Blytt., C.

multiflorus Bge., Rubus idaeus L., R. caesius L., Pentaphylloides phyllocalyx(Juz.)Pojark., Rosa albertii Rgl., R. fedtschenkoana Rgl., Astragalus intermedium Kar. et Kir., A. fedtschenkoanus Lipsky, A. tytthocarpus Gontsch., Rhamnus cathartica L., Myricaria squamosa Royle, Abelia corymbosa Rgl. et Schmalh., Lonicera simulatrix Pojark., L. stenantha Pojark., L. hispida Pall. ex Schult., L. sovetkiniae V.Tkatsch., Ceratoites Latens (J. F. Gmel.) Reveal et Holmgren, Kochia prostrata(L.)Schrad., Astragalus nikitinae B. Fedtsch., Dracoccephalum integrifolium Bge., D. nodulosum Rupr., Ziziphora clinopodioides Lam., Hyssopus serawschanicus (Dujan.)Pazij., Thymus marschallianus Willd., Th. Serawschanicus Klok., Artemisia santolinifolia (Turcz.ex Pamp.) Krasch., A. rutifolia Steph. ex Spreng.

B. Пояс субальпийский кустарниковый, который располагается выше 2900 м. над ур.м. В нем нами выделена одна формация: I.Juniperus sabina L.

I. Арчевую формацию составляют четыре ассоциации: 1. Juniperus sabina L.- Spiraea Lasiocarpa Kar. et Kir.- Ribes meyeri Maxim. 2. Berberis heteropoda Schrenk.-Cotoneaster melanocarpus Fisch.ex Blytt. 3. Sibbaldia tetrandra Bge.- Myricaria squamosa Royle. 4. Rubus idaeus L.

Ботанический состав пояса субальпийских кустарников представляют такие виды: Juniperus sibirica Burgsd., J. sabina L., Ephedra equisetina Bge., Salix alatavica Kar., Atragene sibirica L., Berberis heteropoda Schrenk., Ribes meyeri Maxim., Spiraea Lasiocarpa Kar. et Kir., S. hypericifolia L., Cotoneaster melanocarpus Fisch.ex Blytt., Rubus idaeus L., Pentaphylloides phyllocalyx (Juz.)Pojark., Rosa albertii Rgl., R. fedtschenkoana Rgl., Astragalus tytthocarpus Gontsch., A. fedtschenkoanus Lipsky, Lonicera simulatrix Pojark., L. hispida Pall. ex Schult., Myricaria squamosa Royle, Scutellaria oligodontis Juz., Dracoccephalum nodulosum Rupr., Hyssopus serawschanicus (Dubjan.)Pazij., Thymus Serawschanicus Klok., Artemisia santolinifolia (Turcz.ex Pamp.) Krasch., A. rutifolia Steph. ex Spreng.

Литература

- Никитина Е.В. Материалы по флоре северного склона хребта Киргизский Ал-Тоо. – Фрунзе: Изд-во АН Кирг. ССР, 1960. – 146 с.
- Никитина Е.В. Флора и растительность пастбищ и сенокосов хребта Киргизский Ал-Тоо. – Фрунзе: Изд-во АН Кирг. ССР, 1962. – 276 с.
- Определитель растений Средней Азии. – Т.1–10. – Ташкент: ФАН, 1968–1991 гг.
- Флора Киргизской ССР. – Фрунзе: Изд-во АН Кирг. ССР. – Т.1–XI. – Доп. том №1. 1954–1964 гг.
- Выходцев И.В. Вертикальная поясность растительности в Киргизии (Тян-Шань и Алай). – М.: Изд-во АН ССР, 1956. – С.18.

УДК 582.784.4 (575.2) (04)

Интродукция роз в Ботаническом саду им. Э.З.Гареева НАН КР

А.О. ТУРБАТОВА – уч. секретарь Ботанического сада НАН КР.
Ю.С. ПОТОЦКАЯ – ст. науч. сотр. Ботанического сада НАН КР.

Ботанический сад НАН КР создан в 1938 г. Коллекции цветочных растений инорайонной и местной, культурной и дикорастущей флоры начали интенсивно формироваться с 1952 г. Планомерная интродукция роз проводилась с 1958 г. В течение 40 лет сортового состава розария колебался в пределах 400–500 сортов. Их в основном завозили из Главного ботанического сада РАН (г. Москва), Центрального республиканского ботанического сада АН Украины (г. Киев), Государственного Никитского ботанического сада Украины (г. Ялта), Центрального ботанического сада АН Казахстана (г. Алма-Ата), ботанических садов Прибалтики. В настоящее время насчитывается около 200 сортов садовых роз, входящих в семь садовых групп. Сортовой состав коллекции роз в количественном отношении уменьшился в два раза вследствие выбраковки неустойчивых сортов и слабого пополнения. В связи с финансовыми затруднениями все сложнее содержать коллекцию, приобретать новые сорта, размножать и внедрять в производство. В последние годы ассортимент роз в Кыргызстане обновляется за счет завоза частными лицами новых сортов из ближнего и дальнего зарубежья. Идет проникновение непроверенных в наших условиях сортов роз, когда внимание обращается только на декоративные качества, а биологические особенности и устойчивость к экстремальным факторам не берутся во внимание. Однако из-за несоответствия почвенно-климатических условий не все сорта зарубежной селекции пригодны для культивирования в Кыргызстане.

Поэтому в задачи Ботанического сада входит интродукция, изучение и отбор наиболее перспективных сортов роз различных садовых групп, разработка практических рекомендаций по технологии размножения и выращивания их в условиях открытого и закрытого грунта Чуйской долины, обновление и улучшение ассортимента роз для озеленения и выращивания на срез, использования их в интерьерах, внедрение их в производство в республике.

Ботанический сад НАН КР расположен в предгорной зоне Чуйской долины Кыргызстана на высоте 780 м над ур.м. Климат континентальный, с сухим и жарким летом. Осадков выпадает 400–600 мм в год, из них за период вегетации не более 40%. Среднегодовая относительная влажность – 61%. В летние месяцы относительная влажность воздуха очень низка – 25–30%. Поэтому выращивание роз возможно только при орошении. Суточные суммы прямой радиации, особенно в засушливые годы, значительны. Годовая

сумма тепла, поступающая от суммарной солнечной радиации (прямая + рассеянная) на 1 см² горизонтальной поверхности для г. Бишкек, составляет 137,4 ккал. В июле этот показатель наибольший – 18,5. Продолжительность самых длинных дней в конце июня–начале июля в среднем по Кыргызстану достигает 15 ч в сутки. Продолжительность солнечного сияния за год составляет 2600 ч. Повышенная солнечная радиация прежде всего оказывает большое влияние на температурные условия. Среднегодовая температура составляет 10,5°C. Летом устанавливается жаркая погода со среднесуточной температурой в июне 21,9°C, июле – 24,1°C, августе – 22,7°C. Абсолютные максимумы температуры приходятся на вторую половину лета (июль–август) и достигают +40,4°C.

Розарий и теплица находятся на участке, где создан определенный микроклимат за счет высаженных групп древесных и кустарниковых растений. Теплица остекленная, типового проекта, ориентирована с юга на север. Летом стекла забеливаются или затеняются легким тентом, в жаркие дни проводится опрыскивание растений, проветривание вручную, так как отсутствуют технические приспособления и приборы, регулирующие микроклимат в теплице.

В Кыргызстане розы пользуются большой популярностью в декоративном садоводстве, выращиваются как основная срезочная культура в открытом и защищенном грунте.

Уже в 1963 г. на республиканском совещании по озеленению городов и сел республики Э.З. Гареев [1] отмечает, что "... совсем недавно во Франции почти не было гладиолусов, флоксов и роз, а теперь они получили самое широкое распространение". Тогда же Л.С. Кривошеева [2], первая заведующая лабораторией цветочно-декоративных растений, подводя итоги интродукции многолетних цветочных растений, указывает, что из 300 имеющихся в коллекции сада сортов роз 25 рекомендовано производству. По данным Ю.С. Потоцкой [3], в период 1961–1966 гг. коллекция роз насчитывала 410 сортов 8 садовых групп. В результате изучения биологических особенностей садовых роз и оценки их декоративно-хозяйственных признаков было рекомендовано для использования в озеленении и выращивания на срез 90 сортов, входящих в 5 садовых групп роз: ремонантные, плетистые, чайно-гибридные, флорибунда, полиантовые. Они обладают большой устойчивостью к биотическим и абиотическим факторам и высокими декоративными качествами. Ю.С. Потоцкая [4,5] впервые в условиях

Чуйской долины Кыргызстана изучила вопросы вегетативного размножения, формирования кустов роз, реакцию разных групп и отдельных сортов роз на различную степень обрезки побегов.

У.Д. Джакиповой [6,7] были выделены наиболее перспективные виды и формы шиповников для подвоя роз в условиях Чуйской долины: *R. canina* L. f. №1, *R. canina* f. №5, *R. canina* f. Kirghizorum, *R. Arnoldii* Sumn., *R. corymbifera* Borkh., разработаны рекомендации по выращиванию подвоя и саженцев роз, обеспечивающих получение посадочного материала за один вегетационный период. Почвенно-климатические условия Чуйской долины позволяют выращивать посадочный материал роз окулировкой прививкой глазком, используя в качестве подвоя эти виды шиповников, в сроки с конца августа по октябрь.

При размножении роз черенками можно получать довольно хороший выход корнесобственных роз, но для этого требуются специальные разводочные помещения. Для получения долговечных и урожайных растений роз первостепенное значение имеет правильное формирование куста и обрезка побегов. На окулянтах лучше прищипывать верхушки побегов до появления бутонов, так как удаление точки роста приводит к быстрому одревеснению оставшихся частей и развитию 2–3 боковых побегов из пазушных почек. Обрезку кустов проводят с учетом назначения посадок. Для получения высококачественного срезочного материала чайно-гибридных роз и флорибунда необходима сильная и умеренная обрезка, а для получения наибольшего декоративного эффекта и озеленительных целей можно применять слабую и умеренную обрезку.

Большая работа по интродукции, сортоизучению плетистых роз в Чуйской долине проведена Л.Я. Денисовой [8,9] в 1971–1993 гг. Интродукция их началась еще в 1957 г., когда было завезено 5 сортов. Коллекция плетистых роз значительно пополнилась в 1971, 1977 гг.

На основании проведенной первичной интродукции выявлены и предложены для вертикального озеленения 20 сортов: *Ave Maria*, *Aelia*, *Berlin*, *Wartburg*, *Красный Маяк*, *Mosel*, *New Dawn*, *Proboscis*, *Heidelberg*, *Excelsa* и др. Разработаны рекомендации по выращиванию посадочного материала плетистых роз и агротехнике их возделывания. Проведены исследования по жаростойкости и особенностям водного режима плетистых роз. Установлены сортовые отличия по этим признакам, что позволило рекомендовать жароустойчивые сорта для широкого использования в озеленении в Чуйской долине при условии достаточного орошения.

За последние 10 лет коллекция садовых роз пополнилась современными ценных сортами различных групп. Первичное сортоизучение их ведется по методике Государственного Никитского ботанического сада, составленной В.Н. и З.К. Клименко [10].

С 1989 г. А.О. Турбатовой [11] на участке роз и в теплицах Ботанического сада была начата интродукция и первичное сортоизучение 2 групп садовых роз: миниатюрных и полуплетистых, а с 1997 г. – новой группы почвопокровных роз. Значительно пополнилась коллекция сортами в 1987–1989 гг. и 1995–1996

гг. В настоящее время насчитывается около 30 сортов роз: min – Baby Bunting, Colibri, Little Buckaroo, Pixie, Sanmaid, Frosti, Ris'n Shine и др., S – Repandia, Meidemona, Pink Wave и другие. В этот же период были завезены 30 сортов роз из группы чайно-гибридных (HT- Angelique, Ave Maria, Dolche Vita, Concord, Lancome, Flamingo и др.) и флорибунда (Fl.- Anabell, Mercedes, Champagne и др.), рекомендованные для оранжерейной культуры сотрудниками Главного ботанического сада Российской академии наук (г. Москва). В.Н. Былов, Н.Л. Михайлов, Е.И. Сурина [12] считают, что "... выгоночные сорта роз не нуждаются в особом зональном испытании, ибо при современной оранжерейной технике имеются широкие возможности для регулирования условий выращивания растений в закрытом грунте". Ввиду отсутствия данных по технологии выращивания роз в защищенном грунте в наших климатических условиях начаты работы по изучению биологических особенностей, сроков посадки и способов формирования и обрезки, продолжительности эксплуатации посадок роз. Ведется первичное сортоизучение и отбор наиболее перспективных, экономичных сортов с высоким выходом качественной продукции на единицу площади, устойчивых к болезням и вредителям, а также в срезке.

За период 1986–1989 гг. А.О. Турбатовой [13] для выращивания в условиях защищенного грунта по комплексу положительных признаков было отобрано и рекомендовано 7 сортов из завезенных до 1987 г. (HT- Baccara, Interflora, Carina, Sophia Loren, Super Star, White Christmas, Gr.- Queen Elizabeth).

В 1987–1988 гг. проведены работы по изучению укореняемости стеблевых черенков этих сортов и выявлению действия некоторых микрэлементов на процент укоренения [14]. Определены жароустойчивость растений этих сортов в открытом и защищенном грунте [15], так как, по мнению Ахматова К.А., – это один из важнейших показателей приспособления растений к аридным условиям Чуйской долины [16]. Жароустойчивость в защищенном грунте оказалась ниже. Это подтвердили и опыты, проведенные в 1991 г. на других 7 сортах роз (HT- Angelique, Lancome, Silvia, Flamingo; Fl. – Mercedes, Traumerei, Champagner), также рекомендованных для выращивания на срез в защищенном грунте [12] и завезенных после 1987 г.

В настоящее время продолжаются испытания и сортооценка по декоративным качествам и общей продуктивности цветения 8 сортов роз, относящихся к группе чайно-гибридных (HT – Helmut Schmidt, Lorenza, Lancome, Silvia, Concord, Flamingo, Ave Maria) и флорибунда (Fl. – Mercedes, Traumerei).

Изученные в условиях Ботанического сада и рекомендованные для использования в зеленом строительстве и выращивания на срез сортов садовых роз отличаются высокой экологической пластичностью, сохраняют декоративные качества, продолжительно и интенсивно цветут. Это подтверждает состояние их в цветниках г. Бишкек. В последние годы ассортимент роз в городских посадках почти не обновлялся. В 1995 г. Ю.С. Потоцкой и Д.У. Джакиповой [17] был проведен анализ ассортимента роз, используемых в озеленении г. Бишкек, изучение их в различных экологических нишах. В посадках преобладают сорта чай-

В предгорных реках в течение года отмечено пребывание 15 видов птиц: обыкновенная и бурая оляпки, маскированная, белая и горная трясогузки, бекас-отшельник, малый зуек, перевозчик, бекас, кряква, малый погоныш, пастушок, камышница, малый зуек, кулик-черныш, перевозчик, бекас, горный дупель, вальдшнеп, зимородок, желтоголовая, горная, маскированная и белая трясогузки, обыкновенная и бурая оляпки, синяя птица и др.

Исследуя верхнее и среднее течение реки Ала-Арчи, А.А. Кузнецов [3] обнаружил 13 видов птиц. Такое же количество птиц регистрировал Э.Ш. Касыбеков в горных реках Восточной части Прииссыккулья. Во время учетов птиц горных рек Таласской области сотрудниками лаборатории наземных позвоночных животных Биологического института НАН КР зафиксировано до 15 видов [4].

* В список видов птиц включены данные, представленные Ю.Г. Кормилицыным в промежуточном отчете «Научно-исследовательская работа за период 1990–1997 гг. в «Ала-Ачинском» природном парке», с.63.

Список видов птиц предгорных рек по сезонам года

ЗИМА	ВЕСНА	ЛЕТО	ОСЕНЬ
Об. оляпка	Об. оляпка	Об. оляпка	Об. оляпка
Бур. оляпка	Бур. оляпка	Бур. оляпка	Бур. оляпка
	Маскир. трясогузка	Маскир. трясогузка	Маскир. трясогузка
	Горн. трясогузка	Горн. трясогузка	Горн. трясогузка
	Перевозчик	Перевозчик	
	Бекас-отшельник		Бекас-отшельник
	Малый зуек		
		Кряква	
			Белая трясогузка
			Бекас
			Малый погоныш
			Водяной пастушок
			Кулик-черныш
			Малая выпь
			Кваква

Таблица 1

Динамика плотности населения, общего числа и категорий видов, экологических групп предгорных рек по сезонам

	ЗИМА	ВЕСНА	ЛЕТО	ОСЕНЬ
Плотность населения ($\text{ос}/\text{км}^2$)	12±2	36±4	36±6	13±3
Общее число видов	2	7	6	12
	Категории видов птиц			
Многочисленные	–	1	1	
Обычные	2	4	4	4
Малочисленные	–	2	1	8
	Экологические группы птиц			
Горные	2	4	3	4
Лугово-кустарниковые	–	1	1	2
Водно-болотные	–	2	2	6

но-гибридных (HT- Gloria Dei, Sophia Loren, Super Star, Pascali и др.) флорибунда (Fl.-Charleston, Nordia и др.), и грандифлора (Gr.- Queen Elizabeth и др.). Другие сорта встречаются в единичных экземплярах. В озеленении города сорта роз, входящие в группы плетистых, полуплетистых роз, встречаются очень редко, а миниатюрные розы не используются совсем. Отмечено, что несмотря на неблагоприятные экологические условия произрастания, особенно в районах промышленных объектов, "...розы, однако, не имеют признаков сильного угнетения и страдают, вероятнее всего из-за неудовлетворительного содержания, (плохие почвы, недостаточная ирригация)". Это указывает на высокую устойчивость роз к экстремальным условиям. При выращивании в экстремальных условиях посадки из роз требуют интенсивной агротехники для сохранения декоративного эффекта на длительное время (12–15 лет).

Таким образом, при правильном подборе ассортимента и проведении своевременных агротехнических мероприятий посадки роз не требуют частой ротации, что позволяет значительно сократить расходы на содержание цветников в населенных пунктах республики.

Литература

- Гареев Э.З. Задачи по озеленению городов и населенных пунктов Киргизии // Изв. Академии наук Киргизской ССР. – 1963. – Т.5. – Вып.2. – С.7–12.
- Кривошеева Л.С. Итоги интродукции многолетних цветочных растений и применение наиболее декоративных из них в озеленении Киргизии // Там же. – С.21–27.
- Потоцкая Ю.С. Розы Чуйской долины: Автореф. дис ... канд. бiol. наук. – Фрунзе, 1967. – 21 с.
- Потоцкая Ю.С. Вегетативное размножение роз в условиях Киргизии. – Фрунзе: Илим, 1966.
- Потоцкая Ю.С. Формирование и обрезка роз// Изв. Бот. сада Академии наук Киргизской ССР. – 1965.
- Джакипов У.Д. Виды шиповника и возможности их использования в качестве подвоя роз в Чуйской долине: Автореф. дис ... канд. бiol. наук. – Фрунзе, 1973. – 21 с.
- Джакипов У.Д. Рост и развитие роз на различных подвоях// Биология интродуцированных цветочно-декоративных растений в Киргизии. – Фрунзе: Илим, 1973. – С.3–24.
- Денисова Л.Я. Розы плетистые в Чуйской долине. – Фрунзе: Илим, 1984. – 80 с.
- Денисова Л.Я. Особенности водного режима плетистых роз в период вегетации // Интродукция цветочно-декоративных растений и зеленое строительство. – Фрунзе: Илим, 1983. – С.38–42.
- Методика первичного сортоназначения садовых роз / Сост. Клименко В.Н., Клименко З.К. / ВАСХНИЛ, Гос. Никитский ботанический сад. – Ялта, 1973. – 21 с.
- Турбатова А.О. Интродукция миниатюрных роз // Интродукция и акклиматизация растений Киргизстане. – Бишкек: Илим, 1995. – С.72–77.
- Былов В.Н., Михайлов Н.Л., Сурина Е.И. Розы. Итоги интродукции. – М.: Наука, 1988. – 440 с.
- Турбатова А.О. Подбор сортов роз для выгонки в условиях Чуйской долины // Тез. докл. конф. "Роль Ботанических садов в рациональном воспроизводстве и использовании растительных ресурсов". – Ташкент, 1990. – С.98–99.
- Турбатова А.О., Сыдыкова Ж.Б. Влияние микрорельефов и гетероакустики на укоренение черенков роз // Интродукция и акклиматизация растений в Киргизстане. – Бишкек: Илим, 1995. – С.83–86.
- Турбатова А.О., Криворучко В.П. Жароустойчивость роз в условиях открытого и защищенного грунта в Чуйской долине // Интродукция и акклиматизация растений в Киргизстане. – Бишкек: Илим, 1999.
- Ахматов К.А. Адаптация древесных растений к засухе. – Фрунзе: Илим, 1976. – 198 с.
- Потоцкая Ю.С., Джакипова Д.У. Розы в городских посадках // Интродукция и акклиматизация растений в Киргизстане. – Бишкек: Илим, 1995. – С.38–42.

УДК 598.20(575.2-17)(04)

Население птиц берегов горных рек северного макросклона Киргизского Ала-Тоо

Э.ДАВРАНОВ – мл. науч. сотр.,
В.Н.КАТАЕВСКИЙ – ст. науч. сотр.,
С.П.ЦОПОВ – мл. науч. сотр. Биологический институт НАН КР.

Горные реки отличаются быстрым течением и относительно небольшой шириной. Береговой субстрат состоит преимущественно из речного песка, гальки и каменных отложений. Видовой состав птиц горных рек находится в прямой связи с быстротой их течения. Небольшие болота и сизные места, примыкающие к горным рекам, могут привлечь сюда типичных водно-болотных птиц, например, пластинчато-

головастых, голенастых, куликов и др. Чаще всего эти виды характерны для долины. Таких участков в районе исследования довольно много. Показатели количества птиц горных рек рассчитывали на 10 км береговой линии. Для описания вариантов населения птиц использовали балльную оценку обилия, предложенную А.П. Кузякиным [1]. Материалы по плотности населения птиц обработали вариаци-

Многочисленные виды регистрируются только весной и летом (табл.1). Обычных видов зимой меньше, в теплые периоды года больше, малочисленные виды встречаются в малом количестве весной и летом, а осенью их несколько больше. Доминируют горные виды. Количество водно-болотных птиц увеличивается в период осенних миграций. Луго-кустарниковые птицы встречаются с весны до осени в малом количестве. Плотность населения птиц достигает наибольшего показателя только летом за счет гнездящихся видов. Летний показатель плотности населения в три раза больше, чем зимний.

Зимой и осенью доминируют оседлые виды. Весенние доминанты – оседлые и гнездящиеся виды: обыкновенная и бурая оляпки, горная и маскированная трясогузки. Летом по численности превосходят гнездящиеся виды: перевозчик, горная и маскированная трясогузки, что свидетельствует о полной смене доминантов на перелетных птиц в летний период.

По берегам среднегорных рек зарегистрированы 11 видов птиц: обыкновенная и бурая оляпки, бекас-отшельник, белая, маскированная горная и желтоголовая трясогузки, перевозчик, синяя птица, бекас, чирок-трескунок и др. По характеру пребывания они делятся на оседлые – 2, гнездящие – 5, зимующие – 1

Список видов птиц среднегорных рек по сезонам

ЗИМА	ВЕСНА	ЛЕТО	ОСЕНЬ
Об.оляпка	Об.оляпка	Об.оляпка	Об.оляпка
Бур.оляпка	Бур.оляпка	Бур.оляпка	Бур.оляпка
Бекас-отшельник	Бекас-отшельник		
Горн.трясогузка	Горн.трясогузка	Горн.трясогузка	
Маскир.трясогузка	Маскир.трясогузка		
Перевозчик	Перевозчик	Перевозчик	
Малый зуек			
Синяя птица	Синяя птица	Синяя птица	
	Желтогол.трясогузка		
		Чирок-свистунок	
		Белая трясогузка	
		Бекас	

Таблица 2

Динамика плотности населения, общего числа и категорий видов, экологических групп птиц среднегорных рек по сезонам

	ЗИМА	ВЕСНА	ЛЕТО	ОСЕНЬ
Плотность населения ($\text{ос}/\text{км}^2$)	10 ± 1	27 ± 3	40 ± 8	15 ± 1
Общее число видов	3	7	7	8
Категории видов птиц				
Многочисленные	-	1	2	-
Обычные	3	4	4	4
Малочисленные	-	2	1	4
Экологические группы птиц				
Горные	3	5	4	5
Луго-кустарниковые	-	1	2	-
Водно-болотные	-	1	1	3

и пролетные – 3. По экологическим группам распределяются следующим образом: горные – 5, водно-болотные – 3 и луго-кустарниковые – 3.

Зимой видовое разнообразие меньше, начиная с весны, оно резко увеличивается за счет гнездящихся и пролетных видов (см. Список видов птиц среднегорных рек).

Количество видов в теплые периоды года практически не изменяется.

Наибольший показатель плотности населения отмечен летом, наименьший – зимой (табл.2). Многочисленные виды зафиксированы только весной и летом. Обычных видов зимой меньше, в другие сезоны года несколько больше. Малочисленные виды встречаются в теплые времена года. Доминируют по экологическим группам горные виды, другие птицы представлены в малом количестве.

Зимой и осенью, как правило, господствуют оседлые виды. Весной и летом по численности доминируют гнездящиеся и оседлые виды: горная и маскированная трясогузки, обыкновенная и бурая оляпки, перевозчик. Следовательно, в среднегорных реках в летний период не происходит полной смены доминантов на перелетных видов птиц, ядро населения летом не меняется.

Зимой на обледеневших берегах высокогорных рек отмечены только обыкновенная и бурая оляпки (см. Список видов птиц высокогорных рек). Весной, кроме оляпок, здесь встречаются маскированная и горная трясогузки, летом, помимо перечисленных видов, – перевозчик и синяя птица (в нижней части высокогорных рек). Осенью перелетные виды отсутствуют, за исключением горной трясогузки, добавляются кочующий-зимующий вид – горный дупель и пролетные птицы.

Летом только горная трясогузка является многочисленным видом. Обычные виды больше встречаются в теплое время года, малочисленные – только летом и осенью (табл.3).

Доминируют по экологическим группам горные виды птиц. Представители других групп встречаются

редко. Очень низка зимняя плотность населения, летний показатель плотности в 5 раза больше, чем зимний. Общее число видов максимально летом и осенью.

Зимой доминируют оседлые виды, весной и летом – оседлые (обыкновенная и бурая оляпки) и гнездящиеся (горная и маскированная трясогузки). Осенние доминанты – оседлые и пролетные виды птиц.

Таким образом, видовой состав берегов горных рек по сезонам года почти не имеет различий, лишь во время миграций количество птиц несколько увеличивается. Плотность населения – больше по берегам предгорных и среднегорных рек. По берегам горных рек доминируют обычные виды, что доказывает бедность данного биотопа. Многочисленные виды появляются весной и летом, в основном по берегам предгорных и среднегорных рек. Преобладают горные и луго-кустарниковые виды птиц, а осенью в предгорных реках – водно-болотные. Зимой по берегам всех горных рек превалируют по численности оседлые виды птиц, весной и осенью – оседлые и гнездящиеся виды. Летом полная смена доминантов на перелетные виды происходит только в предгорных реках.

Список видов птиц высокогорных рек по сезонам

ЗИМА	ВЕСНА	ЛЕТО	ОСЕНЬ
Об.оляпка	Об.оляпка	Об.оляпка	Об.оляпка
Бур.оляпка	Бур.оляпка	Бур.оляпка	Бур.оляпка
Горн.трясогузка	Горн.трясогузка	Горн.трясогузка	Горн.трясогузка
Маскир.трясогузка	Маскир.трясогузка	Маскир.трясогузка	Маскир.трясогузка
Перевозчик	Перевозчик	Перевозчик	Перевозчик
Синяя птица	Синяя птица	Синяя птица	Синяя птица
	Чирок-свистунок		Чирок-свистунок
	Белая трясогузка		Белая трясогузка
	Бекас		Бекас

Таблица 3
Динамика плотности населения, общего числа и категорий видов и экологических групп птиц высокогорных рек по сезонам

	ЗИМА	ВЕСНА	ЛЕТО	ОСЕНЬ
Плотность населения ($\text{ос}/\text{км}^2$)	7 ± 1	14 ± 3	37 ± 6	15 ± 3
Общее число видов	2	4	6	6
Категории видов птиц				
Многочисленные	-	-	1	-
Обычные	2	4	3	4
Малочисленные	-	-	2	2
Экологические группы птиц				
Горные	2	3	4	2
Луго-кустарниковые	-	1	1	-
Водно-болотные	-	-	1	4

Литература

- Кузякин А.П. Зоогеография СССР // Учен. зап. Моск. обл. пед. ин-та им. Н.К.Крупской. 1962. – Т. С IX. – 182 с.
- Ивантер Э.В. Основы практической биометрии. – Петрозаводск: Карелия, 1979. – С.92.
- Кузнецов А.А. Авиафауна Киргизского хребта и ее структура: Автoref. дисс. канд. биол. наук. – Фрунзе: Илим, 1964. – 21с.

УДК 598.113.7 (575.2) (04)

**Внутривидовые отношения гекконов
Cyrtopodion russowi (Strauch)
и таксономическое положение популяции Тянь-Шаня
(Sauria : Gekkonidae)**

В. К. ЕРЕМЧЕНКО, Е. И. ЦАРИНЕНКО И А. М. ПАНФИЛОВ –
Зоологический музей Биологического института НАН КР.

Вопрос внутривидовой систематики серого геккона – *Cyrtopodion russowi* (Strauch, 1887) впервые затронут В. Н. Шнитниковым [1]. Оценив сложность подбора признаков при сравнении гекконов Семиречья, Тянь-Шаня (=Минкуш) и равнинного Турана (8 выборок), он акцентировал свое внимание на пропорциях тела и характере окраски этих ящериц. С учетом указанных особенностей из Семиречья (Копала) описан саксауловый геккон – *Gymnodactylus russowi* kopalensis Schmitnikov, 1928, валидность которого была поставлена под сомнение [2], затем формально признана [3], а позднее [4–6] отклонена.

Синонимизирована с "russowi" и восточноiranская (Систанская) форма "zarudnyi" [7], описанная ранее как отдельный вид [8]. Впоследствии ей придан статус подвида в объеме "russowi" [4], однако вскоре это решение было отвергнуто и высказана убежденность в монотипичности "russowi" [5]. В итоге авторы [6] пришли к первоначальному мнению [4], определив объем серого геккона в составе двух подвидов – номинативного и "zarudnyi".

Обсуждалось и не нашедшее подтверждение предположение о существовании особой формы серого геккона в Ферганской долине, а популяции Тянь-Шаня безоговорочно отнесены к номинативному подвиду, хотя их изменчивость не изучалась [4–6].

Последнее обстоятельство, наряду с особенностями распространения гекконов Тянь-Шаня (высокогорность, изолированное положение) [9, 10], определили наш интерес к вопросу их таксономического положения и оценке известного предположения [1, 11] о миграционном (ферганском) происхождении этой популяции.

- Шукуров Э.Дж., Воробьев Г.Г., Касыбеков Э.Ш. и др. Население наземных позвоночных Северного Киргизстана. – Бишкек: Илим, 1991. – С.79.
- Касыбеков Э.Ш. Птицы Восточной части Иссыккульской котловины: Автореф. дисс. канд.биол. наук. – Новосибирск, 1990. – 23 с.

Киргизия: R002700, место и дата те же, что и у голотипа; R002957, Ак-Талинский район, окр. с. Жаны-Тилек, 7.06.1988; R003451, ROO3452, ROO3151, ROO5089, R005090, окр. с. Угют, кол. В.К.Еремченко, 05.1983; R003097 – R003100, устье р. Алабуга, 3.06.1984, колл. В.К.Еремченко, Н.Н.Щербак; R004454, R004521 – R004523, по дороге с. Баево – Кош-Дубе (39 км северо-восточнее), 22.05.1990, колл. Е.И.Цариненко; R005134, R005135, окр. с. Ак-Талаа, 12.08.1990, колл. В.К.Еремченко и Е.И.Цариненко.

Узбекистан: R004520, Средненарынская долина, с. Ак-Балык, 12.08.1990, колл. В.К.Еремченко и Е.И.Цариненко; R006027, Ферганская долина, Узбекистан, окр. г. Пап, 7.07.1990, колл. В.К.Еремченко и Е.И.Цариненко; R006028, Ферганская долина, Узбекистан, окр. г. Пап, 7.07.1990, колл. В.К.Еремченко и Е.И.Цариненко; R006029, Ферганская долина, Узбекистан, окр. г. Пап, 7.07.1990, колл. В.К.Еремченко и Е.И.Цариненко; R006030, Ферганская долина, Узбекистан, окр. г. Пап, 7.07.1990, колл. В.К.Еремченко и Е.И.Цариненко; R006031, Ферганская долина, Узбекистан, окр. г. Пап, 7.07.1990, колл. В.К.Еремченко и Е.И.Цариненко; R006032, Ферганская долина, Узбекистан, окр. г. Пап, 7.07.1990, колл. В.К.Еремченко и Е.И.Цариненко; R006033, Ферганская долина, Узбекистан, окр. г. Пап, 7.07.1990, колл. В.К.Еремченко и Е.И.Цариненко; R006034, Ферганская долина, Узбекистан, окр. г. Пап, 7.07.1990, колл. В.К.Еремченко и Е.И.Цариненко; R006035, Ферганская долина, Узбекистан, окр. г. Пап, 7.07.1990, колл. В.К.Еремченко и Е.И.Цариненко; R006036, Ферганская долина, Узбекистан, окр. г. Пап, 7.07.1990, колл. В.К.Еремченко и Е.И.Цариненко; R006037, Ферганская долина, Узбекистан, окр. г. Пап, 7.07.1990, колл. В.К.Еремченко и Е.И.Цариненко; R006038, Ферганская долина, Узбекистан, окр. г. Пап, 7.07.1990, колл. В.К.Еремченко и Е.И.Цариненко; R006039, Ферганская долина, Узбекистан, окр. г. Пап, 7.07.1990, колл. В.К.Еремченко и Е.И.Цариненко; R006040, Ферганская долина, Узбекистан, окр. г. Пап, 7.07.1990, колл. В.К.Еремченко и Е.И.Цариненко; R006041, Ферганская долина, Узбекистан, окр. г. Пап, 7.07.1990, колл. В.К.Еремченко и Е.И.Цариненко; R006042, Ферганская долина, Узбекистан, окр. г. Пап, 7.07.1990, колл. В.К.Еремченко и Е.И.Цариненко; R006043, Ферганская долина, Узбекистан, окр. г. Пап, 7.07.1990, колл. В.К.Еремченко и Е.И.Цариненко; R006044, Ферганская долина, Узбекистан, окр. г. Пап, 7.07.1990, колл. В.К.Еремченко и Е.И.Цариненко; R006045, Ферганская долина, Узбекистан, окр. г. Пап, 7.07.1990, колл. В.К.Еремченко и Е.И.Цариненко; R006046, Ферганская долина, Узбекистан, окр. г. Пап, 7.07.1990, колл. В.К.Еремченко и Е.И.Цариненко; R006047, Ферганская долина, Узбекистан, окр. г. Пап, 7.07.1990, колл. В.К.Еремченко и Е.И.Цариненко; R006048, Ферганская долина, Узбекистан, окр. г. Пап, 7.07.1990, колл. В.К.Еремченко и Е.И.Цариненко; R006049, Ферганская долина, Узбекистан, окр. г. Пап, 7.07.1990, колл. В.К.Еремченко и Е.И.Цариненко; R006050, Ферганская долина, Узбекистан, окр. г. Пап, 7.07.1990, колл. В.К.Еремченко и Е.И.Цариненко; R006051, Ферганская долина, Узбекистан, окр. г. Пап, 7.07.1990, колл. В.К.Еремченко и Е.И.Цариненко; R006052, Ферганская долина, Узбекистан, окр. г. Пап, 7.07.1990, колл. В.К.Еремченко и Е.И.Цариненко; R006053, Ферганская долина, Узбекистан, окр. г. Пап, 7.07.1990, колл. В.К.Еремченко и Е.И.Цариненко; R006054, Ферганская долина, Узбекистан, окр. г. Пап, 7.07.1990, колл. В.К.Еремченко и Е.И.Цариненко; R006055, Ферганская долина, Узбекистан, окр. г. Пап, 7.07.1990, колл. В.К.Еремченко и Е.И.Цариненко; R006056, Ферганская долина, Узбекистан, окр. г. Пап, 7.07.1990, колл. В.К.Еремченко и Е.И.Цариненко; R006057, Ферганская долина, Узбекистан, окр. г. Пап, 7.07.1990, колл. В.К.Еремченко и Е.И.Цариненко; R006058, Ферганская долина, Узбекистан, окр. г. Пап, 7.07.1990, колл. В.К.Еремченко и Е.И.Цариненко; R006059, Ферганская долина, Узбекистан, окр. г. Пап, 7.07.1990, колл. В.К.Еремченко и Е.И.Цариненко; R006060, Ферганская долина, Узбекистан, окр. г. Пап, 7.07.1990, колл. В.К.Еремченко и Е.И.Цариненко; R006061, Ферганская долина, Узбекистан, окр. г. Пап, 7.07.1990, колл. В.К.Еремченко и Е.И.Цариненко; R006062, Ферганская долина, Узбекистан, окр. г. Пап, 7.07.1990, колл. В.К.Еремченко и Е.И.Цариненко; R006063, Ферганская долина, Узбекистан, окр. г. Пап, 7.07.1990, колл. В.К.Еремченко и Е.И.Цариненко; R006064, Ферганская долина, Узбекистан, окр. г. Пап, 7.07.1990, колл. В.К.Еремченко и Е.И.Цариненко; R006065, Ферганская долина, Узбекистан, окр. г. Пап, 7.07.1990, колл. В.К.Еремченко и Е.И.Цариненко; R006066, Ферганская долина, Узбекистан, окр. г. Пап, 7.07.1990, колл. В.К.Еремченко и Е.И.Цариненко; R006067, Ферганская долина, Узбекистан, окр. г. Пап, 7.07.1990, колл. В.К.Еремченко и Е.И.Цариненко; R006068, Ферганская долина, Узбекистан, окр. г. Пап, 7.07.1990, колл. В.К.Еремченко и Е.И.Цариненко; R006069, Ферганская долина, Узбекистан, окр. г. Пап, 7.07.1990, колл. В.К.Еремченко и Е.И.Цариненко; R006070, Ферганская долина, Узбекистан, окр. г. Пап, 7.07.1990, колл. В.К.Еремченко и Е.И.Цариненко; R006071, Ферганская долина, Узбекистан, окр. г. Пап, 7.07.1990, колл. В.К.Еремченко и Е.И.Цариненко; R006072, Ферганская долина, Узбекистан, окр. г. Пап, 7.07.1990, колл. В.К.Еремченко и Е.И.Цариненко; R006073, Ферганская долина, Узбекистан, окр. г. Пап, 7.07.1990, колл. В.К.Еремченко и Е.И.Цариненко; R006074, Ферганская долина, Узбекистан, окр. г. Пап, 7.07.1990, колл. В.К.Еремченко и Е.И.Цариненко; R006075, Ферганская долина, Узбекистан, окр. г. Пап, 7.07.1990, колл. В.К.Еремченко и Е.И.Цариненко; R006076, Ферганская долина, Узбекистан, окр. г. Пап, 7.07.1990, колл. В.К.Еремченко и Е.И.Цариненко; R006077, Ферганская долина, Узбекистан, окр. г. Пап, 7.07.1990, колл. В.К.Еремченко и Е.И.Цариненко; R006078, Ферганская долина, Узбекистан, окр. г. Пап, 7.07.1990, колл. В.К.Еремченко и Е.И.Цариненко; R006079, Ферганская долина, Узбекистан, окр. г. Пап, 7.07.1990, колл. В.К.Еремченко и Е.И.Цариненко; R006080, Ферганская долина, Узбекистан, окр. г. Пап, 7.07.1990, колл. В.К.Еремченко и Е.И.Цариненко; R006081, Ферганская долина, Узбекистан, окр. г. Пап, 7.07.1990, колл. В.К.Еремченко и Е.И.Цариненко; R006082, Ферганская долина, Узбекистан, окр. г. Пап, 7.07.1990, колл. В.К.Еремченко и Е.И.Цариненко; R006083, Ферганская долина, Узбекистан, окр. г. Пап, 7.07.1990, колл. В.К.Еремченко и Е.И.Цариненко; R006084, Ферганская долина, Узбекистан, окр. г. Пап, 7.07.1990, колл. В.К.Еремченко и Е.И.Цариненко; R006085, Ферганская долина, Узбекистан, окр. г. Пап, 7.07.1990, колл. В.К.Еремченко и Е.И.Цариненко; R006086, Ферганская долина, Узбекистан, окр. г. Пап, 7.07.1990, колл. В.К.Еремченко и Е.И.Цариненко; R006087, Ферганская долина, Узбекистан, окр. г. Пап, 7.07.1990, колл. В.К.Еремченко и Е.И.Цариненко; R006088, Ферганская долина, Узбекистан, окр. г. Пап, 7.07.1990, колл. В.К.Еремченко и Е.И.Цариненко; R006089, Ферганская долина, Узбекистан, окр. г. Пап, 7.07.1990, колл. В.К.Еремченко и Е.И.Цариненко; R006090, Ферганская долина, Узбекистан, окр. г. Пап, 7.07.1990, колл. В.К.Еремченко и Е.И.Цариненко; R006091, Ферганская долина, Узбекистан, окр. г. Пап, 7.07.1990, колл. В.К.Еремченко и Е.И.Цариненко; R006092, Ферганская долина, Узбекистан, окр. г. Пап, 7.07.1990, колл. В.К.Еремченко и Е.И.Цариненко; R006093, Ферганская долина, Узбекистан, окр. г. Пап, 7.07.1990, колл. В.К.Еремченко и Е.И.Цариненко; R006094, Ферганская долина, Узбекистан, окр. г. Пап, 7.07.1990, колл. В.К.Еремченко и Е.И.Цариненко; R006095, Ферганская долина, Узбекистан, окр. г. Пап, 7.07.1990, колл. В.К.Еремченко и Е.И.Цариненко; R006096, Ферганская долина, Узбекистан, окр. г. Пап, 7.07.1990, колл. В.К.Еремченко и Е.И.Цариненко; R006097, Ферганская долина, Узбекистан, окр. г. Пап, 7.07.1990, колл. В.К.Еремченко и Е.И.Цариненко; R006098, Ферганская долина, Узбекистан, окр. г. Пап, 7.07.1990, колл. В.К.Еремченко и Е.И.Цариненко; R006099, Ферганская долина, Узбекистан, окр. г. Пап, 7.07.1990, колл. В.К.Еремченко и Е.И.Цариненко; R006100, Ферганская долина, Узбекистан, окр. г. Пап, 7.07.1990, колл. В.К.Еремченко и Е.И.Цариненко; R006101, Ферганская долина, Узбекистан, окр. г. Пап, 7.07.1990, колл. В.К.Еремченко и Е.И.Цариненко; R006102, Ферганская долина, Узбекистан, окр. г. Пап, 7.07.1990, колл. В.К.Еремченко и Е.И.Цариненко; R006103, Ферганская долина, Узбекистан, окр. г. Пап, 7.07.1990, колл. В.К.Еремченко и Е.И.Цариненко; R006104, Ферганская долина, Узбекистан, окр. г. Пап, 7.07.1990, колл. В.К.Еремченко и Е.И.Цариненко; R006105, Ферганская долина, Узбекистан, окр. г. Пап, 7.07.1990, колл. В.К.Еремченко и Е.И.Цариненко; R006106, Ферганская долина, Узбекистан, окр. г. Пап, 7.07.1990, колл. В.К.Еремченко и Е.И.Цариненко; R006107, Ферганская долина, Узбекистан, окр. г. Пап, 7.07.1990, колл. В.К.Еремченко и Е.И.Цариненко; R006108, Ферганская долина, Узбекистан, окр. г. Пап, 7.07.1990, колл. В.К.Еремченко и Е.И.Цариненко; R006109, Ферганская долина, Узбекистан, окр. г. Пап, 7.07.1990, колл. В.К.Еремченко и Е.И.Цариненко; R006110, Ферганская долина, Узбекистан, окр. г. Пап, 7.07.1990, колл. В.К.Еремченко и Е.И.Цариненко; R006111, Ферганская долина, Узбекистан, окр. г. Пап, 7.07.1990, колл. В.К.Еремченко и Е.И.Цариненко; R006112, Ферганская долина, Узбекистан, окр. г. Пап, 7.07.1990, колл. В.К.Еремченко и Е.И.Цариненко; R006113, Ферганская долина, Узбекистан, окр. г. Пап, 7.07.1990, колл. В.К.Еремченко и Е.И.Цариненко; R006114, Ферганская долина, Узбекистан, окр. г. Пап, 7.07.1990, колл. В.К.Еремченко и Е.И.Цариненко; R006115, Ферганская долина, Узбекистан, окр. г. Пап, 7.07.1990, колл. В.К.Еремченко и Е.И.Цариненко; R006116, Ферганская долина, Узбекистан, окр. г. Пап, 7.07.1990, колл. В.К.Еремченко и Е.И.Цариненко; R006117, Ферганская долина, Узбекистан, окр. г. Пап, 7.07.1990, колл. В.К.Еремченко и Е.И.Цариненко; R006118, Ферганская долина, Узбекистан, окр. г. Пап, 7.07.1990, колл. В.К.Еремченко и Е.И.Цариненко; R006119, Ферганская долина, Узбекистан, окр. г. Пап, 7.07.1990, колл. В.К.Еремченко и Е.И.Цариненко; R006120, Ферганская долина, Узбекистан, окр. г. Пап, 7.07.1990, колл. В.К.Еремченко и Е.И.Цариненко; R006121, Ферганская долина, Узбекистан, окр. г. Пап, 7.07.1990, колл. В.К.Еремченко и Е.И.Цариненко; R006122, Ферганская долина, Узбекистан, окр. г. Пап, 7.07.1990,

Диагноз. На дорзальной поверхности тела пониженное число увеличенных слаборебристых щитков: 3 продольных ряда на шее и не более 10, обычно 8 (82%) на спине. В париетальной области и затылке не более 30 (18.5) увеличенных щитков. Первая пара носовых щитков заметно крупнее соседних и обычно разделена одной чешуйкой (94%), реже они соприкасаются между собой.

Кариотип. $2n = 44(8A + 2sT + 2sT + 2A + 2sT + 2A + 2V + 2A + 2V + 20A_1)$. Два активных NORs расположены в p(t)-позиции субтелоцентрических хромосом V пары – локусах 5p(t).

Описание голотипа. $L = 49$ мм. $Lcd = 69$ мм. $L / Lcd = 0.71$. Lab. – 10 / 10, Sublab. – 8 / 8. Между центрами глаз 16 чешуй. Ventr. – 119. Чешуй поперек середины брюха – 27. Подпальцевых пластинок на 4-м пальце задних ног – 23/23. Преанальных пор – 4. По 3 носовых щитка; первые в два раза крупнее окружающих и разделены одной чешуйкой. На шее 3 продольных ряда увеличенных чешуй (бугров), в

середине спины – 9. Дополнительные спинные бугорки имеются. На голове 12 увеличенных плоских чешуй. Подбородочный щиток пятиугольный. Нижнечелюстных две пары, первая соприкасается между собой. Между 4 и 5 верхнегубными щитками и нижнечелюстным первого ряда правой стороны имеется дополнительный щиток, а слева – он присутствует между 4–5 и 5–6 нижнечелюстным. Подхвостовые щитки на одном сегменте представлены в сочетании 1/2, примерно до половины длины хвоста, а далее до конца – они парные.

Окраска. Рис. 1 (после фиксации в спирте): сверху светло-серая, рисунок редуцирован и представлен отдельными фрагментами в виде узких зигзагообразных полос, расположенные между ними участки (чешуй) лишены пигментации. Нижняя часть тела беловато-серая.

Изменчивость параптилов и их сравнение с номинативной формой и ближайшими популяциями показаны в таблице.

Сравнение некоторых морфологических характеристик *C. narynensis* sp. nov. и *C. russowi*

Признак	<i>C. russowi</i>		<i>C. narynensis</i> sp. nov.	<i>C. russowi</i>
	Ферганская долина	Кетмень-Тюбинская котловина	Средний Нарын – Ала-Буга	Н.Н.Цербак, М.Л.Голубев [6]
1	2	3	4	5
Количество увеличенных щитков в париетальной и затылочной части головы	81 21–61 45.86+0.72	26 14–33 22.54+0.93	17 10–29 18.47+1.25	
Количество продольных рядов увеличенных щитков, % на шее	n = 81	n = 26	n = 17	
3	1.2	23.0	100	
4	2.5	34.6	–	
5	96.3	42.4	–	
на спине				
7	–	23.1	–	
8	3.8	38.5	82.4	
9	8.7	26.9	5.9	
10	23.8	11.5	11.7	
11	28.7	–	–	
12	28.8	–	–	
13	5.0	–	–	
14	1.2	–	–	
Количество чешуй между первой парой носовых щитков, %				
1	26.0	38.5	94.1	22.3
2	69.0	53.8	–	65.0
3	5.0	–	–	12.7
0 (соприкасаются)	–	7.7	5.9	–

	1	2	3	4	5	Продолжение
Labialia		162. 8–12 9.81+0.05	50 9–11 9.6+0.08	34 9–11 9.71+0.11	568 8–11 9.78+0.03	
Sublabialia		162 7–10 8.34+0.005	52 7–10 8.71+0.32	34 7–10 7.97+0.11	570 6–10 7.89+0.03	
Ventralia		76 103–130 113.7+0.68	21 101–124 109+1.36	17 97–126 113.76+1.6	204 100–130 114.99+0.44	
Sq ventr. transversales		79 20–32 26.18+0.32	21 23–31 26.9+0.53	16 17–28 24.63+0.81	198 25–34 29.09+0.14	
Sq or.		81 15–22 18.44+0.19	26 16–20 17.42+0.22	17 16–20 17.71+0.23	200 15–24 18.36+0.1	
Pori preanale		41 2–6 4.24+0.15	8 4–5 4.38+0.17	8 4–6 4.75+0.29	119 2–6 3.16+0.09	
Sq на 4-м пальцем задней ноги		159 16–22 19.38+0.11	52 18–23 20.21+0.16	33 18–23 21.39+0.25	554 15–24 19.67+0.07	
L – длина туловища с головой : самцы		30 36.7–50.0 42.7+0.56	8 43.3–50.2 47.29+0.96	8 47.8–52.0 49.66+0.57	104 25.1–49.6 39.73+0.54	
самки		31 36–54.8 46.69+0.78	14 37.5–56.0 49.49+1.3	9 37.0–54.8 47.2+1.9	112 25.5–53.2 42.0+0.61	

Lcd не сравнивалась, так как у параптилов они в большинстве случаев регенерированы или повреждены.

Распространение. Населяет межгорную долину Среднего Нарына и Алабуги на высоте 1000–2000 м. над ур.м., примерно от г. Нарын на востоке и с. Кош-Дубе – на западе; симпатричен, а в ряде пунктов симбиотичен с *Alsophylax tokobajevi*. В районе Кетмень-Тюбинской впадины симпатричен с *C. russowi* (рис. 3, 4).

Сравнительные замечания. Для *C. narynensis* характерна слабо развитая бугорчатость дорзальной поверхности тела. У гекконов *C. russowi*, напротив, образование чешуй-бугров имеет тенденцию к полиморфии – апоморфности (рис. 1). Для последних и, в частности, гекконов Ферганской популяции характерно 5 (96.3 %) продольных рядов увеличенных чешуй на шее и 8–14 (в среднем 10.9), а чаще 10–12 (10–23.8 %, 11–28.7 %, 12–28.8 %) – на спине и 29–61 (45.9) увеличенных чешуй на голове. У *C.*

narynensis соответственно – 3 (100%), 8–10 (8.3), чаще 8 (82.4%), 10–29 (18.5). У последних первая пара носовых щитков обычно разделена одной чешуйкой (94%), в то время как у *C. russowi* эта особенность встречена только у 26.0% особей в ферганской популяции и 22.3% – для номинативного подвида, а также формы “zarudnyi” и в целом для вида [6]. Для них, как и гекконов ферганской популяции, более характерно присутствие между первой парой носовых щитков двух чешуй: 65.0% у первых и 69.0% – у вторых (таблица). Кроме того, у гекконов *C. narynensis* отмечена тенденция к увеличению размеров первой пары носовых щитков, тогда как у *C. russowi*, в частности, ферганской популяции, других изученных особей Узбекистана и Казахстана (рис. 3), эти щитки слабо дифференцированы и по размеру почти не отличаются от окружающих.

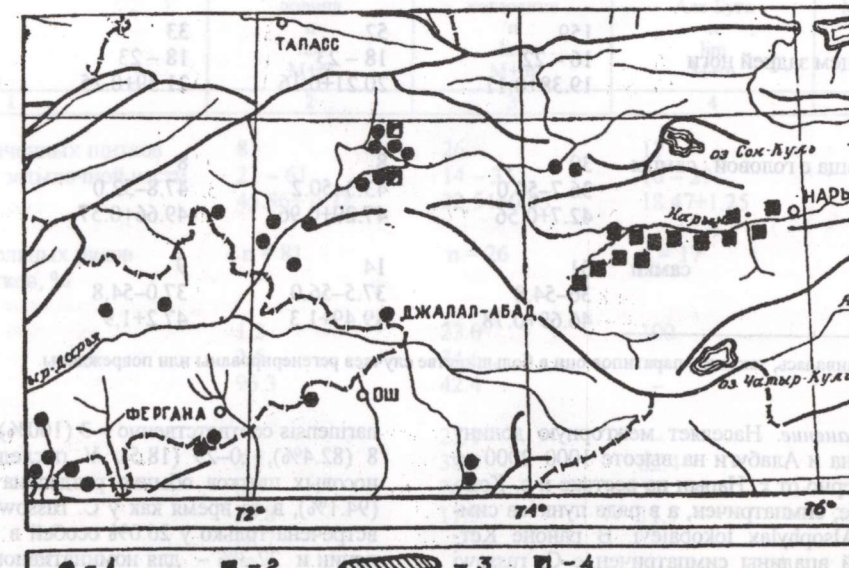
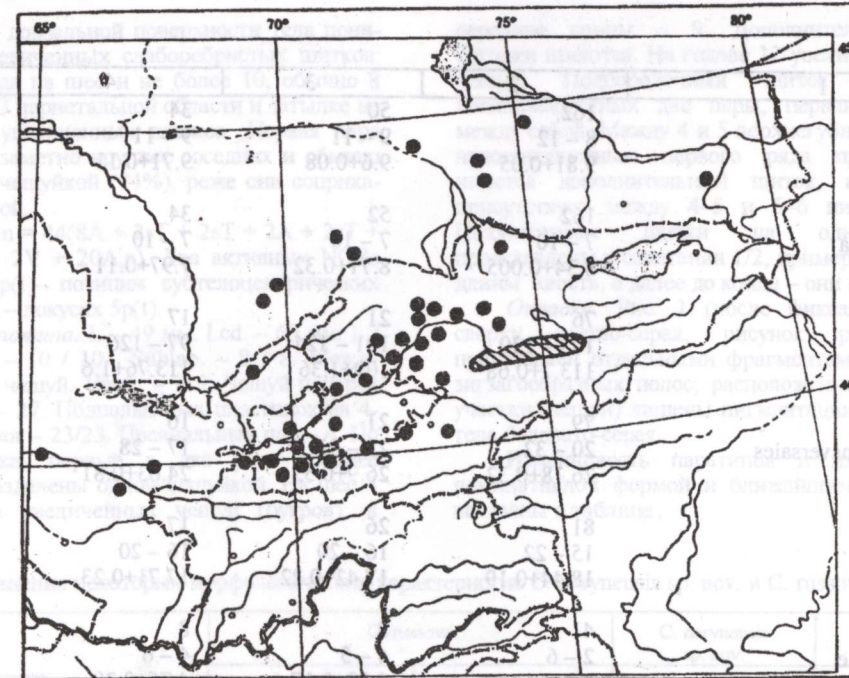


Рис. 3. Локалитеты изученных гекконов: 1 – *Cyrtopodion russowi* (Str); 2 – *Cyrtopodion narynensis* sp. nov.; 3 – ареал *C. narynensis* sp. nov.; 4 – гибриды *C. russowi* (Str) x *C. narynensis* sp. nov.

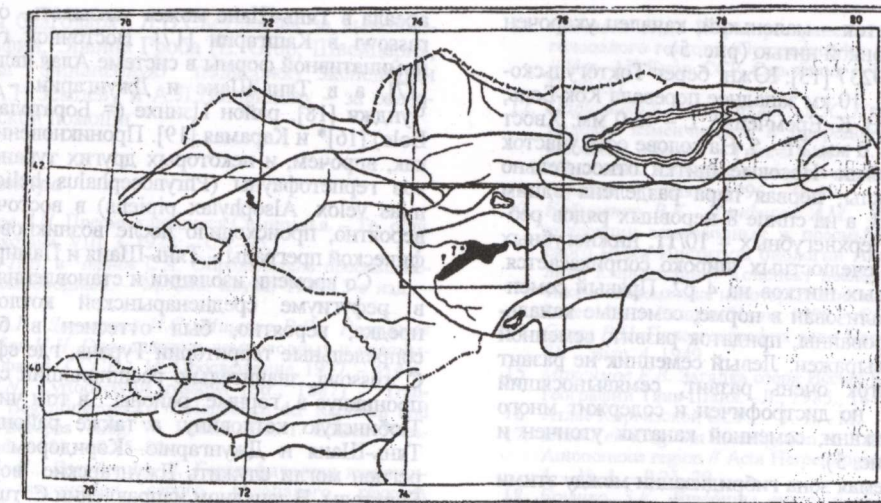


Рис. 4. Симпатрия ареалов *Cyrtopodion narynensis* sp. nov., *Alsophylax* (Alsophylax) *tokabajevi* Eremchenko et Szczerbak, 1984, и *Altiphylax* (Altiphylax) *tokabajevi* Eremchenko et Szczerbak, 1984.

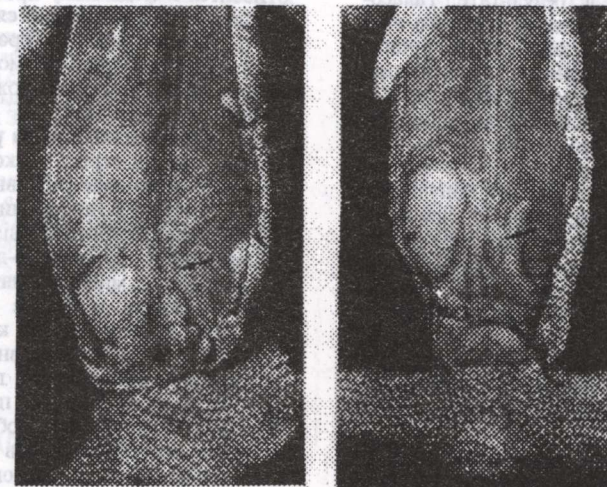


Рис. 5. Аномалии развития гонад у гибридных особей: R004901 (слева) – стрелкой указан маленький придаток с коротким семенным канальцем; R000237 (справа) – стрелкой указан неразвитый левый семенник.

Внимание обращает популяция *C. russowi* Кетмень-Тюбинской котловины. Некоторые факты, полученные при изучении репродуктивной биологии гекконов, указывают на существование здесь зоны межвидовой гибридизации. Наиболее значимым является присутствие самцов с аномальным развитием гонад. Гибриды – два, из четырех изученных, полновозрелых самцов двух выборок (24 экз.) – в разные годы обнаружены по обеим сторонам Токтогульского водохранилища (рис. 3). В этих локалитетах (скалистые склоны и глинистые обрывы холмов) отмечена одинаково низкая численность гекконов: 3–5 особей за один час экскурсии.

1. ЗМБ R004901: окр. с. Арал у входа в ул. Чичкан, 5.05.1993, колл. В.К. Еремченко,

А.М. Панфилов, Е.И. Цариненко, L – 50.0 мм. Хвост поврежден. Ga – 40.0 мм. Pf – 5. Участок верхней части головы с “полем” плоских чешуй. Носовые щитки не выпуклы и относительно мелкие; между первой парой вклиниваются 2 малых щитка (один очень узко касается межчелюстного). На шее – 5, а на спине – 11 неровных рядов ребристых щитков. Верхнегубных – 11/10, нижнегубных – 8/8. Пара нижнечелюстных разделена 1 и 2 мелкими щитками. Правый семенник недоразвит (3 × 4 мм.) и смешен, семенные канальцы ductuli efferentes структурированы, но не развиты; придаток развит, семенной канатик ductus (vas) deferens хорошо выражен. Левый семенник отсутствует, зачаток не просматривается; придаток укорочен, семенной канатик утолщен и деформирован.

Собственно придаток – маленький, каналец укорочен и заканчивается тонкой нитью (рис. 5).

2. ЗМБ R000237 [13]: Южн. берег Токтогульского водохранилища, 10 км западнее перевала Кок-Бель, 19.04.1988, колл. В. К. Еремченко. L – 46,0 мм. Хвост поврежден. Ga 37,0 мм. Pf – 5. На голове есть участок с плоскими чешуями. Носовые щитки относительно крупные и выпуклы; первая пара разделена одним щитком. На щее 3, а на спине 8 неровных рядов ребристых щитков. Верхнегубных – 10/11, нижнегубных – 9/8. Пара нижнечелюстных широко соприкасается. 23–22 подглазевых щитков на 4 ряда. Правый семенник развит и локализован в норме; семенные канальцы не структурированы; придаток развит, семенной каналец хорошо выражен. Левый семенник не развит (0,3 мм), придаток очень развит, семявыносящий каналец утолщен, но дистрофичен и содержит много соединительной ткани; семенной канатик утончен и деформирован (рис. 5).

Предполагаемая зона гибридизации между этими видами в районе Кетмень-Тюбинской впадины имеет, вероятно, широкий диапазон, а продолжительность гибридизации соответствует времени образования современного русла Нарына в результате Таласо-Ферганского разлома. Существовавшая до этого времени депрессия в районе Ферганского хребта, в частности, Кугартского прохода (древнее русло Нарына) [14, 15] могла служить коридором обмена генами между популяциями Тянь-Шаня и Ферганы. Однако ни с одной из сторон Ферганского хребта не отмечена столь заметная интродукция признаков, как это наблюдается у гекконов Кетмень-Тюбинской популяции.

Эти особенности изменчивости могли сложиться вследствие существования в "Кугартский" период еще не дифференцированной предковой популяции и, вероятно, более позднего распространения *C. russowi* в Ферганской долине, а затем и его проникновения в Кетмень-Тюбинскую котловину по современному руслу Нарына, т. е. после закрытия Кугартского прохода. Восточной границей *C. russowi* в бассейне Нарына являются речные долины Кокмерена и Минкуша (рис. 3).

Судя по признакам, накопленным гекконами *C. nayunensis*, их изоляция сохраняется и в настоящее время. Очень узкий и протяженный Нарынский каньон, расположенный южнее устья Кокмерена, препятствует дальнейшей экспансии *C. russowi*. Экологическим барьером для его продвижения внутрь Тянь-Шаня являются и современные климатические особенности Средненарынской долины, отличающиеся от таковых Ферганской и Кетмень-Тюбинской котловин более прохладным режимом [16]. Случаи межвидовой гибридизации в Кетмень-Тюбинской котловине могут иметь нерегулярный (сезонный) характер вследствие случайного переноса в этот район части особей *C. nayunensis* водным путем (на плоту). Они могут быть и в результате присутствия в Кетмень-Тюбинской котловине части популяции *C. nayunensis*, распространившейся здесь ранее *C. russowi*.

Происхождение *C. nayunensis*, несомненно, связано с периодом деградации первичного ареала – недавних палеогеографических и тектонических событий в регионе. О периферийном положении этого

ареала в Тянь-Шане может указывать отсутствие *C. russowi* в Кашгарии [17]. Восточной границей его номинативной формы в системе Алая является Гульча [17], а в Тянь-Шане и Джунгарии – окрестности Чунджа [18], район Цзинхе (= Боратола = Bortal = Bole) [16]* и Карамая [19]. Проникновение *C. russowi*, как, впрочем, и некоторых других туранских элементов герпетофауны (*Rhynchosaurus helioscopus*, *Egernias velox*, *Alsophylax pipiens*) в восточный регион, вероятно, происходило после возникновения орографической преграды – Тянь-Шаня и Памиро-Алая**.

Со времени изоляции и становления "nayunensis" в рефугиуме средненарынской котловины ареал предка, вероятно, был отнесен в более низкие сопредельные территории Турана, где сформировался *C. russowi*, значительно расширивший свой ареал и проникнув в горные районы, в том числе Кетмень-Тюбинскую котловину, а также районы Северного Тянь-Шаня и Джунгарии. Коридором в последний регион могли служить Джунгарские ворота и район Боратолы. В западном направлении *C. russowi* распространялся до Каспия (type locality). Проникновение в район Восточного Предкавказья, очевидно, также относится к недавнему времени (в период регрессии Каспия или в результате случайного завоза). Вероятно, в то же время он проник в Северо-Восточный Иран. Гекконы Систана могут быть и частью предковой популяции на южной периферии видового ареала.

Не вдаваясь в анализ родственных отношений и южных границ серого геккона, любопытно отметить недавнее замечание [20], высказанное по поводу родства *C. russowi* с гекконами Южного Тибета (Xizang) – *Tenuidactylus medogensis* и *Cyrtodactylus khasiensis*. К сказанному трудно что-либо добавить, разве что согласиться с мнением автора о большей близости серого геккона к форме "medogensis" и обратить внимание на особенности кариотипов *C. russowi* и *C. nayunensis*, включающих значительно большее, чем у других палеарктических представителей этой группы, число примитивных признаков [12, 21]. Не исключено, что эти же особенности обнаружатся и у вышеупомянутых гекконов Тибета.

Возвращаясь к гекконам Тянь-Шаня, отметим, что из бассейна среднего Нарына ранее уже были описаны эндемичные формы ящериц, в том числе геккона – *Alsophylax (Altiphylax) tokobajevi* [22]. Биogeографически его происхождение было также сопряжено с горообразовательными процессами и последующей изоляцией части предковой популяции от гималайского герпетофаунистического центра [23]. Надо полагать, что с этим же центром связано и происхождение *C. nayunensis* и *C. russowi*. При этом последний представляет элемент Туранской равнинно-пустынной провинции, а *C. nayunensis* – Горно-Азиатской провинции и является эндемиком Тянь-Шаня.

* Указание Джоа Кен-тана [17] о нахождении здесь *Alsophylax spinicauda*, ошибочно.

** Пункт «1. Орто-Токайское водохранилище» [6] ошибочно указан для Кочкорского района Нарынской области. Он относится к Орто-Токайскому водохранилищу Ташкентской области Узбекистана.

Авторы благодарят Д.В. Светлакова за выполнение фотографий, Эрвина Гроба (E. Grob, Швейцария, Цюрих) – за финансовую поддержку экспедиции 1995 г., а А.Н. Земцеву и А.Л. Панфилову – за оказание технической помощи.

Литература

- Шинников В.Н. Пресмыкающиеся Семиречья. – Тр. общ. изуч. Казахстана, VIII, 3, 1928. – С.1–85.
- Терентьев П.В. и Чернов С.А. Определитель пресмыкающихся и земноводных. – М.:Сов. наука, 1949, 3-е изд. – 340 с.
- Банников А.Г., Даревский И.С., Ищенко В.Г., Рустамов А.К., Щербак Н.Н. Определитель земноводных и пресмыкающихся фауны СССР. – М.:Просвещение, 1977. – 414 с.
- Scerba N.N. Cyrtodactylus russowi (Str., 1887) – Transkaspischer Bogengürtelgecko // Handbuch der Reptilien und Amphibien Europas // Hrsg. W. Bohme. Bd. 1. Echsen Wiesbaden : Acad., 1981. – S.75–83.
- Щербак Н. Н., Голубев М. Л. Географическая изменчивость и таксономия серого голопалого геккона (*Gymnodactylus russowi* Str., Gekkonidae, Reptilia) // Физиологическая и популяционная экология. Саратов : Изд-во СГУ, 1983. С. 160 – 162.
- Щербак Н.Н., Голубев М.Л. Гекконы фауны СССР и сопредельных стран. – Киев: Наукова думка, 1986. – 232 с.
- Чернов С.А. Пресмыкающиеся // Fauna Таджикской ССР. Т. 18 (Тр. Ин-та зоологии и паразитологии АН Тадж. ССР. Т. 48). – Сталинабад, 1959. – 203 с.
- Никольский А.М. Пресмыкающиеся, амфибии и рыбы второго путешествия Н.А. Зарудного в Персию в 1898 г. // Ежег. зоол. музея АН, IV (1899), 1900. – С. 375–417. – Табл. XX.
- Яковлева И.Д. Пресмыкающиеся Киргизии. – Фрунзе:Илим, 1964. – 272 с.
- Ерёменко В.К., Щербак Н.Н. Распространение и экология геккончика Токобаева *Alsophylax tokobajevi* Jeriomtschenko et Szczerbak, 1984 (Reptilia, Gekkonidae) // Изв. АН Кирг. ССР, 1985. – №3. – С. 60–63.
- Максимов Е.В. Загадка озера Иссык-Куль // Очерки палеогеографии Тянь-Шаня –Л., 1985, 181 с.
- Атлас Киргизской ССР. – Т. 1. – М., 1987. – 157 с.
- Zhao Ken-tang. An investigation on lizards of Xinjiang Uygur Autonomous region // Acta Herpetologica Sinica. – 1985. – V. 4. – №. 1. – P.25–29.
- Брушко З.К. Ящерицы пустынь Казахстана. – Алматы:Конъкт, 1985. – С. 231.
- Zhao Er-mi and Adler K. Herpetology of China // Contribution to Herpetology, No. 10, Soc. For Study of Amphibians and Reptiles. – Oxford (Oxio).
- Golubev M., Khan M., and Anderson S.C. On the Systematics of Some Palearctic Geckos // Abstracts of the Second Asian Herpet. Meet. – Ashgabad, 1995. – С. 23–24.
- Панфилов А. М., Ерёменко В.К. Локализация активных NORs в кариотипах некоторых видов азиатских гекконов (Sauria : Gekkonidae) // Изв. НАН КР, 1999. – № 2.
- Ерёменко В.К., Щербак Н.Н. Новый вид геккона – *Alsophylax tokobajevi* sp. nov. из Тянь-Шаня (Reptilia, Sauria, Gekkonidae) // Вестн. зоологии, 1984. – №2. – С. 46–50.
- Ерёменко В.К., Панфилов А.М. Таксономическое положение и биogeографические связи *Alsophylax loricatus* Strauch, 1887 (Reptilia : Gekkonidae) // Наука и нов. технологии, 1999. – №2. – С.182–183.

УДК: 576.895.425 (575.2) (04)

Фауна и экология клещей-краснотелок (acariformes: trombiculidae, leeuvenhoekiidae) лесной мыши из Киргизстана

А.В.ХАРАДОВ – канд. биол. наук, ст. науч. сотр. лаб. паразитических членистоногих Биологического института НАН КР. Акаролог – занимается изучением систематики, фауны и экологии клещей-краснотелок.

Лесная мышь – *Apodemus (S.) sylvaticus* (Linnaeus, 1758) – на территории республики распространена повсеместно, от степей Чуйской, Таласской долин и Приферганских районов до высокогорных сыртов Арпы и Сары-Джаза, на высотах от 600 до 3600 м над ур.м. Постоянными местами обитания служат лиственные леса, лесопосадки, кустарниковые и лесные заросли пойм рек, скальные осыпи, встречаются и в альпийском поясе. Наибольшей плотности

грызуна достигает в орехово-плодовых лесах – 8,6%, значительно меньше его в хвойном лесу – 4,5% попаданий [1]. Обладая высокой численностью, широким диапазоном расселения, большими контактными связями, способностью к миграциям и прокармливая значительный фаунистический комплекс краснотелок, лесная мышь представляет несомненный интерес в изучении рассматриваемой группы клещей.

Согласно литературным источникам [2, 3], грызун на территории СНГ является хозяином более 70 видов тромбikuид. В фауне Кыргызстана отмечено 16 видов: *Leptotrombidium solum* Kudryashova, 1979; *Neotrombicula (N.) autumnalis* (Shaw, 1970); *N. (N.) obscura* Schluger et Davidov, 1967; *N. (N.) montschadskyi* Daniel et Zanina, 1966; *N. (N.) monticola* Schluger et Davidov, 1967; *N. (P.) zhamaevae* (Schluger, 1955); *N. (P.) tragardhiana* (Feider, 1953); *Hemimicula olsufjevi* (Schluger, 1955); *Cheladonta flava* (Schluger, 1955); *Euschoengastia alpina* Sasa et Jameson, 1954; *Multisetosa aff. major*, *Shunsennia oudemansi* Schluger, 1955 [4, 5]. Кроме того, из республики с грызуна описаны новые для науки виды: *Leptotrombidium smirnovi* Kudryashova et Rybin, 1974; *Neotrombicula (N.) karaashoriensis* Kudryachova, 1993; *N. (N.) irata* Kudryashova, 1993, *N. (N.) kharadovi* Kudryashova, 1998 [6, 7, 8].

Материал и методики. Всего осмотрено 1702 лесных мыши, с 329 собрано 5478 личинок, принадлежащих 25 видам, 10 родам и 2 семействам. Исследования проведены в трех вертикальных поясах, практически на всей территории Кыргызстана, на высоте от 600 до 3000 м над ур. моря. В долинно-предгорной зоне обследована Чуйская долина; в среднегорье – Восточное и Западное Прииссыккулье; в высокогорном поясе Северный, Западный, Центральный и Внутренний Тянь-Шань, а также Приферганская область и Алай. Грызунов отлавливали в 44 пунктах, из них в четырех работа проводилась стационарно. Краснотелковых клещей собирали во все сезоны года. Отлов зверьков, сбор личинок, приготовление тотальных препаратов, определение показателей численности клещей проводили по общепринятым паразитологическим методикам [9–11]. Оценку численности каждого вида рассчитывали по ранее предложенной нами шкале [12].

Результаты исследований. В Чуйской котловине долинно-предгорной зоны (600–900 м над ур.м.) на лесной мыши установлено обитание четырех видов клещей-красногелок. В окрестностях Озерного и Токмока сборы проводили стационарно. Интересно отметить, что в Озерном на грызуна встречается только один вид *E. aff. rotundata*, в то время как в Токмоке – еще три вида из рода *Neotrombicula*: *N. (N.) vulgaris* (Schluger, 1955); *N. (D.) microti* (Ewing, 1928) и *N. (A.) earis* Kerka, 1964. Высокий индекс встречаемости тромбikuид отмечался в августе и сентябре (41,2 и 58,9%), оставаясь значительным и в декабре (28,6%). Доминантом оказался вид *E. aff. rotundata* – 55,8%, субдоминантом – *N. (N.) vulgaris* – 41,1%. В августе на одном грызуне зарегистрировано 80 личинок *E. aff. rotundata*, но максимальная численность – 127 краснотелок – установлена в сентябре для вида *N. (N.) vulgaris*. Индекс встречаемости клещей в долинно-предгорной зоне составил 14,3%, а индекс обилия – 1,2 особи (табл. 1).

В пояссе среднегорья (1700 м над ур. м.), в Западном Прииссыккулье, нами проведены сборы с марта по ноябрь в пяти урочищах – Бoomском, Сухом, Байрок-Булак, Кувакы, Семиз-Бель, а также на побережье озера Иссык-Куль, в окр. сел Оттук, Ворошилово и Турайгыр. Здесь обнаружено 12 видов клещей (табл. 2).

Таблица 1

Пораженность лесной мыши
краснотелковыми клещами
в долинно-предгорном поясе (Чуйская долина)

Место сборов	Осмотрено грызунов	Индексы		Обнару- жено клещей
		встреча- емости	оби- лия	
Озерное	19	10,5	0,2	4
Токмок	387	14,5	1,2	484
Всего	406	14,3	1,2	488

Таблица 2

Численность краснотелковых клещей
на лесной мыши в поясе среднегорья
(Иссык-Кульская котловина)

Таксоны	Прииссыккулье	
	Запад- ное	Восточ- ное

Сем. *Trombiculidae*

<i>Aboriginea armata</i>	–	+
(Schluger et Bibicova, 1959)		
<i>Neotrombicula (N.) vulgaris</i>	+	+++
(Schluger, 1955)		
<i>N. (N.) nagayoi</i> (Sasa et all., 1955)	+	+
<i>N. (N.) digenualea</i> Schluger, 1967	++	–
<i>N. (N.) minuta</i> Schluger, 1966	+	–
<i>N. (N.) autumnalis</i>	++	++
<i>N. (N.) monticola</i>	+	–
<i>N. (A.) earis</i> Kerka, 1964	+	++
<i>Euschoengastia aff. rotundata</i>	++++	+
<i>Brunehaldia lucida</i> Schluger, 1966	+	–

Сем. *Leeuwenhoekidae*

<i>Multisetosa aff. major</i>	+	–
<i>Shunsennia oudemansi</i>	++	++++

++++ доминантный вид (более 50%).

+++ субдоминантный (от 15 до 50%).

++ обычный (от 1 до 15%).

+ редкий (менее 1%).

Наибольшее видовое разнообразие клещей, десять видов, отмечено на лесной мыши в Бoomском ущелье. Субдоминантами оказались виды *E. aff. rotundata* (42,5%), *N. (N.) digenualea* (30,8%) и *S. oudemansi* (19,2%), остальные семь видов *B. lucida*, *N. (N.) vulgaris*, *N. (N.) minuta*, *N. (N.) autumnalis*, *N. (N.) monticola*, *N. (A.) earis* и *M. aff. major* были редкими. Паразитирование шести видов тромбikuид установлено на грызуне в сентябре. Индекс встречаемости составил 16,0%.

В урочище Семиз-Бель, расположенному на северном склоне хребта Тескей Ала-Тоо, на лесной мыши отмечено шесть видов клещей, причем пять из них встречались в сентябре. Доминантом был вид *E. aff. rotundata* – 90,2%, а с одного зверька снято 178 личинок этого вида. В окрестностях сел Оттук и Ворошилово в единичных экземплярах обнаружены клещи *N. (N.) vulgaris*, *N. (N.) nagayoi*, *E. aff. rotundata* и *B. lucida*. Индекс встречаемости составил 1,3%. В то же время в окр. села Турайгыр краснотелки на грызуне не обнаружены. Вероятно, засоленные и песчаные прибрежные почвы оз. Иссык-Куль отрицательно влияют на развитие краснотелковых клещей.

В Восточном Прииссыккулье обследованы окр. сел Семеновка, Чон-Урюкты, Орнок, Кутурга, Теплоключенка, а также урочище Кар-Кыра и мыс Карабулун. Наибольшее число видов (5) отмечено в окр. с. Теплоключенка, но численность клещей была низкой. Индекс встречаемости составил 40,9%, а интенсивность поражения – 3,8 личинки на особь. Доминантом был вид *S. oudemansi*, 53,6%, субдоминантом – *N. (N.) vulgaris* – 33,0%. В окр. с. Чон-Урюкты, ур. Кар-Кыра и на мысе Карабулун краснотелки встречались редко, а в окр. сел Семеновка и Кутурга клещей на зверьке не обнаружено.

Численность краснотелковых клещей на лесной мыши в поясе высокогорья

Таксоны	Зоогеографическое районирование						А
	ЦГ	ПИ	СК	ВТ	ЗГ	ПФ	
Сем. <i>Trombiculidae</i>							
<i>Aboriginea armata</i>	+++	+	+	+	+	+	
<i>Montivagum kunitzkyi</i> Kudryashova, 1988	+	+	+	+	+	+	
<i>M. dihumerale</i> (Traub et Nadchatram, 1967)	+	+	+	+	+	+	
<i>M. nainae</i> Kharadov, 1990	+	+	+	+	+	+	
<i>Ericotrombidium pseudopulchrum</i> Vercammen-Grandjean et Langston, 1976	+	+	+	+	+	+	
<i>Leptotrombidium wolandi</i> Kudryashova, 1979	++	+	+	+	+	+	
<i>L. schlugerae</i> (Emeljanova et Gorbacheva, 1960)	+	+	+	+	+	+	
<i>L. sorosi</i> Kharadov, 1995	+	+	+	+	+	+	
<i>Miyatrombicula (M.) ramitensis</i> Kudryashova, 1978	+	+	+	+	+	+	
<i>Neotrombicula (D.) microti</i> (Ewing, 1928)	+	+	+	+	+	+	
<i>N. (N.) georgyi</i> Kharadov, 1990	+	+	+	+	+	+	
<i>N. (N.) vulgaris</i>	+	+	+	+	+	+	
<i>N. (N.) nagayoi</i>	+++	++	++	++	++	++	
<i>N. (N.) montchadskyi</i>	+++	+	+	+	+	+	
<i>N. (N.) digenualea</i>	+++	++	++	++	++	++	
<i>N. (N.) munata</i>	+++	+	+	+	+	+	
<i>N. (N.) autumnalis</i>	++	++	+	+	+	+	
<i>N. (N.) monticola</i>	++	++	++	++	++	++	
<i>N. (N.) talmiensis</i> (Schluger, 1955)	+	+	+	+	+	+	
<i>N. (A.) earis</i>	+++	++	++	++	++	++	
<i>Euschoengastia aff. rotundata</i>	+	+++	+++	+++	+++	++	
<i>E. armata</i> Schluger, 1960	+	+	+	+	+	+	
<i>Brunehaldia lucida</i>							
Сем. <i>Leeuwenhoekidae</i>							
<i>Multisetosa aff. major</i>	+++	+++	+++	+++	+++	+++	
<i>Shunsennia oudemansi</i>	+++	+++	+++	+++	+++	+++	

Обозначения те же, что в табл. 2.

Всего лесная мышь, обитающая в Иссык-Кульской котловине, прокармливалась 12 видов краснотелковых клещей, относящихся к 4 родам и 2 семействам. Причем в Западном Прииссыккулье фоновым видом был *E. aff. rotundata* – 90,2%, а с одного зверька снято 178 личинок этого вида. В то же время в окр. села Оттук и Ворошилово в единичных экземплярах обнаружены клещи *N. (N.) vulgaris*, *N. (N.) nagayoi*, *E. aff. rotundata* и *B. lucida*. Индекс встречаемости составил 1,3%. В то же время в окр. села Турайгыр краснотелки на грызуне не обнаружены. Вероятно, засоленные и песчаные прибрежные почвы оз. Иссык-Куль отрицательно влияют на развитие краснотелковых клещей.

Фаунистический комплекс клещей-краснотелок, прокармливающихся на лесной мыши, в высокогорном поясе (более 2800 м над ур. м.), состоит из 25 видов (табл. 3). В Центральном Тянь-Шане (ЦТ) в урочищах Сары-Джазских сыртов, северного склона хребта Кеопо-Тоо, на зверьке отмечено пять видов. Так, в ур. Сары-Джазских сыртов, в сентябре обнаружены личинки *A. armata*, в ур. Малая Талды-Суу, кроме того, *N. (N.) montchadskyi*, *N. (N.) minuta* и *N. (N.) autumnalis*. В ур. Оттук, расположенном на восточном склоне Тескей Ала-Тоо и примыкающим к Сары-Джазским сыртам, в октябре с одной особи снято 13 клещей *A. armata*. В условиях Центрального Тянь-Шаня индекс встречаемости составил 3

Видовой состав личинок краснотелковых клещей, паразитирующих на лесной мыши, обитающей в различных урочищах хребта Кунгей Ала-Тоо (ПИ), представлен 14 видами. Так, в ур. Кырчын на зверьке обнаружено восемь видов, из которых доминировал *N. (N.) digenualis* (65%), субдоминантами были *N. (A.) earis* (15,8%) и *S. oudemansi* (14,0%). Индекс встречаемости в августе составил 89,5%, достигая в октябре 100,0%. На грызуне в ур. Байсурун отмечено 11 видов тромбикулид. Субдоминантами были *S. oudemansi*, *N. (N.) autumnalis* и *L. wolandi* (27,4; 23,7 и 21,8% соответственно). Остальные виды отнесены к обычным и редким. Высокий индекс встречаемости установлен в апреле – 47,1% и ноябрь – 43,3%. В августе в ур. Кичи-Урюкты индекс встречаемости составил 100,0%, а фоновым видом был *N. (A.) earis* (69,7%). В ур. хребта Тескей Ала-Тоо на лесной мыши в ионе обнаружен только *S. oudemansi*. Всего в урочищах Кунгей Ала-Тоо со 138 грызунов собрано 1526 клещей, из которых субдоминантом был вид *N. (N.) digenualis* (46,5%), а индекс встречаемости составил 47,1%.

Наибольшее видовое разнообразие клещей-краснотелок, 16 видов, установлено в Северном Кыргызстане (СК), в урочищах Киргизского хребта. Так, фаунистический комплекс личинок в ур. Кегеты составил 10 видов, из них доминировал *S. oudemansi* (80,0%). Индекс встречаемости в апреле-мае равнялся 67,8–68,0%. Этот же вид был доминантом и в ур. Туюк (90,3%). В ур. Шамсы на лесной мыши встречался только один вид *N. (N.) minutula*, в то время как в ур. Ала-Арча на грызуне обитало 12 видов клещей. Доминировал в сбоях представитель рода *Neotrombicula* *N. (N.) monticola* – 66,4%. В ноябре наблюдалась 100,0%-ное поражение зверьков. Произошла смена доминанта и в ур. Белогорка, где фоновым разнообразием обладают роды *Neotrombicula* (47,2%), *Leptotrombiculidium* (13,9%), а также *Montivagum* и *Euschoengastia* (по 8,3%).

Клещей-краснотелок 10 видов, субдоминантом паразитирование 10 видов клещей. Субдоминантом оказался вид *L. sorosi* (44,9%).

В Алайской долине (А), в п.р. Кара-Кол с лесной мыши сняты личинки *S. oudemansi*.

Таким образом, на грызуне в условиях Кыргызстана прокармливается 36 видов краснотелковых клещей, принадлежащих к 2 семействам, 2 подсемействам, 2 трибам, 12 родам и 5 подродам. Это составляет 46,1% от всех известных видов, обитающих на территории республики. Являясь интразональным видом и имея высокую численность, лесная мышь среди грызунов, несомненно, – один из основных прокормителей краснотелок.

Исследования, проведенные во все сезоны года, показали, что с подъемом высоты возрастает и видовое разнообразие клещей. Так, в условиях долинно-предгорной зоны, на грызуне отмечено 4 вида, в среднегорье – 12, а в высокогорье – 25. Наибольшая пораженность зверьков во всех высотных поясах приходилась на осенние месяцы. Основным местом локализации оказались ушиные раковины. Внутри предпочитали питаться представители рода *Neotrombicula*, а по краям – виды рода *Leptotrombiculidium*. Кроме того, клещей находили на половых органах и ануце.

Доминантом в долинно-предгорной зоне был вид *E. aff. rotundata*, в среднегорье и высокогорье – *E. aff. rotundata* и *S. oudemansi*. Вид *E. aff. rotundata* оказался экологически очень пластичным и встречался на лесной мыши в диапазоне от 600 до 3000 м над ур. м.

Анализ структуры фауны краснотелковых клещей, паразитирующих на лесной мыши в Кыргызстане, показал, что наибольшим видовым разнообразием обладают роды *Neotrombicula* (47,2%), *Leptotrombiculidium* (13,9%), а также *Montivagum* и *Euschoengastia* (по 8,3%).

Литература

- Янушевич А.И., Айзин Б.М., Кыдырайлиев А.К., Умрихина Г.С., Федянина Т.Ф., Шукров Э.Д., Гребенюк Р.Ф., Токобаев М.М. Млекопитающие Киргизии. – Фрунзе:Илим, 1972. – 462 с.
- Омакулов Т. Клещи-краснотелки мышей рода *Apodemus* и ландшафтные особенности их распространения // Мед. паразитол. и паразитарн. болезни, 1976. – Т.45. – №3. – С.322–331.
- Кудряшова Н.И. Современное состояние изученности клещей-краснотелок (Acariformes, Trombiculidae) фауны СССР // Итоги науки и техники ВНИТИ, Сер. Паразитол. – М., 1979. – Т. 5. – С. 5–112.
- Короткова В.С. К фауне гамазовых и краснотелковых клещей Ошской области // Тр. Ср. Аз. науч.-иссл. противочум. ин-та. – Алма-Ата, 1959. – Вып. 6. – С. 295–300.
- Кудряшева К.Ф. К фауне краснотелковых клещей Киргизии // Матер. 6-й науч. конф. противочум. учрежден. Ср. Азии и Казахстана. – 1969. – Вып. 2. – С. 68–70.
- Кудряшова Н.И., Рыбин С.Н. Новые виды клещей-краснотелок (Acariformes, Trombiculidae) из Киргизии // Зоол. ж., 1974. – №4. – С. 633–639.
- Kudryashova N.I. New species of the chigger mite genus *Neotrombicula* (Acariformes, Trombiculidae) from Middle Asia and Mongolia // Acadrina. Russian J. Acarol., 1993. – Vol.1. – P.3–25.
- Кудряшова Н.И. Клещи-краснотелки (Acariformes, Trombiculidae) Восточной Палеарктики // Сб. тр. Зоологич. музея МГУ. – М., 1998. – Т.39. – 329 с.
- Ховтый И.Ф., Шлугер Е.Г. Методика сбора клещей-краснотелок Семейства Trombiculidae // Изв. Иркут. Гос. науч.-исслед. противочум. ин-та Сибири и Дальнего Востока. – Иркутск, 1957. – Т. 16. – С. 177–187.
- Гуца Г.И. Методика сбора и изучения краснотелковых клещей (тромбикулид) // Методы изучен. паразитол. ситуаций и борьба с паразит. сельскохозживотных. – Киев, 1961. – С. 182–192.
- Беклемищев В.Н. Термины и понятия, необходимые при количественном изучении популяций эктопаразитов и инсектоядов // Зоол. ж. – 1961. – Т.40. – Вып. 2. – С. 149–158.
- Харадов А.В., Чирев П.А. Краснотелковые клещи (Trombiculoidae) серебристой полевки из Киргизии // Изв. АН Кирг. ССР (хим.-техн. н.). – 1989. – №1. – С. 64–69.

УДК 611.81-05 (575.2) (04)

Функциональное состояние головного мозга у лиц с различными типами центральных механизмов регуляции

Р.А. КУРМАШЕВ – сотр. ИФ и ЭПВ.

анализа статистической структуры взаимодействия волн ЭЭГ [9].

Исследования выполняли на 34 практически здоровых мужчинах 18–20 лет. Изучали суммарную биоэлектрическую активность головного мозга (ЭЭГ). Регистрацию ЭЭГ осуществляли с помощью 8-канального электроэнцефалографа "Medicor EEG-8S" (Венгрия). Электроды накладывали по международной схеме "10-20" [10]. Использовали монополярный способ отведения от восьми симметричных отделов коры больших полушарий с индифферентными ушными электродами. ЭЭГ регистрировали при положении испытуемого сидя в кресле в экранированной и звукоизолированной камере. Свободные от артефактов 2-минутные отрезки ЭЭГ, полученные в состоянии психо-сенсорного покоя, регистрировали на самописец и магнитную ленту через блок фильтров и уплотнитель каналов магнитофона "УКМ-9".

ЭЭГ с магнитной ленты вводили в персональный компьютер IBM PC/AT через 16-канальный АЦП. Математическую обработку ЭЭГ проводили с применением программы анализа структуры межзональных взаимодействий в коре головного мозга "EEG-Proton-90". Достоверность полученных различий проверяли с применением t-критерия Стьюдента и статистического метода Хи-квадрат.

Тип центральных механизмов регуляции определяли по методу С.И. Сороко [8]. В результате все испытуемые были разделены на три группы: лица с I (9 человек), II (17 чел.) и III (8 чел.) типом центральных механизмов регуляции.

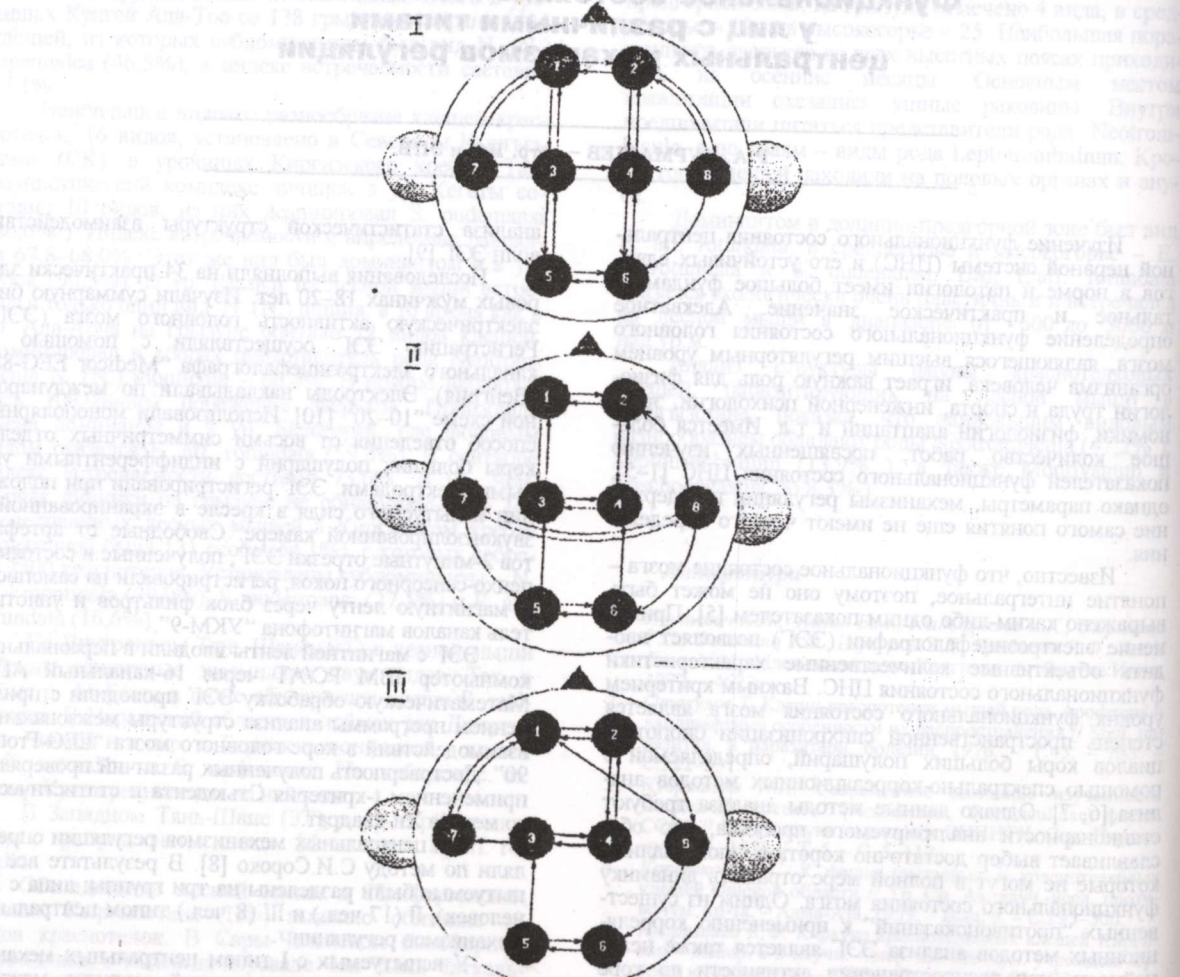
У испытуемых с I типом центральных механизмов регуляции в вероятностной матрице межцентральных взаимодействий (рис. 1, I) наиболее выражены связи между одноименными отделами различных полушарий головного мозга: затылочными ($P=0,350–0,450$), теменными ($P=0,180–0,210$), лобными ($P=0,230$). Высоковероятны связи, идущие к затыл-

лочным областям ($P = 0,150-0,220$). Вероятность взаимодействий с лобными зонами височных отведений 0,140-0,170, теменных - 0,120-0,220. Менее вероятны связи, идущие к теменным отведениям от затылочных ($P=0,110-0,200$). Вероятность взаимодействия с височными зонами коры минимальна (до 0,120).

У группы лиц со II типом механизмов саморегуляции мозга картина межзональных взаимоотношений в коре головного мозга (рис. I, II) в целом сходна с таковой в первой группе. Однако по величине вероятности связей имеются некоторые различия. Так же наиболее вероятны связи между одноименными отделами разных полушарий: затылочными ($P=0,350-0,370$), теменными ($P=0,250-0,280$), лобными ($P=0,220-0,230$) и височными ($P=0,100-0,120$). По уровню входящих связей доминирует затылочный отдел: 0,120-0,200. Далее следует лобный отдел: вероятность взаимодействий, идущих от теменных и височных отведений, составляет 0,130-0,180. Вероят-

ность связей с теменной областью наиболее высока у затылочных отделов ($P=0,140-0,190$), у лобных в пределах одноименного полушария ($P=0,110$), а остальные взаимодействия не выражены. Из связей, идущих к височным отведениям, выражены только лобно-височные ($P=0,115-0,140$).

У испытуемых с III типом центральных механизмов регуляции вероятность взаимодействия одноименных отделов разных полушарий еще меньше (рис. I, III): между затылочными - 0,330, теменными - 0,170-0,190, лобными - 0,190-0,230. Также по уровню вероятности входящих связей доминирует затылочный отдел коры: от височных - 0,200-0,250, от теменных и лобных - 0,130-0,200. За них идут теменные отведения: вероятность взаимодействия "затылок - темя" - 0,100-0,180, "лоб - темя" - 0,160-0,180. Вероятность связей с лобной зоной составила в теменных отделах - 0,190-0,200, в височных - 0,110-0,140. Вероятность остальных связей не превышает 0,100.



Структура межцентральных взаимосвязей у испытуемых с различными типами механизмов саморегуляции мозга. В кружках цифрами обозначены номера отведений, стрелками показано направление высоковероятных связей. Римскими цифрами – тип центральных механизмов регуляции.

Можно отметить, что пространственная организация межцентральных взаимодействий во всех трех группах была практически одинаковой: наиболее вероятны связи между одноименными отделами различных полушарий; по выраженности входящих связей зоны коры больших полушарий располагаются следующим образом – затылочные, теменные, лобные, височные; наименее вероятны связи, идущие от затылочного отдела; связи между разными областями коры головного мозга более выражены в пределах одноименного полушария; по силе входящих взаимодействий доминирует правое полушарие.

Основное различие между группами заключается в уровне вероятности межцентральных взаимодействий. Так, у лиц с I типом центральных механизмов регуляции значения вероятности межполушарных связей одноименных отделов наиболее высоки, а у испытуемых с III типом – минимальны. Вторая группа занимает промежуточное положение. В отличие от первой группы у испытуемых со II типом механизмов саморегуляции мозга имеются взаимодействия между височными зонами разных полушарий. У испытуемых третьей группы вероятность входящих связей затылочного отдела больше такового у предыдущих групп. Отсутствуют прямые и обратные связи "лоб - темя" между полушариями и связи "лоб - висок".

Известно, что у лиц с I типом центральных механизмов регуляции в структуре взаимосвязи между отдельными ритмами ведущую роль играет альфа-ритм, а у испытуемых со II типом выраженнее альфа-ритма меньше [9]. У лиц с III типом саморегуляционных механизмов мозга взаимодействие отдельных ритмов ЭЭГ между собой носит равновероятный характер, альфа-индекс невысок. Альфа-ритм человека является "функциональным ядром" авторегуляционного механизма мозга, он объединяет дискретно расположенные нервные центры в непрерывную и строго координированную систему деятельности мозга [11]. Следовательно, степень выраженности на ЭЭГ альфа-ритма положительно коррелирует с показателями синхронизации различных зон коры больших полушарий. Этим можно объяснить более высокие значения вероятности межполушарных связей у лиц с I типом центральных механизмов регуляции, чем во II и особенно III группах. Данное предположение также объясняет и более высокую выраженность входящих связей затылочных отделов и правого полушария коры, которые являются эпикентром альфа-ритма. Диаметрально противоположные значения выраженностей альфа-ритма в лобных и затылочных отделах обуславливают минимальную вероятность взаимосвязей этих отделов. Можно утверждать, что уровень пространственной синхронизации электрической активности коры головного мозга выше всего в I группе, и наименее низок в III. Представители II типологической группы занимают по данному показателю промежуточное положение между двумя вышеназванными группами.

А.М. Зимкина и соавт. [12] выделяют в зависимости от источника внутреннюю (фоновую) и внешнюю (под влиянием внешних воздействий) синхронизации. Известно, что способность к внешней синхронизации у здорового человека при устойчивом функциональном состоянии ЦНС умеренная, а способность к внут-

ренней синхронизации достаточно высокая [13]. Проведенные нами ранее исследования [14] показали, что при проведении ритмической фотостимуляции у лиц с высокой пластичностью нейродинамических процессов (I тип саморегуляционных механизмов ЦНС) диапазон усвоения ритма находится в пределах частоты альфа-ритма ЭЭГ (8-12 Гц); а у лиц с низкой пластичностью (III тип) лучше усваиваются частоты 4-8 Гц, что также можно расценивать как признак сниженного функционального состояния головного мозга у лиц с III типом центральных механизмов регуляции. В то же время одновременные изменения биопотенциалов в пространственно-удаленных участках коры больших полушарий отражают взаимодействие различных корковых зон, соответствие функционального состояния данных зон, благодаря чему осуществляется быстрая передача возбуждения в пределах формирующейся системы [6], т.е. эффективность функционирования коры головного мозга будет высокой у лиц с I, менее высокой – со II и самой низкой у лиц с III типом центральных механизмов регуляции.

Таким образом, проведенные исследования особынностей организации структуры межцентральных взаимоотношений в коре головного мозга у лиц с различным типом центральных механизмов регуляции позволили выявить межгрупповые различия в структуре межзональных связей коры. Уровень пространственной организации биоэлектрической активности головного мозга высокий у лиц с I типом и несколько ниже у лиц со II типом механизмов саморегуляции. Паттерн межцентральных взаимоотношений у представителей III типологической группы характеризуется низкой вероятностью связей и небольшой пространственной упорядоченностью. Все это свидетельствует о высоком уровне и стабильности функционального состояния ЦНС у лиц с I и, в меньшей степени, со II типами центральных механизмов регуляции. Лица с III типом механизмов саморегуляции отличаются неустойчивостью и низким уровнем общего функционального состояния мозга.

Литература

- Павлов И.П. Лекции о работе больших полушарий головного мозга. – Т. IV. – М., 1951.
- Анохин П.К. Внутреннее торможение как проблема физиологии. – М., 1958.
- Бехтерева Н.П. Биопотенциалы больших полушарий головного мозга при супратенториальных опухолях. – Л., 1960.
- Ливанов М.Н. Торможение в нейронных системах головного мозга. – М., 1965.
- Зимкина А.М. Электрофизиологические показатели функционального состояния ЦНС человека // Функциональное состояние мозга. – М., 1975. – С. 6-19.
- Ливанов М.Н. Пространственная организация процессов головного мозга. – М., 1972.
- Русинов В.С. Доминанта: Электрофизиологические исследования. – М., 1969.
- Сороко С.И., Бекшадеев С.С., Сидоров Ю.А. Основные типы механизмов саморегуляции мозга. – Л., 1990.
- Сороко С.И. Нейрофизиологические механизмы индивидуальной адаптации человека в Антарктиде. – Л., 1984.
- Jasper H. Report of committee on methods of clinical examination in EEG: Appendix: The ten-twenty electrode system of the International Federation. – EEG and Clin. Neurophysiol. 1958. – Vol. 10. – P.371-375.

11. Шеповальников А.Н., Цицерошин М.Н., Ананасионок В.С. Формирование биопотенциального поля мозга человека. – Л., 1980.
12. Зимкина А.М., Асафов Б.Д., Золотарев Ф.Я. О некоторых вопросах функциональной организации нервной системы у человека. – Мат-лы XI съезда физиол. общ-ва. – Т. 1. – Л., 1970.
13. Поворинский А.Г., Заболотных В.А. Пособие по клинической электроэнцефалографии. – Л., 1987.
14. Джунусова Г.С., Курмашев Р.А. Характер изменений биоэлектрической активности головного мозга у лиц, занимающихся операторским трудом в условиях высокогорной гипоксии. // Физиология человека. 1997. – Т.32. – № 4. – С.52-57.

УДК 31.1+54.5+61 (575.2) (04)

Статистический анализ базы данных медицинского назначения

А.К. ШАРШЕНОВ – канд. мед наук, доцент, зав. каф. акушерства и гинекологии КГМА.
Т.И. ПРУЦАКОВА – канд. техн. наук, доцент кафедры математики КРСУ.

Введение. Современные методы обработки медицинских данных на компьютере применяются значительно реже, чем это вызывается потребностями практики. Например, каждый практикующий врач имеет сведения о своих пациентах, но оценить степень влияния различных факторов на конечный результат, как правило, затрудняется. Компьютерные методы статистического анализа позволяют это сделать, однако для обработки требуется четкая постановка задачи и формализация данных [1-2]. Рассмотрим порядок подготовки и обработки данных для решения задачи определения функциональной зависимости случаев невынашивания беременности от материнских факторов.

1. Краткая характеристика данных

Источником данных являются сведения о 1953 случаях невынашивания беременности по г. Бишкек за период с 1996–1999 гг. Для каждого случая регистрируются социально-средовые причины (возраст, национальность, образование, социальное положение, семьяное положение, профессиональные вредности, вредные привычки, качество наблюдений в женской консультации, использование контрацепции, место и условия проживания), а также материнские причины (менструальная функция, гинекологические заболевания, перенесенные хронические заболевания, срок беременности, особенности течения первой половины беременности, вероятные причины прерывания беременности). Средствами программы Access пакета Microsoft Office эти сведения оформлены как медицинская база данных, что позволяет сравнительно просто осуществлять различные запросы, а также сортировать и суммировать интересующие нас данные.

2. Подготовка данных для статистического анализа

База данных содержит большой объем разнотипных значений, поэтому для проведения статистического анализа использовать эти данные весьма затруднительно. В первую очередь, необходимо провести содержательный анализ данных и определить множество причин, влияющих на невынашивание беременности. Те причины, которые оказываются неинформативными (почти все пациентки состоят в браке, отмечают отсутствие вредных привычек и профессиональных вредностей), не принимаются к рассмотрению. Для решения поставленной задачи целесообразно анализировать возраст, образование, социальное положение, наблюдение в женской консультации, использование контрацепции, наличие абортов перед первыми родами, гинекологические заболевания и перенесенные хронические заболевания.

Поскольку причины невынашивания беременности характеризуются значениями, измеренными в различных шкалах (например, возраст – в количественной шкале, перенесенные хронические заболевания – вnomинальной), то для упрощения анализа была проведена коррекция данных. Измерения данных были преобразованы в количественные шкалы, так как работать в этих шкалах просто и наглядно. Переход из одной шкалы измерения в другую осуществлялся по формуле:

$$x_2 = a_2^{\min} + \frac{(x_1 - a_1^{\min})(a_2^{\max} - a_2^{\min})}{a_1^{\max} - a_1^{\min}},$$

где a_1^{\min}, a_1^{\max} – начало и конец старой интервальной шкалы, x_1 – текущее значение в старой интер-

вальной шкале; x_2 – текущее значение в новой интервальной шкале, a_2^{\min}, a_2^{\max} – начало и конец новой интервальной шкалы.

Для того, чтобы упростить решение задачи, были проведены селекция и сжатие данных. В результате был осуществлен переход от таблицы, содержащей 1953 строки и 65 столбцов, к таблице, содержащей 37 строк и 25 столбцов. В новой таблице столбцами являются исследуемые факторы, а в строках располагаются значения этих факторов. Подготовленная таким образом таблица переносится в программы статистического анализа. Для обработки медицинских данных целесообразно использовать программы Excel, Statistica, Epi Info [3-5].

3. Предварительная оценка данных и выбор методов обработки

Статистические методы обработки данных подразделяются на параметрические, включающие в формулу расчета параметры распределения (математическое ожидание, дисперсию), и непараметрические, не включающие в формулу расчета параметры распределения и основанные на оперировании частотами или рангами. Как правило, заранее трудно решить, какой метод даст наилучший результат, поэтому следует поработать с различными способами обработки данных, а затем сравнить результаты.

Прежде, чем проводить статистические расчеты, необходимо проверить гипотезу нормальности, т. е. проверить, в какой степени данные соответствуют нормальному закону распределения. Для проверки гипотезы используются такие характеристики, как асимметрия и эксцесс. Оценку закона распределения можно также провести визуально по гистограмме. Для наших данных значения асимметрии находятся в интервале [0,1–0,3], а значения эксцесса – в интервале от [-1,9–2,1], что служит основанием для того, чтобы усомниться в гипотезе о нормальности. Однако гистограмма (рис. 1) свидетельствует о том, что с некоторым приближением можно принять гипотезу о нормальности распределения и применять параметрические методы.



Рис. 1

4. Исследование зависимости факторов

В подготовленной для статистического анализа таблице целесообразно выделить зависимый фактор (что исследуется) и независимые факторы (от чего зависит изменение исследуемого фактора). В нашей

задаче зависимым фактором является число случаев невынашивания беременности, а независимыми факторами – возраст, социальное положение, наблюдение в женской консультации, перенесенные хронические заболевания, гинекологические заболевания, роды, аборты, самопроизвольные выкидыши и аборты перед первыми родами. Расчет статистических характеристик независимых факторов позволяет выделить значимые факторы (назовем их факторами риска). Значимость факторов риска можно характеризовать величиной относительного риска или величиной удельного веса. Для исследуемой задачи значимые факторы и их удельный вес приведены в табл. 1.

Таблица 1

Фактор риска	Удельный вес, %
Социально-гигиенические	
Возраст 20–26 лет	41,1
Социальное положение (домохозяйки)	59,0
Непосещение женской консультации	66,0
Гинекологический анамнез	
Гинекологические заболевания воспалительного характера (воспаления придатков, воспаления матки, воспаления матки и придатков)	35,6
Патология шейки матки (эррозия шейки матки, кольпит)	21,7
АбORTЫ перед первыми родами	15,5
Экстрагенитальные заболевания	
Соматическая патология (заболевания почек, заболевания печени, желудочно-кишечные заболевания)	16,6
Инфекционно-вирусные заболевания (простудные заболевания, ангин, детские инфекции)	57,2

5. Выбор метода построения функциональной зависимости

Парный корреляционный анализ данных показывает почти линейную зависимость числа случаев невынашивания беременности от воспаления придатков (коэффициент корреляции = 0,91), простудных заболеваний (коэффициент корреляции = 0,97), числа абортов перед первыми родами (коэффициент корреляции = 0,92); для гинекологических заболеваний воспалительного характера (коэффициент корреляции = 0,8), инфекционно-вирусных заболеваний (коэффициент корреляции = 0,96), для абортов перед первыми родами (коэффициент корреляции = 0,92), патологий шейки матки и соматических патологий (коэффициент корреляции = 0,92). Причем все факторы риска положительно коррелированы, это значит, что при увеличении значений каждого фактора увеличивается число случаев невынашивания беременности. Это свидетельствует о том, что для построения модели данных можно использовать методы множественного линейного регрессионного анализа. При этом целесообразно выбрать небольшое число факторов риска и провести нормализацию данных. Под норма-

лизацией понимается преобразование данных по формуле:

$$y_j = \frac{x_j - M}{M},$$

где $j = 1, n$, x_j – старое значение фактора, y_j – новое значение фактора, n – объем выборки, M – среднее значение.

6. Построение модели данных

Проведем анализ изменения числа случаев невынашивания беременности от нескольких медицинских факторов одновременно. Обозначим случаи невынашивания беременности как фактор z , гинекологические заболевания воспалительного характера – f_1 , инфекционно-вирусные заболевания – f_2 , аборты перед первыми родами – f_3 , патологии шейки матки – f_4 и соматические патологии – f_5 . Задача состоит в том, чтобы представить z в виде линейной комбинации факторов f_1, f_2, f_3, f_4, f_5 :

$$z = \alpha_1 f_1 + \alpha_2 f_2 + \alpha_3 f_3 + \alpha_4 f_4 + \alpha_5 f_5,$$

где α_i , $i = 1, 5$ – факторные нагрузки, которые показывают силу влияния факторов на невынашивание беременности. Вычисление факторных нагрузок проводилось методами множественного линейного регрессионного анализа, содержащегося в пакете прикладных программ EPI INFO Всемирной организации здравоохранения. Результаты вычислений представлены в табл. 2.

Таблица 2

Номер факторной нагрузки	Значение факторной нагрузки	Стандартная ошибка	Значение F-test
1	0,18	0,21	0,77
2	0,42	0,18	4,99
3	0,32	0,16	3,82
4	-0,01	0,2	0,0023
5	0,09	0,12	0,6

Как видно из табл. 2, влияние факторов f_4 и f_5 (патологии шейки матки и соматической патологии) на фактор z незначительно. Поэтому целесообразно рассматривать влияние трех первых факторов (гинекологические заболевания воспалительного характера, инфекционно-вирусные заболевания и аборты перед первыми родами) на число случаев

невынашивания беременности. Тогда окончательно модель данных можно представить как:

$$z = \alpha_1 f_1 + \alpha_2 f_2 + \alpha_3 f_3$$

Сведения о расчете факторных нагрузок для данной модели приведены в табл. 3.

Таблица 3

Номер факторной нагрузки	Значение факторной нагрузки	Стандартная ошибка	Значение F-test
1	0,2	0,11	3,2
2	0,48	0,17	8,1
3	0,32	0,15	4,3

Значения F-test (критерия Стьюдента) для факторных нагрузок, приведенные в табл. 3, и значение F-statistic (критерия Фишера), равное 58,87, свидетельствуют о достоверности силы влияния каждого фактора. Полученную модель данных

$$z = 0,2f_1 + 0,48f_2 + 0,32f_3$$

можно считать адекватной процессу невынашивания беременности. Эту модель можно использовать для вычисления ожидаемого числа случаев невынашивания беременности, когда известно число гинекологических заболеваний воспалительного характера, инфекционно-вирусных заболеваний и аборты перед первыми родами у беременных женщин, состоящих на учете в женской консультации. Полученная модель может быть использована для прогноза невынашивания беременности по базе данных беременных женщин.

Заключение. Компьютерные технологии статистической обработки данных позволили решить задачу построения функциональной зависимости случаев невынашивания беременности от материнских факторов. Такой подход можно использовать для обработки любых баз данных медицинского назначения.

Литература

1. Айвазян С.А., Енуков И.С., Мешалкин Л.Д. Прикладная статистика: Исследование зависимостей. Справочное издание. Финансы и статистика. – М., 1985. – С.236.
2. Кобринский Б.А. Принципы математико-статистического анализа данных медико-биологических исследований // Российский вестник перинатологии и педиатрии. – №4. – 1996. – С.60–64.
3. Тюрин Ю.Н., Макаров А.А. Анализ данных на компьютере. – М.:Финансы и статистика, 1995. – С.384.
4. Боровиков В.П., Боровиков И.П. STATISTICA – Статистический анализ и обработка данных в среде Windows. – М.: Информационно-издательский дом «Филинъ», 1998.
5. Dean AD, Dean JA, Burton AH, Dicker RC. Epi Info, 1995.

ЭКСПЕРИМЕНТ

ПОИСК

УДК 543. 423 (575.2) (04)

Изучение некоторых характеристик двухструйного плазматрона при вдувании окиси иттрия

К.УРМАНБЕТОВ – канд. физ.-мат. наук, и.о. зав. лаб. атомной спектроскопии Института физики НАН КР. Специалист в области атомной спектроскопии и низкотемпературной плазмы.

Ж.Ж.ЖЕЕНБАЕВ – докт. физ.-мат. наук, академик, президент НАН КР. Область научных интересов охватывает широкий спектр проблем физики низкотемпературной плазмы, их применения в различных областях науки и техники, оптики и др.

Р.А.ТАШТАНОВ – мл. науч. сотр. лаб. атомной спектроскопии ИФ НАН КР. Интересы: применение плазматронов в атомной спектроскопии.

Г.Ж.ДОРЖУЕВА – аспирантка лаб. атомной спектроскопии ИФ НАН КР.

В последние годы при спектральном анализе горных пород, минералов, а также других веществ широко применяется двухструйный плазматрон [1–4]. Он обладает достаточно высокой мощностью, что позволяет вводить анализируемую пробу между струями плазмы вне электродных узлов. Благодаря высокой мощности и температуре плазмы двухструйного плазматрона повышается коэффициент использования пробы и понижается предел спектрального определения.

Спектральный анализ веществ с применением двухструйного плазматрона может проводиться с направлением струй плазмы как вверх, так и вниз. Поэтому большой интерес представляет изучение распределения интенсивности спектральных линий вдоль потока плазмы в этих положениях. Для выяснения вида распределения интенсивности спектральных линий определяемых элементов в плазменных струях, направленных вверх и вниз, уменьшенное изображение его проектируется на щель спектрографа так, чтобы вся длина светящегося потока поместились в щель спектрографа.

Объектом исследования являлись искусственные смеси, приготовленные на основе чистой окиси иттрия и спектрально чистого угольного порошка, в который в небольших количествах (1×10^{-3} %) вводили окись молибдена, ванадия, титана, гафния, циркония, ниобия и tantalа.

Порошок пробы и графита со скоростью 8 мг/с равномерно вдувается струей аргона посредством капиллярной трубы с внутренним диаметром 0.8 мм, присоединенной к дозатору [5]. Расстояние торца капиллярной трубы от места слияний струй плазмы ~12 мм.

Аэрозоль смеси порошков, выходящая из капиллярной трубы со скоростью ~20 м/с, поступает между струями плазмы и, захватываясь ими, увлекается во внутреннюю часть образующегося общего потока и испаряется в нем.

Режим работы плазматрона: I=80 А, U=125 В, расход рабочего газа (аргон) 3,2 л/мин, транспортирующего – 0,6 л/мин, угол между головками – 120°. Исследования на теневом приборе показали [6], что наиболее эффективное взаимодействие вещества с плазмой происходит при углах между головками 120° – 125°. Поэтому взят угол между головками 120°.

Спектры порошка окиси иттрия фотографировали на спектрографе ДФС-13, дисперсия – 2 Å/mm, ширина щели – 0,01 мм, фотопластиника “спектральный” тип I чувствительностью 4 ед ГОСТа, экспозиция – 15 с. При этом револьверную диафрагму устанавливали так, чтобы почернения фона вблизи линий показались в области нормальных почернений. Нужно отметить, что при испарении окись иттрия в струе плазмы дает сильный сплошной фон. Это обусловлено, по-видимому, большой концентрацией электронов, полученных за счет ионизации иттрия.

При вдувании иттрия в виде тонкой струи аэрозоли между струями двухструйного плазматрона окись иттрия начинает испаряться на расстоянии 2–3 мм до слияния струй плазмы, при этом в середине общего потока образуется полоса очень яркого голубого свечения шириной ~1 мм, протяженностью ~20 мм, общая яркая часть свечения составляет ширину ~4 мм.

Исследования показали, что изменения направления струй плазмы существенно сказываются на распределении интенсивностей спектральных линий

(рис. 1, 2). Поступление элементов в плазму на пути движения частиц сопровождается в начале возрастанием, а затем понижением интенсивности линий и появлением в общем потоке плазмы максимумов интенсивностей излучения спектральных линий. Максимумы интенсивностей излучений элементов ионных линий совпадают с максимумом температуры в общем потоке плазмы. Показано [7], что температура в центральном участке общего потока плазмы при удалении от основания на расстояние 20–25 мм возрастает с 6000 до 7000° К, затем плавно снижается и на расстоянии ~60 мм оказывается равной 5000° К.

Интенсивность ионных линий элементов в два-три раза больше интенсивностей ионных линий в случае, когда струя направлена вниз, а интенсивности атомных линий увеличиваются незначительно, но зато максимумы становятся противными в сторону хвостовой части (рис. 1).

Такое изменение интенсивности излучений элементов, по-видимому, связано с временем пребывания частиц в плазме. Когда струя направлена вниз к скорости частиц порошковой пробы, получаемой струей плазмы, прибавляется скорость, приобретаемая самой частицей за счет массы, тем самым скорости частиц увеличиваются, снижают концентрацию атомов в плазме, так как продолжительность пребывания частиц в плазме сокращается, следовательно, уменьшается интенсивность спектральных линий. Когда струя направлена вверх, частицы находятся в плазме дольше, следовательно, интенсивность линий увеличивается. Это качество характеризует изменения температуры вдоль общего потока плазмы.

Правильность полученных результатов при анализе однотипных порошковых проб, какими являются готовые продукция химических заводов, определяется соответствием строения эталонов и анализируемых проб. Наибольшее различие в структурном составе эталона и пробы может привести к заметным ошибкам в спектральном анализе. Поэтому представляет инте-

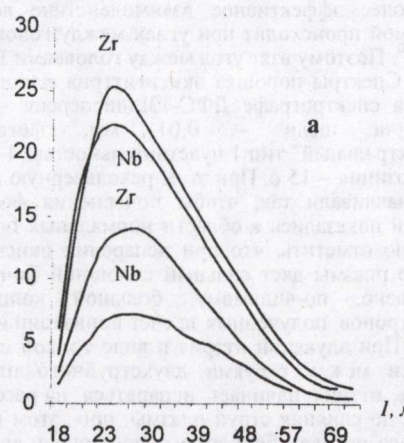


Рис. 1. Распределение интенсивности линий: а – Nb II 316,3 и Zr II 339,2 нм, б – V I 318,5 и Mo I 317,0 нм вдоль потока плазмы в зависимости от направлений струй плазмы: 1 – вниз; 2 – вверх.

рес изучение влияния способов приготовления стандартных образцов при определении нередкоземельных элементов в оксице иттрия на двухструйном плазмотроне. Известно, что стандарты порошковых проб в основном изготавливаются осаждением и механическим перемешиванием.

При изготовлении механическим перемешиванием ряда стандартных образцов на основе оксице иттрия в головной стандарт вводят 2% Hf, Ta; 1% Nb, Ti, V, Zr, и 0,6% Mo в виде окислов. Последующие стандарты получены последовательным разбавлением предыдущего основным до трех раз. Всего получено 6 рабочих стандартов. Половину (3 г) рабочих эталонов растворили в 50 мл концентрированной азотной кислоты при нагревании с добавлением перекиси водорода. После охлаждения доводили объем до 100 мл.

Осаждали оксалаты иттрия с микропримесями нередкоземельных элементов с давлением 50 мл насыщенного раствора щавелевой кислоты. Раствор с осадком тщательно перемешивали и оставляли на 12 ч. Осадок фильтровали через беззольный фильтр и прокаливали в муфельной печи при 900° С в течение двух часов. После чего эталоны смешивали с графитовым порошком марки ОСЧ-7-4 в отношении 1:1 и вводили между струями плазмы. Расход порошка (после смешения пробы с углем) ~500 мг/мин.

Для получения и регистрации спектров исследуемых стандартных образцов использовали спектрофотограф ДФС-13. Оптимальный участок струи плазмы проектировался с помощью однолинзовой системы ($F=150$ мм) на щели спектрографа шириной 0,012 мм. Плазмотрон питается постоянным током $I=80$ А. Расход рабочего газа – 4 л/мин, транспортирующего – 0,5 л/мин. Регистрация спектров осуществляется на фотопластинке "спектральный" тип 1 чувствительностью 6 ед ГОСТа при экспозиции 15 с. Высота промежуточной диафрагмы 0,5 мм. Градуировочные графики построены в координатах $[lgI, lgC]$.

Оказалось, что при проведении анализа на двухструйном плазмотроне происходит ослабление до 5,5 раза интенсивностей аналитических линий легколетучего молибдена, в 3,6 раза среднелетучего ванадия и незначительно в 1,1 раза труднолетучих элементов (рис. 2) при переходе от порошковых стандартов, приготовленных механическим перемешиванием, к стандартам, приготовленным осаждением. Возникающие при этом отрицательные систематические ошибки в определении молибдена достигают более 400%, у ванадия – более 100% (рис. 3 а), что исключает возможность применения стандартов, изготовленных механическим смешением окислов элементов при определении легко- и среднелетучих элементов в порошках оксице иттрия. В определении труднолетучих элементов такие систематические ошибки не на-

блидаются (рис. 3 б), что позволяет применять при анализе труднолетучих элементов в оксице иттрия стандарты, изготовленные механическим смешением окисных соединений.

Одной из причин смещения градуировочных графиков $lgI=f(lgC)$ при одинаковом составе и дисперсии в определении легко- и среднелетучих элементов, по-видимому, является несоответствие структурных строений частиц в стандартных порошках, изготовленных механическим смешением и осаждением. В случае механической смеси элементы присутствуют виде мельчайших, диаметром не менее 1–10 мкм частиц MoO_2 и V_2O_6 . Это способствует более полному испарению молибдена и ванадия и, следовательно, усилению интенсивности их линий.

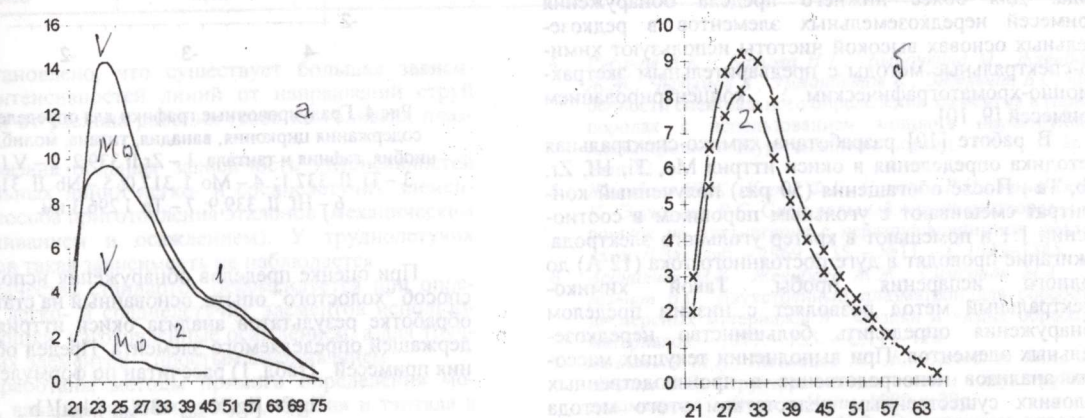


Рис. 2. Изменение интенсивности линий а – Mo I 317,0; V I 318,5 нм; б – Zr II 339,2 нм вдоль потока плазмы в зависимости от способа приготовления стандартных порошков: 1 – механическим смешиванием, 2 – осаждением.

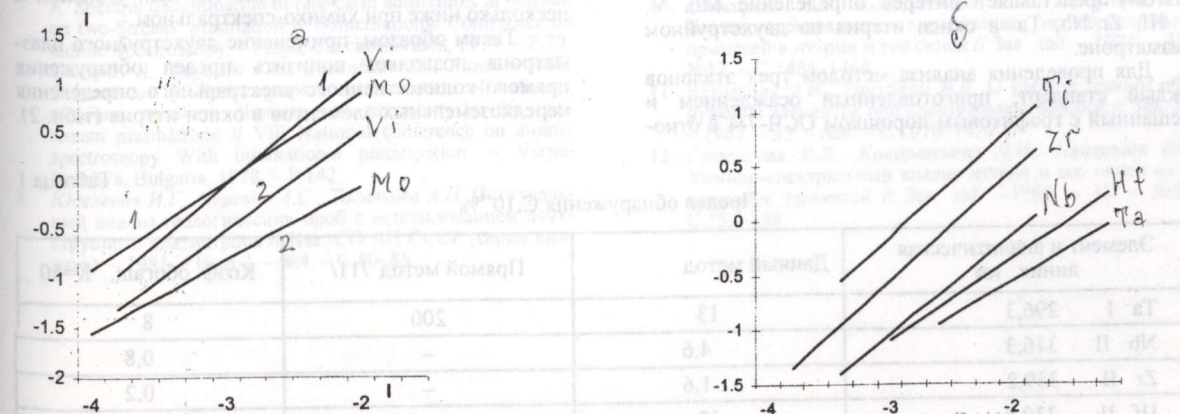


Рис. 3. Градуировочные графики для определения содержания: а – V I 318,5 и Mo I 317,0 нм в порошках оксице иттрия при изготовлении стандартов: 1 – механическим смешиванием; 2 – осаждением; б – Ti II 337,1; Zr II 339,2; Nb II 316,3; Hf II 339,6; Ta I 296,3 нм.

В случае осаждения молибдена и ванадия входят в состав частиц окиси иттрия, содержащих все другие введенные элементы, которые, по-видимому, задерживают поступление молибдена и ванадия в зону возбуждения.

Прямое спектральное определение нередкоземельных элементов в редкоземельных основах с применением обычных методов спектрального анализа (испарение из канала угольного электрода, вдувание порошков в пламя дуги) не дает достаточного предела обнаружения определяемых элементов. Несколько понижается предел обнаружения нередкоземельных элементов в окиси иттрия [8] при испарении из канала угольного электрода с применением спектроскопического буфера (NaF), так как достигается высокая степень концентрирования примесей в средней зоне разряда. Для более низкого предела обнаружения примесей нередкоземельных элементов в редкоземельных основах высокой чистоты используют химико-спектральные методы с предварительным экстракционно-хроматографическим концентрированием примесей [9, 10].

В работе [10] разработана химико-спектральная методика определения в окиси иттрия Mo, Ti, Hf, Zr, Nb, Ta. После обогащения (50 раз) полученный концентрат смешивают с угольным порошком в соотношении 1:1 и помещают в кратер угольного электрода. Сжигание проводят в дуге постоянного тока (12 А) до полного испарения пробы. Такой химико-спектральный метод позволяет с низким пределом обнаружения определить большинство нередкоземельных элементов. При выполнении текущих массовых анализов непосредственно в производственных условиях существенным недостатком этого метода является значительная трудоемкость и продолжительность процесса анализа. Прямой спектральный анализ окиси иттрия с применением данного источника позволяет одновременно определять большинство нередкоземельных элементов с низким пределом обнаружения и хорошей воспроизводимостью [1]. Поэтому представляет интерес определение Mo, V, Ti, Hf, Zr, Nb, Ta в окиси иттрия на двухструйном плазматроне.

Для проведения анализа методом трех эталонов каждый стандарт, приготовленный осаждением и смешанный с графитовым порошком ОСЧ-7-4 в отно-

шении 1:1, фотографировали дважды. Внутренний стандарт-континуум вблизи аналитических линий. Градуировочные графики строятся в координатах $[lgC]$, $[lgC]$ (рис. 4).

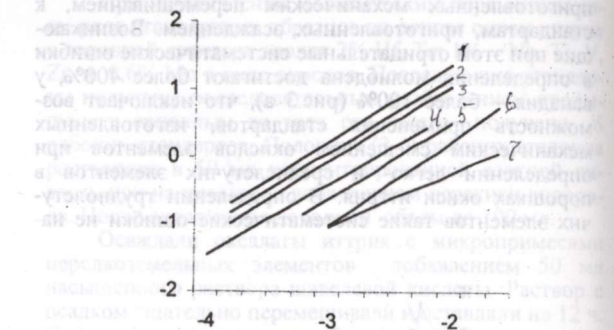


Рис.4. Градуировочные графики для определения содержания циркония, ванадия, титана, молибдена, ниобия, гафния и tantalа. 1 – Zr II 339,2; 2 – V 318,5; 3 – Ti II 337,1; 4 – Mo I 317,0; 5 – Nb II 316,3; 6 – Hf II 339,9; 7 – Ta 296,3 нм.

При оценке пределов обнаружения использовали способ "холостого" опыта, основанный на статической обработке результатов анализа окиси иттрия, не содержащей определяемого элемента. Предел обнаружения примесей (табл. 1) рассчитан по формуле:

$$lgC = [lg(X_{\text{хол}} + 3\sigma_{\text{хол}}) - lga]/b,$$

где $X_{\text{хол}}$ – среднее значение сигнала для холостого опыта, $\sigma_{\text{хол}}$ – среднее стандартное отклонение, b и lga – параметры градуировочного графика.

Из табл. 1 видно, что при прямом методе определения элементов на двухструйном плазматроне предел обнаружения в 15–50 раз ниже, чем при угольном и несколько ниже при химико-спектральном.

Таким образом, применение двухструйного плазматрона позволяет понизить предел обнаружения прямого количественного спектрального определения нередкоземельных элементов в окиси иттрия (табл. 2).

Таблица 1

Предел обнаружения $C \cdot 10^{-4}$

Элемент и аналитическая линия, нм	Данный метод	Прямой метод /11/	Коэф. обогащ., K=50
Ta I 296,3	13	200	8
Nb II 316,3	4,6	–	0,8
Zr II 339,2	1,6	–	0,2
Hf II 339,9	12	–	1
Ti II 337,1	–	100	0,2
V I 318,5	1,4	–	–
Mo I 317,0	1,7	–	0,08

Таблица 2

Относительные среднеквадратичные отклонения для анализированных элементов, рассчитанные из 12 параллельных определений "холостого" опыта

Элемент	lga	b	$X_{\text{хол}}$	$\sigma_{\text{хол}}$	$C \cdot 10^{-4}\%$
Ta	1,42	0,8	0,038	3,1	13
Nb	2,6	1	0,109	4,6	6
Zr	3,46	1,1	0,103	3,4	1,6
Hf	2,66	1,2	0,040	3,7	12
Ti	3,18	1	0,083	3,7	1,2
V	3,18	1	0,090	4,3	1,4
Mo	2,96	0,9	0,21	5,4	1,7

Установлено, что существует большая зависимость интенсивностей линий от направлений струй плазмы и от расхода рабочих газов на головках плазматрона.

Показана большая зависимость интенсивностей спектральных линий легко- и среднелетучих элементов от способа приготовления эталонов (механическим перемешиванием и осаждением). У труднолетучих элементов такая зависимость не наблюдается.

В качестве стандартов рекомендуется при определении легко- и среднелетучих элементов использовать порошки, изготовленные осаждением, а для труднолетучих элементов – простым смешиванием.

Разработаны методы прямого определения молибдена, ванадия, гафния, титана, ниobia и tantalа в окиси иттрия.

Литература

- Chilimov A., Engelst V.S., Zheenbaev Zh., Urmanbetov K. Spectral determination of rare-earth admixtures in Yttrium on two-Stream plasmatron // 7-International Conference on atomic Spectroscopy. – Praga, Czechoslovakia, 1977. – P.70.
- Chilimov A., Engelst V.S., Zheenbaev Zh., Rusanov A.K., Urmanbetov K. Spectrographic determination of hafnium, niobium, tantalum, thorium and zirconium by the two-stream plasmatron // VIII National conference on atomic spectroscopy With international participation. – Varna-Druzhva, Bulgaria, 1978. – P.142.
- Юделевич И.Г., Черевко А.С., Тагильцев А.П. Спектральный анализ геологических проб с использованием двухструйного плазматрона // Изв. СО АН СССР (серия хим. наук). – 1981. – Вып.2. – №4. – С.80-85.
- Измайлова Д.Н., Захария Н.Ф. Спектральное определение примесей в окиси иттрия // Укр. хим. журн. – 1968. – Т.34. – №1. – С.109–110.
- Горянская Г.П., Каплан Б.Я., Мерисов Ю.И., Назарова М.Г., Скрипкин Г.С. Химико-спектральное определение примесей в окиси иттрия // Зав. лаб. – 1972. – №11. – С.1315–1317.
- Слюсарева Р.Л., Кондратьева Л.И., Пейзулаев Ш.И. Химико-спектральное определение нередкоземельных примесей в иттрии и его окиси // Зав. лаб. – 1973. – №12. – С.1465–1468.
- Кузнецова А.И., Раихбум Я.Д. О расчете границ обнаружения элементов при спектральном анализе // Зав. лаб. – 1967. – №9. – С.1076–1079.
- Слюсарева Р.Л., Кондратьева Л.И., Пейзулаев Ш.И. Химико-спектральный анализ иттрия и его окиси на содержание примесей // Зав. лаб. – 1965. – №5. – С.557–559.

УДК 541. 49+541. 65 (575.2) (04)

Взаимодействие хлоридов кобальта и никеля с ацетамида в диметилсульфоксиде

К.Т.САЛИЕВА – науч. сотр. лаб. хим. и техн. благородных металлов ИХиХТ НАН КР.

Б.И.ИМАНАКОУНОВ – академик НАН КР, докт. хим. наук, проф., гл. ученый секретарь НАН КР.

Т.А.ТОКТОМАТОВ – док. хим. наук, зам. дир. по науке ИХиХТ НАН КР.

Д.Т.АЛТЫБАЕВА – канд. хим. наук, доцент, зав. каф. хим. ОшГУ.

В последнее время большое внимание исследователей было привлечено к координационной химии переходных металлов в неводных растворителях, что, несомненно, связано с широким развитием этой отрасли химии. Известно, что комплексообразующая способность ионов металлов зависит от свойств растворителей. Растворители смещают равновесия реакции, влияют на механизм реакции, выступают не только как среда, но и как непосредственный участник химического равновесия [1]. В настоящее время достаточно полно изучены процессы и продукты взаимодействия ацетамида и его производных с неорганическими солями в водных растворах. Сведения о взаимодействии ацетамида с солями металлов в неводных растворителях весьма незначительны. В связи с этим определенный научный интерес представляет изучение взаимодействия ацетамида с неорганическими солями в неводных протонных и аprotонных растворителях, т.е. в этиловом спирте и диметилсульфоксиде, выяснение взаимного влияния природы лигандов.

В данной работе изотермическим методом растворимости при 25°C впервые изучены взаимодействие хлорида кобальта и никеля с ацетамидом в среде диметилсульфоксида (ДМСО). Методики эксперимента описаны в работе [3, 4]. Результаты исследования тройной системы $\text{CoCl}_2\text{-CH}_3\text{CONH}_2\text{-}(\text{CH}_3)_2\text{SO}$, $\text{NiCl}_2\text{-CH}_3\text{CONH}_2\text{-}(\text{CH}_3)_2\text{SO}$ представлены в табл. 1 и 2.

Экспериментальные данные по системе $\text{CoCl}_2\text{-CH}_3\text{CONH}_2\text{-}(\text{CH}_3)_2\text{SO}$ характеризуются наличием трех ветвей кристаллизации. Первая ветвь (точки 1–8) соответствует выделению в твердую фазу кристалло-солватата состава $\text{CoCl}_2 \cdot 3(\text{CH}_3)_2\text{SO}$. Точка 9 является эвтонической, насыщенный раствор которой характеризуется следующим составом: CoCl_2 – 18,12%, CH_3CONH_2 – 23,58%, $(\text{CH}_3)_2\text{SO}$ – 58,30%. Вторая ветвь свидетельствует о кристаллизации из насыщенного раствора нового соединения состава $2\text{CoCl}_2 \cdot 3\text{CH}_3\text{CONH}_2 \cdot (\text{CH}_3)_2\text{SO}$ (точка 10–16). Концентрационные пределы растворов, из которых выделяются соединения, следующие: CoCl_2 – от 18,08% до 17,80%, CH_3CONH_2 – от 23,60% до 44,10%, $(\text{CH}_3)_2\text{SO}$ – от 58,32% до 38,14%. Состав соединения $2\text{CoCl}_2 \cdot$

$3\text{CH}_3\text{CONH}_2 \cdot 2(\text{CH}_3)_2\text{SO}$, найденный по диаграмме, хорошо согласуется с данными химического анализа.

Найдено, %: CoCl_2 – 43,70, CH_3CONH_2 – 29,80, $(\text{CH}_3)_2\text{SO}$ – 26,50, Вычислено, %: CoCl_2 – 43,78, CH_3CONH_2 – 28,87, $(\text{CH}_3)_2\text{SO}$ – 26,34.

Выделенное соединение в ДМСО растворяется инконгруэнтно. Третья ветвь (точки 19–22) соответствует кристаллизации из насыщенных растворов ацетамида.

Система $\text{NiCl}_2\text{-CH}_3\text{CONH}_2\text{-}(\text{CH}_3)_2\text{SO}$ (табл.2) состоит из трех ветвей кристаллизации. До концентрации в жидкой фазе NiCl_2 – 14,23%, CH_3CONH_2 – 18,30%, $(\text{CH}_3)_2\text{SO}$ – 67,42% из нее выделяется кристалло-солват состава: $\text{NiCl}_2 \cdot 3(\text{CH}_3)_2\text{SO}$. При этом растворимость NiCl_2 в ДМСО в присутствии ацетамида повышается от 4,88% до 14,23% (точки 1–6). Точка 7 является эвтонической, насыщенный раствор характеризуется следующим составом: NiCl_2 – 14,38%, CH_3CONH_2 – 18,20%, $(\text{CH}_3)_2\text{SO}$ – 67,42%. Затем из насыщенного раствора идет процесс кристаллизации нового инконгруэнтно растворимого соединения: $\text{NiCl}_2 \cdot \text{CH}_3\text{CONH}_2 \cdot (\text{CH}_3)_2\text{SO}$, который заканчивается при содержании компонентов в растворе NiCl_2 – 16,90%, CH_3CONH_2 – 51,00%, $(\text{CH}_3)_2\text{SO}$ – 32,10%. Третья ветвь (точки 17–22) отвечает выделению из раствора чистого ацетамида.

Состав соединений, установленный химическим анализом: NiCl_2 – 48,40%, CH_3CONH_2 – 22,20%, $(\text{CH}_3)_2\text{SO}$ – 29,40%, хорошо согласуется с теоретически рассчитанным: NiCl_2 – 48,57%, CH_3CONH_2 – 22,14%, $(\text{CH}_3)_2\text{SO}$ – 29,28%.

Соединения $2\text{CoCl}_2 \cdot 3\text{CH}_3\text{CONH}_2 \cdot 2(\text{CH}_3)_2\text{SO}$ и $\text{NiCl}_2 \cdot \text{CH}_3\text{CONH}_2 \cdot (\text{CH}_3)_2\text{SO}$ в воде и этиловом спирте хорошо растворяются, растворяются в ацетоне; не растворяются в бензоле, толуоле, четыреххлористом углероде и хлороформе. Плотность кристаллов $2\text{CoCl}_2 \cdot 3\text{CH}_3\text{CONH}_2 \cdot 2(\text{CH}_3)_2\text{SO}$ – 1,45 г/см³, $\text{NiCl}_2 \cdot \text{CH}_3\text{CONH}_2 \cdot (\text{CH}_3)_2\text{SO}$ – 1,55 г/см³. Проведены ИК-спектроскопические и термогравиметрические исследования выделенных соединений.

Таблица 1

Экспериментальные данные в системе $\text{CoCl}_2\text{-CH}_3\text{CONH}_2\text{-}(\text{CH}_3)_2\text{SO}$ при 25°C

№	Состав жидкой фазы, масс. %			Состав твердого "остатка", масс. %	Молекулярный состав кристаллизующей фазы
	CoCl_2	CH_3CONH_2	$(\text{CH}_3)_2\text{SO}$		
1	7,45	–	92,55	34,60	$\text{CoCl}_2 \cdot 3(\text{CH}_3)_2\text{SO}$
2	7,30	3,62	89,08	31,05	"
3	6,91	6,99	79,19	28,08	$\text{CoCl}_2 \cdot 3(\text{CH}_3)_2\text{SO}$
4	7,76	9,14	83,10	32,64	"
5	8,14	12,78	79,08	29,26	$\text{CoCl}_2 \cdot 3(\text{CH}_3)_2\text{SO}$
6	8,90	17,14	73,96	31,29	"
7	13,56	21,42	65,02	31,20	$\text{CoCl}_2 \cdot 3(\text{CH}_3)_2\text{SO}$
8	18,10	23,55	75,35	32,00	"
9	18,12	23,58	58,30	32,20	$\text{CoCl}_2 \cdot 3(\text{CH}_3)_2\text{SO} + 2\text{CoCl}_2 \cdot 3\text{CH}_3\text{CONH}_2 \cdot 2(\text{CH}_3)_2\text{SO}$
10	18,08	23,60	58,32	33,12	$2\text{CoCl}_2 \cdot 3\text{CH}_3\text{CONH}_2 \cdot 2(\text{CH}_3)_2\text{SO}$
11	17,56	25,90	56,54	32,05	"
12	17,06	29,05	53,89	35,87	$\text{CoCl}_2 \cdot 3(\text{CH}_3)_2\text{SO}$
13	16,52	32,64	50,84	35,15	"
14	16,35	36,58	47,07	35,40	$\text{CoCl}_2 \cdot 3(\text{CH}_3)_2\text{SO}$
15	16,54	39,40	44,06	34,25	"
16	17,86	44,00	38,14	36,21	"
17	17,80	44,10	38,10	26,78	$\text{CoCl}_2 \cdot 3\text{CH}_3\text{CONH}_2 \cdot 2(\text{CH}_3)_2\text{SO} + \text{CH}_3\text{CONH}_2$
18	18,27	44,13	37,60	19,64	"
19	17,93	44,10	37,97	1,42	CH_3CONH_2
20	12,70	43,80	43,50	0,45	"
21	7,13	43,95	41,79	0,55	"
22	–	44,96	55,04	–	"
				100,00	

Таблица 2

Экспериментальные данные в системе $\text{NiCl}_2 - \text{CH}_3\text{CONH}_2 - (\text{CH}_3)_2\text{SO}$ при 25°C

№	Состав жидкой фазы, масс. %				Состав твердого "остатка", масс. %	Молекулярный состав кристаллизирующей фазы
	NiCl_2	CH_3CONH_2	$(\text{CH}_3)_2\text{SO}$	NiCl_2	CH_3CONH_2	$(\text{CH}_3)_2\text{SO}$
1	4,88	-	95,12	35,27	-	64,73
2	4,32	4,33	91,35	22,14	1,65	76,21
3	5,02	6,04	88,94	23,48	2,36	74,16
4	6,10	9,40	85,50	22,02	4,13	73,79
5	9,25	13,82	76,93	24,60	5,70	69,70
6	14,23	18,30	67,47	25,70	8,28	"
7	14,38	18,20	67,42	30,05	13,10	56,85
8	14,30	18,35	67,35	33,78	20,50	$\text{NiCl}_2 \cdot 3(\text{CH}_3)_2\text{SO} + \text{NiCl}_2 \cdot \text{CH}_3\text{CONH}_2 \cdot (\text{CH}_3)_2\text{SO}$
9	14,20	20,25	65,55	32,05	21,20	46,75
10	13,65	25,04	61,31	33,17	23,40	43,43
11	13,96	30,12	55,92	36,20	25,95	37,85
12	14,62	35,05	50,33	36,20	26,90	37,00
13	15,45	42,08	42,47	37,23	28,95	33,82
14	15,90	46,25	37,85	38,15	29,80	32,05
15	15,90	51,00	32,10	37,80	31,95	30,25
16	16,80	50,95	32,25	27,14	52,10	20,76
17	16,82	51,14	32,04	6,48	81,12	12,40
18	14,28	48,98	36,74	4,02	85,60	10,38
19	10,62	46,98	42,40	0,95	95,40	3,65
20	7,34	46,05	46,61	0,42	97,15	2,43
21	4,05	45,46	50,49	0,32	96,40	3,28
22	-	44,96	55,04	-	100,00	-

Литература

- Гутман В. Химия координационных соединений в неводных растворах. – М.:Мир, 1971. – 220 с.
- Иманакунов Б.И. Взаимодействие ацетамида с неорганическими солями. – Фрунзе: Илим, 1972. – 158 с.

УДК 550.343.9 (235.21) (575.2) (04)

Исследование динамических свойств дымовой трубы ТЭЦ-2 г.Бишкек

М.П.КАМЧЫБЕКОВ – соискатель Института сейсмологии НАН КР.

Целью данной работы являлось определение экспериментальным путем периодов собственных колебаний, декремента затухания колебаний и реакции дымовой трубы ТЭЦ-2 г. Бишкек на внешние силы.

Дымовая труба ТЭЦ-2 г. Бишкек имеет следующие размеры и конструкционные особенности: высота 175 м, оболочка конической формы, выполненная из монолитного железобетона, $\rho=2.5 \text{ т}/\text{м}^3$; толщина сте-

- Салиева К.Т., Иманакунов Б.И., Токтоматов Т.А. Взаимодействие хлоридов никеля и марганца с ацетамидом в спиртовой среде. Деп.в ВИНИТИ 22.09. 1994 г. №2225. – В 94.

ки на отметке 0.00 м равна 55 см, на отметке 175 м – 30 см. Фундамент трубы имеет вид кольца, внутренний диаметр которого равен 16.60 м, наружный – 36.00 м, заложен на отметке 4.50 м от поверхности. Основанием под фундамент трубы служат валуно-галечники, мощностью 1300–1500 м, которые относятся к 8-балльной зоне по сейсмическому микрорайонированию [4].

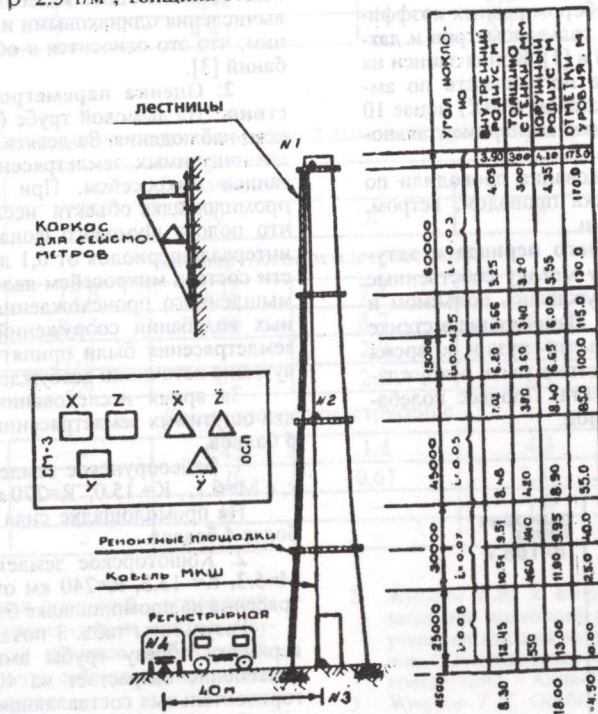


Рис. 1. Схема расположения ИС.

Аппаратура и инструменты для изучения сейсмических явлений в СССР – М. Издат., 1974.

Руководствуясь этими данными, было решено установить по высоте три пункта наблюдения по трем составляющим, соответствующим главным осям, а также на грунте в 25–40 м от трубы (рис. 1). При этом стремились получить как можно большую информацию при имеющихся для этого условиях.

Аппаратура для экспериментального исследования была выбрана на основе изучения шумового фона существующего на промплощадке объекта, который находился в интервале периодов от 0,1 с до 0,4 с. Так же учитывали теоретически рассчитанные периоды изучаемого объекта. На основе вышеперечисленных особенностей использовали инженерно-сейсмометрическую аппаратуру. В качестве сейсмоприемников применяли приборы СМ-3, работающие с гальванометрами типа ГБ-4-10 гц и ОСП + ГБ-4120 гц. Регистрировали соответственно осциллографы Н-10 и Н-041. Запись вели при развертке 10 и 40 мм/с. Отметки времени на фотобумаге наносили через гальванометр М002, который был подключен к секундному хронометру МХ-6.

Определение постоянных сейсмометрических каналов проводили поэтапно, подбором равных коэффициентов f_g, ag, Sg, asg, Ssg для гальванометров и датчиков по методике, изложенной в [1]. Копия записи на идентичность каналов показала погрешность по амплитудно-частотным характеристикам (АЧХ) менее 10 %, что соответствует требованиям экспериментально-го исследования.

Экспериментальные исследования проводили по следующим параметрам: оттяжка проводом, ветром, микросейсмами, землетрясениями.

1. Определение собственного периода и затухания колебаний. По первому методу собственные колебания дымовой трубы возбуждались подъемом и сбрасыванием груза массой 12 т. Напряжение в стенке трубы создавалось во время подъема груза и во время сбрасывания последнего, вследствие чего возбуждались свободные колебания объекта. Процесс колебаний фиксировался осциллограммой.

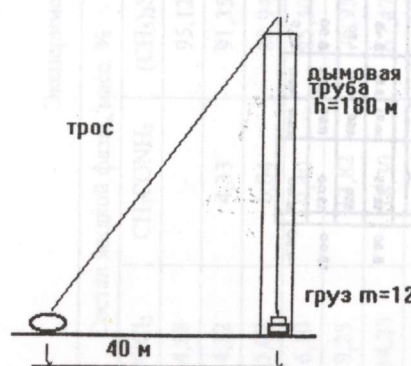


Рис. 2. Схема метода оттяжки проводом.

По остальным методам достаточно было малых воздействий, чтобы возбудить свободные колебания, так как труба размером $H \gg d$ (где H – высота, d – диаметр основания) установлена на упругой опоре.

Накопленный опыт показывает, что независимо от частот внешнего воздействия различные сооружения имеют собственный период колебания [2]. Для определения преобладающего периода колебаний были обработаны все осциллограммы. Измеряемый участок записи выбирали для одного и того же интервала времени.

В табл. 1 приведена краткая выборка преобладающих периодов колебаний изучаемых объектов на основе обработанных записей, полученных в ходе эксперимента.

Анализ данных показывает, что периоды собственных колебаний, вычисленные теоретическим путем, отличаются от экспериментальных: по первому тону на 23,4%, по второму – на 25,1%, третьему – на 0,4%.

По полученным осциллограммам было определено затухание колебаний дымовой трубы. Подсчет логарифмического декремента затухания колебания показал, что труба обладает сравнительно малым затуханием. Логарифмические декременты затухания колебаний, подсчитанные отдельно для горизонтальных составляющих колебаний, оказались в пределах вычисления одинаковыми и равными $G = 0,14$. Напомним, что это относится к области вынужденных колебаний [3].

2. Оценка параметров сейсмического воздействия. На дымовой трубе были проведены сейсмические наблюдения. За девять месяцев зарегистрировано два ощущимых землетрясения, а также произведены записи микросейсм. При изучении микросейсм на промплощадке объекта исследования было выявлено, что полоса шумового фона постоянно находится в интервале периодов от 0,1 до 0,4 с [4]. Эти особенности состава микросейсм являются следствием их промышленного происхождения. Для оценки вынужденных колебаний сооружений микросейсмы и слабые землетрясения были приняты как непрерывно действующие источники возбуждения (табл. 2, 3).

За время исследования было зарегистрировано два ощущимых землетрясения интенсивностью от 2 до 5 баллов.

1. Байсоорунское землетрясение 12 ноября 1990 г, с $M=6,1$, $K=15,0$, $R=270$ км от г. Бишкек.

На промплощадке сила землетрясения составила более 4 баллов.

2. Кошторское землетрясение 01.12.1990 г, с $M=5,3$, $K=13,5$, $R=240$ км от г. Бишкек. Сила землетрясения на промплощадке была оценена в 2–3 балла.

Результаты табл. 3 показали, что от основания к верхнему обрезу трубы амплитуда Z-компоненты постепенно возрастает на 40%. Значения ускорений горизонтальных составляющих (X и Y) имеют различные величины. Расхождения отношений по компонентам X и Y для Байсоорунского землетрясения достигают двухкратного размера. Количественные данные по этим же направлениям для Кошторского землетрясения примерно равны.

Количественная оценка собственных периодов колебания

Тип здания	Высота, м	Период		
		теоретический	экспериментальный	
		T1	T2	T3
Дымовая труба	180	1,3	0,34	0,17
		1,7	0,45	0,17

Таблица 1
75

Количественная характеристика колебаний по смещению

Высота установки, м	Z			Y			X		
	A (мм)								
$Y(t)$ – микроколебания									
175	0,0902	0,0307	0,0724						
85	0,0472	0,0119	0,0104						
Фундамент	0,001	0,0011	0,0011						
Грунт	0,001	0,0011	0,0011						
$Y(t)$ – смещения									
175	4,63	114,6	120,1						
85	2,87	18,3	21,0						
Фундамент	4,42	5,2	6,3						
Грунт	4,42	5,2	6,3						

Количественная оценка колебаний дымовой трубы по ускорению

Высота установки	P -волна, см/ s^2			S -волна, см/ s^2		
	Z	Y	X	Z	Y	X
Байсоорунское землетрясение						
175	12,0	3,46	7,4	19,3	22,1	21,7
85	8,65	2,00	3,7	16,6	17,0	19,1
Фундамент	5,6	–	2,9	5,4	12,6	7,8
Грунт	5,6	–	2,9	5,4	12,6	7,8
Кошторское землетрясение						
175	–	1,45	1,4	4,3	4,05	4,0
85	–	1,0	0,67	2,85	2,0	2,1
Фундамент	–	–	–	1,0	1,0	1,0
Грунт	–	–	–	1,0	1,0	1,0

- Из сравнения численных значений ускорений, полученных по двум землетрясениям, и соответствующих форм колебаний для пунктов наблюдений можно сделать вывод о том, что сейсмические сигналы на фундаменте не искаются.
- Таким образом, определение фактических собственных периодов колебаний дымовой трубы показывает увеличение запаса прочности.
- Жунусов Т.Ж. К вопросу определения характеристик затухания колебаний железобетонных конструкций и учета их влияния на реакцию зданий при землетрясении // Исследование сейсмостойкости сооружений и конструкций. – Алма-Ата, 1997. – № 9. – С.19.
- Жунусов Т.Ж. Особенности проектирования и строительства высотной гостиницы в Алма-Ате // Матер. Всесоюзн. совещ. 1976 г. Кишиневе / Совершенствование методов расчета и конструирования зданий и сооружений,озводимых в сейсмических районах. – Алма-Ата, 1976.
- Дүйшеналиев Ш.Д. и др. Оценка сейсмических характеристик площадки строительства ТЭЦ-2 г. Фрунзе. – Фрунзе, 1990.

Литература

- Аппаратура и методика сейсмометрических наблюдений в СССР. – М.: Наука, 1974.

УДК 556.167 (575.2) (04)

К вопросу совершенствования конструкции водозаборных сооружений для забора воды из поверхностных источников

К.Е.КАЛИЕВА – мл. науч. сотр. ИВП и ГЭ НАН КР.

Основными источниками питьевой воды в Кыргызской Республике являются поверхностные и подземные воды. Так, на балансе "Кыргызжилкоммунсоз" находятся и эксплуатируются 17 водозаборов, Республиканского объединения "Кыргыз-Айыл-Суу" – 27 водозаборов, дренаж подрусловой – 35 [1]. Многие сельские населенные пункты (поселки), не имеющие водопроводных систем, находятся в верховьях рек, где качество воды допустимо для использования в хозяйственно- бытовых целях. В настоящее время для питьевых нужд используют водозаборные сооружения берегового и русского типов [1].

Водозаборные сооружения берегового типа (рис. 1) представляют собой водозаборный колодец 1 с водопропускным отверстием 2. Передняя стенка колодца входит в русло реки [1-5]. Через водопропускное отверстие вода из реки поступает в колодец, откуда насосами 4 перекачивается в очистительные сооружения (отстойники и фильтры) системы водоснабжения. Водопропускные отверстия часто оснащаются решетками 3 в виде металлических сеток для улавливания плавников.

У водозаборных сооружений русского типа (рис. 2) водосборный колодец 1 находится в некоторой отдаленности от берега реки, а водоприемник 2 – в русле реки и соединяется с колодцем трубой 3 [1-5]. Прием воды в водоприемнике осуществляется через водопропускное отверстие 4, расположенное по торцу или сбоку водоприемника, и оснащается решеткой 5 в виде металлической сетки для улавливания плавников. Работает сооружение следующим образом: вода из приемника по трубе самотеком поступает в колодец, откуда насосами так же, как и в береговых сооружениях, перекачивается в очистительные сооружения системы водоснабжения.

Существующие водозаборные сооружения применяются в условиях, где сложно провести электроэнергию для насосных установок, а также при замене и ремонте насосов при их выходе из рабочего состояния.

В связи с изложенным выше в нынешних рыночных условиях, когда необходимо экономно использовать материальные средства и рационально использовать питьевые водные ресурсы с учетом местных условий, желательно применять предложенные конструкции водозаборных сооружений, принцип работы которых основан на самотечном заборе воды из подрусл и русел рек.

Места устройства предложенных водозаборных сооружений должны быть расположены выше населенного пункта по руслу реки с учетом самотечного поступления воды к потребителям. К таким конструкциям можно отнести усовершенствованные конструкции водозаборных сооружений (рис. 3-6), принцип работы которых основан на инфильтрационно-самотечной подаче воды из рек в систему водоснабжения.

Водозаборное сооружение (рис. 3) состоит из берегового гравийно-фильтрационного водоприемника 1, водосборного колодца 2 с водопропускными отверстиями 3, водозаборным 4, нанососбросным 5, сливным 6 трубопроводами. Работает сооружение следующим образом: речная вода, просачиваясь по гравийно-фильтрационному водоприемнику, через водопропускные отверстия поступает в водосборный колодец, затем по водозаборной трубе при открытой задвижке 7 самотеком – в систему водоснабжения. Сброс наносов, накапливающихся в колодце, осуществляется нанососбросной трубой (при открытой задвижке) в нижний бьеф. Слив излишков воды из колодца происходит по сливной трубе в нижний бьеф. Учет забираемой воды осуществляется водосчетчиком 8 (крыльчатым или турбинным), установленным на водозаборной трубе.

Водозаборное сооружение на рис.4 аналогично предыдущему, но отличается тем, что гравийно-фильтрационный водоприемник 2 вынесен в русло реки и соединен с водосборным колодцем с помощью трубы 4, по которому вода самотеком из гравийно-фильтрационного водоприемника поступает в колодец.

Инфильтрационно-самотечное (подрусловое) сооружение (рис. 5) предназначено для забора воды из рек со дна и откоса. Состоит из донно-откосной дырячатой водоприемной трубы 1, водосборного колодца 2, оснащенного водозаборным, нанососбросным, сливным трубопроводами. Работает следующим образом: вода из реки, просачиваясь через гравийную отсыпку над дырячей трубой, поступает к ней и затем проходит в водосборный колодец, откуда по водозаборной трубе при открытой задвижке – в водопроводную сеть. Наносы, проходящие и накапливающиеся в колодце, сбрасываются нанососбросной трубой в нижний бьеф. Учет воды, как и в предыдущих сооружениях, производится водосчетчиком (крыльчатым или турбинным), установленным на водозаборной трубе. Слив излишков воды из колодца осуществляется сливной трубой, соединенной с нанососбросной трубой.

Известия НАН КР, 1999, № 3-4

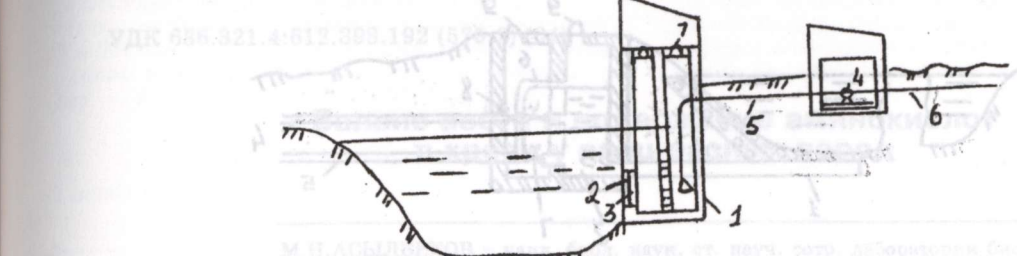


Рис. 1. Водозаборное сооружение берегового типа:
1 – водозаборный колодец; 2 – водопропускное отверстие; 3 – решетка; 4 – насос;
5 – всасывающая труба; 6 – водопровод; 7 – люк.

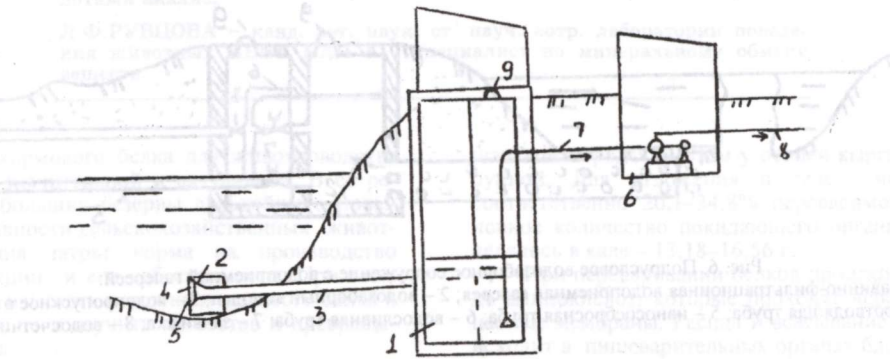


Рис. 2. Водозаборное сооружение русского типа:
1 – водозаборный колодец; 2 – водоприемник; 3 – водопроводящая труба; 4 – водопропускное отверстие;
5 – решетка; 6 – насосная станция; 7 – всасывающая труба; 8 – водовод; 9 – люк.

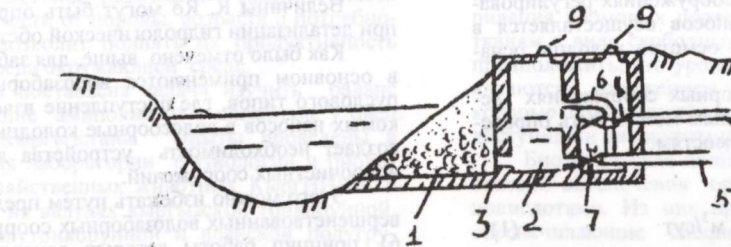


Рис. 3. Береговой водозабор с гравийно-фильтрационным водоприемником:
1 – водоприемник; 2 – сборный колодец; 3 – водопропускное отверстие; 4 – водозаборный трубопровод;
5 – нанососбросной трубопровод; 6 – сливной трубопровод; 7 – задвижка; 8 – водосчетчик; 9 – люк.

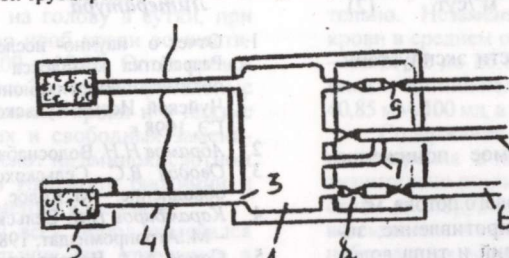


Рис. 4. Русский водозабор с гравийно-фильтрационным водоприемником и водопроводящей трубой:
1 – водозаборный колодец; 2 – водоприемник; 3 – водопропускное отверстие; 4 – водопроводящая труба;
5 – нанососбросная труба; 6 – водоотводящая труба; 7 – водосливная труба; 8 – задвижка; 9 – водосчетчик.

Концентрация заменимых аминокислот изменилась несколько по-иному: наибольшее количество до кормления у особей кыргызской тонкорунной породы (63,28 мкМ/100 мл), у алайской и тяньшанской было соответственно 47,64 и 53,87 мкМ/100 мл.

Таблица 1

Принято	Выделилось			Переварилось		Отложилось	
	в кале	в моче	всего	г	в % от принятого	г	в % от принятого
Кыргызская тонкорунная							
30,12	13,56	7,38	23,94	13,56	45,00	6,18	20,59
Тяньшанская							
31,66	14,99	6,41	21,40	16,67	52,60	10,26	32,40
Алайская							
28,97	13,18	5,71	18,19	15,79	54,50	10,08	34,80

В процессе обмена веществ у особей кыргызской тонкорунной породы наблюдались наиболее резкие колебания их концентраций (63,28–44,38 мкМ/100 мл), у алайской эти различия были несколько меньше (56,82–46,64 мкМ/100 мл), у тяньшанской – еще меньше (с 53,87 до 42,79 мкМ/100 мл).

Таблица 1

Обмен азота у овец, г

Таблица 3

Аминокислота	Кыргызская			Алайская			Тяньшанская						
	Кровь	Плазма	Кровь	Плазма	Кровь	Плазма	Алайская	Через 3 час.	Через 5 час.	До кормл.	Через 3 час.	Через 5 час.	Среднее
Незаменимые													
Лизин	11,57	3,54	10,88	4,07	11,43	4,56	4,64	3,04	2,16	4,09	5,02	3,62	4,24
Лейцин	23,89	6,02	23,99	6,09	21,98	7,06	3,62	2,42	1,62	2,55	3,74	3,92	3,53
Изолейцин	0,54	0,91	0,55	1,00	0,60	1,26	2,33	2,00	1,26	1,94	2,11	2,14	3,17
Фенилаланин	9,68	2,14	9,84	2,18	8,63	2,44	7,75	4,86	8,05	10,46	9,15	6,59	8,73
Валин	10,07	2,56	10,50	2,97	9,56	3,44	1,27	0,72	1,27	2,94	3,12	2,03	2,70
Тreonин	—	—	—	—	—	—	—	—	—	—	—	—	—
Метионин	1,16	0,32	1,05	0,35	1,29	0,41	0,43	—	0,14	0,48	0,54	0,34	0,74
Гистидин	9,91	1,43	9,75	1,40	10,28	1,57	1,36	1,64	1,64	1,91	1,96	2,00	2,33
Аргинин	3,91	1,52	4,18	1,65	3,49	1,96	5,28	1,50	8,29	5,02	2,90	4,34	5,05
Сумма	70,73	21,62	70,74	23,56	67,26	26,89	—	—	—	—	—	—	—
Заменимые													
Аспарагиновая	16,67	5,09	14,37	5,53	16,15	6,08	0,80	1,37	1,06	—	—	0,86	0,63
Глутаминовая	13,75	6,71	14,12	7,61	12,32	7,81	3,72	2,93	3,43	4,64	2,75	3,35	2,24
Пролин	7,64	3,29	7,65	3,80	6,75	3,97	2,28	2,19	2,04	1,94	1,97	2,21	1,94
Серин	—	—	—	4,61	—	4,81	6,88	7,11	7,97	7,32	5,90	9,36	7,86
Аланин	—	—	—	4,29	—	4,89	3,09	1,79	2,34	2,41	3,02	3,47	3,30
Тирозин	2,79	1,63	2,00	1,90	2,63	2,24	44,08	29,66	27,58	33,77	31,15	30,99	28,76
Глицин	—	—	—	3,09	—	3,30	2,21	2,58	—	1,60	0,99	2,28	1,06
Сумма	40,85	27,26	38,14	30,83	37,85	33,10	63,28	47,23	44,38	51,63	47,64	46,64	48,37
Прочие аминокислоты													
Цистein	1,03	0,99	1,64	1,22	0,97	0,53	1,02	0,99	1,22	0,97	0,53	1,75	0,94
Таурин	3,60	2,72	1,57	2,63	2,95	2,12	2,08	2,21	2,05	21,22	25,71	26,32	3,24
Глутамин	21,69	21,46	23,00	22,05	21,22	25,71	24,42	24,17	24,42	—	—	—	2,02
Цитрулин	15,58	12,24	9,24	12,35	12,30	14,14	8,67	11,70	13,34	—	—	—	1,95
Этаноламин	12,32	22,65	12,85	15,94	18,12	22,55	18,94	9,54	12,66	18,86	13,69	13,69	13,69
Орнитин	5,80	2,50	2,98	3,76	4,50	4,32	4,08	4,32	4,32	—	—	—	4,09
Сумма	60,02	62,56	51,28	57,95	60,06	62,96	64,78	62,60	55,55	49,08	68,46	57,71	57,71
Уреиды (мочевина)	94,95	83,80	92,26	90,34	100,72	118,01	106,86	108,53	95,72	98,02	121,48	105,07	105,07

Содержание свободных аминокислот в плазме у взрослых овец разных пород, мкМ/100 мл, п = 3

Таблица 2

Содержание аминокислот в цельной крови и плазме у взрослых овец разных пород, мМ/100 мл, п = 3

Аминокислота

Кровь

Плазма

Кровь

Прочие аминокислоты и амиды содержатся в плазме до кормления в количестве 60,02–60,06; 55,51 мкМ/100 мл соответственно по породам. Кроме того, в плазме крови концентрация мочевины составила 94,95; 100,72 и 95,72 мкМ/100 мл. В процессе обмена веществ ее количество изменяется значительно всего у овец тяньшанской породы.

Таким образом, у овец всех пород наблюдался положительный баланс азота и большие отложения его в организме, особенно у овец алайской и тяньшанской пород. Обнаружены различия в концентрациях в

крови и плазме незаменимых и заменимых аминокислот в зависимости от пород.

Литература

- Абдымаилов К.А. Вопросы интенсификации отгонного животноводства. – Фрунзе: Кыргызстан, 1975.
- Градусов А.Н. Усвоемость аминокислот. – М.: Колос, 1979.
- Браунштейн А.Е. Биохимия аминокислотного обмена. – М.: Изд-во АН СССР, 1949.

УДК 616-009: 612. 133: 661.1 (575.2) (04)

Влияние производственного стресса на уровень артериального давления и его коррекция

А.К.БЕКБОЛОТОВА – канд. биол. наук, ст. науч. сотр. ИФ и ЭПВ НАН КР, автор 60 научных работ в области патофизиологии.

Г.А.ЗАХАРОВ – докт. мед. наук, зав. лаб. ИФ и ЭПВ НАН КР, патофизиолог, автор 3 монографий и более 160 научных работ.

В условиях научно-технического прогресса и освоения сложного характера производственного труда, наряду с ростом его производительности и эффективности, возрастает частота социально детерминированной патологии, как проявление перенесенного стрессового состояния. Одной из форм стрессорной патологии является нейроциркуляторная дистония сосудистого тонуса, протекающая в виде гипер- или гипотензии [1–3].

При лечении гипертонической болезни в качестве гипотензивного препарата нашел широкое применение гемитон. По данным И.Д.Богатырева [4], хороший лечебный эффект после 30-дневного лечения гемитоном получен у 89 из 125 больных. Аналогичные результаты наблюдал А.Н.Герасимов [5]. Гемитон является эффективным гипотензивным препаратом с широким диапазоном терапевтического действия [4]. Снижение артериального давления у больных гипертонической болезнью под влиянием гемитона связано как со снижением общего периферического сопротивления, так и с уменьшением сердечного выброса [6].

Целью настоящей работы явилось изучение распространенности артериальной гипертонии (АГ) и гипотонии у рабочих стекольного завода и оценка влияния гемитона на гемодинамические показатели у лиц с повышенным артериальным давлением на фоне производственного стресса.

Производственный стаж рабочих – от 3 до 6 лет, а возраст – от 33 до 40 лет. Основные профессии: поставщики шихты, дробильщики и сушильщики сырья, транспортировщики, просевщики, крановщицы, слесари, электрики. Стressорные (вредные) факторы, влияющие на организм у лиц этих профессий, –

окись кремния, сода, доломит – раздражители верхних дыхательных путей, а также шум, который превышает допустимые нормы при сушке доломита в смесителях и вибрация.

Систолическое и диастолическое артериальное давление определяли (дважды) по методу С.Н.Короткова, агрегацию тромбоцитов – микрометодом [7].

Стресс (любая его форма) сопровождается изменением микроциркуляторно-гемостатического коррелята, который можно обнаружить, определяя агрегационную активность тромбоцитов [8, 9]. Как видно из табл. 1, массовое обследование рабочих стекольного завода, работающих в двух цехах с экстремальными условиями, позволило выявить лиц с нейроциркуляторной дистонией гипер- и гипотензивного типа. В составном цехе, где стрессирующим фактором является высокая температура (до +45° – +50°C), обнаружена гипертония у 13 (было обследовано 100 человек), гипотония – у 10 (10%) человек, а в машинно-ванном цехе, где стрессирующими факторами явились шум и вибрация, обследовано 104 человек, из них гипертоников было 10 (9.6%), гипотоников – 22 (21%).

После выделения групп лиц с повышенным и пониженным артериальным давлением (АД) исследованы микроциркуляторный гемостаз крови. Время и максимальная агрегация кровяных пластинок у гипертоников машинно-ванного цеха не сильно отличались от нормы (4±1 против 5±2 мин и 31±5 против 23±7%), а время дезагрегации было одинаковым (9±3 против 9±2 мин). У гипотоников агрегация тромбоцитов была более выраженная (44±4 против 23±7%) и время дезагрегации было удлиненным (12±2 против 9±2 мин).

Это предполагает, что нейроциркуляторная гипотония, как последствие теплового стресса, сопровождается повышенной склеиваемостью тромбоцитов, что прогнозически нежелательно (в смысле опасности тромбообразования).

Микроциркуляторный гемостаз у гипер- и гипотоников составного цеха показал (табл. 1), что по степени агрегации тромбоцитов гипертоники не отличались от нормотоников (34±5 против 32±5%), а у гипотоников агрегация была более выраженной (45±3 против 32±5%).

Таким образом, в обследуемых цехах (машиннованный и составной) стекольного завода г. Токмака, где превалирует действие таких экстремальных факторов, как шум, вибрация, высокая температура, детерминируют у определенной части рабочих гипертензивные и гипотензивные нарушения сосудистого тонуса, и эти патологические последствия сопровождаются нарушением микроциркуляторного гемостаза, а именно повышением агрегационной активности тромбоцитов. Без надлежащей социальной профилактики и медикаментозного лечения как гипертония, так и гипотония могут перейти в стабильную стадию.

Таблица 1

Изменение показателей артериального давления и функции тромбоцитов у рабочих на фоне производственного стресса

Группа людей	п	Обслед., %	АДс, мм. рт. ст.	АДд, мм. рт. ст.	Агрегация тромбоцитов, %	Время, мин	
						агрегации	дезагрегации
<i>Машинно-ванный цех</i>							
1. Нормотоники	72	68,5	119±2	77±3	23±7	5±2	9±2
2. Гипертоники	10	9,6	140±2 ^{xx}	90±3 ^x	31±5	4±1	9±3
3. Гипотоники	22	21	100±0,5 ^{xx}	63±1 ^{xx}	44±4 ^x	6±0,9	12±2
<i>Составной цех</i>							
1. Нормотоники	77	77	119±2	75±4	32±5	2±0,7	12±2
2. Гипертоники	13	13	143±3 ^{xx}	89±3 ^x	34±5	2±0,6	9±0,3
3. Гипотоники	10	10	101±1 ^{xx}	60±1 ^{xx}	45±3 ^x	2±0,3	7±3

^x – p < 0,05; ^{xx} – p < 0,01 достоверны по сравнению с нормотониками.

Таблица 2

Изменение артериального давления у лиц с АГ при лечении гемитоном (n = 10)

Показатель	АДс, мм. рт. ст.	АДд, мм. рт. ст.
I. До лечения	142±3	94±3
II. При лечении, день		
1-й	140±2	92±2
2-й	133±4	89±2
3-й	128±2 ^{xx}	88±2
7-й	127±2 ^{xx}	87±2
8-й	126±2 ^{xx}	85±2 ^x
12-й	125±3 ^{xx}	83±2 ^x
14-й	124±2 ^{xx}	83±2 ^x
16-й	123±2 ^{xx}	81±1 ^{xx}
18-й	124±1 ^{xx}	80±2 ^{xx}
III. Через 1,5 месяца после лечения	132±3	84±3 ^x
IV. Через 2 месяца после лечения	127±2 ^{xx}	80±2 ^{xx}

^x – p < 0,05 ^{xx} – p < 0,01 достоверность различий по сравнению с данными до лечения гемитоном.

В качестве гипотензивного препарата применяли гемитон три раза в сутки в течение 18 суток. Под нашим наблюдением находилось 10 больных I и II А стадии, со стажем работы в экстремальных цехах от 3 до 6 лет. Как видно из табл. 2, уже с 3-го дня лечения гемитоном уровень артериального давления достоверно снизился ($\frac{128 \pm 2}{87 \pm 2}$ против $\frac{142 \pm 3}{94 \pm 3}$, $p < 0,001$), к 12 дню он нормализовался ($\frac{125 \pm 3}{83 \pm 2}$ мм рт. ст.). В течение полутора – двух месяцев после прекращения лечения артериальное давление находилось в пределах нормы ($\frac{132 \pm 3}{84 \pm 3}$ и $\frac{127 \pm 2}{80 \pm 2}$ мм рт. ст.).

Функциональное состояние (агрегация) тромбоцитов у лиц с повышенным артериальным давлением после лечения гемитоном не изменилось (42 ± 3 против 46 ± 3 до лечения). Время агрегации и дезагрегации после лечения гемитоном оставалось таким же, каким оно было до лечения (3 ± 1 и 7 ± 2 против $3 \pm 0,6$ и 8 ± 1 мин после лечения). Это, может быть, связано с достаточной мобилизацией противосвертывающей системы крови, особенно с повышением фибринолиза и содержанием уровня гепарина [10]. Вероятно, поэтому лечение гемитоном не оказывало влияния на агрегацию тромбоцитов.

тромбонитов.

Таким образом, обследованием рабочих, занятых физическим трудом в "экстремальных цехах" (машинно-ванный и составной), установлено наличие высокого процента выявления гипертонии и гипотонии, что должно рассматриваться как патологическое последствие производственного стресса и результат воздействия ряда стрессорных факторов (шума, вибрации, высокой температуры и т. д.).

При этом, если гипертонический тип последствий производственного стресса сопровождается умеренным изменением агрегационной активности тромбоцитов, то гипотонический, наоборот, — гиперагрегацией тромбоцитов, и это должно настораживать врачей, так как впоследствии у этих рабочих увеличивается вероятность возникновения тромбов с соответствующими последствиями.

составляющими последствиями.

В результате лечения гемитоном ранних стадий гипертонической болезни (10 человек) в условиях профилактория без отрыва от производства как систолическое, так и диастолическое артериальное давление снизилось до нормы. Эффективность гемитонотерапии вне стационарных условий оказалась высокой, так как нормотензия после прекращения дачи препарата сохраняется довольно длительно. При этом у этих лиц сохраняются высокая работоспособность и хорошее самочувствие.

Литература

1. Алиев М.А., Лемешенко В.А., Бекболотова А.К. Особенности артериальной гипертонии и изменения тромбоцитарно-сосудистого гемостаза у мигрирующих в горах чабанов //Кардиология. – 1993. – № 11. – С. 64 – 65.
 2. Алиев М.А., Лемешенко В.А., Бекболотова А.К. Сосудистая простациклиновая реакция и тромбоцитарная дезагрегация при различных уровнях артериального давления в популяциях чабанов высокогорья //Физиология человека. – 1994. – № 5. – С. 161–165.
 3. Бекболотова А.К., Алиев М.А., Лемешенко В.А., Татыбасев А. Стressорные изменения кардиогемодинамики у чабанов, мигрирующих и зимующих в горах //Патол. физиол.и эксперим. терапия. – 1997. – № 4. – С. 15–18.
 4. Богатырев И.Д. Заболеваемость и лечебно-профилактическое обслуживание промышленных рабочих. – М.: Медгиз, 1982. – 18 с.
 5. Герасимов А.Н. Заболеваемость и оздоровительные мероприятия на производстве. – Новосибирск: Профиздат, 1986. – 55 с.
 6. Дворкин А.Н. Профилактика производственного травматизма. – М.: Медицина, 1985. – 39 с.
 7. Балуда В.П., Чекалин С.И., Сукиевич Г.Н., Токарев О.Ю. Микрометод определения агрегации тромбоцитов в цельной крови //Лаб. дело. – 1976. – № 11. – С.653–656.
 8. Лемешенко В.А., Бекболотова А.К., Алиев М.А. Фактор активации тромбоцитов и микроциркуляторный гемостаз в условиях экологических и экспериментальных стрессов //Система микроциркуляции и гемокоагуляции в экстремальных условиях. – Фрунзе, 1990. – С.204–207.
 9. Захаров Г.А., Новикова Н.П. Влияние высокогорья на изменение гемокоагуляции при длительном введении норадреналина //Авиакосмич. и экол. медицина. – 1996. – № 2. – С. 183–185.
 10. Исабаева В.А. Система свертывания крови и адаптация к природной гипоксии. – Л.: Наука, 1983. – 151 с.

ТОЧКА ЗРЕНИЯ

Движение рабочей силы в переходный период в Кыргызской Республике

А.А.КОЧЕРБАЕВА – канд. эк. наук, КРСУ.

Под внешним движением кадров обычно понимается совокупность всех случаев поступления на предприятие извне (по организованному набору, в индивидуальном порядке, по направлению в связи с окончанием учебного заведения, по переводу с других предприятий и др.) и всех случаев выбытия за пределы предприятия (в связи с уходом на учебу, в армию, на пенсию, а также увольнения, относимые в отчетности в рубрику "по собственному желанию").

Движение кадров в отраслях экономики по всем основным направлениям носит прогнозируемый государством характер, регулируется им. Однако в определенной части, особенно в условиях рыночной экономики, процесс межотраслевого движения кадров протекает стихийно. Спонтанное движение кадров между предприятиями, отраслями, районами и т.д. в отличие от регулируемого перемещения рабочей силы в экономике носит название "текущести кадров". Движение кадров состоит из таких процессов, как повышение в должности или квалификации, когда служащий замещает более высокую должность, а рабочий получает новый разряд; перемещение, когда работник переводится на другое равноценное рабочее место (цех, отдел, служба) в силу производственной необходимости или изменения характера труда; понижение, когда в связи с изменением его потенциала работник переводится на более низкую должность или по результатам аттестации на более низкий разряд для рабочего; увольнения с предприятия, когда работник полностью меняет место работы в связи с неудовлетворенностью условиями труда или несоответствия занимаемому рабочему месту.

Экономическое содержание движения кадров в переходный период к рыночным отношениям состоит в прогнозируемом размещении экономически активного населения по родам деятельности и соединении рабочей силы со средствами производства.

Современный этап развития нашего общества характеризуется рядом качественных особенностей, которые обуславливают возрастание подвижности рабочей силы, что требует решения важных задач в области регулирования этими процессами.

Нет оснований сомневаться в том, что на процессы движения рабочей силы в возрастающей степени влияют приватизация государственных предприятий, ликвидация убыточных и низкорентабельных производств, малоэффективных рабочих мест в результате инвентаризации оборудования и списания устаревшей и изношенной части; структурная перестройка произ-

**рабочей силы
Кыргызской Республике**

Чем интенсивнее происходит движение рабочей силы, тем активнее трудовые ресурсы перемещаются между предприятиями и тем проще работодателю адаптировать структуру занятых к изменениям спроса на свою продукцию. При этом повышается и адаптационный потенциал работников, готовых и могущих приспосабливаться к меняющейся ситуации на рынке труда. Следует отметить, однако, что и высокой, и низкой мобильности кадров в рыночной экономике присущи как положительные, так и отрицательные стороны. Высокая мобильность рабочей силы облегчает перелив трудовых ресурсов и адаптацию предприятий к современным условиям хозяйствования. Однако частая смена места работы сопровождается потерей работниками специальных профессиональных навыков и увеличивает трансакционные издержки рынка труда. Если работники, на подготовку которых затрачены значительные средства, склонны легко менять место работы, то у работодателей появляется естественное стремление сэкономить на обучении, что вызывает кризисные явления в системе подготовки кадров. Кроме того, увеличение продолжительности поиска работниками новых мест работы обуславливает рост выплат из фонда занятости.

К преимуществам низкой мобильности, т.е. длительной трудовой карьеры на одном и том же предприятии, можно отнести долгосрочную заинтересованность работников в делах предприятия, усиление мотивации труда, а также дополнительные стимулы к повышению квалификации. Но в таком случае ухудшаются возможности адаптации работников внешним воздействиям, что, в свою очередь, стимулирует сегментацию занятости, в результате чего лишь одна — периферийная — группа работников будет нести все тяготы адаптации, а преимущества гарантированной занятости достанутся другим.

Движение рабочей силы представляет собой важный компонент трудовой мобильности. Через оборот рабочей силы измеряется движение индивидов между рабочими местами независимо от того, являются ли эти рабочие места новыми, действующими (и, следовательно, заполненными) или они ликвидируются.

Получение индивидом работы можно назвать наймом, а разрыв договора с работодателем – увольнением.

Увольнения, независимо от причины, могут означать переход на другую работу, присоединение к экономически неактивной части населения или потерю работы и приобретение статуса безработного. Наим может быть направлен на замещение уволенных, заполнение существующих вакансий или вновь созданного рабочего места.

В соответствии с исходным определением *оборот рабочей силы* представляет собой сумму наймов и увольнений, произошедших в течение определенного периода времени, чаще всего в течение года. Он является мерой общего перераспределения труда, а абсолютное значение разности между нанятыми и уволенными отражает итоговые изменения в занятости. Данные показатели могут рассчитываться как процентные отношения к среднегодовой занятости.

В середине 90-х годов движение рабочей силы на предприятия Кыргызстана заметно усилилось. Ежегодный уровень выбытия составлял 24,7–22,1 %, а найма – 16,3–17,6 % от среднесписочной численности. Таким образом, суммарный оборот (сумма коэффициентов найма и увольнений) достигал 41–39,7 % в год. В 1995–1996 гг. наблюдался "всплеск" интенсивности как притока (найма), так и оттока (увольнений) рабочей силы.

Приведенные показатели оборота (найма и увольнений) занижены. Причинами занижения являются:

малые частные (новые) предприятия не учитываются статистической отчетностью по движению рабочей силы; известно, что интенсивность ее оборота тесно коррелирует с формой собственности, возрастом и размерами предприятия. Поэтому, чем выше доля малых предприятий в общей занятости, тем больше недооценка оборота кадров. Если считать, что оборот в частном секторе вдвое выше, чем в государственном или приватизированном, то показатель интенсивности оборота рабочей силы для всей экономики будет равен примерно 60 % в год. Например, в Польше, оборот в частном секторе составляет 72 % по сравнению с 36 % в госсекторе;

широкое распространение двойной занятости. Нередко работник продолжает формально числиться на неблагополучном предприятии, но в действительности трудится в другом месте. В первом случае не фиксируется фактическое расторжение отношений занятости, во втором – их заключение. Следовательно, отчеты предприятий далеко не всегда отражают увольнение или перемещение работника с одного места работы на другое.

Таким образом, фактическая мобильность рабочей силы значительно выше, чем формально регистрируемая. При этом общий социально-экономический фон, по-видимому, несколько сдерживает интенсификацию оборота рабочей силы. Затяжная и глубокая депрессия, сопровождающаяся сокращением занятости, способствует уменьшению добровольного выбытия и привлечению новой рабочей силы. Кроме того, сохраняются институциональные преграды для межрегиональной миграции.

Показатели найма и увольнения на предприятиях неполностью отражают направления трудовых потоков и особенности перераспределения трудовых ресурсов. На них оказывают влияние занятость на малых

предприятиях. В строительстве, торговле, сфере услуг доля малых фирм в занятости весьма велика, а поэтому оборот рабочей силы в них более интенсивен.

Значительный чистый отток работников (увольнения минус найм) с предприятий при небольших масштабах роста безработицы может означать перемещение рабочей силы на малые предприятия. Это отчасти подтверждается наличием статистически значимой корреляции между долей малых предприятий в общей занятости, с одной стороны, и уровнем выбытия и чистым оттоком работников в регионе, – с другой.

Показатели оборота рабочей силы значительно варьируют по отраслям, что отражает перераспределение трудовых ресурсов из отраслей, где происходит спад производства в растущие отрасли. Однако отмечается также и перераспределение работников между разными профессиональными группами, например, между рабочими и специалистами или между квалифицированными и неквалифицированными рабочими. В нынешних условиях предприятия нанимают главным образом либо высококвалифицированных рабочих, либо низкоквалифицированных рабочих, имеющих определенные профессии и навыки, на низкооплачиваемую работу. В числе последних встречаются немало выпускников средних специальных и высших учебных заведений, чему способствует политика местных властей, стремящихся любой ценой остановить рост безработицы среди молодежи. Что же касается увольнений, уровень оттока среди рабочих вдвое выше, чем среди руководителей, специалистов и служащих. При этом доминируют увольнения по собственному желанию, хотя увольнения работников по собственному желанию часто являются замаскированной формой "выдавливания" работников с предприятий. Вариация в коэффициентах оттока работников свидетельствует о существенных различиях между профессионально-квалификационными группами с точки зрения их адаптации и поведения на рынке труда.

Движение рабочей силы в Кыргызстане имеет явную региональную специфику. Число увольнений по регионам республики в 1998 г. варьировало от 2,7 тыс. в Нарынской области до 3,9 тыс. человек в г.Бишкек, а число найма находилось в интервале соответственно – от 2,2 тыс. до 34,4 тыс. человек. К регионам с наименьшим оборотом рабочей силы относятся, в частности, не только Нарынская, но и Таласская области, ориентированные преимущественно на развитие сельского хозяйства. В группу регионов с наибольшей мобильностью рабочей силы относятся, кроме г.Бишкек, Чуйская, Ошская и Джалаал-Абадская области.

На оборот рабочей силы влияют также такие факторы, как оборот рабочих мест, движение работников внутри фиксированного набора рабочих мест. Оборот рабочей силы включает заполнение действующих рабочих мест и их освобождение, а также приток на вновь создаваемые и отток с ликвидируемых рабочих мест. Таким образом, оборот рабочей силы представляет собой сумму всех перемещений, охватывающих как действующие рабочие места, так и сумму изменений в числе рабочих мест, т.е. сумму изменений в занятости, измеренной на уровне отдельных предприятий в течение определенного периода

времени (календарного года). Другими словами, это сумма вновь созданных рабочих мест на предприятиях, увеличивших общую занятость, и ликвидированных рабочих мест на предприятиях, сокративших ее. Отношение оборота рабочих мест к обороту рабочей силы показывает, в какой степени динамика рабочих мест влияет на мобильность рабочей силы, а в конеч-

ном счете – на ситуацию на рынке труда и занятость населения. Их расчет и анализ позволяют более целенаправленно регулировать процессы движения рабочей силы, в том числе межотраслевого и территориального перераспределения трудового потенциала общества.

Термодинамика и формирование синергетической парадигмы современного мировоззрения

К.М. АЛИЕВА – канд. хим. наук, доцент КГНУ.

А.И. ТИШИН – докт. филос. наук, проф. КГНУ.

Б.И. ИМАНАКУНОВ – акад. НАН КР, проф.

Современное познание мира – природы, социума и сознания – развивается в условиях обновления фундаментальных принципов, создания тезауруса новых понятий и преобразования всего концептуального аппарата науки. Важнейшим результатом эволюции научных взглядов выступает феномен самоорганизации [1–3]. Весомый вклад в анализ самоорганизации различных систем внесли химическая термодинамика, кинетика нелинейных процессов и автокаталитических реакций; взаимодействие открытых, неравновесных, неоднородных систем; возникновение диссипативных, фрактальных и атTRACTорных структур и т.д.

Научное направление, концептуально-методологический подход, учение, теория о *самоорганизации сложных*, т.е. неравновесных, нелинейных и стабильных через неустойчивости открытых систем, получило название *синергетики*. В ней принципы эволюционизма приобретают универсальный характер. Поэтому часто говорят об эволюционно-синергетических принципах. На их основе ныне разработаны теория экономической динамики и социальной эволюции, теория и этика рыночного порядка, теория революционной эпистемологии, представления "деловой стратегии", системно-эволюционная концепция экономического прогресса, нелинейные эволюционные модели экономики, моделирование естественного и искусственного интеллекта и многое другое. Это свидетельствует о том, что формирующиеся методы синергетики ведут к переосмыслению не только естественных: от космологии до геологии, от физики и химии до биологии и нейропсихологии, но и гуманистических, социальных наук. Синергетика по – новому подходит к самоорганизации общности людей и к решению проблем самоорганизации человека как существа триединого – природного, социального и сознательного (духовного).

Цивилизация рубежа второго и третьего тысячелетий приобретает своеобразное мировоззрение. Оно позволяет начать и продолжить диалог "человек – природа", создать единую картину мира и сохранить целостность природы (И.Р.Пригожин, Г.Николис, О.Тоффлер, и др.). Нам думается, этого мало. Особенность синергетической парадигмы современного мировоззрения дает возможность человеку восстановить свое единство с природой. В этом единстве "невозможным станет то бессмысленное и противоречивое представление о какой-то противоположности между духом и материей, человеком и природой, душой и телом, которое распространялось в Европе со времен упадка классической древности и получило наивысшее развитие в христианстве" (Энгельс).

Становление синергетики произошло в 80-е годы нашего столетия, хотя это современное направление имеет глубинные исторические корни, уходящие в древневосточную и античную научную классику. В Кыргызстане первая небольшая публикация по синергетике появилась в 1990 г. В ней освещались эмпирически обнаруженные в ходе социологических исследований 1979–1985 гг. "необычные", т.е. синергетические феномены социального порядка [4]. Работы в области синергетики проводят специалисты технического и естественнонаучного профиля [5]; процессы детонации взрывчатых смесей как самоорганизующих сложных, открытых систем изучаются с середины 90-х годов В.И. Нифадьевым с сотрудниками. Проанализирован синергизм реагентов в процессах коррозии и наводороживания стали в сероводородных средах [6]. В 1998 г. группа учеников КГНУ успешно представила результаты своих синергетических изысканий на II Международной конференции по самоорганизации в г. Алматы [7].

Пропедевтический характер данной статьи предполагает обзор исторических вех, основных понятий и отдельных элементов новизны в становлении, состоянии и сегодняшнем развитии синергетической мировоззренческой парадигмы.

Центральное понятие синергетики – это “самоорганизация”. В истории науки и, прежде всего, в философии эта категория близка по сути понятию саморазвитие, самодвижение, самой творящей (созидающей, а не разрушающей) природной, человеческой или даже “божественной” силе. *Causa sui* – самодействие, причина самого себя в активности, в действии, самоорганизация – стержневым рефреном проходит в воззрениях Ф.Бэкона и Р.Декарта, Б.Спинозы, Г.Лейбница, И.Канта, Ф.Шеллинга, Г.Гегеля и К.Маркса, А.Богданова и И.Р.Пригожина. Но до сих пор формирование дефиниции и тем более концепции самоорганизации далеки еще от необходимого совершенства.

Это свидетельствует о сущностной емкости феномена самоорганизации. Все существующие определения высвечивают лишь малые грани, отдельные моменты, ограниченные стороны и неохватного пока человеческой мыслию процесса самоорганизации.

В течение полутора столетий природные процессы самоорганизации естественным образом осмысливались в ходе развития классической термодинамики и статистической физики. Одним из факторов аналитического рассмотрения процессов организации и самоорганизации послужило обнаружение Р.Брауна в 1827 г. прямо противоположного, “дезорганизационного” процесса – хаотического движения. Теория брауновского движения была разработана только спустя 80 лет М. Смолуховским, А. Эйнштейном и Дж. Гиббсом. Их разработки и составляют основу современной теории флуктуаций. Значительным достижением здесь представляет выявленная возможность флуктуации системы из равновесного состояния в неравновесное с *меньшей* энтропией, чем максимум. Такое открытие ведет к корректировке Второго Начала термодинамики и необходимости более детальной разработки “флуктуационной термодинамики”. В этом направлении представляет определенный интерес и флукуационно-диссипативная теорема Х.Каллена – Т.Уэлтона (1951 г.) о связи между флуктуациями системы в равновесном состоянии и ее неравновесными свойствами.

Другим вкладом рассмотрения сложноорганизованных систем нелинейного порядка послужили: математический концептуальный аппарат, а также основные законы термодинамики. Особо следует остановиться на введенном Р.Клаузисом (1854 г.) *энтропийном* подходе к анализу термодинамических процессов. Впервые выявилась асимметрия причинно-следственной взаимосвязи “теплота – работа”, т.е. нарушение эквивалентности их превращаемости. Не обратному процессу всегда соответствует возрастание энтропии и только при обратимых, идеально воображаемых процессах имеет место знак равенства во Втором Начале, т.е. энтропия остается неизменной.

Открытие законов термодинамики дало толчок неуемным попыткам односторонне свести все явления природы к видоизменениям одной только энергии. “Равновесный подход”, как стремление свести “все” процессы изолированной системы к покоя, вызвал

мировоззренческий кризис. Начали плодиться естественно-научные доказательства деградации Великого Порядка – Космоса, “тепловой смерти Вселенной” и другие “концепции” энергетической картины мира. Такой пессимизм был опровергнут еще до расцвета периода энергетизма. В 1872 г. Л. Больцман, а позже Дж. Гиббс установили взаимосвязь энтропии со статистикой равновесных состояний системы со средой. С тех пор сущность термодинамических систем приобретает вероятностный характер, а сами события теряют строгую определенность однозначности. Вероятная детерминация в инновационных концепциях Больцмана порождала мировоззренческий оптимизм.

Термодинамика совершила концептуальное переоружение миропонимания. Возникло новое понимание необратимости явлений и проблемы *времени*. “Стрела времени” стала связываться не только с исторической и биологической эволюциями, но и с “расширением” Вселенной и особенно с возрастанием энтропии. “Стрела времени” выступила, в частности, выражением того факта, что будущее далеко не всегда может быть догматически экстраполировано, спрогнозировано, спланировано, за исключением крайне редких случаев, не может быть задано. Энтропийный подход термодинамики неравновесных процессов к анализу природных феноменов и, позже, квантовой электродинамики, теории поля и других областей физической науки переносит прерогативу познания с субстанции на связь, отношение, время. Взаимосвязь обратимых и необратимых процессов, равновесных и неравновесных структур, открытых и замкнутых систем вида: “... хаос – порядок – хаос – порядок ...” – это объективная реальность, имеющая различные уровни и формы иерархической сложности. И это не обобщено философская резюмирующая сентенция, а вывод, напрашивавшийся из энтропийного анализа сложных систем.

Активная открытая сложная система создает внутри себя энтропию. Ее производство определяет суть состояния системы. Динамика изменений, т.е. изменение самих изменений, вечный непокой содержит в себе стабильность условия системы. Суть этого – постоянно изменяющееся производство (генерирование) внутри системы энтропии и ее поток в среду. За счет выделения энтропии и поглощения – “нейтрализации” – внешней энергии из окружения система стремится к асимптотической устойчивости – своему собственному атTRACTОРУ. Можно предположить, что любая устойчивая система “пытается” ослабить внешние воздействия, “стремящиеся” вывести систему из состояния равновесия. Это обобщение известного в термодинамике принципа Ле Шателье – Брауна. Принцип смещения равновесия характерен не только и даже не столько для физико-химических процессов и систем, сколько для систем и процессов социальных и даже духовных. Вся конфликтология базируется и исходит из такого обобщения термодинамического принципа смещения равновесия. Определяющую роль в таких изменениях играет время и энтропия. Математически они связаны так:

$$V_s = \frac{dS}{d\tau} = \frac{d_e S}{d\tau} + \frac{d_i S}{d\tau} \geq 0, \quad (1)$$

где V_s – скорость изменения энтропии;

$\frac{d_e S}{d\tau}$ – изменение энтропии, обусловленное обменом со средой;

$\frac{d_i S}{d\tau}$ – изменение энтропии внутри неравновесной системы, величина всегда положительная.

Весомый вклад в формирование синергетического представления внес Л.ОНсагер, который вывел феноменологические уравнения и рассмотрел симметричность (взаимность) феноменологических коэффициентов. Соотношения между потоком J_i и его причиной X_k для неравновесных процессов вблизи равновесия записываются в виде

$$J_i = \sum_{k=1}^m L_{ik} X_k. \quad (2)$$

Суммирование осуществляется по всем m неравновесным процессам.

Более существенным достоянием научного по-знания стала теорема взаимности Онсагера. Она гласит, что в пределах линейного приближения коэффициенты пропорциональности или феноменологические коэффициенты симметричны $L_{ik} = L_{ki}$.

Существование множеств причинно-следственных детерминаций в пределах открытости данной системы взаимозависимо: одна сила заботится о потоке, вызванном вторым потенциалом, которому, в свою очередь, совсем небезразлично следствие действия первого потенциала, как “соратника” или как “соперника”. Возникновение энтропии – билinearная функция сил и произведенных ими потоков. В случае химического движения источник энтропии обусловлен, с одной стороны, возникновением энтропии, с другой, как следствие прохождения реакции, с третьей – образованием диффузии. В сильно неравновесной системе может привести к синергетическим явлениям с нарушением симметричности.

Закономерности производства энтропии, ее организованность суть были обоснованы теоремой И.Р.Пригожина (1947, 1977). В системе, удовлетворяющей соотношениям Онсагера, где макроскопическая скорость равна нулю и где локальные значения свойств $T, \mu_1, \mu_2 \dots (\mu - \text{химический потенциал})$ у пограничных поверхностей фиксированы, стационарное состояние ($\frac{\partial T}{\partial t} = 0; \frac{\partial \mu_j}{\partial t} = 0$ в каждой точке)

отвечает минимуму функции $\Theta = \int V_s d\mu$ скорости возникновения энтропии во всей системе. В течение развития системы – от начального до ее стационарного состояния – скорость возникновения энтропии

$\frac{\partial \Theta}{\partial t}$ постоянно уменьшается, объем:

$$\frac{\partial \Theta}{\partial t} = \int \frac{\partial V_s}{\partial t} d\mu = \int \sum_i (J_i \frac{\partial X_i}{\partial t} + X_i \frac{\partial J_i}{\partial t}) d\mu = 0$$

В стационарном состоянии изменение энтропии в системе прекращается и $\frac{\partial \Theta}{\partial t} = 0$.

Эта теорема выражает сущностные начала эволюции. Вместе с тем она имеет методологическое значение, особенно для оперирования, выбора и оптимизации путей развития сложноорганизованных систем в природе, а в последнее время – и в социуме. Путь к устойчивой стабильности проходит за счет создания системой внутренних флуктуаций временных неустойчивостей, называемых диссипативными структурами. Наблюдается парадоксальное сочетание – хаос порядка и порядок хаоса. Переход от одного уровня иерархической сложности к другой осуществляется не скачкообразно, а эволюционно, рассеивая и тем самым сохранивая накопленную необходимую энергию в упорядоченности. Таким образом, принцип открытости не ограничивается всеобщим обменом. Открытость, прежде всего, предполагает существование созидающего, “творящего начала”.

Симметричность состояния в случае химического процесса нарушается неоднозначно, обязательно наступление некоторого порога неустойчивости. Одна или больше флуктуаций начинает “тягивать” ставшую вследствие сопряжения и взаимосвязи потоков и их сил “активную” систему за собой. Усиливающаяся мощь этого притяжения обусловлена образованием странного атTRACTора, выступающего базисом локализации флуктуаций в некоторую пространственно-временную организацию (фрактал). Здесь особенно “живучи” и наиболее часто осуществляются именно эти случайные блуждания.

Флуктуация, воспринимаемая совсем недавно большей частью исследователей, как досадная случайность, небрежность экспериментатора или недоразумение, быстро разрабатывается до макроструктуры. Теперь она является конструктивным началом, определяющим будущее системы. Флуктуация как бы предлагает альтернативы путей, меняет стратегию развития, вызывает бифуркацию процесса и их цепное нарастание во времени. В соответствии с этим ранее дезорганизующая роль хаоса трансформируется в организующую, созидающую функцию. И все это обусловлено внутренней экономией генерирования энтропии.

Мировоззренческий характер современной синергетической парадигмы в значительной мере зависит от решения ряда проблем: одна из них – многоаспектная проблема *измерения*, другая, зависимая от решения первой, проблема *математического выражения* исследуемых явлений, процессов, связей в динамике самоорганизации. Ученые уже давно поняли, что любая наука становится действительно наукой, если она активно пользуется средствами математики, а выявленные закономерности, тенденции, законы выражаются в математической форме. В XX в. это стало характерно в большей степени для естествознания, в меньшей – для обществознания и в еще меньшей – для наук о мышлении. Философское основание такому

утверждению простое. Любые объекты – феномены мира имеют одновременно качественную и количественную определенность. Количественная определенность была и остается прерогативой математики. Причем независимо от того, какая наука изучает определенность своего объекта и предмета.

В синергетике эти проблемы достаточно остры, а синергетика – только что зародившаяся, становящаяся, формирующаяся наука.

Литература

- Приложин И.Р., Стенгерс И. Порядок из хаоса. – М.: Мир, 1986.
- Николи Г., Приложин И.Р. Назначение сложного. – М.: Мир, 1990.
- Хакен Г. Информация и самоорганизация. – М.: Мир, 1991.

Численность и этнический состав населения г. Ош в конце XIX – начале XX в.

Г.К. КРОНГАРДТ – канд. ист. наук, научн. сотр. Института истории НАН КР.

Развитие города Ош в составе Российской империи в качестве уездного центра обусловило увеличение численности его населения. Так, к 1 января 1892 г. в Оше насчитывалось 14308 жителей, в январе 1897 г. – 34157 и к 1 января 1914 г. – 47401¹.

Численность населения возрастала как в результате естественного прироста, так и миграции. О роли миграции в динамике численности населения можно судить по показателю доли неместных уроженцев среди горожан по данным переписи населения 1897 г. Неместных уроженцев, т.е. родившихся в других губерниях, областях Российской империи и за рубежом, было 1460 человек, или 4,3% общей численности населения города². Таким образом, роль миграции населения в приросте численности к исходу XX в. была невелика. Такой она осталась и в начале XX в., так как существенного переселенческого движения на юг Кыргызстана в рассматриваемое время не было. Основным фактором прироста населения был естественный.

Среди неместных уроженцев преобладали выходцы из Петровской (11,4%), Саратовской (10,7%), Воронежской (9,1%), Подольской (8,4%), Пермской (4,4%), Волынской (3,6%) губерний. Остальные – 52,4% неместных уроженцев – были родом из Киевской, Оренбургской, Уфимской, Харьковской, Калининской, Келеской, Сыр-Даринской губерний и областей России, из Китая (последних было всего 19 человек). Характерно, что абсолютно преобладающую часть неместных уроженцев (91,8%) составили представители мужского пола³. Отсюда следует, что неместные уроженцы в большинстве своем не были постоянными жителями города. Это могли быть пре-

- Тишин А.И. Синергетические социальные процессы и ленинская концепция диалектики // Теоретическое наследие Ленина и преподавание общественных наук. – Фрунзе, 1990. – С. 166–167/
- Рудаев Я.И. Синергетика и эффект сверхпластичности. – Бишкек, 1994.
- Фокин М.Н., Фролова Л.В., Алиева К.М. // Защита металлов. – 1986. – Т.22. – С. 983.
- Алиева К.М. Изучение электрохимических явлений на основе теории самоорганизации // Самоорганизация природных, техногенных и социальных систем: международный синтез фундаментальных и прикладных исследований. Материалы второй международной конференции. – Алма-Ата, 1998. – С.100–101. См.: Тишин И.А. Структурированное общение. – Там же. – С.183–184.
- Тишин И.А. “Неструктурированное” общение. – Там же. – С. 185–186; Эгембердиев Т.М. Человек в системе синергетических процессов и явлений. – Там же. – С.188–190.

имущественно гражданские и военные чины царской администрации, армии, торговцы.

Изучение этнического состава населения города рассматриваемого периода сложно вследствие недостатков источников, а именно статистики. Так, основной демографический источник – перепись 1897 г. – дает распределение населения Оша (как, впрочем, и всей Российской империи) не по этнической принадлежности, а только по родному языку, хотя он и является наиболее важным критерием отнесения населения к тому или иному этносу (табл. 1).

Приведенные в таблице данные позволяют утверждать, что распределение населения по родному языку в переписи проведено не совсем правильно.

Прежде всего следует сделать корректировку в отношении так называемого “сартского” языка. В действительности такого языка и такого этноса не было, хотя термин “сарт” применялся в указанное время в отношении некоторых групп населения. Рассмотрение же значения этого термина, вопроса о “сартах” в довольно многочисленных досоветских и ранних советских публикациях, определенное обобщение вопроса, сделанное в одной из наших публикаций⁵, позволяет утверждать, что “сарты” явились преимущественно одним из компонентов узбекской народности, а процесс так называемой “сартизации” некоторых групп населения был в основном ничем иным, как превращением их в узбеков. “Сартский” язык в материалах переписи 1897 г. только потому показан языком крайне немногочисленной группы населения, что “сарты” фактически со всем остальным тюркоязычным населением включены без разбора в одну группу с родным “туркоязычным” языком, хотя такового также не было.

Таблица 1
Распределение населения г. Оша в 1897 г.⁴
на основании родного языка

Родной язык	Численность населения
“Тюркско-татарский”	32432
Русский	754
Украинский	235
Польский	188
Таджикский	107
Персидский	47
Еврейский	46
Немецкий	45
Татарский	24
“Сартский”	8
Узбекский	5
Прочие	266
Итого	34157

Таблица 2
Этнический состав населения г. Оша в 1897 г.⁸

Этнос	Численность
“Сарты”	39490
Кара-калпаки	1592
Русские	665
“Кашгарцы”	336
“Киргизы”	271
Таджики	177
“Кара-киргизы” (кыргызы)	7
Евреи	7
Прочие	456
Итого	4001

“Кашгарцы”, приведенные в таблице в качестве одного из этносов, представляют собой тюркоязычное население – выходцев из Кашгарии, в основном уйгиров.

Важно отметить, что в табл. 2 в составе этносов города совсем не указаны узбеки, а только сарты. Это свидетельствует, по нашему мнению, о неверном, слишком категоричном приданье термину “сарт” этнического значения, а именно: полной замене им этнонима “узбек”. Можно, однако, полагать, что среди сартов была определенная доля других этносов, в том числе кыргызов, сохранивших в той или иной степени специфические, отличные от узбеков и других этносов, этнические признаки. Вместе с тем подобные моменты указывают на то, что в конце XIX – начале XX вв. в городе Ош как и во всем Приферганье, проходили сложные межэтнические процессы. Город был полигностическим, но в его составе преобладали этнические группы, участвовавшие в формировании узбекской народности. Доля кыргызов в нем была невелика (хотя и несколько завуалирована в источниках), но постепенно возрастала в связи с происходившими в Ошском регионе социально-экономическими процессами, прежде всего с оседанием кыргызов, как и других полукочевников и кочевников. Но кыргызы в рассматриваемое время больше других соседних народов сохраняли традиции кочевого и полукочевого образа жизни, родо-племенную этническую структуру. Вместе с тем, именно в связи с особенностями их жизни, социально-экономического уклада в дореволюционное время они постоянно жили в окрестностях Оша, где располагались их зимовки. Так, например, А.Ф.Миддендорф писал в начале 80-х годов XIX в., что “главное местопребывание кара-киргизов в Фергане – вокруг Оша”¹¹. По данным другого дореволюционного автора, кыргызы родов монгуши и адигане (адыгыне) зимуют в окрестностях Оша¹².

Таким образом, национальный состав населения Оша в рассматриваемый период был довольно сложным, а город представлял собой один из центров тюркского мира Центральной Азии, где происходили также сложные межэтнические процессы.

Примечания

- 1 Обзор Ферганской области за 1891 год. – Новый Маргелан, 1893. – С. 26; Первая всеобщая перепись населения Российской империи, 1897 г. – Т.89: Ферганская область. – СПб., 1904. – С.24-25; Статистический обзор Ферганской области за 1913 год. – Скоблев, 1916. – С.9.
- 2 Подсчитано по: Первая всеобщая перепись населения Российской империи, 1897 г. – Т.89. – Таблица VI: Распределение населения по месту рождения и сословным группам.
- 3 Подсчитано по: Первая всеобщая перепись населения Российской империи, 1897 г. – Т.89. – Таблица VII: Распределение неместных уроженцев по месту рождения.
- 4 Первая всеобщая перепись населения Российской империи, 1897 г. – Т.9. – Таблица XIII: Распределение населения по родному языку.
- 5 Кронгардт Г.К. Население Кыргызстана во второй половине XIX – начале XX в. /Формирование, состав, взаимосвязи и взаимоотношения этносов/ – Бишкек, 1997. – С.30.
- 6 Пален К.К. Приложение к отчету по ревизии Туркестанского края... Материалы к характеристике народного хозяйства Киргизии и Казахстана в 1885 году. – СПб., 1885. – С.216.
- 7 См. например: Зеланд Н. Киргизы. Этнографический очерк // Зап.-Сиб. отдел Рус. географич. о-ва. – 1885. – № 7. – С.1-78; Первая всеобщая перепись населения Российской империи, 1897 г. – Т. 85. – Семиреченская область. – СПб., 1905. – Таблица XIII; Т.86: Сырдаринская область. – СПб., 1905. – Таблица XIII; Т.89: Ферганская область. – СПб., 1904. – Таблица XIII; Зарубин И.И. Список народностей Туркестанского края. – Л., 1925. – С.10-11; Материалы по районированию Туркестана. – Вып.II. Проект адм.-хозяйственного деления ТССР. – Ташкент, 1924. – С.11-15.
- 8 Миддендорф А.Ф. Очерки Ферганской долины / Пер. с нем. В.И.Ковалевского. – СПб., 1882. – С. 406.
- 9 Галицкий В., Плоских В. Старинный Ош. – Фрунзе, 1987. – С.115.
- 10 Галицкий В., Плоских В. Старинный Ош. – Фрунзе, 1987. – С.115.
- 11 Миддендорф А.Ф. Очерки Ферганской долины / Пер. с нем. В.И.Ковалевского. – СПб., 1882. – С. 406.
- 12 Котельников В.Г. Ферганская долина // Живописная Россия. Отечество наше в его земельном, историческом, племенном, экономическом и бытовом значении. – Т.10. – СПб. – М., 1885. – С.216.

Кыргызстандагы несториан эстеликтери (Тарыхый обзор)

Ч.ЖУМАГУЛОВ – филол. илим. канд., Кыргыз Респ. маданиятына эмгек сицирген ишмер

Кыргызстандын аймагынан табылган жазуу эстеликтегин ичинен озүнүн пайда болуш тарыхы, санынын контүгү жана тиэлдик жазыгынан эк кызыктуусу XII-XIV кылымдарга таандык болгон несториан-христиандардын эпитафиялык жазуулары болуп эспетелет. Бул эстеликтердин табылгасы жөнүндө биринчи кабардан бери жүз жылдан ашык убакыт оттуу. Табылгандардын саны бүгүнкү күнгө чейинкисин эспетгенде жети жүздөн ашып кеткенин белгилеп кетүү керек. Бирок ошол эстеликтердин бардыгы озүбүздүн колдо же толтуу менен башка жакта сакталып турат деп айта албайыз.

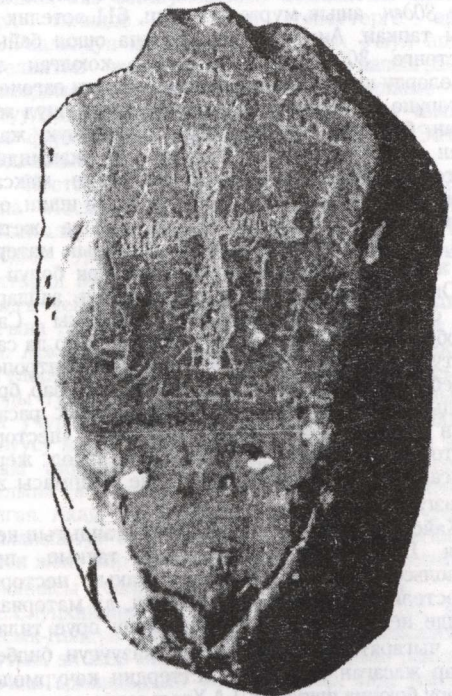
Санкт-Петербургдагы Мамлекеттик эрмитаждын фондуунда жузден ашупун жана Алматынын, Бишкектин мамлекеттик тарых музейлеринде, айрым мектептердин край таануу белмалорундөгү, Кыргыз Улуттук илимдер академисынын Тарых институтунун археологиялык музей-кабинетинде, Манастируу жана көркөм маданиятын улуттук борборундагы бир нече таштарды эспекпе албаганда ошол эстеликтердин көбүнчүү кайда жекедиги белгисиз.

Бул жазуулар байыркы сиря, кээ бир учурда түрк жана арапаш (турк-несториан) тилинде жазылган. Алар Кыргызстандын жана ага чектеш жаткан аймактардын гана эмес, XI-XIV кылымдардагы Орто Азиядагы жана Чыгыштагы түрк элдери менен несториан

иандрардын табышмактуу мамилелерин терец ачып берүү үчүн да маанилүү.

Мына ушуга байланыштуу көп суроолор туулат. Несториан дегендөр ким болгон? Христиан эстеликтердиң кандайча болуп бизге жетти? Алар качан, кайсы жерден табылды? Аларда эмне деп жазылган, дагы ушул сыйктуу көп суроолор бир кийли кызыкчылыкты түүдүрдүт. Бул проблемага байланыштуу илмий эмгектерде төмөндейдө маалыматтар бар. В кылымда Византияда жашаган константинополдук патриарх Несторийдин (Нестор эмес) аты менен атальы калган христиандык агым пайда болгон экен. Несториандар же несторийчилер деген ушундан улам келип чыккан. Несторийдин таасири Сирияда айрыйла күчтүү болуп, анын жолу жолдоочулардын көпчүлүгү антиохиялык патриархтын чыгыш белгүндө топтолот, бирок бул жерде эдесстик епископ Равул аларга каршы ырайымсыз күүгүнүк жүргүзөт. Анын устуне несториандардын күчтүү душманы Египеттин, Палестинаны, Кичи Азиянын монахтарына жана айылдык калкына таянган александриялык епископ Кирилл болгон экен. Эфес соборунда 431-жылы Несторианство ереси катарында айылтапын, Несторий болсо сургунгө айдалган. Мына ушундан кийин несториандар ездөрүнө коргондо турган жай издеөгө аргасыз болушуп, Персияга (Иранга) качышкан. Ал жерде алар Иранга душман болуп турган Византиядан жабыр тарткандар катары жакши

кабыл албынган. 499-жылы несториандар Иранда жакшы колдоого, калкалоого албынанын бир көрүнүшү катары алардын епископторунун бирине бүткүл Чыгыштын патриарх-католикосу деген титулу менен жогорку башкаруу наамы берилет. Несторианство Ирандан Орто Азияга, Индияга жана Кытайга чейин таркай баштайды.¹ Мусулманын жазуучуларын кабарлары боконча Туркстандын көтөрүлүштөрүнде шаарларында христиандык чиркеөлөр болгондугу айтылат. Патриарх Тимофейдин (780-819) түшүнүүдөр христианство Орто-Азияда айрыкча кецири таркагандынын болжилдоого болот. Анткени ал озүнүн «кагттарында» түрктердүн ханы христиан динин кабыл алгандаңын билдирил.² Сириялык булак кабарларга караганда Тимофей озү христиан динине киргизген түрк хандары менен кат алышын турган экен. Жети-Сүүда көчүп жүргөн көчмөн уруулардын бири чигилдердин арасында, Ысык-Көлдүн жээгүндө христиандар болгондугу бизге белгилүү. Несториандар XI кылымда монгол уруусу керенттерди бүтүндөй христиан динине киргизгендигин тарыхчылар көп жазышат. Бул жөнүндө сирия жазуучулары Абуль-Фарадж жана Марес да жазышикан. Рашид-аддинден да ушуга охшогон маалыматтарды окуйбуз. Анын «Монголдордун тарыхы» деген эмгегинде ошол керенттер христианствуу кабыл алып, Иисуска чокунуп калганын айтат. В.В.Бартольддо мындаайча бир маалыматты окуйбуз: Патриарх Илья III (1176-1190) гурхандардын борборунун бири – Кашигара (башка борбору Баласагун болгон) несторианды Митрополий түзөн. Монголдордун дун чабуулунун алдында Талас менен Ысык-Көлдүн ортосундагы аймакты кандылар ээлеп турушкан.

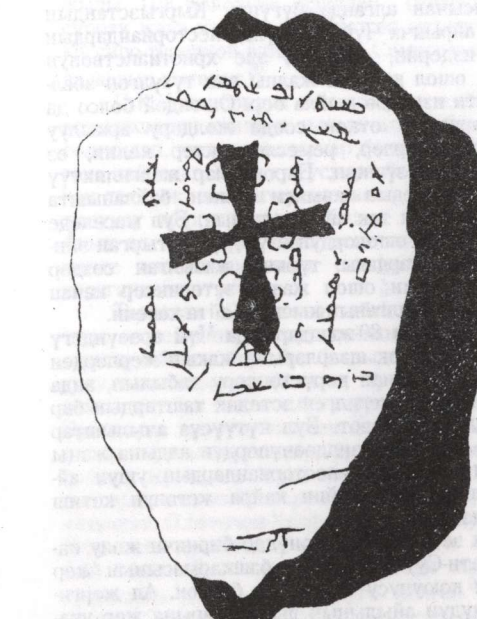


1. Несториан эстелигинин жалпы көрүнүшү.

«балким ошолорго Жети-Сүүнүн несториандары таандык болгондур».⁴ А.Н.Бернштам⁵ несториандарын арасында көп сандаган түрктер, айрыкча христианчылыкты кабыл алышкан кандыл урууларынан чыккан түрктер болушканын белгилеп, ушул эле ойду айткан.⁶ Албетте бул маселе али терец изилдеппүү бүтө электигин, ошол кандылардын дини кандай болгондугун так билбейбиз. Несториандар калтырган жазуулардын да этностук жактан кимдерге тиешелүү экендигин так айтуу кыйын. В.В.Бартольдъ кандылардын уйгурларга жакын экендиги талашсыз, Кытай термини гаоткой (бийик дәңгөлөк араба) кандылардын аты менен эчак эле жакындытын койгондугун айткан.⁶

Орто кылымдагы саякчылар Марко Поло, Рубрук, Плано Карпини, ошондой эле Мар Ябалахи III жана Раббан Саума ездөрүпүн күндөлүктөрүнде жана отчестворунда Орто Азия жана Тантут мамлекетинде жашап турушкан несториандар жөнүндө, монголдук башкаруучуларды христианчылыкка буруу жана алар менен достукта болуу максатында бай белектер менен элчилерди-миссионерлерди бир нече жолу жиберген.⁷

Жети-Сүүдагы несториан корустондору монгол дооруунда таандык жана алар Чүй орөөнүндө несториандардын жашагандыгын көрсөтөт. Табылган эстелик жазуулардын арасында бир кийла байыркылары, монгол мезгилине чейинклири да бар; аларды караханиддер менен кидандардын устөмдүк кылган дооруна жаткырса болот. Кидандар бардык динди бирдей калкалаган, ошондуктан алардын тушунда христианство караханиддердин тушундагыга караганда кобуроек таркаган.



2. Андагы жазуунун эстами.

XIII кылымдын башында Чыңгызхан бүт түрк урууларын чаап алып, алардын көз каранды абалда бир кылымга жашашканы белгилүү. Чыңгызхандын жана анын уулдарынын аялдарынын ичинде христианкалар - христиан динине еткөндөр бар болгон экен деген маалыматтар да кызыктуу. Алар башкаларга караганда билимдүүлүгүү, ақылдуулугу менен айрымаланып, башкаруу иштерине чоң таасир көрсөтүшкөн. Саякатчы Плано Карпининин монгол хандарынын бирөөндө болгондо анын сарайында кызылтүрк христиандар алардын падышында христиан чыгарылган, хандын чоң чатырынын алдында христиан чиркөсү бар экенинди жөнүндө жазып калтырган.⁸

Бирок түрмуш бир орунда туруп калган жок. Бирөөлөрдүн бийлиги кыйрады, аренадан кетти, башкалар келди. Алар менен бирге диндин өзөгрүүр, таасирлер, кыынчылыктар пайда болду. Несториандарга карата болгон мамилелер да мурдагыдан болбай калдады. Ошол себептерден XIV кылымдын аягында несториандар ақырнында менен күмгүү сиңген сүндөртүрмуш аренасынан кете башташат. Алардан калган эстелик эпитафиялык жазуулар бизге мындан 500-600 жылдын мурунку түрмуш, несториандардын общинадарынын доору жөнүндө кабар берип турат. Ошол кезде болгон эки жолку катуу чума оорусунан көнчүлүк несториандар өлүмгө дуушар болушса, бир бөлүгүү кайра кетишпей, калгандары жергиликтүү эл менен сиңчишип кеткен. Ошону менен бир нече кылымдар бою несторианствону көции түрк дүйнөсү менен байланыштырып түрган ақыркы жип үзүлгөн десек болот. Анткенибиздин себеби - кийинки доорлорго тиешелүү болгон эпитафиялык эстеликтар табылган жок. Ошол бизден алыс калган, биз үчүн табышмактуу болгон христиан-nestориандардын түрмушунан кабар берген барактар XIX кылымдын аягы ченде гана ачылып отурат.

Жалпысынан алганда бүтүнкүн Кыргызстандын аймагында, айрыкча Чүйөөндө несториандардын калтырган издерин, ошондой эле христианствонун таралышын, ошол кедеги жалпы эле түзүлгөн абалды, процесстин изилдөө кылаа оор. Ошондой болсо да Жети-Суу аркылуу еткөн соода жолдору аркылуу сириялык соодагерлер, ремесленниктер келип, эз факторийлерин түзүшкөн. Бирок алар жергиликтүү элдердин, уруулардын кимиси менен байланышта мамиледе болгонун таңайтыштырып. Бул маселеде бизге аз да болсо ошолордун өзүлөрүн калтырган эпитафиялык жазуулардагы түркчө жазылган сөздөр жардам берет. Эми, ошол жазуу эстеликтар качан жана кандайча табылганын кыскача айта кетели.

XIX кылымдын 80-жылдарында Чүй ареөөндөгү Пишик жана Токмок шаарларына жакын жерлерден эки чоң христиан көрүстөндөрү табылыш, анда көп сандаган жазуу чөйрүлгөн эстелик таштардын бар экендиги белгилүү болот. Бул күтүүсүз ачылыштар орус чыгышы таануучу-изилдөөчүлөрдүн алдына жаңы мильтеттерди - христиан-nestориандардын ушул аймакка келишин жана кийин кайра жоголуп кетиш себептерин изилдөөнүү көт.

Пишик эстеликтары жөнүндө биринчи жолу кабылган Жети-Суу областын башкармасынын жер ченеп, белги коочусу Т.Андреев болгон. Ал жергиликтүү Аламудун айылынын дыйкандарына жер участокторун бөлүп жүргөндө табышмактуу жазуулары бар, ортосунда ар түрдүү крест чегилген таштарды

керген.⁹ Ошондун кийин Археологиянын сүйүчүлөрдүн түркестандык кружогуунун мүчесү Н.Н.Пантусов Археологиялык коомтоо УЧ таштын сүрөтүн жиберип, илимий чөйрөгө маалымдайт.¹⁰ Археологиялык комиссия болсо Н.Н.Пантусов ошол жерде казуу иштерин жүргүзүүтө ташырма берет. Ошол эле 1885-жылдын Пишиктиң аскер госпитальнын врачи Ф.В.Поярковдун «Восточное обозрение» (44) газетасынын 14-ноябрьдагы санында каты басылат. Анда Токмоктун үстүндөгү Бурананын жанында эки мүрзелердүн арасынан жазузусу жана крести бар жыйырмадын ташты тапканын жазуулары ага да, жергиликтүү элге да тааныш эмес экендигин аяланып. Ушул табылган эстеликтар жөнүндө 1885-жылдын 13-декабринде орус археологиялык коомтунун Чыгыш белгүмүнүн (ВОРАО) заседаниесинде атайын сез болуп, Пишикten жиберилген табылгаларды, ошолордун айрымдарынын улгулурин алган проф. Д.А.Хольсон изилдей түргандыгы жөнүндө чечим кабыл алынат.

Пишик көрүстөнүн (илимде ушундай атапын калды, чыныда бул таштар азыркы Кара-Жыгач айлына жакын талаадан табылган) казуу жүргөн кезде узуну - 120, туурасы - 60 саржан келген аянтты ээлөп жаткан. Анын төгеректеги жашаган элдер алап, айрым дөңсөе, суу жетпеген жерлерин гана калбаса, калган жердин баары айдо жер катары пайдаланылган. Эстелик таштар топ-топ болуп ар кайсы жерге чогултуулук колулган, көбү жер астында да жаткан. Ошону учун алардын мурун кай жерде түргандын билүү кыйын болот. Анткенибиздин себеби - кийинки доорлорго тиешелүү болгон эпитафиялык эстеликтар табылган жок. Ошол бизден алыс калган, биз үчүн табышмактуу болгон христиан-nestориандардын түрмушунан кабар берген барактар XIX кылымдын аягы ченде гана ачылып отурат.

Жалпысынан алганда бүтүнкүн Кыргызстандын аймагында, айрыкча Чүй ареөөндө несториандардын калтырган издерин, ошондой эле христианствонун таралышын, ошол кедеги жалпы эле түзүлгөн абалды, процесстин изилдөө кылаа оор. Ошондой болсо да Жети-Суу аркылуу еткөн соода жолдору аркылуу сириялык соодагерлер, ремесленниктер келип, эз факторийлерин түзүшкөн. Бирок алар жергиликтүү элдердин, уруулардын кимиси менен байланышта мамиледе болгонун таңайтыштырып. Бул маселеде бизге аз да болсо ошолордун өзүлөрүн калтырган эпитафиялык жазуулардагы түркчө жазылган сөздөр жардам берет. Эми, ошол жазуу эстеликтар качан жана кандайча табылганын кыскача айта кетели.

XIX кылымдын 80-жылдарында Чүй ареөөндөгү Пишик жана Токмок шаарларына жакын жерлерден эки чоң христиан көрүстөндөрү табылыш, анда көп сандаган жазуу чөйрүлгөн эстелик таштардын бар экендиги белгилүү болот. Бул күтүүсүз ачылыштар орус чыгышы таануучу-изилдөөчүлөрдүн алдына жаңы мильтеттерди - христиан-nestориандардын ушул аймакка келишин жана кийин кайра жоголуп кетиш себептерин изилдөөнүү көт.

Пишик эстеликтары жөнүндө биринчи жолу

керген.⁹ Ошондун кийин Археологиянын сүйүчүлөрдүн түркестандык кружогуунун мүчесү Н.Н.Пантусов Археологиялык коомтоо УЧ таштын сүрөтүн жиберип, илимий чөйрөгө маалымдайт.¹⁰ Археологиялык комиссия болсо Н.Н.Пантусов ошол жерде казуу иштерин жүргүзүүтө ташырма берет. Ошол эле 1885-жылдын Пишиктиң аскер госпитальнын врачи Ф.В.Поярковдун «Восточное обозрение» (44) газетасынын 14-ноябрьдагы санында каты басылат. Анда Токмоктун үстүндөгү Бурананын жанында эки мүрзелердүн арасынан жазузусу жана крести бар жыйырмадын ташты тапканын жазуулары ага да, жергиликтүү элге да тааныш эмес экендигин аяланып. Ушул табылган эстеликтар жөнүндө 1885-жылдын 13-декабринде орус археологиялык коомтунун Чыгыш белгүмүнүн (ВОРАО) заседаниесинде атайын сез болуп, Пишикten жиберилген табылгаларды, ошолордун айрымдарынын улгулурин алган проф. Д.А.Хольсон изилдей түргандыгы жөнүндө чечим кабыл алынат.

Ошол мезгилде Археологиянын комиссиянын карамагында 180ге жакын фотографиялык сүрөттөр болуп, алардын айрымдары начар копиялары боюнча Хольсон тарабынан жарык көргөн. Ал таатап, толук-тап окуп чыккан 167 тексттин көпчүлүгү 1226-1373-жылдарга таандык экени аныкталган. Хольсондун алгачкы жыйынтыктары, албетте, кадикисиз болгон эмес. Көп сөздөрү, даталары жакшы окулбай койгон. Окумуштуунун пикири боюнча эстеликтар түрк сирия тилинде жазылбаса да, алардын материалдары лингвистикалык жактан ошол эле сирия лексикографиясын көп өзөгөчө бир кубулуштарга ээ экендигин билигилеген.¹⁴

Д.Хольсон менен бир убакта был эстеликтарды изилдөөгө С.С.Слуцкий активдүү катышкан. Ал 308 жазууну коруп чыгып, «Семиречинские несторианские надписи» деген ат менен 1889-жылдын Москвада «Древности Восточнене» 1-томунун 1-чыгарылышына баскан. Ошол эле эмгегиде саптардын (жазуулардын), тамгалардын багыты, бирине жалгануу белгилери, кресттер, даталары ж.б. жактарына да көнүл болған.

Бардык таштардын сырткы формалары бирдей болбай, ошол төгеректеги суу жээктөрүнде, сайдарда жаткан таштардан алып келип көлгөндөрдүн тайталган. Анын төгеректеги жашаган элдер алап, айрым дөңсөе, суу жетпеген жерлерин гана калбаса, калган жердин баары айдо жер катары пайдаланылган. Эстелик таштар топ-топ болуп ар кайсы жерге чогултуулук колулган, көбү жер астында да жаткан. Ошону учун алардын мурун кай жерде түргандын билүү кыйын болот. Анткенибиздин себеби - кийинки доорлорго тиешелүү болгон эпитафиялык эстеликтар табылган жок. Ошол бизден алыс калган, биз үчүн табышмактуу болгон христиан-nestориандардын түрмушунан кабар берген барактар XIX кылымдын аягы ченде гана ачылып отурат.

Бардык таштардын сырткы формалары бирдей

бөлбай, ошол төгеректеги суу жээктөрүнде, сайдарда жаткан таштардан алып келип көлгөндөрдүн тайталган. Анын төгеректеги жашаган элдер алап, айрым дөңсөе, суу жетпеген жерлерин гана калбаса, калган жердин баары айдо жер катары пайдаланылган. Эстелик таштар топ-топ болуп ар кайсы жерге чогултуулук колулган, көбү жер астында да жаткан. Ошону учун алардын мурун кай жерде түргандын билүү кыйын болот. Анткенибиздин себеби - кийинки доорлорго тиешелүү болгон эпитафиялык эстеликтар табылган жок. Ошол бизден алыс калган, биз үчүн табышмактуу болгон христиан-nestориандардын түрмушунан кабар берген барактар XIX кылымдын аягы ченде гана ачылып отурат.

Бардык таштардын сырткы формалары бирдей

тират дешет экен деген кабарына карасак, жогорудагы эстелик таш кокустан табылган дешке болбайт.

В.Бартольдудун «О христианстве в Туркестане в домонгольский период (по поводу семиреченских надписей» аттуу макаласы кыйла кызыгууну түүдүрт.¹⁷ Атактуу окумуштуу бул темага студенттик күндөрүнде эле кайрылган экен. Анын «О христианстве в Средней Азии» аттуу сочинениеси 1889-жылдырды Н.И.Беселовский менен В.Б.Радловдун демилгеси боюнча Түндүк Кыргызстанга келиши, бул аймакты тарыхий-археологиялык жактан изилдөөдөө эзүнчө жаны доорду ачкан. Окумуштуунун «Отчет о командировке в Среднюю Азию» деген иши басылып чыккандан кийин Орто Азияны, анын ичинде Кыргызстанды изилдөөгө кызыгуу аябагандай артат.¹⁸ Несториан эстеликтеги жөнүндө ар кандай изилдөөлөр, билдириүүлөр пайда болот. Жеке эле Чүй ареөнүнен эмес, несториандардын-христиандардын издерине башка жайылбаса да, алардын материалдары аймактардан, алсак чагатай хандарынын XIII-XIV кылымдардағы резиденциясы болгон Алмалыктын урандыларынын арасынан, Кулжа шаарынын жанынан жана башка жерлерден несториан эстеликтар таштары табылганы айтылган. 1904-жылдын күзүндө П.К.Коковцов Кулжа шаарындағы орус консулу Академиянын Азия музейине жиберген он ташты изилдеп, ошонун баары сирия тилинде жазылганын аныктайт, эзэндөө кадимки эле кресттерден башка татаал сүрөттөрдөлдерди салгандын, анын бирөөндө улуту боюнча түрк болгон орто азия христиандарынын диний символикасы - кишилердин фигурасы түшүрүлгөн айрыкча маанилүү деген белгилеген.¹⁹

1907-жылы жайында Ысык-Көлдүн түштүк жээгидеги Жукуу суусунун боюнан несториан жазузусу чегилгөн эки таш табылган. Ушул эки эстеликтеги 1909-жылдын П.К.Коковцов изилдеп, (жазуулардын фото сүрөтү жана кагазга түшүрүлгөн оттисктери боюнча) «К сиро-турецкой эпиграфике Семиречья» деген макаласы жазып чыгарат.

П.К.Коковцовдун макаласынан кийин несториан эстеликтеги изилдөө тыным алып, бир топко чейин солгундал, жана ачылуулар болгон эмес. 1963-жылдын Академиянын П.К.Коковцовдун макаласын киргизет. Ушул иште 230 эстеликтин жазууларына тарыхий-палеографиялык мүнәздөмө-комментарийлер менен тиркеме катары жазууларда учуралган сирия алфавитинин тамгаларынын формаларын чагылдырган проф. Ю.Эйтунгудуч таблицасын кошо басат.

Несториан эстеликтеги негизинен Петербургда жана Москвада изилдепген. Аларды материалдар, табылгалар менен Н.Н.Пантусов жана Ф.В.Поярков жабдып түрк. Бурананын жанынан табылган эстеликтеги М.И.Никольский да да изилдеген.¹⁵ 1893-жылга чейин Н.Н.Пантусов окумуштуулардын кара-магына 600-дөн ашык таштардын сүрөттөрүн жиберген. Археологиялык коомтоо көнтөгөн эстеликтеги улгулору алынып, улам барган сайын чоң қызыгууларды түүдүргөн. Несториан мурзелорун казып жаткан учурда армян епископу Иоанндын армян-сирия жазузусу менен чегилгөн көрүстөнгө коюлган эстелик ташы табылат. Бул эстелик армян доорунун 772-жылына (азыркыча 1323-ж) таандык экендиги аныкталган. Акад. Н.Я.Маррдын пикири боюнча «тагдыра байланыштуу» эз мекенинен мынчалык алыска келип олтөн жеке бар адам эмес, аздыр-көптүр армяндардын колонииси болгондукуну негиз берет.¹⁶ Эгер С.С.Слуцкийдин 1375-жылдағы каталондук картада Ысык-Көлдүн түндүк жээгидеги крест жасалган имараттын, ал жер Ысык-Көл дег аталарын, ошол жерде ага-ини армяндардын монастыры бар, анда йылык Матфейдин, Апостолдун жана Евангелиячынын денелери

Суудагы несториан эстеликтеринде адам аттарынын оқшоштуктарын белгилеген.²²

Мына шүуларды карал отуруп Таластагы байрыкты түрк эстеликтерин христиан динин түткән түрк жазғандыр деп да ойлап кетесиц. А балким, биз жогоруда белгилегендөй, жазған киши ез уруусунун белгисин калтыргандыр. Айтор мунун тегерегиндеги суродолор көп. Белгилүү түрколог С.Г.Кляшторный «Х кылымдым ортосу ченде же бир киче мурнураак кыргыз аристократиясынын арасында, андан кийин калктын калың катмарынын арасында христианствоң нүн несториан багыты белгилүү тарагандыгын» жазат.²³ Дегеле несториан-христиандарга байланыштуу эстеликтер, белгилер дагы бир нече жерден табылганы белгилүү. Алсак, А.П.Окладников жана В.И.Рацек Ак-Чункур үңкүрүнөн кара сыр менен чийилген крестти көрүшкөндүгүн,²⁴ Кызыл-Суу (Краснореченск) шаар калдыгындағы караханидик мурзедөн археологор сирия жазуусун табылғандыгын айтсақ болот. Мындағы сирия жазуусу кирпич эстеликке чийилген да, анда «Георгий темирич» деп жазылып турат.²⁵ «Бу темирич» деген сөз Махмуд Кашгарлыктын сөздүгүнө жана «Кутаду билигдөн бир нече жолу жолугат. Жамбыл (азыр - Тарааз) шаарынын жынын табылған караты кумарынын боорууда: «Петр жана Гаврииль» деген жазуу чийилген. Же болбосо Кегетиге жакын жаткан Ак-Бешим шаар калдыгындағы байрыкты бир мүрзөнүң казанды жогорудағыдан эле кумара чыгып, боорууда христиандык крест чийилгени аныкталды. Ошол эле жердеги дөңсөөнүң казанды археологор VII кылымга тиешелүү христиан чиркөөсүн жана христиан көрүстөнүн калдыкташын табышты. Комүлгөндөрдүн сөөктерүнүн арасынан мононга тағылчук крест, нефирт сойкөлөр табылды. Анын баары VII-VIII кылымдарда мунөздүү деп аныкталды.²⁶

Несториан эстеликтеринин арасындағы түркчө жазылган тексттерин изилдөө ошол мезгилде кандай тилде же диалектте сүйлөгөн уруулар аймакта жашағандыгын, алардын айрым өкүлдөрү христиан динине ооп кеткендигин даана эле көрүүгө болот. Анткенин жазуулардагы кишилердин аттары муны ырастап турат.

Деги эле ушул биз сез кылыш жаткан сыйдуу көрүстөн таштары эмнелерди бізге айта алат? Адатта, ар бир елгөн кишиге өзүнчө эстелик катары аттасы жасатпастан эле ошол тегеректен алынып келинген ар кандай формадагы табигы сай таштарына жазу чегип, анда маркумдун аты-жөнүн, кайсы жылы олғондуктун, түркчө баланча жыл эле, кесиби мындаид эле, бул дүйнөдөн кетип бараткандыгын, бул ага түбөлүк эстелик болсун ж.б.у.с. сөздөр менен коштол берет. Жазуу солдон онго, жогортон төмөн карай, көп учурда 2-3 же 4-5 сап жазуу чегилген (1-2 - сур.). Түркчө жазылған эстеликтерде 10-12 сапка чейин жазылған. Бардык учурда жазуулардын ортосунда крест чегилген. Дагы бир белгилеп кетүү өзгөчөлүгү сирияда, түркчө да жазуулардын дээрлик бардыгында сөлевкід доору боюнча жыл эсеби, андан соң 12 жылдык жаныбарлар цикли боюнча берилгендигинде. Түрк тилдеринде жазылғандарында «Александар ханын (Александар Македонскийнин - Ч.Ж.) жыл эсеби боюнча...» деп башталат. Мындаид эстеликтер бүгүн да табылып калып жатат, алардын баары азыр изилденип, жаңы маалыматтар менен бизді байтууда.

Эскертуулор

- Пигулевская Н.В. Сирийская культура средних веков и ее историческое значение // Советская наука. 1941. – №2. – С.28.
- Григорьев В.В. Об арабском путешественнике Ябу-Дулафе. – СПб., 1872. – С.27–28.
- Труды Восточн. отд. археол. общества. 1872: – Т.V. – С.94.
- Бартольд В.В. О христианстве в Туркестане в домонгольский период. Соч. Т. II. – Ч. 2. 1964. – С.294.
- Бернштам А.Н. Археологический очерк Северной Киргизии. – Фрунзе, 1941. – С.106.
- Бартольд В.В. О христианстве в Туркестане. – С.296.
- Путешествия восточных страны Плано Карпини и Рубрука. – М., 1957. Дагы караныз: М.Лютов. Несторианство в Средней Азии // Туркестанские ведомости. 1886. – №18, 19. – С.76, 81.
- Плано Карпини Иоанн. Пер. Д.Языкова. – 1825. – С.57.
- Пантисов Н.Н. Христианское кладбище близ города Пишпека (Семиречинской области) в Чуйской долине. ЗВОРАО. – Т.1, 1886. – С.77.
- Протокол заседаний Восточного отделения русского археологического общества от 5 сентября 1886 г. – С. 15.
- Дебец Г.Ф. Палеонтология СССР. – Т.IV. М.-Л., 1948. – С.283–284.
- Cwolson D. Syrische Grabinschriften aus Semiretschie. Memoires de L'Acad imperiale des sciences de St - Peterb., XXXIV, 1886. – №4.
- Хвальсон Д.А. Предварительные заметки о найденных в Семиречинской области сирийских надгробных надписях. – Т.1, 1886.
- Хвальсон Д.А. Дополнения и поправки к статьям «Несторианские надписи из Семиречья». – ЗВОРАО. – Т.1. – Вып. IV (последний), 1887. – С.306.
- Никольский М.В. О несторианских надгробных надписях из Пишпека и Токмака. Древности Восточные. Т.2. – М., 1896.
- Марр Н.Я. Надгробный камень из Семиречья с армяно-сирийской надписью в 1323 г. ЗВОРАО. Т. VIII, 1893–1894.
- Бартольд В.В. О христианстве в Туркестане в домонгольский период (по поводу семиреченских надписей). – Соч. – Т. I. II. – Ч.2. – М., 1964. – С.265–302.
- Бартольд В.В. Отчет о командировке в Среднюю Азию. Соч. – Т.IV. – М., 1966.
- Коковцов П.К. Несколько новых надгробных камней с христианство-сирийскими надписями из Средней Азии. 1909. – С.428.
- Коковцов П.К. К сиро-турецкой эпиграфике Семиречья // Изв. Импер. акад. наук, 1909.
- Menschen-Helfen O. /Manichaens in Siberia/ Semitic and Oriental Studies. University of California publications in Semitic Philology, 1951. – Vol. XI. – P.311–336.
- Малов С.Е. Енисейская письменность тюрков. – М.-Л., 1952. – С.14.
- Кляшторный С.Г. Историко-культурное значение суджинской надписи // Проблемы востоковедения. – 1959. – №5. – С.167.
- Окладников А.П., Рацек В.И. Следы древней культуры в пещерах Тянь-Шаня (находка в пещере Ак-Чункур) // Изв. Всесоюзн. геогр. общ. – Т.6. – Вып.5. – М., 1954. – С.447–452.
- Материалы и исследования по археологии СССР. – Т.14 /Пр. Семиреченской археол. экспедиции / Под ред. А.Н.Бернштама. – М.-Л., 1950. – С.20.
- Кызласов Л.Р. Археологические исследования на городище Ак-Бешим в 1953–1954 гг. //Пр. Киргиз. археол.-этнограф. эксп. – М., 1956. – С.231.

Англис жана кыргыз тилдеринин фонологиялык системасынын типологиясы

М.Т.КАКАЕВА – Илимдер Улуттук Академиясы тил илими Институту, чөт тилдер кафедрасынын уулу окутуучусу.

Чындыгында, англис жана кыргыз тилдерин типологиялык жактан салыштырууда фонология башкы орунда турат. Фонологиялык деңгээлде салыштырууда башкы бирдик болуп фонема эсептөлээри белгилүү. Фонемалардың эз ара салыштырып кароодо алардын корреляциясы – жана карама-каршылыгы (оппозициясы) башкы орунда турат. Мында фонологиялык корреляция – эки тилдин фонологиялык системасындағы эконемаларин катар көюшүнде бир нече касиети буюнча оқшошупсу же жакындашшуусу. Мындаид касиет эки тилдиң эз ара салыштырыганды ачык көрүүнөт.

Ал эми фонологиялык карама-каршылыгы (оппозиция) эки же андан ачык фонемалардың эз ара салыштырып караңа, биринин касиети экинчи табылбай калғанда ачык көрүнөт. Бул бир тилдин экинчи тилден фонологиялык жактан айырмачылыгын көрсөтөт.

Эми англис тилинин үндүүлөрдүн арасында 9 дифтонг көздешет: [ei], [ai], [ɛi], [au], [ɔɪ], [ɛɔ], [ɔɔ], [iə]. Мындаид дифтонгдор үндүү тыбыштардың эз ара айкашусунан, ар түркүн кырдаалда жасалат. Мындаид дифтонгдорду изилдеген В.А.Васильев¹ өзүнүн эмгегинде дифтонгдордун саны етө эле арбын экендигин баса белгилейт.

Англис тилиндеги үндүүлөрдүр кыргыз тилиндеги үндүүлөргө салыштырыганды кескин айырмачылыкты байкоого болот. Кыргыз тилиндеги үндүүлөр жалаң монотонгидон турарын Ж.К.Сыдыков² белгилейт. Ал эми Б.М.Юнусалиевдин пикири боюнча кыргыз тилинде (кыргыз тилинин диалекттеринин кошуп эсептөгөнде) 9 қыска, 9 созулма үндүү бар экендигин далилдейт.³ Б.М.Юнусалиевдин пикирине таянсак алар – 8 (а, ɛ, ʊ, ɔ, ə, ɪ, ʊ, ɒ), мындан тышкыры диалекттеги колдонулган тыбыштың 9 қыска үндүүлөргө кирсе, булардың түгөйлөрү, үндүн катышы боюнча гана айырмалынын түрлөрүн, үндүн катышы боюнча алаа, ээ, уу, үү, оо, өө, ыы, ии жана түштүк диалекттеги колдонулган болуп эсептөт. Ошондой эле Б.М.Юнусалиев кыргыз тилин говорлорунан бери изилдеп, ош, өш, уш, үш эринчил дифтонгдорду бар экендигин (Галас говорунун мисалдарына таяну аркылуу) көрсөтөт.⁴

Ал эми К.Дыйканов кыргыз тилинде дифтонгдор бар экендигин, алар Б.М.Юнусалиев белгилегендөй эринчил төртөө эмес, 9 қыска үндүүлөр менен түгөйлөш болуучу экендигин (aw, эш дифтонгдорду да кошот) баса белгилеп, кыргыз адабий тилинде азыркы учурда дифтонгдордун болбой катышын «кыргыз тилинде дифтонгтогор болуп берилбай, синерезиске (дифтонгдордун созулмага айланышына – М.К.) жол берилгендигин көрөт».⁵

Дифтонгдордо караганда созулма үндүүлөрдүн болушу кыргыз адабий тилинин нормаларында колдонууга мүмкүнчүлүк берилгендигине байланыштуу болбостон, түрк тилдерине жалпы мунөздүү экендигин А.М.Щербак белгилейт.⁶ Бул көз карашты кыргыз тил илмийнде фонетиканы изилдеген кийинки оку-

- | | |
|-------------|-----------|
| [i ; - u] | [ɛ - a] |
| [i - u] | [a - ɛ] |
| [e - ɔ] | [ʌ - ɔ] |

муштуулар колдооп, бүгүнкү күнде кыргыз тилинде дифтонгдор жок экендигин далилдешүүде. Андай көз караштардын бирине токтолсок, Ж.К.Сыдыков из оюн төмөнкүдөй билдириет. «По нашему мнению, бесспорно то, что состав гласных фонем современного литературного языка состоит из вышеуказанных 8 кратких и 6 долгих гласных, это утверждается и в последних работах новых поколений фонетистов, которые используют традиционные и современные фонетико-фонологические способы анализа звуковой структуры».⁷

Кыргыз тилиндеги үндүүлөр из ара айырмачылык белгилери боюнча төмөнкүдөй белшүтүрүлөт:

Жаактын ачылышына карата:

1. Кен үндүүлөр: а, о, э, ү. 2. Кууш үндүүлөр: ы, у, ү, и.

Тилдин катышына карата:

1. Жоон үндүүлөр а, о, ы, у. 2. Ичке үндүүлөр: ө, ү, э, и.

Эриндин катышына карата:

1. Эринсиз үндүүлөр: а, ы, э, и. 2. Эринчил үндүүлөр: ө, ү, ө, ү.

Үндүн катышына карата:

1. Кыска үндүүлөр: а, о, э, ы, у, ү, ө, и. 2. Созулма үндүүлөр: аа, oo, uu, үү, өө, ээ.

Кыргыз тилиндеги басым көз каранды болбостон, же басымга карата езгербестөн баштапки касиетин сактайт. Ошондой эле кыргыз тилиндеги үндүүлөр үндештүк мыйзамына багынат.

Англис жана кыргыз тилдериндеги үндүү тышшитарды салыштырып, типологиялык белгилерин таблица түрүндө төмөнкүдөй берүүгө болот.

Кыргыз тилин терең изилдеген фонетист окумуштуулар (Г.А.Ахматов, Ж.К.Сыдыков ж.б.) кыргыз тилиндеги созулма үндүүлөрдөн монофтонгдорого кошутат. Биз из көз карашбызыда алардын пикирин туура көрдүк. Фонетист окумуштуулар кыргыз адабий тилин жана диалектилерди кошуп изилдегенде түштүк диалектидеги ө, ө, ө фонемалары бар экендигин ерсөтүштөт. Бирок бул фонемалар адабий тилде колдоулбагандыктан, аны биз таблицада көрсөткөн жокпуз. Ошондой эле Талас говорунда, Чаткал говорунда дифтонгдор бар экендиги айрым окумуштуулар

(Б.М.Юнусалиев ж.б.) тарабынан көрсөтүлгөн, бирок адабий тилде бүгүнкү күнде андай дифтонгдор колдоулбагандыктан, алар типологиялык салыштыруу таблицада көрсөтүлбөдү.

Тилдер	Англис	Кыргыз
Монофтонгдор	12	14
Дифтонгдор	8	Адабий тилде жок
Жаакка карата жасалышы боюнча	6	2
Тилдик катышы боюнча	5	2
Жаактын ачылышы боюнча оппозициясы	4	2
Тилдин катышы боюнча оппозициясы	6	11
Жаактын ачылышынын ар туркүн кырдаалына ылайык оппозициясы	7	2

Англис жана кыргыз тилиндеги үндүүлөрдү салыштырганда алардын жакындыгына караганда кескин айырмачылык көбүрөөк байкалат.

Эскертуулөр

- Vasilyev V.A. English Phonetics. A. Theoretical Course. -M., 1970. - P.199.
- Сыдыков Ж.К. Фонетическая структура современного киргизского литературного языка и диалектов. - Фрунзе: Илим, 1990. - С.41.
- Юнусалиев Б.М. Тандалган эмгектер. - Фрунзе: Илим, 1985. - Б. 94-97.
- Юнусалиев Б.М. Ошол жерде. - Б. 118-19.
- Дайканов К. Кыргыз тилинин көрсөтмө куралдары. - Алматы, 1990. - 112-бет.
- Щербак А.М. Сравнительная фонетика тюркских языков. - Л., 1970.
- Сыдыков Ж.К. Фонетическая структура современного киргизского литературного языка и диалектов. - Фрунзе: Илим, 1990. - С.41.

СООБЩЕНИЯ НА МЕЖДУНАРОДНЫХ ФОРУМАХ

Культура мира и дипломатия

Выступление на Всемирном Совете экс-министров иностранных дел.
Москва, июнь 1999 г.

Э.О.КАРАБАЕВ – профессор, зав. кафедрой международных отношений КРСУ, советник Президента КР по общественно-политическим вопросам. Область научных интересов – внешняя политика, международные отношения.

Глубокоуважаемые господа!
Уважаемые коллеги! Друзья!

Мне доставляет особенное удовольствие произносить слово – “друзья”, поскольку всякий действующий руководитель рано или поздно становится обладателем приставки “ЭКС”, то друзьям подобная участь не грозит, если даже вчерашние друзья становятся врагами. В этом случае они просто умирают, уходят в иную плоскость и без каких-либо приставок.

Готовясь к нашей встрече, я, конечно, предполагал, что, как от представителя центральноазиатского региона, от меня ждут проекции взгляда на глобальные проблемы через призму проблем региональных, поскольку сегодня очевидно стремление построить модель глобальной безопасности через обеспечение безопасности в отдельных регионах. Эта идея – очень красивая и привлекательная, однако она имеет свои нюансы.

Вот лишь два примера. Косово: Ситуация До вмешательства мирового сообщества в этот региональный конфликт: албанцы и сербы не понимают друг друга. Ситуация После вмешательства: албанцы еще больше не понимают сербов, но плюс к этому, еще не понимают и русских. То же самое – сербы, которые возвеличивали свое непонимание к албанцам за счет непонимания к американцам. А поскольку недопонимания стало чересчур много, то часть ее ушла во взаимоотношения Россия – Америка.

Другой пример: Индия и Пакистан. Слава Всевышнему, сторонники “глобальности через региональность” не рискуют вмешиваться в конфликт между странами, обладающими ядерным оружием, в противном случае, думаю, у нас не было бы возможности сегодня разговаривать друг с другом.

Мне кажется, взаимоотношения между соседними государствами, не говоря уже о взаимоотношениях внутри одной страны, равнозначны взаимоотношениям в семье, где все участники склонны всегда правы: стоит родственникам помириться, как виноватым оказывается тот, кто стремился помирить их.

Когда все правы, а война продолжается, тогда только один выход: признать, что все не правы.

Пример конфликта в Косово, Индия и Пакистан – лучшее подтверждение истинности Будды, который говорил: “Ибо никогда в этом мире ненависть не прекращается ненавистью, но отсутствием ненависти прекращается она”.

Подтверждения истинности Конфуция, который говорил: “На зло отвечают справедливостью, на добро отвечают добром”.

Подтверждение истинности Льва Толстого, который говорил: “Как огонь не тушит огня, так зло не может потушить зло”.

Да и есть ли на земле тот поводырь, который бы нравился всякому, кого ведут? Всегда найдется желающий пойти своей дорогой. И мудрость поводыря оказывается в том, чтобы предоставить выбор и не наказывать за ошибочный, поскольку выбор сам накажет или облагодетельствует. И это не фатализм, напротив, это прагматичный расчет на иммунную систему народа, важнейшим качеством которого является инстинкт самосохранения.

Отсюда и принцип, который бы хотелось видеть в основе современной дипломатии – не навреди.

Почти за полтысячелетия до Рождества Христова, когда Гиппократ заложил этот принцип во взаимоотношении “врач – пациент”, государство не представляло собой доминанту человеческого бытия, в конце концов, недовольные правителем подданные могут уйти в Дикое поле, на Дикий запад.

Сегодня от государства не убежишь. С другой стороны, уже и государство само становится пациентом, а врачом у него, позволю себе утверждать, может быть лишь – дипломатия.

И, может быть, пришло время создать клятву Дипломата, в основе которой заложить все тот же принцип – не навреди.

Возможно, я несколько идеализирую свою профессию. Может быть, сказывается ностальгия по так называемым добрым временам, по собственному активному участию на дипломатическом поприще, но мне кажется, что нынешняя дипломатия все дальше уходит от искусства, превращаясь порой в простой механизм решения государственных задач. Дипломаты нередко оказываются как бы в хвосте у спецпредставителей, что может, в конце концов, привести к ситуации, которую мы видим в шахматах, когда компьютерный анализ вариантов заменяет искусство. Но если шахматы – игра, то дипломатия – это жизнь, а в жизни замещать искусство компьютерным анализом – смерти подобно. Богу Богою, как говорится, а спецпредставителю – спецпредставителю.

Думаю, что именно закомпьютизованный подход к Балканскому вопросу не позволил избежать многих ошибок, поскольку в принимаемых решениях не учитывался менталитет региона. Один из простых жителей Косова сказал телерепортеру то, что зачастую оставалось вне поля зрения военных и политических стратегов: “Здесь – край Духа”.

Каждая земля насыщена своим Духом, поэтому-то мир настолько же одинаков, насколько и сложен. Проблемы Балкан, Центральной Америки или австралийского юга могут быть противоположными, но они одинаковы тем, что их проблемы не могут, не должны решаться вне учета их Духа. Конечно, при этом дипломатия вынуждена отказаться от плоскостного видения мира и вслед за Николаем Коперником, Джордано Бруно, Галилеем принять глобусное видение, несмотря на то, что в 2000 году человечество будет отмечать 400-летие со дня сожжения Джордано Бруно за подобную крамолу.

Вот все, что мне хотелось сказать по вопросу: “Можем ли мы повернуться к культуре мира и дипломатии? То есть, во-первых, мы должны, а, во-вторых, мы сможем, если дипломатия овладеет искусством не навредить глубинному состоянию мира”.

Выступление на круглом столе “Иран – Кыргызстан”.

Тегеран, 1999 г.

Э.О.КАРАБАЕВ

Дорогие друзья, коллеги, сородичи!

Конечно же, я не случайно избрал именно такую форму обращения, и, конечно же, вовсе не для того, чтобы выглядеть оригинальным. Просто я исхожу из научно доказанных фактов.

1. Изучение человеческого генетического кода выявило, что пока человечество имеет одну праматерь.

2. Некоторые источники указывают возраст человечества в 5 тысяч лет, и судя по доступным нам историческим сведениям, примерно столько же прошло с тех пор, как человечество перешло от клинописи к азбуке, а на Евразийском просторе – к слоговому письму.

3. В начале всего сущего на земле – Слово, – так учит Библия. “О люди книги! Давайте к Слову равному для нас и вас придем”, – так призывает Коран.

4. Мысль движет материей, – так утверждали древние латиняне. Вне азбуки нет слова, вне слова нет мысли, значит, Слово, способное управлять материей, впервые появилось у нас, на просторах Евразии.

5. В мире нет ни одного домашнего животного, который бы не имел азиатского прародителя. Равно как нет ни одного плодового дерева.

6. К тому же времени, примерно 5 тысяч лет назад, относятся сообщения, что впервые известные нам по истории племена – азы и андроновцы, начали обустраивать духовный облик планеты: одни пошли на Восток, другие пошли на Запад. И те, и другие называли себя ариями. Одни создали “Авесту”, другие – “Ригведу”. Поэтому я считаю Индию и Иран крыльями одной птицы – Евразии.

7. Слово “Манас”, в первооснове своей означающее “духовный разум”, стало именем былинного кыргызского героя, который взял в жены персидянку Каныкей.

Даже этих семи фактов, на мой взгляд, вполне достаточно, чтобы назвать здесь присутствующих не только друзьями и коллегами, но и сородичами.

Даже этих семи фактов, на мой взгляд, достаточно, чтобы назвать пять стран, более чем способных определять мироустройство: Индия, Иран, Казахстан, Китай, Россия. Попробуем представить этот простор не на карте, а на глобусе, и мы легко увидим, что это значительно большая половина земли человеческой. Вспомним количество людей на этом пространстве, наши материальные ресурсы, и тогда станет ясным, чего действительно не хватает чрезесчур многим на евразийском просторе для осознания собственной самодостаточности – это самоидентификации.

Той самой идентификации, понимание которой позволило двум лидерам наших стран – Акаеву и Хатами – провозгласить доктрины, способствующие объединению людей, а не их разъединению. Доктрины, способствующие сохранению менталитета каждой страны в отдельности, при этом исключающие использование частных интересов в качестве предлога для вмешательства во внутренние дела друг друга.

Выступление на круглом столе “Иран – Кыргызстан”.

Сегодня для предвзятого наблюдателя очевидно, что с развалом Советского Союза мир лишился биполярного надсмотря, что с исчезновением биполярности стали очевидными взаимоисключающие основоположения двух самых влиятельных политических организаций – ООН и ОБСЕ.

ООН декларирует неделимость существующих государств при безусловном уважении прав наций на самоопределение, что, согласитесь, невозможно в реальной жизни.

ОБСЕ декларирует обеспечение гарантий прав человека при невмешательстве во внутренние дела других стран. И это невозможно: либо надо признать право вмешиваться, либо надо исключить гарантии прав человека.

Подобная несовместимость основополагающих принципов приводит не только к практике использования “двойных стандартов” на межгосударственном уровне, но и к увеличению могущества тех, у кого есть сила.

Конечно, история человечества знает немало амбициозных попыток установить однополюсный мир – Александр Македонский, Тамерлан, Чингисхан, Гитлер, Сталин... Однако со дня сотворения мира, землей управляет единолично только Всевышний, и как нет ни одного научно доказанного факта, что человек произошел от обезьяны, так нет и ни единого основания считать, будто Всевышний когда-либо передаст владение землей в одни человеческие руки.

Иными словами, будь Всевышнему угодно, чтобы на земле воцарилось единообразное человеческое управление, оно уже существовало бы задолго до наших дней. Однако этого не произошло, значит, богоугодно человеческое разнообразие, а значит, богоугодно и разнообразие человеческого сообщества.

Возможно, кто-то сочтет слишком витиеватым путь, которым я пришел к очевидности основополагающего исlamского принципа прославления человеческого разнообразия как постоянного свойства человеческого общества.

Но такое сегодня время – время Слова. Никогда раньше человечество не затрачивало столько усилий на обмен мнениями – “круглые столы”, конференции, совещания, стремительный рост количества неправительственных организаций, которые берутся за проблемы глобального масштаба.

Конечно, Слово еще не вытеснило автомат как инструмент разрешения и межличностных, и тем более, межгосударственных проблем, однако все чаще заменяет его, предвосхищая приход в этот мир человека нового поколения. И в какой мере Слово начинает все чаще демонстрировать свое преимущество над оружием, в такой мере доктрина “Диалога цивилизаций” Президента Ирана М.Хатами, благодаря своей гуманности, более притягательная, чем доктрина Хантингтона о столкновении цивилизаций. Исповедуемый благодаря Слову диалог цивилизаций обладает силой созидающей.

Но продолжу свой путь сравнений и аналогий. Так вот, как любая книга нуждается в слове, так и доктрина “Диалога Цивилизаций” нуждается в доктрине “Великого Шелкового пути”. Если раньше этот путь объединял Восток и Запад с помощью разумного продукта человеческих рук, то сегодня он должен объединить Восток и Запад с помощью разумного продукта человеческого Духа, который в “Доктрине Цивилизаций” обозначен общечеловеческим желанием веры и этики.

В свое время в Кыргызско-Российском Славянском университете, где я имею честь возглавлять кафедру международных отношений, обрело жизнь понятие “Дипломатия знаний”. Рискну взять на себя смелость назвать “Дипломатию знаний” одним из фундаментальных кирпичиков, с помощью которого через дипломатию “Великого Шелкового пути” мостится кратчайшая и долгопрочная дорога к общечеловеческой дипломатии “Диалога Цивилизаций”.

Таким образом, если критически осмыслить шаги, сделанные в последние годы нашими двумя странами Ираном и Кыргызстаном – на пути общечеловеческого бытия, и пристально взглянуть в перспективу нашего движения вперед, мы увидим не только много общего, но и не сможем не отметить непреложный факт, что все наши действия направлены, прежде всего, на сохранение мира на земле, на упрочение мирного развития единой цивилизации, истоком которой стали дарованные человечеству Разум и Вера.

Отсюда и та первоочередность шагов, которую, на мой взгляд, мы должны определить на встречах, подобных сегодняшнему “круглому столу”. И здесь я не могу не вернуться к началу своего выступления, и, прежде всего, к понятию “самоидентификация”. Некогда единый род приступил к духовному обустройству евразийского простора, чему веское доказательство – идеально-духовное родство эпосов “Авеста”, “Ригведа”, “Манас”.

Значит, мы братья не только по крови, но и по духу.

Значит, Иран и Индия – определенно духовные крылья птицы Евразии, и этим крыльям судьбой предназначены синхронные движения для осуществления уверенного полета.

А все это вместе значит, что оптимальным вариантом достижения синхронности может и должно стать трехстороннее политическое сотрудничество: “Иран – Кыргызстан – Индия”. Конечно, это уже вопрос другой темы нашего “круглого стола”, но я не могу не сказать об этом, поскольку, повторю еще раз, ныне существующие главные политические организации планеты – ООН и ОБСЕ – имеют основоположения, в которых содержатся неразрешимые противоречия.

Этих неразрешимых противоречий лишены как доктрины “Диалога Цивилизаций”, “Великого Шелкового пути”, так и основополагающие документы стран-участниц “Шанхайской пятерки”. Поэтому я позволю себе предложить, что одной из важнейших перспектив развития этих доктрин станет расширение “Шанхайской пятерки” за счет Ирана и Индии. И тогда евразийский простор обретет единство, присущее нам изначально.

КРАТКИЕ СООБЩЕНИЯ

УДК 66.094.403:622.349.7 (575.2) (04)

Переработка окисленных мышьяковисто-сурьмяных руд хлорированием парами четыреххлористого углерода

М.У.УСУБАКУНОВ, У.Э.ЧУКУЛОВА

Кадамжайский сурьмяный комбинат на территории бывшего Советского Союза был единственным, выпускающим все марки металлической сурьмы, начиная от низшей до особо чистой, а также различные технические вакуумные соединения – оксиды, сульфиды и др. [1]. Он полностью удовлетворял внутренние потребности различных областей народного хозяйства. Наряду с этим продукция, выпускаемая комбинатом, отличалась чистотой, и поэтому экспорттировалась во многие страны мира. Кадамжайский сурьмяный комбинат работал в основном на привозном сырье и частично – на местном. В связи с резким сокращением поступления высококачественного сырья в настоящее время он испытывает определенные трудности. Тем не менее на территории республики имеются некондиционные сурьмяные руды, которые с момента открытия законсервированы. Это связано с тем, что сурьма в рудах находится в основном в окисленной форме, которая не поддается флотации. Кроме того, окисленные руды содержат в большом количестве одну из вредных примесей – мышьяк. Известные

классические методы, широко применяемые в сурьмяном производстве, не пригодны для переработки таких руд. Поэтому для переработки окисленных руд, содержащих мышьяк, целесообразно использовать нетрадиционные методы: хлорный с использованием в качестве хлорирующего реагента смесь паров четыреххлористого углерода и воздуха.

Для хлорирования измельченную местную некондиционную сурьмяную руду предварительно гранулируют с добавлением каолина, который используют в качестве связующего материала. Гранулы сушат при 105°C и загружают в реакционную трубку, обогреваемую трубчатой электропечью. Через реакционную трубку пропускают хлорирующую газовую смесь, которую получают продуванием воздуха через четыреххлористый углерод. Хлорирование зависит от температуры и времени. При этом образуются летучие хлориды сурьмы и мышьяка, которые возгоняются и улавливаются водой. Полнота извлечения сурьмы и мышьяка из руд оценена по их содержанию в возгоне и твердом остатке после хлорирования (табл. 1, 2).

Таблица 1

Извлечение сурьмы и мышьяка из окисленных руд хлорированием смесью паров четыреххлористого углерода и воздуха в зависимости от температуры, %

Температура, °C	Содержание в исходном сырье		Содержание в остатке после хлорирования		Извлечение	
	Sb	As	Sb	As	Sb	As
100	3,58	0,75	98,7	97,5	Следы	Следы
150	«	«	81,2	85,3	11,8	14,5
200	«	«	65,3	62,5	33,2	37,2
250	«	«	14,3	12,8	84,5	86,1
300	«	«	Не обн.	Не обн.	98,9	99,6
350	«	«	Не обн.	Не обн.	99,6	99,1

Извлечение сурьмы и мышьяка из окисленных руд хлорированием смесью паров четыреххлористого углерода и воздуха в зависимости от времени, %

Время, мин	Содержание в исходном сырье		Содержание в остатке после хлорирования		Извлечение	
	Sb	As	Sb	As	Sb	As
30	3,58	0,75	9,7	9,5	90,5	90,5
60	«	«	Не обн.	Не обн.	98,7	99,7
90	«	«	Не обн.	Не обн.	99,2	98,6
120	«	«	Не обн.	Не обн.	99,1	99,5

103

Таблица 2

Извлечение сурьмы и мышьяка из окисленных руд хлорированием смесью паров четыреххлористого углерода и воздуха в зависимости от времени, %

Температура, °C	Время, мин	Навеска, г	Извлечение, %	
			сурьма	мышьяк
300	60	21	98,8	99,6
«	«	31	99,1	89,5
«	«	42	98,8	99,2
«	«	52	59,8	69,1
«	«	65	47,6	56,3

Таблица 3

Извлечение сурьмы и мышьяка из окисленных руд хлорированием смесью паров четыреххлористого углерода и воздуха в зависимости от навески, г

Температура, °C	Время, мин	Навеска, г	Извлечение, %	
			сурьма	мышьяк
300	60	21	98,8	99,6
«	«	31	99,1	89,5
«	«	42	98,8	99,2
«	«	52	59,8	69,1
«	«	65	47,6	56,3

Как видно из табл. 1, 2 хлорирование руды начинается при температуре 100° и заканчивается при 300°C. Извлечение сурьмы и мышьяка за 60 мин. при 300°C составляет 98,9 и 99,9% соответственно. Для хлорирования во всех опытах взято 20 г измельченной окисленной руды и 1,36–1,4 г четыреххлористого углерода.

С целью экономного использования четыреххлористого углерода изучена полнота извлечения сурьмы и мышьяка из руд в зависимости от его массы. Для этого взято переменное количество окисленной руды, а хлорирующий реагент, четыреххлористый углерод оставались такими же (табл. 3).

Установлено, что взятого количества четыреххлористого углерода достаточно для полного извлечения сурьмы и мышьяка из 42 г руды. Дальнейшее увеличение навески ведет к резкому уменьшению процента извлечения сурьмы и мышьяка. По-видимому, это связано с тем, что часть хлорирующего реагента расходуется на образование хлоридов примесных металлов, поскольку в окисленной руде, наряду с сурьмой и мышьяком, содержатся оксиды железа, алюминия, кальция, магния и др. Большинство хлоридов этих металлов не летучие и оседают в остатке. При улавливании образовавшегося возгонка водой хлориды сурьмы полностью гидролизуются с образованием оксидов и оксихлоридов, а хлориды мышьяка остаются в растворе, которые затем удаляются простой фильтрацией. Содержание сурьмы в продукте гидролиза составляет 65–72%, мышьяк отсутствует. Общее содержание хлор-ионов в фильтрате, продукте

$\text{CCl}_4 + \text{H}_2\text{O} = \text{COCl}_2 + 2\text{HCl}$

Образовавшиеся хлорирующие реагенты взаимодействуют с соединениями сурьмы, мышьяка и другими примесными металлами. Сурьма и мышьяк в рудах находятся в виде следующих форм: Sb_2O_3 , Sb_2O_5 , Sb_2S_3 , As_2S_3 , при хлорировании которых смесь фосгена и хлористого водорода образуются летучие хлориды. Взаимодействие различных форм соединений сурьмы и мышьяка с хлорирующими реагентами суммарно можно представить следующей реакцией:

$$2\text{Sb}_2\text{O}_3 + 2\text{Sb}_2\text{O}_5 + 2\text{Sb}_2\text{S}_3 + 2\text{As}_2\text{S}_3 + 14\text{COCl}_2 + 28\text{HCl} + 18\text{O}_2 = 8\text{SbCl}_3 + 4\text{SbCl}_5 + 4\text{AsCl}_3 + 14\text{CO}_2 + 12\text{SO}_2 + 14\text{H}_2\text{O}$$

Как видно из реакции, путем хлорирования парами четыреххлористого углерода можно количественно

извлечь сурьму и мышьяк из руд независимо от формы их нахождения в исходном сырье.

Также разработан другой вариант способа переработки окисленных руд с использованием в качестве хлорирующего реагента каменной соли Кетмень-Тюбе в присутствии восстановителя – кызыл-кайского каменного угля. При этом извлечение сурьмы и мышьяка достаточно высокое.

Таким образом, использование четыреххлористого углерода и каменной соли Кетмень-Тюбе в качестве хлорирующих реагентов при извлечении сурьмы и мышьяка с последующим их разделением дает воз-

можность создания экономически выгодной, экологически чистой технологической схемы по переработке любого сурьмусодержащего местного сырья.

Литература

- Мельников С.М. и др. Сурьма. – М: Металлургия, 1977. – 529 с.
- Промышленные хлорогранические продукты. Справочник / Под ред. Л.А.Ошина. – М: Химия, 1978. – 646 с.
- Усубакунов М.У., Чуколова У.Э. Механизм взаимодействия соединений сурьмы (III, V) с парами четыреххлористого углерода // Наука и новые технологии. В печати.

УДК 66.097.6:621.43.033/.035(575.2)(04)

Применение активатора топлива марки А-1 в карбюраторных двигателях

У.Ш.ШАБДАНБЕКОВ

В карбюраторных двигателях компоненты подаются в рабочий цилиндр в виде смеси с воздухом, которая образуется в карбюраторах путем ввода распыленного бензина в струю скатого воздуха. Рабочая смесь сжимается поршнем и воспламеняется от электрической свечи. Все карбюраторные двигатели работают по циклу Отто.

Максимальная скорость горения топлива в карбюраторных двигателях, а следовательно, и максимальная мощность двигателя достигается при коэффициенте избытка воздуха $\alpha=0.85-0.9$. Таким образом, сам цикл работы карбюраторных двигателей предопределяет собой неполное горание топлива, значит, создает благоприятные условия для образования основного токсичного компонента в выхлопных газах – оксида углерода (СО). Действительно, как показали испытания, при скорости движения автомобиля марки "Москвич-408" 70 км/ч выхлопные газы содержат 0,2–0,3% СО, а при скорости выше 100 км/ч и при работе двигателя на холостом ходу – 12%. Содержание оксида углерода в выхлопных газах характеризует степень окисления топлива. Высокое содержание СО свидетельствует о неполноте горения, что предопределяет также присутствие в выхлопных газах кислородсодержащих органических веществ: альдегидов, углеводородов, сажи.

В жидких видах топлива, как правило, присутствует некоторое количество серы. В бензине А-74 допускается ее содержание до 0,1%, в бензинах А-66, А-66, А-72, А-76 – до 0,15%; следовательно, при горении топлива неизбежно образование окислов серы. При высоких температурах и давлениях в цилиндрах двигателей внутреннего сгорания азот воздуха реагирует с остаточным кислородом, образуя окислы азота, которые также являются токсичными веществами.

Одним из основных критериев качества бензина является октановое число. Оно соответствует процентному содержанию изооктана (октановое число 100) в модельной смеси с нормальным гептаном (октановое число 0), которая показывает такое же число детонаций, что и исследуемый образец. Мощные двигатели работают с высокими степенями сжатия, следовательно, они могут нормально работать только при использовании высокооктанового бензина. Для повышения октановых чисел бензинов используют антидетонаторы. Наиболее распространенным антидетонатором является этиловая жидкость с тетраэтилсвинцом (ТЭС), которая является сильно ядовитым веществом. При горении топлива в цилиндре образуется 3,4-бензипирен – сложное ароматическое соединение, относящееся к категории канцерогенов.

Выхлопные газы автомобилей с карбюраторными двигателями имеют следующий примерный состав (в объемных процентах):

N_2 -74-77; O_2 -0,3-0,8; H_2O (пары)-3-5,5; CO_2 -5-12; CO -5-10; оксиды азота – 0-0,8; углеводороды 0,2-3,0; альдегиды 0-0,2; сажа – 0-0,4 г/м³; бензипирен – (10-20) 10⁻⁶ г/м³. Содержание вредных компонентов в выхлопных газах зависит от нагрузки и скорости движения автомобиля. Минимальная токсичность выбросов достигается при нагрузке двигателя, соответствующей 70-80% максимальной нагрузки.

В условиях города невозможно эксплуатировать автомобиль в каком-то постоянном режиме. Режимы постоянно меняются, причем значительное время занимают режимы малых нагрузок, холостого хода и торможения. Испытания показали, что автомашина "Волга" в городских условиях нормально работает примерно 50% времени, на долю холостого хода приходится примерно 30%, а на торможение – примерно 20% времени.

Ключевые слова: окисление топлива, активатор топлива, автомобиль ГАЗ-24, выхлопные газы

При скорости движения автомобиля ГАЗ-24 "Волга" 80 км/ч отработанные газы содержали 0,1–0,2% CO, а при скорости выше 95 км/ч и при работе двигателя на холостом ходу – 10%. Следовательно, для того, чтобы уменьшить количество вредных выбросов, необходимо обеспечить эксплуатацию автомобильного транспорта в оптимальных режимах работы его двигателя. Оптимальные условия для эксплуатации автомобиля можно определить из диаграммы, где показана зависимость крутящего момента, удельного расхода топлива и мощности двигателя от частоты вращения коленчатого вала. Такие данные имеются в специальной литературе для каждой марки автомобиля*. Для автомобиля ГАЗ-24 с двигателем 2401 минимальное значение удельного расхода топлива достигается при $n=2800-3000$ об/мин. Оно составляет 220 г/л.с или 299,2 г/квт, при этом крутящий момент равен 17 кгс·м, мощность двигателя – 68 л/с (50 квт). Контрольный расход топлива в летних условиях с полной нагрузкой при скорости 80 км/час для ГАЗ-24 составляет 11 л на 100 км пробега. Эксплуатационный расход бензина равен 13 л/100 км.

О масштабах потребления топливных ресурсов и количестве выхлопных газов можно судить по следующим данным: при окислении 1 л бензина марки А-76 образуется примерно 6 м³ выхлопных газов, и к 2000 г. численность мирового парка автомобилей достигнет 500 млн единиц. Для сравнения: в 1900 г. во всем мире насчитывалось 6 тысяч машин, а к 1973 г. – 270 млн машин. Уже сегодня 60% от общего количества газовых выбросов в атмосферу составляют отработанные газы двигателей внутреннего сгорания (ДВС). Поэтому повышение экономичности ДВС и сокращение количества выбросов выхлопных газов является одной из актуальных проблем современности.

Для решения данной проблемы возможны следующие направления: совершенствование процесса горения топлива в цилиндре; уменьшение потерь тепла. Коэффициент полезного действия современных ДВС равен 10–18 %, следовательно, решение проблемы надо начинать с поиска способов увеличения КПД ДВС.

Процесс окисления топлива в ДВС – это гетерогенный процесс, протекающий при высоких температурах. Интенсификация данного процесса возможна при увеличении энтропии системы. Следует учесть тот факт, что необходимо одновременно с повышением скорости реакции добиться увеличения степени сжатия горючей смеси в цилиндрах ДВС; для этого нужно, чтобы топливо обладало необходимыми антидетонационными качествами, другими словами, топливо должно иметь высокое октановое число. С учетом всех этих факторов нами было предложено средство, предназначенное для интенсификации про-

* Гор А.И., Дехтар Б.А. и др. Автомобиль "Волга" ГАЗ-24. – М.: Транспорт, 1981.

цесса окисления топлива и для повышения антидетонационных свойств горючей смеси. Это средство получило название активатор топлива. Испытания данного средства проводились на двигателе внутреннего сгорания марки 2401 автомобиля ГАЗ-24 1981 года выпуска. Двигатель имеет карбюратор марки К-126Г. Для испытаний была выбрана партия бензина марки А-76 с заправочной станции "Кыргызмунайзат" в с. Кок-Жар, масло марки АС-8, свечи марки А-II. Задние две шины производства Днепропетровского шинного завода, давление в задних шинах поддерживалось равным 2 кгс/см², передние две шины производства фирмы PIRELLi WS 75, давление в передних шинах – 1,8 кгс/см².

Испытания проводились в теплое время года, с мая по сентябрь 1999 г., на трассе Бишкек – Талас и в условиях г. Бишкек, в разное время суток, в разных климатических условиях – в дождь и в сухую погоду. Температура окружающего воздуха во время испытаний колебалась от +18° до +42°С, относительная влажность – от 55 до 100%. Для исследований были подготовлены несколько активаторов, но наилучшие результаты получены при использовании активатора марки А-1.

Активатор А-1 представляет собой жидкость, но в рабочий цилиндр двигателя вводится в газообразном состоянии. Расход активатора составил 10% от расхода топлива. Себестоимость 1 кг активатора – 50 тыйынов.

Испытания дали следующие результаты (цифры в числите – данные, полученные при работе двигателя без использования активатора, цифры в знаменателе – данные, полученные при работе двигателя с активатором А-1):

Температура охлаждающей жидкости (воды), °С – 80/80;

Давление масла, кгс/см²

а) в момент запуска двигателя – 4,5/4,5;
б) при горячем двигателе – 2,5/2,5;

Расход масла, г – $\frac{100\text{ г на 100 км пробега}}{80\text{ г на 100 км пробега}}$ (экономия масла составила 20%).

Расход бензина:

а) при скорости 80 км/ч на трассе Бишкек – Талас – Бишкек, л/100км 12/9,8 (экономия горючего составила 18,3%).

б) при скорости 80 км/ч в условиях эксплуатации в г. Бишкек – 14/11,5 (экономия горючего составила 17,85%).

При эксплуатации двигателя с активатором он работал ровно, при увеличении нагрузки не было слышно характерного стука палец. Активатор А-1 не токсичен, не агрессивен, при взаимодействии с горючей смесью в цилиндрах двигателя не образует токсичные и агрессивные химические соединения.

УДК 551.242 (575.2)(04)

Геодинамические и экзогенные процессы, провоцирующие природные катастрофы Кыргызского Тянь-Шаня

Ч.У.УТИРОВ

Горные страны, и Тянь-Шань в частности, в своей эволюции сопровождаются оползне-обвальными процессами. Эти явления предваряются трещинообразованием, которые имеют как сейсмогенное, так и экзогенное происхождение. Оползни и обвалы в горных районах образуются также непосредственно после землетрясений интенсивностью обычно более 8 баллов. С увеличением силы землетрясения размерность оползней и обвалов возрастает.

Оползне-обвальные явления, приуроченные к различным частям геологических структур, проявляют разную активность в пространстве и во времени, что связано не только с изменением климатических условий, но и с активизацией тектонических процессов, которые могут быть обусловлены изменением скорости вращения Земли. Последнее обстоятельство очень важно, так как с увеличением ротации Земли активизируются зоны разломов и геологические структуры одного направления, например, по альпийскому поясу Земли. При уменьшении скорости активизируются зоны разломов и геологические структуры другого направления, например, по глобальному водоразделу Земли.

Другой причиной неотектонической активизации является активный и аномальный снос рыхлого материала водными потоками. При изменении площадей накопления взвешенного материала, сносимого реками, может произойти перераспределение напряженного состояния земной коры. На примере Токтогульского водохранилища, перегороженного плотиной

одноименной ГЭС, видно, что сносимый р. Нарын взвешенный материал стал осаждаться в верхней части Кетмень-Тюбинской впадины со скоростью 8 г/с на 1 км² или 207,36 т/мес. км². Раньше этот материал выносился в Ферганскую впадину и далее. Вполне вероятно, что увеличение напряженного состояния горных пород в Кетмень-Тюбинской впадине, приведшее к перераспределению напряжения в прилегающих геологических блоках, явилось одной из причин спровоцировавшего Сусамырское землетрясение 19 августа 1992 г. силой до 9 баллов.

Крупнейшие обвалы в скальных породах, образовавшиеся при землетрясениях, концентрируются, как правило, на крутых крыльях положительных структур, сложенных породами палеозойского возраста, и связаны с большим накоплением напряжений по зонам разломов, где образуются ударные сейсмоволны.

Крупнейшие оползни экзогенного происхождения образуются на пологих крыльях положительных структур, сложенных толщами мезозойско-кайнозойского возраста, и связаны со скольжением по напластованию, когда пласти падают на склон от 5° и более. При землетрясениях в этих местах сейсмический эффект значительно увеличивается. Если пласти падают внутри склона, то образование оползней без сейсмического воздействия затруднительно, и они образуются в делювиальных останцах на склонах. Наличие разломов секущих и пластовых здесь не обязательно, но очень важное значение имеет состав горных пород и обводненность.

УДК 598.1 + 575.3 (575.2) (04)

Новые данные о распространении пустынного гологлаза (*Ablepharus deserti* Strauch, 1868) в Казахстане и Киргизии с замечаниями по экологии и цитогенетике

В.К.ЕРЕМЧЕНКО, А.М.ПАНФИЛОВ,
Л.Я.БОРКИН, Н.ХЕЛЬФЕНБЕРГЕР

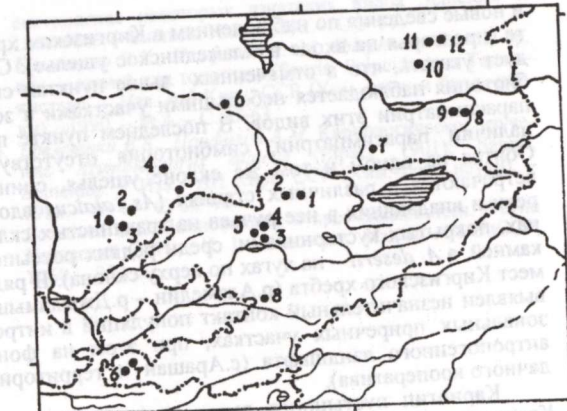
Распространение *Ablepharus deserti* Strauch, 1868 в Казахстане изучено недостаточно. Здесь он известен из 22 пунктов [1, 2]. Наиболее восточные находки этого вида в Казахстане относятся к среднему течению р. Или (окрестности г. Капчагай – ранее, с. Илийск) [3].

Новые данные, накопленные нами за последние годы, позволяют расширить представление о распространении *A. deserti* и внести уточнения и дополнения по экологии этого вида в Казахстане и Киргизии.

Казахстан. Чимкентская область: 1 – Бугунский район, ж. д. станция Бадам, р. Бадам, март 1982 г., октябрь 1983 г., стация – луг в пойме реки среди полупустыни; 2 – р. Арысь, окр. с. Тимерлановка, март 1982 г., сентябрь 1983 г., – луг в пойме реки среди полупустыни; 3 – 16 км С.-В. г. Чимкент, март 1982, сентябрь 1983 г., – отвалы ирригационной системы полупустыне. Джамбульская обл.: 4 – 71 км С. г. Джамбул, по трассе г. Джамбул – г. Кара-Тау, июнь 1982 г., 18.04.1984 г., – глиняные отвалы на кладбище среди щебнистой пустыни; 5 – г. Джамбул (центр), июнь 1982 г., – лужайка среди лесопосадки; 6 – Муюнкумский район, правый берег р. Чу, пески Муюнкумы, 20 км Ю.-В. с. Фурмановка, 15.04.1989, – саксаульники, закрепленная песчаная пустыня. Алматинская обл.: 7 – 50 км З. г. Алма-Ата, по трассе г. Бишкек – г. Алма-Ата, 23.08.1993 г., – берег искусственного водоема среди низкотравной степи с лесопосадками; 8 – р. Чарын (пойма), 4 км Ю. моста через р. Чарын, 03.05.1994 г., – пойменный луг; 9 – Согетинская долина, склоны гор Улькен-Богеты, 02.05.1994 г., – каменистая пустыня. Талды-Курганская обл.: 10 – 220 км/86 км по трассе г. Алма-Ата – г. Талды-Курган, 08.05.1994 г., – лесопосадки среди разнотравной степи; 11 – западные отроги Джунгарского хребта, окр. г. Талды-Курган, 4 км Ю. с. Джамбул, май 1994 г., – каменные осьпи с преобладанием Rosa sp.; 12 – 3. отроги Джунгарского хребта, окр. поселка Кировский, 1/2 дороги между с. Ленино и с. Талапты, май 1994 г., – разнотравная степь.

Киргизия. Чуйская долина: 1 – предгорья Киргизского хребта, в окрестностях с. Арашан, правый берег р. Аламедин, октябрь 1989 г., – разнотравная степь; 2 – предгорья Киргизского хребта, р. Джыламыш, сентябрь 1986 г., 1992 г., март 1993 г., – низкотравная степь. Токтогульская котловина: 3 – северный берег Токтогульского водохранилища, 20 км В. с. Торкент, апрель 1995 г., – низкотравная степь; 4 – южный склон хребта Суусамыр-Тоо, 28–31 км от с. Торкент вверх по р. Торкент, май 1989, 1990 г.г., сентябрь 1990 г., – низкотравная степь с участками кустарников; 5 – южный склон хребта Суусамыр-Тоо, окр. с. Советское на р. Торкент, май 1989 г., – разнотравная степь с участками кустарников. Туркестанский хребт: 6 – северный склон, окр. с. Рават-1, апрель 1988 г., май 1989–1990 г.г., – склон первой надпойменной террасы среди низкотравной степи; 7 – хребет Тохтабуз, 6–7 км С.-В. с. Рават, апрель 1988 г., май 1989–1990 г., сентябрь 1995 г., – каменистая пустыня с отдельно растущими караганами; 8 – Ферганский хребт: западные отроги, между г. Узген и г. Джала-Абад, сентябрь 1995 г., выход коренных пород среди низкотравной степи.

Находки *A. deserti* в окрестностях г. Талды-Курган и южнее его (пункты 10–12), а также в восточном окончании Заилийского Алай-Тау – Согетинской долине (пункт 9) зоogeографически наиболее интересны. Они отодвигают известную границу ареала этого вида на 180 км восточнее и 150 км на северо-восток (по прямой от г. Капчагай). Находжение *A. deserti* в Джунгарском Алай-Тау и Северо-Восточном Тянь-Шане предполагает более широкое его распространение в северо-восточной части ареала. Вполне вероятно, что по предгорьям Джунгарского Алай-Тау пустынный гологлаз может достигать Алакольских озер, а вдоль хребта Кетмень – территории КНР.



Места новых находок пустынного гологлаза в Казахстане и Киргизии. (Обозначение пунктов в тексте).

Замечания по экологии и цитогенетике. В Алматинской области *A. deserti* найден в биотопах совместно с *Natrix natrix**¹, *N. tessellata* (пункт 7), *Eremias velox*, *E. argus*, *Psammophis lineolatum*, *Coluber ravidgieri* (пункт 8), *Agkistrodon halys* (пункт 9). В Джамбульской области в пустыне Муюнкумы (саксаульники, закрепленные пески) встречается совместно с *Cyrtopodion russowii*, *E. velox*, *A. halys*, *P. lineolatum* и *Agrionemys horsfieldi* (пункт 6). В Талды-Курганской области пустынного гологлаз обнаружен в биотопах совместно с *A. halys*, *Eryx tataricus*, *Lacerta agilis* и *E. argus* (пункты 11–12). Согласно некоторым данным [2], ареалы *A. deserti* и *Azumblepharus alaicus* во многих местах Казахстана, в частности в Таласском Алай-Тау, горах Жетижол и среднем течении р. Или перекрываются. Это утверждение ошибочно. Указания авторов [4] о нахождении на южном побережье Капчагайского водохранилища в устье р. Тургень *As. alaicus* и на значительном расстоянии от этого места *A. deserti* (г. Илийск) не может служить основанием для утверждения о существовании перекрывания ареалов этих видов в среднем течении р. Или. По нашим данным, "перекрывание" отсутствует и в горах Жетижол, а также в бассейне р. Чарын. Ошибочно и сообщение о находке *As. alaicus* севернее г. Бишкек [5], а мнение некоторых авторов [6] о том, что *As. alaicus* распространен по всей Чуйской долине, т. е. симпатично с *A. deserti* не соответствует действительности. На самом деле, Чуйскую долину населяет только *A. deserti*, тогда как *As. alaicus* не спускается ниже предгорной зоны Киргизского хребта [1]. Неверные сведения о распространении *A. deserti* и *As. alaicus*, а отсюда и необоснованные суждения об их широкой симбиотии – результат ошибочной идентификации видовой принадлежности. Хрестоматийным примером этого является определение гологлазов из высокогорья Алайского хребта, Алайской долины и даже Заалайского хребта как *A. deserti* [7, 8]. Все эти находки относятся к *As. alaicus* [1]. К вопросу о симбиотии обсуждаемых здесь видов следует сказать, что она действительно имеет место, но лишь в некоторых пунктах Тянь-Шаня [9]. По этому вопросу получены

* Самая южная находка *N. natrix* в Казахстане.

и новые сведения по наблюдениям в Киргизском хребте (предгорья на входе в Аламединское ущелье). Следует указать, что в отмеченных выше пунктах симбиотопия наблюдается небольшими участками в зоне парасимпатрии этих видов. В последнем пункте при наличии парасимпатрии, симбиотопия отсутствует. Обитая на одном и том же склоне ущелья, сцинки встречаются в различных стациях (*As. alaicus* вдоль реки и впадающих в нее ручьев на травянистых склонах, покрытых кустарниками, среди редких россыпей камней, а *A. deserti* – на лугах по верху склона). В ряде мест Киргизского хребта (р. Аламедин – р. Джыламыш) выявлен незначительный контакт популяций в интразональных приречных участках, при этом на фоне антропогенного ландшафта (с. Арашан и территория дачного кооператива).

Кариотип пустынного гологлаза ($n=1$) из Ю.-В. Казахстана (пункт 7) оказался идентичен описанным ранее [10, 11] и имел общую формулу: $2n = 16M(4V+4V+4V+2V+2V) + 14m(2v+2sv+10a)$; NF = 50**; четыре NORs расположены претеломерно в длинном плече хромосом второй пары и аналогично в коротком плече гомологов десятой пары. Если прежде (Куприянова, 1973) у *A. deserti* предполагались изоморфные половые хромосомы (Х- и Y-хромосома V-типа) седьмой пары, то, согласно новым данным [12], в разных популяциях пустынного гологлаза, при мужском определении пола, самцы имеют различную степень дифференциации половых хромосом. Поэтому не безынтересно рассмотреть в свете описанных выше случаев парасимпатрии и симбиотопии пустынного гологлаза с близкородственными сцинками, имеющими ярко выраженный гетероморфизм половых хромосом седьмой пары – *As. alaicus* и *A. rannonicus* [9, 12, 13].

Наиболее выражен гетероморфизм половых хромосом у пустынных гологлазов с хр. Суусамыр-Тоо – места истинной симбиотопии с *As. alaicus*. Однако в этом же пункте (4) большинство гологлазов имеют изоморфные половые хромосомы. Не была прослежена связь V/sV- и V/V-цитотипов с какими-либо фенотипами этого гологлаза [12]. В пунктах истинной симбиотопии с другим видом – *A. rannonicus* (канал Булунгур, в Узбекистане, пункт 7 и пункт 6 из Киргизии, в последнем наблюдается жесткая межвидовая конкуренция между этими двумя видами***), а также в зоне парасимпатрии с *As. alaicus* (пункты 1–2) различия между гомологами 7-й пары незначительные и выявляются не на всех пластинках. В других пунктах гетероморфизм половых хромосом не выявлен совсем. Гипотезы становления гетероморфных половых хромосом у сцинков и других Squamata обсуждались в мировой литературе неоднократно. Следует обратить внимание на возможность переноса активирующего

** Общепринятые в цитогенетике сокращения: M – макро- и m – микроромосомы; V, v – метacentрические, sv – субметacentрические и a – акроцентрические хромосомы; NF – основное число хромосомных плеч; NOR – организатор ядра.

*** Быстрая замена (в течение 1988–1990 г.г.) локальной популяции *A. deserti* на *A. rannonicus*. Изменение в сообществе вызвано действием антропогенных факторов: перевыпас скота (опустынивание и нарушение структуры поверхности почвы) и частичный отлов животных.

9. Yeromchenko V. K., A. M. Panfilov. Symbiotopy of Tien Shan and Pamir-Alai Skinks (Sauria; Scincidae). – In: Societas Eur. Herp.: 6th O.C.M., Aug. 19–23, 1991: Abstr. – Budapest, 1991. – P. 97.
10. Куприянова Л.С. Кариологическая характеристика двух видов ящериц сем. Scincidae // Цитология, 1973. – Т. XV. – № 9. – С. 1135–1142.
11. Панфилов А.М., Еремченко В.К. Хромосомный полиморфизм у *Asymblepharus alaicus* (Elpat., 1901). – Вопросы герпетологии. – Киев: Наукова думка, 1989. – С. 185–187.
12. Панфилов А.М., Еремченко В.К. Множественные NORs у рептилий // Конспект исследований по цитогенетике и

систематике некоторых азиатских видов Scincidae и Lacertidae. – Бишкек: Илим, 1992. – С. 3–57.

13. Еремченко В.К., Панфилов А.М. *Ablepharus darvazi* sp. nov. – новый вид гологлаза (Sauria, Scincidae) из Таджикистана. – Изв. АН Кирг. ССР (Хим.-техн. и биол. науки). – 1990. – № 4. – С. 56–63.
14. Еремченко В.К., Панфилов А.М. Кариологическое изучение *Asymblepharus alaicus* (Elpat., 1901); Sauria, Scincidae. // Изв. АН Кирг. ССР (Хим.-техн. науки). – 1988. – № 4. – С. 88–92.
15. Богданов О.П. Земноводные и пресмыкающиеся. Фауна Узбекской ССР. – Ч. 1. – Ташкент: Изд-во АН УзССР, 1960. – 254 с.

УДК 594.38 (575.2) (04)

Наземные моллюски (*Gastropoda pulmonata terrestria*) урочища Карагой (Алайский хребет)

С.МОИСЕЕВА

В 1986 г. нами изучалась фауна наземных гастровидных урочища Карагой, расположенного в верхнем течении р. Киргиз-Ата (восточная часть Алайского хребта).

Основную часть территории урочища составляют древнейшие палеозойские сланцы, песчаники и известняки. Крутые южные склоны имеют мощные скальные выходы, каменистые осьпи и россыпи, а на более пологих северных шире представлены мелкозернистые продукты выветривания.

Для урочища характерны высокая сухость воздуха, резкие температурные колебания, ксерофитные типы растительности. Здесь развиты арчевые леса и редколесья (*Juniperus turkestanica* Kom., *J.semiglobosa* Rgl.), степная и лугостепная травянистая растительность.

Сборы были сделаны в июле во всех основных биотопах – арчовый лес, скальные обнажения, посадки лесных пород – на высотах от 2600 до 3200 м над ур. м. Отмечено лишь два представителя обширного надсемейства *Helicoidea* – *Bradybaena phaeozona* (Martens, 1864), встречающегося в лугостепях и арчовом редколесье склонов северной экспозиции, и склоножил *Bradybaena perlucens*, населяющий трещины скал склонов южной экспозиции. Численность обоих видов низка.

Основную часть малакофауны урочища составляют разнообразные и многочисленные виды мелких моллюсков подотряда *Pupillina*.

В лесной подстилке арчового редколесья в мас совых количествах обитают *Vallonia (V.) costata*, *Pupilla (P.) tricarinata*, *P.(P.) muscorum*, *P.(P.) sterri*, *P.(P.) striopilata*, *Truncatellina callicratis*.

Надо заметить, что находка здесь *Pupilla P. sterri* подтвердила считавшееся ранее сомнительным наличие данного вида в Средней Азии [1].

Locus typicus – Регенсбург, Бавария. Распространение и местообитание: горные области Европы, Кавказ, Средняя Азия. В Киргизстане – Кичи-Алайский, Киргизский хребты. Населяет ущелья и долины горных рек; реже – в осыпях и под крупными камнями на сухих склонах.

Также здесь нами отмечен *Pupilla (P.) striopilata* Schileyko, 1984.

Locus typicus – Тянь-Шань, Чаткальский хребет, ущ. Касансай.

Распространение и местообитание: Киргизстан – Таласский (ущ. Беш-Таш) и Чаткальский (верхнее течение р. Чаткал, окрестности села Ала-Бука), Киргизский (ущ. Кара-Балта, ущ. Ала-Арча), Кичи-Алайский (Мазар-Сай) хребты.

На скальных обнажениях и крупнобломочных осыпях обитают *Pseudonapaea albiplicatus* var. *albiplicata* и var. *sogdiana*.

Интересно, что широко распространенный по всей Голарктике *Euconulus fulvus* (Muller, 1774)-типичный обитатель растительной подстилки – здесь является петрофилом.

Его раковина широко коническая, с тупым высоким завитком, верхняя сторона покрыта тонкими микроскопическими поперечными линиями, нижняя сильно выпуклая и блестящая. Раковина просвечивающая, красновато-рогового цвета. Оборотов 6,5, последний на периферии слегка угловатый. Колумеллярный край устья отвернут и закрывает точечный пупок.

Распространение и местообитание: Северная Америка, Гренландия, Европа, северо-западная Африка, Закавказье, Афганистан, Средняя Азия, завезен в Австралию. В Киргизстане – Киргизский, Алайский, Ферганский хребты, Терской Ала-Тоо. Населяет субальпийские луга, лесную подстилку, берега рек и ручьев.

В Карагое в больших количествах он встречается на северо-западной стороне скал, питается накипными лишайниками и налетом сине-зеленых водорослей. Причем местная форма характеризуется темно-коричневой окраской полупрозрачной раковины и интенсивной черной окраской тела.

Найденный нами на верхней части склонов (2700–3000 м над ур. м.) южной экспозиции и известный пока только из типового местонахождения представитель сем. *Bulinimidae* – *Tuganena margaritae* Schileyko et Moisseeva, 1989 – также является облигатным петрофилом.

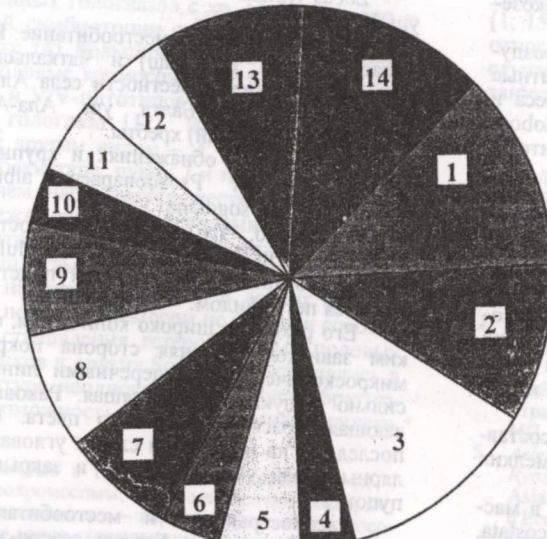
Населяет скальные обнажения на склонах юго-восточной экспозиции выше 2500 м над ур. м.

Раковина высоко кубаревидная, завиток конический. Оборотов 5, последний оборот к устью слегка приподнят, высота его превышает половину высоты раковины. При переходе левой стороны последнего оборота в базальную имеется легкий сглаженный угол. Окраска большинства раковин типовой серии характерная – первые 2–2,5 оборота каштановые, роговые, коричневатые, нередко с легким красноватым или сизоватым оттенком, остальные – чистого белого цвета. У некоторых раковин темная окраска распространяется в разной степени и на нижележащие обороты в виде размытых радиальных полос и "языков". Последний оборот у сформированных раковин всегда белый. Скульптура в виде грубой неправильной радиальной морщинистости, усиливающейся по мере роста раковины. Имеются также бессистемно расположенные вмятины. Устье почти круглое, края его утолщены и отвернуты, места прикрепления связаны выраженной в разной степени мозолью. Характерна охристо-желтая окраска внутренней поверхности устья. Пупок

очень узкий, каплевидный. Размеры: высота раковины 6,4–8,7, диаметр 4,2–5,5 мм.

Белковая железа с седловидной апикальной вырезкой. Верхний отдел вагины длиннее нижнего в 1,2–1,5 раза. Семяпровод, слегка расширяясь, впадает в эпифаллус под незначительным углом. Бич очень короткий, слегка приостренный или узко закругленный. Эпифаллус сильно мускулизованный, образует сужение при переходе в пенис. Цекум располагается несколько ниже середины эпифаллуса, ближе к атриуму. Пенис состоит из двух отделов – длинного цилиндрического атриального и вздутого коротковеретеновидного отдела. Пениальный аппендикс нормально развит, все его отделы четко выражены. Ветви полового ретрактора на диафрагме сближены, но не сливаются. Проток семяприемника сильно расширен, резервуар овальный, тонкостенный. Дивертикул семяприемника отсутствует.

Конхологически вид напоминает *T. leptoguta* (Lindholm), от которой отличается интенсивной белой окраской нижних оборотов и наличием грубых радиальных скульптурных элементов. Среди анатомических особенностей – отсутствие дивертикула семяприемника, чего в роде *Tuganena* до сих пор не отмечалось. Интересно и наличие очень короткого бича, что характерно для малоазиатских и закавказских видов, в то время как у других среднеазиатских *Tuganena* бич удлиненный, конический. Расширение семяпроводы перед впадением в эпифаллус и разделение пениса на два отдела также сближают данный вид с закавказско-малоазиатскими представителями рода. Этих особенностей было достаточно для разделения рода на два подрода, но этому препятствует неизученность анатомии типового вида рода – *T. herzi* (O. Boettger, 1889), известного из Ирана.



Процентное соотношение численности видов, обитающих на скальных обнажениях урочища Карагай.

в биотопах скальных обнажений Тянь-Шань-Алая, где крайне велики суточные и сезонные градиенты температуры и влажности воздуха, максимальная величина солнечной радиации, условия среды для представителей типа Мягкотелых совершенно экстремальны – формируется обособленный видовой комплекс моллюсков-петрофилов: *Gibbulinopsis (Primipupilla) signata*, *Pupilla (P.) gallae*, *Pupilla (P.) sterrii*, *Pupilla (P.) striopolita*, *Pseudonapaeus (P.) diplus*, *Pseudonapaeus (P.) stabilis*, *P. (P.) schnittnikovi*, *P. (P.) galinae*, *Pseudonapaeus (Siraphorus) entoptux*, *Pseudonapaeus (Aridenus) submucronatus*, *Turanena martensiana*, *Turanena meshkovi*, *T. leptoguta*, *T. tenuispira*, *T. albomimbata*, *T. conicula*, *T. cognata*, *T. stschukini*, *T. margaritae*, *Mastoides orloffensis*, *Mastoides albocostatus*, *Laevozebrinus eremita*, *Laevozebrinus ujfalvyanus*, *Bradybaena perlucens*, *Euconulus fulvus*. Почти вся малакофауна скальных обнажений (90–100%) является эндемичной.

По типу питания эти виды относятся к микромицофагам, детритофагам и лихенофагам (питаются обитающими на скалах лишайниками, сине-зелеными водорослями, бактериальным налетом).

Выживанию моллюсков-петрофилов способствуют многочисленные морфофункциональные и поведенческие адаптации. Это и, как правило, башневидная (реже линзовидная или плоская) раковина с

Литература

- Шилейко А.А. Наземные моллюски надсемейства *Helicoidea* // Фауна СССР. Моллюски. – Л., 1978. – Т. 3. – Вып. 6. – С. 1–384.
- Шилейко А.А. Наземные моллюски подотряда *Pupillina* фауны СССР (*Gastropoda*, *Pulmonata*, *Geophila*). – Л.: Наука, – 1984. – 399 с.
- Шилейко А.А., Моисеева С.Е. Новые и малоизвестные виды наземных моллюсков из Киргизии // Зоол. журн. – 1989. – Т. 67. – Вып. 1. – С. 139–144.

УДК 581.132.1:638.2.032 (575.2) (04)

Некоторые особенности фотосинтеза и пигментной системы у растений-доминантов степных фитоценозов при разных режимах использования

В.О.ПЕШКОВА, И.С.СОДОМБЕКОВ

Экологические и антропогенные факторы являются наиболее значительными среди различных факторов окружающей среды. Глубокое изучение экологии горных растений невозможно без знания физиологических особенностей доминант-индикаторов фитоценозов и имеет исключительно важное значение для познания закономерностей реакции организма на изменяющиеся условия среды.

Исследования проводили в ур. Татыр (северный макросклон хребта Кыргызский АлаТоо) на вариантах различного использования: заповедный, выпасаемый (бессистемно используемый), удобренный. Наиболее распространенными доминантами ковыльно-полынно-овсяницевого сообщества является овсяница бороздчатая (*Festuca sulcata*) и ковыль-волосатик (*Stipa caryophyllea*), у которых впервые в горных условиях определили интенсивность фотосинтеза с использованием газоанализатора "Инфраплит-4", фиксировали освещенность и температуру воздуха.

Интенсивность фотосинтеза, по данным многих исследователей, определяется не только действием внешних факторов, но и внутренними особенностями [1–4]. Пластидные пигменты у растений, произрастающих в различных экологических условиях, рассмотрены в [2, 4].

Известно, что растения с высоким содержанием хлорофилла в благоприятных условиях произрастают способны к высокому фотосинтезу. Однако прямой зависимости между содержанием хлорофилла и интенсивностью фотосинтеза все же не наблюдается [4], так как не менее существенное влияние на процесс фотосинтеза оказывают внешние факторы.

Количество пигментов в фотосинтезирующих органах является одним из показателей адаптации растений к условиям существования. Определение содержания пигментов и их соотношение в растениях может дать полную характеристику фотосинтетического аппарата отдельных видов и их реакцию на изменяющиеся условия внешней среды (табл. 1).

Таблица 1
Динамика интенсивности фотосинтеза у растений-доминантов степного фитоценоза при разных режимах использования

Месяц	Количество поглощаемого $\text{mg CO}_2/\text{г в час}$ (средние данные за период вегетации)			Освещен., тыс. люкс	Темп-ра, $^{\circ}\text{C}$
	бессистемный выпас	заповедный режим	удобренный N 60P60		
Festuca sulcata					
Май	6,0	9,2	10,4	28	20,2
Июнь	24,0	17,2	14,9	37	22,9
Июль	26,9	15,8	17,9	43,3	21,5
Август	10,7	15,4	16,9	29,6	25,9
Stipa cappilata					
Май	9,4	12,7	15,8	28	20,2
Июнь	13,1	13,8	26,1	37	22,9
Июль	16,0	26,2	33,0	43,3	21,5
Август	19,6	22,6	36,1	29,6	25,9

Таблица 2
Содержание пигментов в растениях-доминантах при различных режимах использования

Вариант	Хлорофиллы, мг/г		a+b	Каротиноиды, мг/г	Сумма
	a	b			
Festuca sulcata					
Заповедный	4,9	3,0	7,9	1,6	9,5
Удобренный	5,4	3,2	8,6	1,6	10,2
Выпасаемый	6,8	4,3	11,1	1,9	13,0
Stipa cappilata					
Заповедный	5,4	3,0	8,4	0,9	9,3
Удобренный	5,2	2,9	8,4	0,7	8,8
Выпасаемый	8,8	4,9	13,7	1,6	15,3

Сезонный ход интенсивности фотосинтеза у Festuca sulcata и Stipa cappilata в период их вегетации во всех вариантах использования степи подвергается значительным колебаниям. На фоне минерального питания высокая интенсивность фотосинтеза наблюдается у обоих видов, на бессистемно выпасаемом участке этот показатель значительно ниже, в среднем за сезон вегетации достигает у овсяницы бороздчатой 16,9 мг/г час, а у ковыля-волосянки – 14,5 мг/г ч, на заповедном участке – соответственно 14,4 мг/г час и 18,8 мг/г час. Необходимо отметить, что минеральное питание не всегда повышает интенсивность фотосинтеза. Наблюдается, что на удобренном и заповедном участках Festuca sulcata испытывает влияние острой межвидовой конкуренции за влагу и освещенность с фоновыми видами разнотравья.

Вегетационная динамика фотосинтеза Festuca sulcata характеризуется резко выраженным колебанием в условиях бессистемного использования, причем в других вариантах опыта (минеральное питание, заповедный режим) этот показатель изменяется так же, как и температура воздуха и освещенность.

В самом начале вегетационного сезона интенсивность фотосинтеза у Festuca sulcata и Stipa cap-

lata достигала 6,0–9,4 мг/ч, соответственно в этот период была невысокая температура воздуха, средняя освещенность, высокая влажность. В самый жаркий период вегетации растений-доминантов, совпадающий с фазой цветения-колошения, интенсивность фотосинтеза составила у Festuca sulcata 26,9 мг/г час и у Stipa cappilata – 33,0 мг/г час. К концу сезона вегетации (август, сентябрь) наблюдалось общее посыхание растений степного фитоценоза и только при повышении количества осадков начинали отрастать молодые побеги и активизировалась интенсивность фотосинтеза, достигая у Festuca sulcata 16,9 мг/г, а у Stipa cappilata 36,1 мг/г час. Stipa cappilata в условиях минерального питания характеризуется высокой интенсивностью фотосинтеза по сравнению с Festuca sulcata, что обеспечивает повышенную фотоассимиляцию на уровне целого растения в течение всего сезона вегетации.

В тех же условиях и на тех же видах, где мы проводили исследования интенсивности фотосинтеза, изучены содержание и соотношения хлорофиллов и каротиноидов у растений-доминантов. Впервые проведены исследования по пигментному составу у растений-доминантов, произрастающих в степной зоне,

при указанных режимах во время их цветения. Установлено, что содержание пигментов и их количественное соотношение меняются как по вариантам, так и по видам. Отмечено высокое содержание пигментов у Stipa cappilata – 15,3 мг/г сухого веса и у Festuca sulcata – 13,0 мг/г в режиме бессистемного выпаса (табл. 2).

При непрерывном стравливании в отравливающей надземной массе происходит активный синтез органических веществ, накопление первичных продуктов фотосинтеза, в том числе хлорофиллов, имеющих адаптивно-защитный характер. При заповедовании и внесении удобрений уменьшается количество пигментов на 5,0 мг/г у Stipa cappilata, достигая 8,8–9,3 мг/г, а у Festuca sulcata – 9,5–10,2 мг/г. Отношение между хлорофиллами и каротиноидами большие – 5:1, что, по-видимому, можно объяснить приспособлением исследованных видов к аридным условиям существования. Наибольшая интенсивность фотосинтеза у растений-доминантов степных фитоценозов отмечается на удобренном варианте, а накопление пигментов – на бессистемно выпасаемом.

Таким образом, продуктивность у растений-доминантов и сообщества в целом зависит от специфической активности фотосинтеза и пигментной системы отдельных видов растений, реализуемой под воздействием совокупности внешних и внутренних факторов среды.

Изученные виды – злаки-доминанты – составляют основу ковыльно-польинно-овсянникового сообщества, характеризуются как высокоприспособленные ксероморфные виды к условиям аридного климата северного склона Кыргызского Ала-Тоо.

Литература

- Цельникер Ю.Л., Хазанов В.С. Радиационный режим под пологом леса. – М.:Наука, 1971. – С. 11.
- Тарчевский И.А. Фотосинтез и засуха. – Казань: Изд-во Казанского ун-та, 1964. – 198 с.
- Куцинченко М.Д. Фотосинтез сельскохозяйственных растений Молдавии в связи с условиями произрастания. – Кишинев, 1970. – С.23.
- Любименко В.Н. О превращениях пигментов пластид в живой ткани растений. – Кис, 1963. – Т.2. – С.107–402.

УДК 636.3.082.35.612.59 (575.2) (04)

Типы интеграции функциональных систем и продуктивность овец

Т.Ч. ЧОЛПОНКУЛОВ, А.Б. СУЛТАНАЛИЕВА

Животноводческая продукция является структурой, целенаправленно развитой до товарной ценности, динамично и избирательно входящей в соответствующую функциональную систему. Методический подход работы позволил изучить отдельные функциональные системы и оценить степень напряжения их деятельности, являющиеся основой продуктивности. В данной работе предлагается рассмотреть физиологические механизмы, регулирующие конкретные виды сельскохозяйственных животных, по сравнению с дикой фауной невелика [3].

Изучение физиологической сущности продуктивности животных с позиций теории функциональных систем имеет свою методологию [1], включающую следующие положения.

1. Животные изучаются в условиях свободного поведения в естественной для них экологической среде обитания комплексом этологических методик, дополнив их кино- и видеoreгистрацией, для многочленной математической обработки поведенческого материала.

2. Физиологические параметры регистрируются при минимальном беспокойстве животных биорадиотелеметрически: дыхание, деятельность сердца, температура, электрическая активность скелетных мышц и мозга, двигательная активность.

3. Принципиальным для изучения является синхронная регистрация по радиосвязи репертуара поведения и телеметрической записи физиологических показателей.

4. Мониторинг исследований в течение суток и более.

Изучение поведения животных представляет интереснейшую область человеческих знаний о животных. Практическая ценность заключена в работах, посвященных этологии стадных животных [2]. Несмотря на быстрое развитие этиологии, необходимо отметить, что доля исследований, характеризующих сельскохозяйственных животных, по сравнению с дикой фауной невелика [3].

Нами изучено поведение животных, как неотъемлемой составной части функциональных систем, вынесенной за пределы организма, и поэтому его можно изучать, измерять, регистрировать, подвергать обработке и моделировать.

По качественной и качественной характеристикам поведенческой активности определяли доминирующую функциональную систему, момент начала и окончания, степень напряжения ее деятельности. Телеметрическая регистрация позволяет получить объективные физиологические данные, не нарушая естественного стереотипа животных [4].

Раздельное изучение поведения и телеметрической информации, несомненно, представляет самостоятельный интерес, но, когда эти два направления синхронно сосредоточены на одном объекте, представляется уникальная возможность изучения организма животных как систему функциональных систем, механизмы интеграции, определяющих физиологические продуктивности.

Анализ экспериментальных данных свидетельствует, что животноводческая продукция (шерсть, мясо, молоко, овчина) является структурно-функциональной составной частью соответствующей функциональной системы, и уровень продуктивности определяется состоянием деятельности системы в целом, по достижению полезного приспособительного результата [5]. Степень продуктивности животных зависит от места и роли производящей системы в интеграции систем в целостной организме. Чем выше доминирующее положение производящей системы в иерархической пирамиде интеграции, тем больше продуктивность.

Принцип иерархии функциональных систем по биологической значимости определил два типа интеграции, имеющих разный уровень продуктивности.

Адаптивный тип интеграции. Пастищное овеществление – это не только использование кормовых ресурсов, но и преодоление воздействующих неблагоприятных факторов среды обитания, направляет интеграцию функциональных систем на разнообразные реакции, на “вписанность” организма к непрерывно меняющимся условиям. Доминантными чаще являются системы, направленные на преодоление воздействия неблагоприятных факторов среды обитания и реализацию видоспецифических эволюционно закрепленных реакций выживания, как стадность, пастищность и ксерофильность.

Производственный тип интеграции. Однонаправленная интеграция функциональных систем, характеризующаяся стабильными технологическими условиями содержания, с соответствующим стереотипом поведения, где требования к непродуктивным адаптивным возможностям организма минимальны. Интеграция по принципу доминанты одной определенной производственной функциональной системы характерна высокопродуктивным животным при интенсивной технологии и искусственно создает качественно новое физиологическое состояние организма, отличающееся от общепринятого понятия физиологической нормы и гармонии функций.

Литература

- Функциональные системы организма: Руководство / Под ред. В.Судакова. – М.: Медицина, 1987. – С. 432.
- Баскин Л.М. Этология стадных животных. – М.: Знание, 1986. – С. 190.
- Зарытовский В.С., Лив М.И., Емельянов Г.И. Этология овец. – М.: Агропромиздат, 1990. – С. 140.
- Слоним А.Д. Среда и поведение. – Л.: Наука, 1976. – С. 210.
- Чолпонкулов Т. Физиологические реакции птицевого и пастищного поведения ягнят. – Фрунзе: Илим, 1982. – С. 67.

ХРОНИКА

Указом Президента Кыргызской Республики от 27 ноября 1999 г. почетное звание “Заслуженный деятель науки Кыргызской Республики” присвоено Т.ОРМОНБЕКОВУ – члену-корреспонденту НАН КР, профессору кафедры “Механика” Кыргызского технического университета им. И.Раззакова, заместителю министра образования, науки и культуры Кыргызской Республики.

Медалью “Данк” награждены:

Г.ДЖАМАНКУЛОВА – член-корреспондент НАН КР, профессор, доктор экономических наук;
В.П.ЖИВОГЛЯДОВ – академик НАН КР, профессор, декан кыргызско-американского факультета Института интеграции международных образовательных программ Кыргызского государственного национального университета;
Д.Т.УМЕТАЛИЕВА – член-корреспондент НАН КР, профессор, заведующая кафедрой “Философия и социальные науки” Кыргызского технического университета им. И.Раззакова;
Ж.ШАРШЕНАЛИЕВ – член-корреспондент НАН КР, профессор, директор Института автоматики Национальной академии наук КР.

Премия им. академика И.К.Ахунбаева присуждена:

Ч.Т.АЙТМАТОВУ – за вклад в развитие мировой литературы и активную общественную деятельность.
С.К.КОЖОКМАТОВУ – за цикл работ “Диагностика и хирургическое лечение повреждений тазобедренного сустава и их последствий”.
К.У.УСЕНБАЕВУ (посмертно) – за цикл работ “1916 г.: героические и трагические страницы”, “Народные движения Средней Азии (по материалам Кыргызстана)”, “Ормон-хан”.

Решение принято на заседании Президиума Национальной академии наук Кыргызской Республики 7 декабря 1999 г.

Вручение Премии им. академика И.К.Ахунбаева состоится на Годичном общем собрании НАН КР в марте 2000 г.

Анализ экспериментальных данных, сущность и функциональное значение которых (активность, межфункциональная связь) является структурно-функциональной системой. Частью соответствующей функциональной системы и уровнем функциональности определяются, состоящие из элементов системы в целом по достоинству и способам применения результата [5]. Структура функциональной системы определяется от места и времени ее применения, а также от места и времени ее применения.



ЮБИЛЕЙ

Кыргыз тил илмнин көрүнүктүү окумуштуусу, филология илимдеринин доктору, профессор, илмимге эмгек сицирген ишмер, Илимдер улуттук академиясынын Президиумунун көшешчиси

Бубайна Омурзаковна Оразбаева

быыл 75 жашка толду.

Б.О.Оразбаева 1924-жылы 20-декабрде Ысык-Көл облас-
тынын Ак-Суу районуна караштуу Чолпон айылышында
терелген.

Б. О.Оразбаева 1966-жылдан 1976-жылдарга чейин ака-
демида терминология секторунун жетекчиси болгон. Или-
мий-техникалык жана коомдук-саясий терминдердин орусча-
киргызча сөздүктөрүн түзүү жана тартипке көлтириүү боюнча колдонмому иштөл чыккан.
Автордун "Лингвистикалык терминдердин орусча-киргызча сөздүгү" (1972), "Грамматикалык терминдердин орусча-киргызча сөздүгү" (1972), "Грамматикалык терминдердин кыргызча-
орусча сөздүгү" (Авторлош, 1981), "Кыргыз терминологиясы" (1983) сыйктуу эмгектери азыр

Б. О.Оразбаева 1976-1987-жылдары башкы редактор катары жетекчилик кылган Кыргыз совет энциклопедиясынын редакциясы "Кыргыз совет энциклопедиясынын" 5 томун, орус-
киргыз тилиндеги атайын томду жана алфавиттик көрсөткүчтүү жарыкка чыгарышкан.

Б. О.Оразбаева жарыкка чылкан көлөмдүү эмгектердин да башкы жана жооптуу
редактору катары белгилүү.

Бубайна Омурзаковна Кыргыз Республикасынын мамлекеттик тили жөнүндөгү закондун
долбоорун түзүүчүлөрдүн да бири. Ал азыр да бул законду түрмүшкү ашырууда активдүү кол-
кабыш кылууда.

Б. О.Оразбаева 150 жакын макала менен эмгектердин автору. Мунун ичинде 10 дон ашуу-
ну көлөмдүү монография менен брошюра.

Академик Бубайна Омурзаковнанын илимий эмгектери жана коомдук ишмердүүлүгү жо-
гору бааланыш, Кыргыз ССРинин ардак грамоталары, юбилейлик медалдары менен сыйланган.
Илмимге эмгек сицирген ишмер деген ардактуу наам берилген. 1998-жылдагы К.Тыныстанов
атындағы мамлекеттик сыйлыктын лауреаты. 1999-жылы Турция Республикасынын Лыйякак
Нишаны ордени менен сыйланган.

Кыргыз Республикасынын Илимдер улуттук академиясынын Президиуму
Академиянын коомдук илимдер белүмү

— Е Ф. 0001, Ч НАН яттоозын

Продуктивный тип интеграции. Одновременно интеграция функциональных систем, характеризующихся стабильными генетогенетическими условиями функционирования, с соответствующими структурами поведения и требованиями к нейро-функциональным взаимодействиям. Интеграция по принципу доминанты одной определенной продуктивной функциональной системы неизбежно наложит на нее ограничения и нарушит ее функционирование.

ЮБИЛЕЙ

Көрүнүктүү окумуштуу жана педагог, филология илимдеринин доктору, профессор, ИУАнын корреспондент-мүчөсү, республиканын илмимне эмгек сицирген ишмер

Токтосун Керимбаевич Ахматов

1999-жылдын 21-декабрында 70 жашка толду.

Т.К.Ахматов Ысык-Көл обласына караштуу Ысык-Көл районундагы Тору-Айгыр айылында туулган. Тору-Айгыр орто мектебине кирип, 1945-жылы сегизинчи классты аяктаған. Со-
гуш жылдарында мектепте окуу менен катар колхоздо араба-
кеч, эсепчи болуп да иштеген. Сегизинчи классты бүткөндөн кийин М. Горький атындағы педагогикалык окуу жайна ки-
рип, аны 1947-жылы бүтүргөн. 1947-50-жылдары Талас обласын-



дагы Ленинполи районунун Чалдывар орто мектебинде муталим, райононун инспектору болуп
эмгектенген.

1950-жылдары Кыргыз мамлекеттик университетинин филология факультетинде окуу
жүргөн учурда К.К.Юдахин, Б.Юнусалиев ондүү белгилүү түркологдордон таалым алып, ар-
кандай илимий конференцияларга активдүү катышып, илмимге болгон кызыгуусу арта башта-
ған. Натыйжада, университеттеги артыкчылык диплому менен бүткөндөн кийин эле аспиранту-
рага етүп, 1959-жылы "Кыргыз тилинин Талас говору" деген темада кандидаттык диссертация-
сын ийгиликтүү корюгон.

Бугунку күндө ал - 60 тан ашык илимий эмгектердин, мунун ичинде 5 монографиянын
жана 5 окуу китебинин автору. Окумуштуу изилдөө ишин алгач кыргыз тилинин диалектикалык
өзгөчөлүктөрүнөн башлаганы менен, кийинчөрөк иликкөп көңитип, лексикология, фонетика
жана фонология, эксперименттик фонетика, кеп маданияты жаатында да омоктуу илимий эм-
гектерди жаратты. Булардын ичинен автордун орус тилинде жарык көргөн "Кыргыз адабий
тилинин тыбыштык түзүлүшү" (1 - бөлүк, 1969; 2 - бөлүк, 1970) аттуу көлөмдүү монографиясы
өзүнүн илимий-теориялык деңгээли, жаңычылдыгы боюнча өзгөчөлөнүп турарын атайын айтта-
кетүү абел.

Т.К.Ахматов бүгүнкү күндө да үзүрлүү эмгектенини жатат. Ал 1990-жылдан бери ИУАнын
Тил илимии институтунда белүм башчы, 1998-жылдан тартыш директор болуп иштөөдө. Учурда
институттун жамааты проф. Т.К.Ахматовдун жетекчилиги астында эне тиilibиздин тыбыштык
түзүлүшүнө, грамматикалык курулушуна, тарыхый лексикасынын актуалдуу проблемаларына,
адабий тилдин нормаларына арналган илимий эмгектерди, окуу куралдарын жаратышып, мам-
лекеттик тилдин өркүндөлөнүгүшүнө, колдонуулуу аймагынын көңейиштине зор көмөк
көрсөтүп жатышат.

Кыргыз Республикасынын Илимдер улуттук академиясынын Президиуму
Академиянын коомдук илимдер белүмү

ПАМЯТИ

20 декабря 1999 г. исполнилось бы 75 лет

Мухамеду Язызовичу Сушанло

члену-корреспонденту НАН КР, доктору исторических наук, известному специалисту в области истории и этнографии малочисленных народов Центральной Азии, общепризнанному авторитету по проблемам отечественного и зарубежного дунгановедения. Более года назад он ушел из жизни, но светлая память о нем жива в сердцах родных и близких, друзей и коллег.

М.Я.Сушанло родился 20 декабря 1924 г. в г. Фрунзе. Учился в Кирпединституте, после окончания которого поступил в аспирантуру Института востоковедения АН СССР. Защитив кандидатскую диссертацию (1953 г.), поступил на работу в ИЯЛИ КирФАН СССР. Был и.о. директора ИЯЛИ, а с момента создания сектора (затем отдела) дунгановедения – его бессменным руководителем. Докторскую диссертацию защитил в 1970 г.

М.Я.Сушанло за время своей многолетней творческой деятельности создал целое научное направление в системе НАН КР – дунгановедение. Им написано свыше 200 научных работ, в том числе 5 монографических, получивших признание научной общественности в нашей стране и за рубежом. Изданые на русском, китайском, английском и других языках, они пользуются успехом как в странах СНГ, так и далеко за их пределами.

Н.Я.Сушанло был участником многих международных конференций, проходивших в Москве и Баку, Новосибирске и Ташкенте, Владивостоке и Алматы, Пекине и Бостоне, Дели и Риме, Париже и Багдаде. Он являлся членом научного Совета по проблемам изучения стран Дальнего Востока, членом Научного Комитета по изучению цивилизаций Центральной Азии, председателем Ассоциации китаеведов Кыргызской Республики, заместителем председателя общества дружбы “Кыргызстан-Китай”.

Благодаря стараниям и усилиям М.Я.Сушанло Национальная академия наук КР ныне является одним из общепризнанных в мире центров сравнительно молодой отрасли синологической науки – дунгановедения.

Признанием заслуг талантливого ученого явилось избрание М.Я.Сушанло членом-корреспондентом НАН КР (1987 г.) и присвоение ему почетного звания “Заслуженный деятель науки Кыргызской Республики” (1994 г.).

За плодотворную научную и общественную деятельность М.Я.Сушанло награжден медалями, а также Почетными грамотами Жогорку Кенеша Кыргызской Республики.

**Президиум НАН КР
Отделение общественных наук
Отдел дунгановедения**

**ПАМЯТИ**

и горючий путь к памяти

26 ноября 1999 г. ушел из жизни старейший дунганский языковед, один из основоположников дунганской национальной письменности

Юсуp Янхаевич Яншансин

Ю.Я.Яншансин родился 12 декабря 1909 г. в г. Караколе. Окончил Татарский институт просвещения в г. Ташкенте. В начале 30-х годов работал научным сотрудником НИИК языка и письменности (г. Фрунзе). Именно в те годы он совместно с выдающимся лингвистом Е.Д.Поливановым разрабатывает важнейшие проблемы дунганского языкознания, составляет школьные учебники.

В годы Великой Отечественной войны Ю.Я.Яншансин служит в рядах Красной Армии (1941–1943 гг.). После демобилизации некоторое время работает учителем киргизского языка в школе (1944–1945 гг.), а затем становится научным сотрудником Киргизского филиала АН СССР. Он был одним из первых научных сотрудников сектора дунганской культуры АН Киргизской ССР (1954 г.). И одновременно в это время он совместно с выдающимся лингвистом Е.Д.Поливановым разрабатывает важнейшие проблемы дунганского языкознания, составляет школьные учебники.

Ю.Я.Яншансин внес заметный вклад в дунганско-языкознание. Он опубликовал совместно с Е.Д.Поливановым сборник “Вопросы орфографии дунганского языка”, брошюры на дунганском языке “Тоны и ударение в дунганском языке”, “Токмакский диалект дунганского языка”, “Краткий дунганско-русский словарь”, “Русско-дунганский словарь” (в соавторстве) и др.

Награжден орденом Отечественной войны II степени и многими медалями.

**Президиум НАН КР
Отделение общественных наук
Отдел дунгановедения**

**Отделение физико-технических, математических
и горно-геологических наук**

Проблемы геологии и географии в Кыргызстане	13,0
Боконбаев К. Барскоон: мифы и реальность	3,5
Айтматов И., Кожогулов К., Никольская О. Геомеханика ополз- неопасных склонов	13,0
Журнал. Проблемы автоматики и управления	14,0
ИДУ, вып. 28	26,0
Османалиев К. Люминесценция электронных возбуждений и их распад	12,0
Абдылдаев М. Плоские задачи теории струй идеальной жидкости	10,0
Сборник статей. Труды НИИПиС	14,0

**Отделение химико-технологических,
медицинско-биологических и сельскохозяйственных наук**

Нетрадиционное возобновление энергии из отходов растениевод- ства и животноводства	5,0
Интродукция и акклиматизация растений в Кыргызстане	11,0
Лукашевич И. Характеристика плодов некоторых перспективных сортов и форм ореха грецкого	1,0
Литовченко В., Стручалина Т. и др. Аффинация триптофана мик- робиологического синтеза активированным углем	2,75